# **20.840.40.6 002 9.48014.0664 0.40.9664** АКАДЕМИЯ НАУК АРМЯНСКОЙ ССР

# сообщения бюраканской обсерватории

**ФРИЧ ЦИ ВЫПУСК** 

#### Редакционная коллегия

В. А. АМБАРЦУМЯН (главный редактор), М. А. АРАКЕЛЯН, Л. В. МНРЗОЯН, М. А. МНАЦАКАНЯН (ответственный секретарь), Г. М. ТОВМАСЯН (зам. главного редактора)

C. \frac{1705000000}{703(02)\to 80}66\to 79

<sup>€</sup> Издательство АН Арм. ССР. 1980.

#### Р. А. ВАРДАНЯН, А. Н. ТОМОВ

#### НАБЛЮДЕНИЯ ДВОЙНЫХ ГАЛАКТИК ТИПА Е

В Астрономической обсерватории г. Белоградчик (Болгария) проведены электрофотометрические наблюдения на 60 см телескопе в системе U, B, V 105 двойных галактик. Наблюдаемые галактики были распределены по морфологическим характеристикам пар в три группы: ЕЕ (30 пар), Е—S (30 пар) и S—S (45 пар). В настоящей работе представлены зависимости между тремя наблюденными величинами: V, В—V, U—B (для пар типа ЕЕ). Рассмотрена также и их связь с другими, известными к настоящему моменту, характеристиками рассматриваемых галактик.

### 1. Аппаратура и метод наблюдений

На 60 см телескопе системы Кассегрена с эквивалентным фокусным расстоянием 7500 мм установлен одноканальный электрофотометр, работающий в системе U, B, V по методу счета фотонов [3]. Фотометр выполнен на базе ФЭУ типа EM16256. Питание всей электрической части фотометра производится через стабилизатор St 2000. Температура, при которой работает аппаратура, поддерживается ниже +15°C. Цветовая система фотометра приведена к стандартной U, B, V системе [4].

Объекты для наблюдения выбраны по [1] и [2], их селекция произведена в соответствии с проницающей силой телескопа (аппаратуры). Интегральные звездные величины объектов заключены в пределах 11<sup>m</sup>—15<sup>m</sup>. Они покрывают всю северную полусферу и это позволя-

ет производить наблюдения круглый год.

Наблюдения двойных галактик проводились с конца 1974 г. до середины 1977 г. В табл. 1 приведены данные о наблюдениях только пар типа ЕЕ (обс компоненты - эллиптические галактики). Использован дифференциальный метод наблюдений в системе близкой к стандартной U, B, V. Каждая пара галактик наблюдалась не менее трех раз в разные ночи с днафрагмой, подобранной в соответствии с днаметром объектов. По этим наблюдениям установлены параметры V, B—V и U-В для исследованных пар. Для окончательного приведения цветовой системы к стандартной выполнены наблюдения 15 двойных галактик различного морфологического типа, которые наблюдались и другими авторами [5] и [6]. Различие в результатах не превышает для величины V ±0.035; B-V ±0.038; U-B ±0.045. Это различие можно принять вполне удовлетворительным, учитывая в принципе более низкую точность измерений поверхностных объектов. U, B, V измерения проведены с пспользованием стандартных звезд, которые выбрапы из [6] по следующим критериям:

 а) яркость звезды сравнения должна превышать яркость галактнки;

б) спектральный класс звезды-G;

в) небольшое расстояние от измеряемых объектов. Данные наблюдения двойных галактик типа ЕЕ представлены в табл. 1. Столбцы содержат следующие сведения:

1. Порядковый номер. 2. Номер по каталогу [1]. 3. Номер по каталогу [2].

4. Номер по NGC или lc. 5. Экваториальные координаты для эпохи 1950,0.

б. Диаметр примененной диафрагмы.7. Диаметр галактики в минутах дуги.

- 8. Расстояние между компонентами в минутах дуги.
- 9. Морфологический тип. 10. Лучевая скорость. 11. Порядковый номер. 12. Номер по NGC.
- Интегральная величина V.
   Показатель цвета В—V.
   Показатель цвета U—B.

16. Дата наблюдения (год, месяц, день).

17. Величина V, скорректированная за галактическое поглощение и красное смещение.

18. Показатель цвета В-V, скорректированный за галактическое

поглощение и красное смещение.

19. Показатель цвета U—B, скорректированный за (дифференциальное) галактическое поглощение и красное смещение.

20. Расстояние до галактики, выраженное в Мпс ( .Н=75 км сек. ыпс.)

21. Абсолютная величина.

### II. Обработка наблюдательных данных

1. Сравнение показателей цвета.

Произведено сравнение показателей цвета галактик E, входящих в пары (EE), и единичных галактик E. Из каждой группы взято по 60 представителей. Для двойных галактик EE получены средние показатели цвета  $(\overline{B-V})=0.88$  и  $(\overline{U-B})=0.36$ , в то время как для единичных галактик E  $(\overline{B-V})=0.87$  и  $(\overline{U-B})=0.40$ . Применяя статистический критерий Фишера [7] для дисперсионного отношения F=

$$=\frac{sx^2}{sy^2}$$
 и отношения средних величин  $t=\frac{x-y}{s\sqrt{\frac{1}{n_1}+\frac{1}{n_3}}}$ , можно отме-

тить, что существует некоторое различие в средней величине и дисперсии показателей цвета, однако нельзя с уверенностью утверждать, что эти совокупности составляют разные группы. Произведено сравнение и средних показателей цвета для E галактик, входящих в пары EE и E-S. Для E галактик из пар EE получаются средние величины B-V=0.88 и U-B=0.36, а для E галактик из пар E-S B-V=0.83 и U-B=0.33. И в этом случае нельзя с уверенностью делать вывод о реальном различии галактик этих двух групп.

2. Корреляция между показателями цвета двойных галактик ЕЕ. Холмберг в [8], используя фотографические данные только для цвета В—V 32 двойных галактик различного морфологического типа показал, что существует корреляция между цветами компонент двойных галактик. По его вычислениям коэффициент корреляции равен

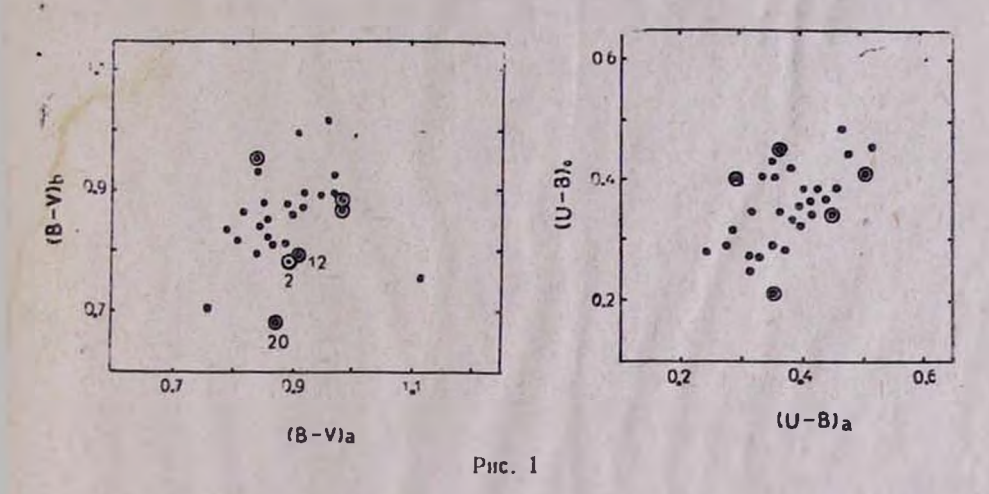
$$R = 0.80 \pm 0.06$$
 (T. e.)

Для двойных галактик типа EE по нашим данным получены коэффициенты корреляции между показателями цвета отдельных компонент пары:

$$R_{(B-V)_a} = \frac{0.72 \pm 0.087}{0.87 \pm 0.05} \text{ (t. e.)}$$

$$R_{(V-B)_a} = \frac{0.72 \pm 0.095}{0.84 \pm 0.06} \text{ (t. e.)}$$

Из рис. 1 видно, что все точки (а—соответствует более яркой компоненте) расположены в узкой полосе вокруг прямой с наклоном 45°. Далеко отстоят от этой зависимости пары № 2, 8, 12, 20, 22, 24 из табл. 1. У этих пар велика также и разность лучевых скоростей компонент, так что с большой степенью вероятности их можно считать оп-



тическими парами. В табл. 1 содержатся также и три пары (№ 8, 19, 20), которые имеют большие разности лучевых скоростей компонент, хотя различия их показателей цвета невелики. Эти три пары также можно считать оптическими, хотя не исключена их физическая связь. Все остальные пары табл. 1 можно считать физическими—разница лучевых скоростей компонент не превышает 300 км/сек, а показателей цвета 0, то 10. Тот факт, что показатели цвета компонент физических пар различаются очень мало, имеет большое космологическое значение.

Чтобы проверить надежность наблюденной закономерности, было произведено сравнение со степенью корреляции показателей цвета пар 30 произвольно взятых галактик того же морфологического типа—Е. Величины коэффициентов корреляции цвета произвольно взятых галактик равны:

$$R_{(B-V)} = {0.31 \pm 0.165 \atop 0.62 \pm 0.07} \quad (\tau. e.)$$
 $R_{(U-B)} = {0.12 \pm 0.180 \atop 0.53 \pm 0.07} \quad (\tau. e.)$ 

Очевилно, что коэффициенты корреляции цветов в физических парах значительно выше.

В табл. 2 приведены следующие величины:

1. Порядковый номер, совпадающий с помером по табл. 1.

2. Homepa no CPG, NGC.

3. Разница величин компонент пары.

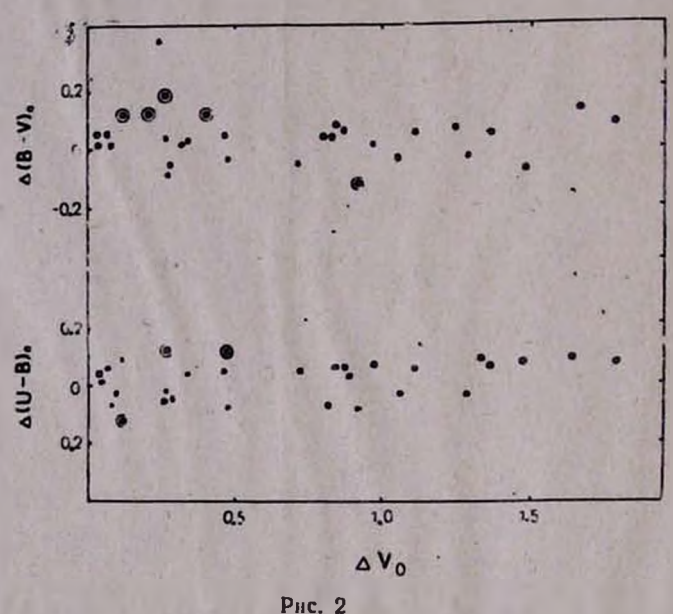
4. Разница показателей цвета В-V компонент. 5. Разница показателей цвета U—В компонент. 6. Разница лучевых скоростей  $\Delta V_{\rm f}$  компонент.

7. Логарифм лучевых скоростей.

8. Расстояние между компонентами в кпс.

9. Разница в абсолютных величинах. Зависимость между величинами  $\Delta V$ , показателями цвета  $\Delta$  (B-V)

∆(U-В) приведена на рис. 2. Различие величин компонент достигает 1.5, в то время как показатели цвета не различаются больше чем на 0,1. Это указывает на сходство звездного состава компонент. Пока нет наблюдений, позволяющих определить различие показателей цвета у компонент, отличающихся более чем на 1.5 по яркости.



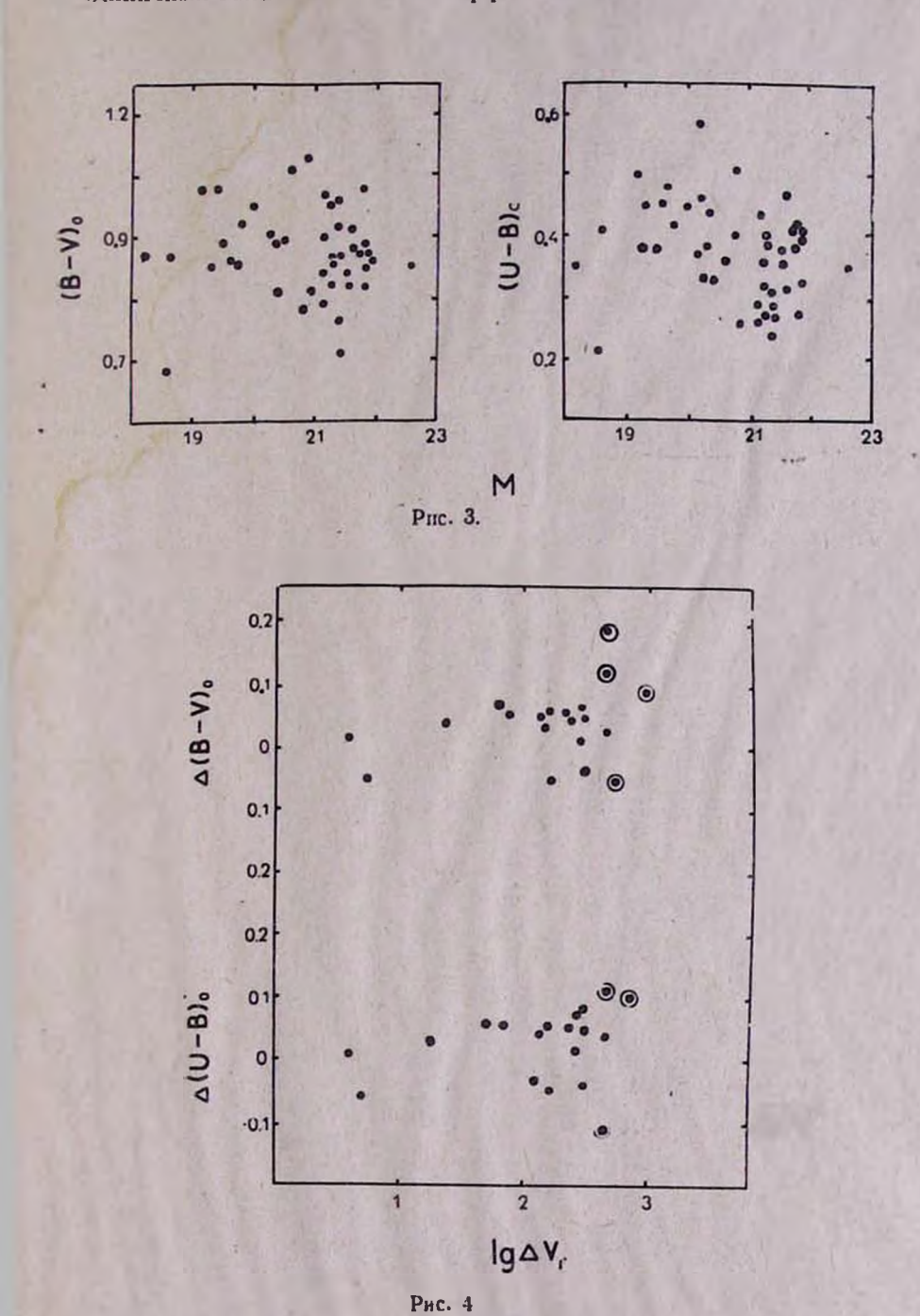
На рис. З приведена зависимость между абсолютной величиной компонент и их показателями цвета. Можно прийти к выводу о небольшом покраснении больших галактик в цвете B-V, однако для показателя цвета U-B наблюдается обратная зависимость.

Рассмотрена также зависимость между различием лучевых скоростей и показателями цвета отдельных компонент. Из рис. 4 видно,

что нет четкой зависимости между этими величинами.

Для пар, имеющих измеренные лучевые скорости (21 шт.), вычислены удаления от наблюдателя. На рис. 5 заметны два максимума около расстояний 10 мпс и 70 мпс. На том же рисунке даны расстояния между компонентами.

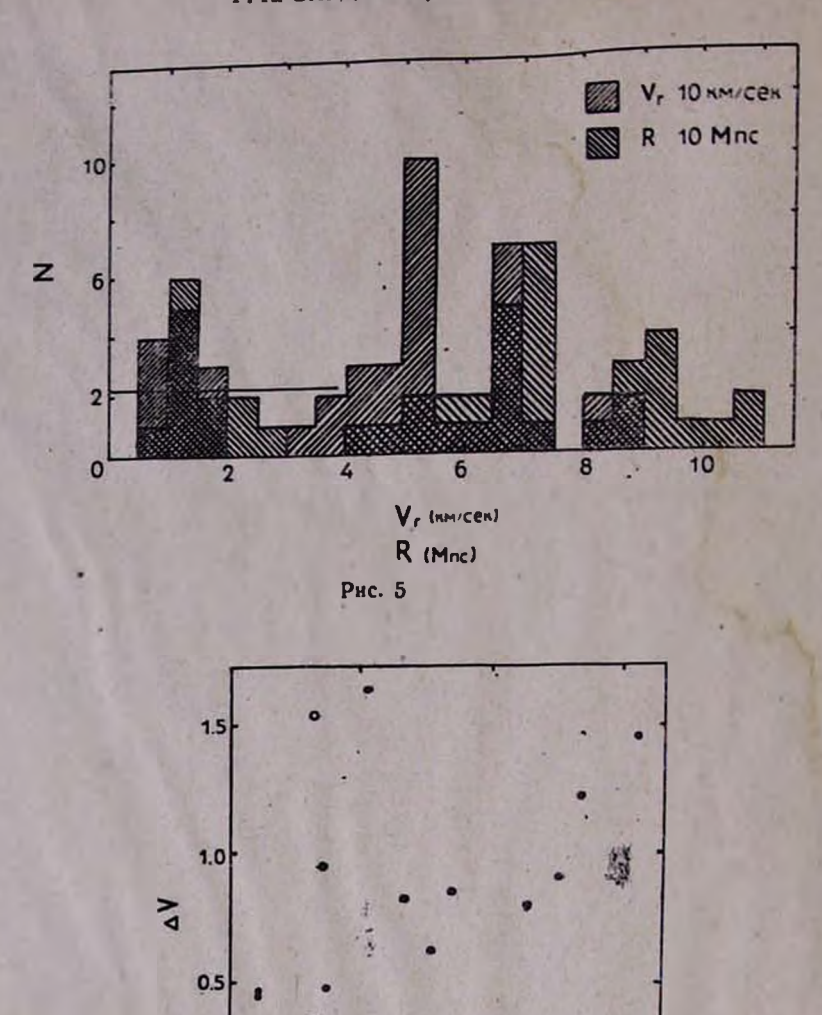
Вычислены линейные размеры пар галактик ЕЕ и полученные величины сравнены с размерами случайной выборки единичных галактик типа Е. Для сохранения однородности в определении размеров все они взяты по каталогу UCG [9]. Полученные результаты показывают, что галактики типа Е, входящие в пары, не различаются по размерам от единичных галактик того же морфологического типа.



				· Koopa	1950.0			1	Tisn	Vr
75	CPG	MKG	NGC	2	0	A	D	X	11811	VI
-	1 22	5-03-52	382	01 04-7	32 08	0.90	0-8	0.54	E	5354 5086
1.	23	5-03-53 5-03-55	383 384	01 04-7	32 09 32 00	0.90	2.0	1.90	SOE	4401
2	-	5-03-56	385	01 04-7 01 20-2	32 02 33 13	0.90	1.4	2.80	so	4845 4565
3	-	5 - 4-35 5- 4-38	495 499	01 20-5	33 12 33 00	0-90	1.5 2.0	1.60	SO	4304 5118
4	-	5-04-45 5-04-45	507 508	01 20·9 · 01 21·0	33 02	0.90	1.3	0.50	E SO	5575
5	32	0-04-142	545 547	01 23·4 01 25·5	-1 35 -1 36	0.90	1-6		E	5437 5246
6	44	1— 5—37 1— 5—38	-	01 48-9 01 49-0	08 00	0.90	1.8	2.76	E	5092
7	46	5-05-34	750	01 54.6	32 58 32 57	0-90	1.4	0-45	E	5295 5291
8	99	5—05—35 0—12—35	751 1587	04 28-1	00 33	0-90	1.9	0.97	SO E	3812 3275
9	145	012-37	1588	04 28-2 07 47-6	50 21	0.90	0.6	0.36	E	6691 6998
10	147	9—13—96	2474	07 47-6 07 54-1	50 21 53 00	0.90	0.6	0.40	EEEEE	5076
11	175	9—13—97 3—23—10	2475 2672	07 54·1 08 46·5	53 00 19 16	0.90	0.8	0.56	E	4100
	100	3—23—11 2—23—26	2673	08 46-6 09 01-8	19 16 13 45	0-90	1.0	3-24	E .SO	3669
12	184	2-23-27	-	09 02·1 09 13·9	13 46	0.90	1.0	0.80	E	8519
13	194	3-24-26 3-24-27	2802 2803	09 14-0	19 10	0.90	0.9	1.00	E SO	8718
14	-	6-21-14 6-21-15	2831 2832	09 16.6 09 16.6	33 57	0.90	0.5	16	E	6897
15	-	4-14-25	3190 3193	10 15.5 10 15.8	22 06 22 10	0.90	3.0	5.10	SO E	1354
16	-	2—28—11 2—28—12	3379 3384	10 45·2 10 45·7	12 51 12 54	2·25 2·25	3.8	7-50	E SO	877 767
17	276	1-29-11	3567a	11 08-7	06 06	0.90	0.7	0.59	E E	_
18	278	3-29-20	3567 B 3607	11 14.3	06 05	2.25	4.8	5.96	E	840
19	300	3-29-22 3-30-106	3408 3873	11 14·4 21 43·1	14 25 20 03	2.25	3.0	0.84	E	1117
20		3-30-105	3875 4061	11 43·2 12 01·4	20 02 20 30	0.90	0.8	1.00	SO E	1545
	327	4—29—07 5—29—42	4065 4211a	12 01.5	20 30 28 27	0.90	1.0	0.56	E	1122 6556
21	321		4211B	12 13 1	28 76	0.90	0.6	3.80	E	6603 651
22		5—29—62 5—29—63	4278 4283	12 17·4 12 17·6	29 34 29 36	0.90	1.4		E	1085
23	331	1-32-17	4296 4297	12 18·9 12 18·9	06 55	0.90	0.6	1.10	SO E	_
24	361	5—31—26 5—31—27	4841a 4841a	12 55 - 1	28 45	0.90	1.5	0-53	E	6892 6224
25	373	6-30-4	5141 5142	13 22·6 13 22·8	36 38 36 40	0.90	1.7	2.34	SO SO	5280 5350
26	-	0-38-25	5846a	15 04.0	01 46	0.90	2.5	1-00	E	1937
_ 27	456	0-38-26 0-39-7	5846a 5868	15 07-3	01 47	0.90	0.9	3.61	E SO	1796
28	501	039-6	5869	15 07·3 16 45·3	68 01	0.90	2.5	1-23	SO E	=
29	564	2—56—23	7236	16 45 · 4 22 12 · 3	68 02	0.90	1.1	0.59	E SO	8098
30	595	2—56—24 0—60—58	7237 7783a	22 12.3	13 35 00 06	0.90	0.9	0.66	E	E093 7165
30	1	0-60-59	7783B		00 06		0.7	0.00	Ë	6855

Таблица 1

₩.	NGC	V	(B-V)	(U-B)	Дата	V <sub>o</sub>	(B-V) <sub>0</sub>	(U-B)。	RMIIC	М
1	382	13.33	1.02	0.56	76-01-18	12-97	0.82	0.40	71.39	-21-30
	383	12.51	1.05	0.50	77 00 10	12-15	0.86	0.33	67 · 41 58 · 68	21.93
2	384	13.45	0-97	0.54	77.02.18	13·09 12·92	0.76	0.40	64-60	-20.75 $-21.13$
3	385 495	13·28 12·53	1.05	0.43	77-02-08	12.17	0.87	0.41	60.86	-21.75
v	499	13.76	0.99	0.48		13-40	0-81	0.33	57 . 38	-20.39
4	507	12.54	1.09	0.48	77-01-19	12-18	0.97	0.39	68-24	<i>-</i> 21⋅31
	508	13-64	1.04	0.43	00 10	13.28	0.92	0.35	74.20	- 01 50
5	545	12.76	1.01	0.56	77-02-19	12.56 12.48	0.87	0.41	74.33	-21.80 21.82
6	547	12.68	1.03	0·52 0·52	77 - 02 - 19	12.88	0.96	0.41	69.95	-21.34
6	44	13·10 13·82	1-16	0.48	77 02 15	13.60	1.01	0.36	67 - 89	-20.55
7	750	12.77	1.05	0.57	76-01-18	12.39	0-85	0.40	70-50	-21.86
	751	13 09	1-04	0.54	40 0-	12.70	0.84	0.38	70.55	-21.54
8	1587	12.67	1.02	0.51	76 - 12 - 27	12.31	0.84	0.36	50-83	21.22
	1588	13-59	1.12	0.59	77-02-23	13·23 13·37	0.95	0.45	43·67 89·21	19-97 21-38
9	145	13.73	0.89	0.46	11.02.23	13.43	0.71	0.24	93.30	-21.36
10	2474	13·97 13·52	0.94	0.39	77-02-08	13.16	0.82	0.31	-	
10	2475	13.86	0.93	0.34		13.20	0.81	0-26	67 - 68	-20.95
11	2672	12.40	1.06	0.56	77.02.19	12-09	0.91	0-47	54 - 67	-21.60
	2673	13.29	1.04	0.59		12.99	0.89	0.44	48 - 92	20-46
12	184	14-04	0.90	0.42	78 - 03 - 13	13.73 13.24	0.79	0.34	_	_
	0000	13.55	1.02	0.53	77 - 02 - 20	13.24	0.92	0.43	113.58	21.38
13	2802   2803	14-18 14-23	1.07	0.47	77-02-20	13.95	0.87	0.29	116-24	21.38
14	2831	13.78	1.08	0.52	76-04-15	13.52	0.88	0.40	_	_
	2832	12-47	1.03	0.44		12.23	0-85	0.35	91.96	-22.59
15	3190	11.67	1-02	0.52	77-03-18	11-47	0.92	0.42	18.05	19 - 82
	3193	12.03	0.98	0.45	77 02 10	11.81	0.89	0.46	18·28 11·69	-19.50 $-20.22$
16	3379	10.22	0.98	0.53	77-03-18	10·11 10·38	0.86	0.48	10.23	-19.67
17	3384 3567a	10·58 13·71	0.95	0.36	78-03-29	13.49	0.79	0.31	-	_
**	3567a	14.77	0.91	0.39		14.55	0.83	0.34	_	-
18	3607	10.80	0.94	0.50	76-04-15	10.61	0.86	0.45	11.00	-19-64
	3608	11-78	0.93	0.45		11.58	0.85	0.38	14.89	<b>—19∙28</b>
19	3873	13-12	0.95	0-40	76-03-29	12·93 13·77	0.89	0.35		
170	3875	13.95	0.87	0.34	78-04-12	13.03	0.81	0.23	20.60	18-54
20	4061	13.21 12.94	0.73	0.41	70.04.12	12.76	0.87	0.35	14.96	-18-11
21	42112	13.63	1.09	0.51	78-03-13	13.45	0.95	0.38	87.41	-21-26
2.	4211B	14.50	1.03	0.46	100	14.32	0.89	0.33	88.04	20.40
22	4278	10.72	1.07	0.55	75-05-08	10.55	0.98	0.50	8 - 68	-19.15
00	4283	12.36	0.96	0.45	78 - 03 - 28	12·18 14·35	0.87	0.41	14 - 47	<b>—18.62</b>
23	4298	14.54	0.98	0 46 0·51	10.03.20	12.56	0.97	0.44		
24	4297 4841a	12.75 13.24	1.05	0.48	77-04-21	13.08	0.98	0.37	91.89	-21.74
24	4841B	13.45	1-02	0.39	0. 2.	13.29	0.87	0.27	82-98	-21-30
25	5141	13.07	0.98	0.43	76 - 05 - 05	12-89	0.84	0.32	70-40	
	5142	13.54	0.93	0.38		13.36	0.79	0.26	71.33	-21.19
26	5846a	11-47	1-13	0.59	78-03-29	11.23	1.03	0.51	25.83	-20.83
07	5846в	12.83	1.08	0.53	77.07 14	12.59	0.98	0.45	23.95	-19-31
27	5868 5869	13.82 12.55	1-10	0.40	77-07-14	13.78 12.31	0.99	0.32	_	
28	501	13.42	1.03	0.35	76.07.20	13.11	0.93	0.28	_	
20	_	13.35	0.94	0.31		12-84	0.84	0.24	-	_
29	7236	13-67	1.04	0.50	76-08-02	13.33	0.82	0.28	107 - 97	-21.83
	7237	13.86	1.08	0.48	70 00 00	13.62	0.88	0.31	107-91	-21.54
30	7783a	13.97	1.04	0.52	76-09-03	13.77	0.86	0.43	95.53	-21·13 -21·51
	7783в	13-50	0.99	0.46		13-29	0.82	0.35	91-40	_21.01



Piic. 6

0.5

Пары галактик типов E—S и S—S будут рассмотрены дополни тельно.

ΔM

1.0

1.5

В заключение авторы выражают глубокую благодарность Э. А Дибаю за указание направления исследований и академику В. А. Ам барцумяну за обсуждение полученных результатов.

Таблица 2

No	CPG NGC	۵V。	△(B-V),	۵(U-B)	△Vr	lg△Vr	Х кпс	ΔM
1 2 3 4 5 6 7 8 9 10 11 12 13 14 15 16 17 18 19 20 21 22 23 24 25 26 27 28 29 30	23 384 495 507 32 44 46 99 145 147 175 184 194 2831 3190 3379 276 278 300 4061 327 4278 331 361 373 5846a 456 501 564 595	0.82 0.12 1.23 1.10 0.08 0.72 0.31 0.92 0.06 0.04 0.90 0.49 0.05 1.29 0.34 0.27 1.06 0.97 0.87 1.63 1.79 0.21 0.47 1.36 1.47 0.27 0.29 0.48	+0.04 +0.12 +0.06 +0.05 +0.01 -0.01 +0.01 +0.02 -0.03 +0.03 +0.03 +0.04 +0.01 +0.08 +0.01 +0.08 +0.11 +0.05 +0.01 +0.05 -0.01	-0.07 -0.11 -0.08 +0.04 -0.03 +0.05 -0.09 -0.05 +0.03 -0.01 -0.02 -0.03 +0.07 +0.04 -0.02 -0.05 +0.04 -0.05 -0.014 -0.05 -0.06 -0.07 -0.06 -0.07 -0.08	268 444 261 ———————————————————————————————————	2.43 2.65 2.42 2.14 2.19 0.60 2.73 2.49 2.63 1.23 2.04 2.44 2.63 1.67 2.64 2.82 1.85 2.15 	10·79 33·73 47·67	0.68 0.38 1.36 0.02 0.79 0.32 1.25 0.03 1.14 0 0.32 0.55 0.36 0.43 0.86 0.53 0.44 0.16 1.52 0.29 0.38

20 февраля 1978 г.

#### Ռ. Ա. ՎԱՐԴԱՆՑԱՆ, Ա. Ն. SAՄՈՎ

# E ՏԻՊԻ ԿՐԿՆԱԿԻ ԳԱԼԱԿՏԻԿԱՆԵՐԻ ԴԻՏՈՒՄՆԵՐ

## Ամփոփում

Աշխատանքում բերվում են կրկնակի գալակտիկաների (EE տիպի) լուսաչափական դիտումների արդյունքները UBV սիստեմում։

#### R. A. VARDANIAN, A. N. TOMOV

# THE OBSERVATIONS OF E TYPE DOUBLE GALAXIES Summary

The results of UBV observations of double (EE) galaxies are presented

#### ЛИТЕРАТУРА

- 1. И. Д. Караченцев, Ссобт. САО, 7, 1972.
- 2. Б. А. Воронцов-Вельяминов, Морфологический каталог галактик 1962—68
- 3. А. Н. Томов, Бюлл. Астрономической обс., Барна (Болгария) 1973.
- 4. А. Н. Томов, Астрофизические исследования, т. 4, София, 1977.
- 5. G. a A. Vaucouleurs, Mem. RAS, part 1, 1972.
- 6. G. a A. Vaucouleurs, Sec. Ref. cat. of Bright Galaxies, 1975.
- 7. Д. Ходсон, Статистика для физиксв, 1970.
- 8. E. Holmberg. Medd. lunds Astr. observ. ser II, Nº 136, 1958.
- 9. P. Hilson, Uppsala General Catalogue of Galaxies, 1965.

#### НОВЫЕ ПЕРЕМЕННЫЕ СВЕРХГИГАНТЫ СПЕКТРАЛЬНОГО КЛАССА М

С целью выявления новых звезд с переменной линейной поляризацией и с переменным блеском среди М сверхгигантов в Бюраканской астрофизической обсерватории в течение 1973—1977 гг. выполнено свыше 5000 поляриметрических и 2000 электрофотометрических наблюдений 78 звезд. В программу наблюдений, кроме известных переменных М сверхгигантов, вошли 22 звезды, которые не были известны как переменные. В данной работе приведены результаты электрофотометрических наблюдений этих 22 М сверхгигантов. Результаты наших наблюдений показывают, что 13 из них являются переменными с малой амплитудой изменения блеска. Предварительное сообщение об этом опубликовано в [1, 2].

Наблюдения велись одноканальным электрофотометром [3] на полуметровом телескопе A3T—14 A в системе UBV. Для осуществления цветовой системы близкой к UBV в комбинации с фотоумножителем EMI—9502A были выбраны следующие светофильтры: U—UG1—1 мм + C3C 21—1 мм, В—СС 5—2 мм, V—OG 515—2 мм. Коэффициенты перехода Av, A<sub>B—V</sub>, A<sub>U—B</sub> из пиструментальной цветовой системы к UBV, определенные из наблюдений стандартных звезд скопления NGC

6882/5 [4], приведены в табл. 1.

7 5 01	7 ,	Ta	блица 1
Время набл.	A <sub>V</sub>	A <sub>B-V</sub>	A <sub>U-B</sub>
1973—74 1974—75 1975—76 1976—77	0.006 0.000 0.000 0.000	0.932 0.948 0.943 0.929	1-126 1-098 1-138 1-097

Оценки блеска и цветов программных звезд проводились относительно звезд сравнений. Для каждой звезды была выбрана одна звезда сравнения и одна контрольная. UBV фотометрия звезд сравнений и контрольных проводились нами по методике Харди [5].

Список наблюденных звезд приведен в табл. 2. В последних четырех столбцах таблицы даны номера звезд сравнений и контрольных по каталогу BD, а также их звездные величины и цвета в системе UBV.

Результаты наших электрофотометрических наблюдений приведены в табл. 3 и 4. В табл. 3 собраны данные о звездах, переменность блеска которых установлена по нашим наблюдениям. Часть результатов наблюдений звезд ВD +35° 4077, +60° 335 и Case 23 опубликована в работе [1].

В табл. 4 приведены средние фотометрические характеристики тех звезд, у которых переменность блеска не обнаружена. Номера звезд

		The same		_	
Звезда BD или Case	Спектр	Звезда сравнения и контроль- ная BD	v	B-V	U-B
		-60° 321	8.25	-1·46	-1·39
1 160 2026	MO lab	-60° 317	9.60	-0.45	+0.21
÷16° 3936	No 140	-36° 4036	9.17	$+1.14 \\ +0.25$	1.03
-35° 4077	M3 lab	-36° 4046 -59° 2327	8·78 7·55	1.29	+1.23
+58° 2249	M1 ep1b+B2		9.51	+0.45	-0.05
700 2213	200	-59 2524	9·31 9·19	$-1.80 \\ +1.57$	+1.86
Case 75	M3.5 la	-58° 2453   +58° 2495	9.19	1.61	-1.80
Case 78	M2 1b	÷59° 2583	9.20	-1.58	+1.17
		59° 2675	10-24	+1·25 +1·46	+1·00 1·43
Case 81	M2 1b	-59° 2661 -63° 2073	8 · 84 8 · 97	-1-16	-1.44
+63° 2073	M0 1b	63° 2076	8.68	+1.23	+0.89
		→63° 75	9.08	1.68	+1.09
Case 23	Ml lab	+63° 71 +56° 340	9·43 8·33	$+1.43 \\ +1.73$	+1.99
+55° 388	M2 1a	-56° 402	8 - 27	+1.15	-0.93
		→60° 321	8.25	$+1.46 \\ +0.45$	-1·39 -0·21
60° 335	M3 lab	+60° 317 -58° 434	9.60 9.82	0.45	+0.17
+58° 373	M2 lab	+57° 537	9-16	+0.40	-0.16
	A	+58° 443	9.82	+0.35	- <del>-</del> 0·17 0·16
+57° 524	M1 lab	-57° 537 -58° 434	9·16 9·82	+0·40 +0·35	0·10 0·37
+58° 445	M2 lab	57° 534	9-16.	-10.40	-0.16
N. W.		-55° 531	8.80	+0.44	+0.02
+56° 595	MO lab	+55° 526 +55° 531	9.49 8-80	+0.15 +0.44	0·12 0·02
+56° 597	MO Tab	±55° 526	9.49	-0.15	-0.12
		-55° 531	8-80	+0.44	+0.02
+56° 609	M2 lab .	-55° 526 -56° 773	9.49 8.19	+0·15 -+1·23	$-0.12 \\ +1.00$
Case 31	M1 1b	÷57° 681	8.86	+0.60	-0.40
		-60° 624	9.50	+1.83	+2.03
Case 32	M0 1a	+60° 615 -59° 572	9·47 8·43	+1.61 +1.45	$+1.76 \\ +1.41$
59° 580	M1 1b	+59° 572 +59° 575	9.88	+1.29	+1.06
		+54° 649	9.05		-1.1.39
+54° 651	MO lab	+54° 647	8.23	+1·53 +1·70	+1·44 +1·96
+29° 897	M1 1b	+30° 897 +30° 876	8·04 8·55	+1.76	+1·90 -1·28
		+05° 1212	7-90	+1.42	-1-66
+05° 1198	M2 lab	+05° 1190	8.05	+1.12	+0.97

указаны в первом столбце, в следующих трех столбцах даны сред блеск  $\overline{V}$ , средние цвета  $\overline{B-V}$  и  $\overline{U-B}$ , в пятом столбце—среднект ратичное отклонение результатов измерений блеска  $s_V$ , в шесто число наблюдений n за 1973—1977 гг.

По результатам табл. З для каждой звезды вычислены сред квадратичные отклонения блеска  $s_V$  и цветов  $s_{B-V}$   $s_{U-B}$ . ( $s_{U-B}$  вычлено только для 7 звезд, остальные из-за слабости в полосе U наблюдались). Значения  $s_V$ ,  $s_{B-V}$  и  $s_{U-B}$  приведены в табл. 5. В же таблице даны средний блеск, средние цвета и число наблюде за период 1974—1977 гг. Для сравнения в последних трех столб табл. 5 приведены среднеквадратичные ошибки одного измере блеска  $\sigma_V$  и цветов  $\sigma_{B-V}$ ,  $\sigma_{U-B}$ , вычисленные по наблюдениям зв

		Ta	блица З	. 3			100	
JD244	V	B-V	U—В		1	2	3	4
1	2	3	4		2988 · 56 2995 · 55 3013 · 50	10-81 10-89	+2·80 -2·83	
		0 40// m			3018-52	10.69	2-92	
2934 · 52 2965 · 56	9.76	3.00			3050 • 43 3099 • 32	10.70	-2·85 -2·91	
2989-51	9.78	- -3-03					81	*
3011·41 3014·46 3017·48 3052·43 3095·32	9.80 9.80 9.80 9.83 9.94				2244·55 2250·52 2254·53	9·97 9·97 9·97	2.80 2.82 2.78 2.85	
	Case	75	1182		2276 - 48	9.97	-2.83	
2244·52 2250·50 2254·50 2273·47 2276·45 2311·44 2335·44 2340·44 2368·38 2397·28 2427·32 2607·52 2628·49 2631·48 2638·53 2667·47 2691·45 2746·38 2987·55 2990·58 2992·50 3018·50	11.02 11.02 11.02 11.01 11.02 10.95 10.95 10.95 10.95 10.95 11.02 10.83 10.82 10.90 10.88 11.00 11.23 11.22 11.24 11.29 11.35	-3.17 -3.16 -3.17 -3.25 -3.34 -2.96 +2.99 -3.26 -3.22 -3.10 +3.26 -3.29 -3.18 -3.24 +3.26 -3.29 -3.11 +3.26 -3.21 -3.21			2309·53 2331·44 2337·44 2343·43 2398·35 2427·33 2607·61 2628·53 2631·52 2638·57 2662·55 2698·52 2721·37 2772·33 2986·53 2989·58 3011·49 3014·54 3017·56 3024·58 3052·56 3098·36	10·10 10·13 10·13 9·99 9·99 10·05 10·05 10·04 9·99 9·95 9·95 9·95 9·95 9·97 9·97 9·97	.+2.76 -2.73 -2.72 +2.77 -2.78 +2.77 -2.80 -2.72 -2.80 +2.80 -2.74 -2.78 -2.76 -2.71 -2.76 -2.71 -2.74 -2.73 -2.74 -2.76	
3092.30	11-25	3⋅15	1		2986 · 63 2989 · 60 3011 · 55	10.76 10.74 10.75	2.80 2.74 2.79	
2245·55 2250·57 2254·51 2273·49 2276·47	11.10 11.07 11.05 10.94 10.94	+2.89 +2.93 +2.97 +3.00 +2.98			3014 · 56 3017 · 58 3024 · 60 3052 · 58 3095 · 38	10.77 10.78 10.78 10.71 10.69	2·74 2·78 2·72 2·76 2·70	
2383-53	10-70	-3.01	1/1			BD5	5° 388	
2338-52 2344-47 2368-40 2397-38 2425-30 2607-57 2628-51 2631-50 2638-54 2662-46 2692-44 2714-43 2754-33	10.68 10.73 10.74 10.85 10.99 11.02 10.88 10.88 10.88 10.84 10.98	-3.01 -2.97 -2.92 -2.89 -2.92 -2.93 -2.93 -2.93 -2.91 -2.91 -2.89 -2.95			2255·61 2273·60 2309·58 2315·64 2331·58 2337·62 2343·52 2425·35 2629·63 2634·58 2667·58 2691·57 2720·40	8.88 8.91 8.87 8.92 8.91 8.92 8.96 8.79 8.79 8.75 8.84	+2-10 -2-11 -2-11 -2-09 +2-09 -1-11 +2-02 +2-05 +2-05 -1-99 +1-99 +2-00	-1.88 +1.84 +1.97 -1.92 -2.00 +1.96 -2.02 +1.89 +1.85 -1.73 +1.69 +1.72
	2934 · 52 2965 · 56 2985 · 36 2985 · 36 2989 · 51 3011 · 41 3017 · 48 3052 · 43 3095 · 32 2244 · 52 2250 · 50 2254 · 50 2273 · 47 2276 · 45 2311 · 44 2335 · 44 2340 · 44 2368 · 38 2427 · 32 2607 · 52 2628 · 49 2631 · 48 2638 · 53 2667 · 47 2691 · 45 2746 · 38 2987 · 55 2990 · 58 2992 · 50 3018 · 50 3050 · 42 3092 · 30 2245 · 55 2250 · 57 2254 · 51 2273 · 49 2276 · 47 2310 · 42 2333 · 53 2388 · 52 2344 · 47 2368 · 40 2397 · 38 2125 · 30 2607 · 57 2638 · 51 2631 · 50 2638 · 54 2638 · 51 2631 · 50 2638 · 54 2639 · 30 2647 · 57 2658 · 51 2631 · 50 2638 · 54 2669 · 44 2714 · 43	1 2  BD +3  2934.52   9.74 2965.56   9.76 2985.36   9.76 2989.51   9.78 3011.41   9.80 3014.46   9.80 3017.48   9.80 3052.43   9.83 3095.32   9.94  Case  2244.52   11.02 2250.50   11.02 2254.50   11.02 2273.47   11.01 2276.45   11.02 2311.44   10.95 2335.44   10.95 2335.44   10.95 2340.44   10.95 2368.38   10.97 2397.28   10.95 2427.32   11.02 2607.52   10.85 2628.49   10.83 2631.48   10.82 2638.53   10.90 2667.47   10.88 2691.45   11.22 2990.58   11.24 2992.50   11.29 3018.50   11.25 3050.42   11.25 3092.30   11.25  Case  2245.55   11.10 2333.53   10.70 2338.52   10.94 2276.47   10.94 2310.42   10.79 2333.53   10.70 2338.52   10.68 2338.52   10.99 2607.57   11.07 2333.53   10.70 2338.52   10.94 2276.47   10.94 2310.42   10.79 2333.53   10.70 2338.52   10.68 2338.54   10.88 2631.50   10.88 2638.54   10.88 2658.54   10.88 2658.54   10.88 2658.54   10.88	BD   35° 4077   300	1   2   3   4	BD +35° 4077	D244+   V	D244+   V	D244

	Продол	жение так	5.1ицы 3
1	2	3	4
2989-65 3013-59 3017-62 3024-64 3052-62 3095-40	8.84 8.86 8.86 8.86 9.03 8.82	$\begin{array}{c} -2.02 \\ +2.06 \\ -2.04 \\ -2.07 \\ -2.01 \\ +2.03 \end{array}$	-1.94 -1.89 -2.02 -1.87 -1.81 -2.01
	BD6	0= 335	
3002-62 3018-58 3050-51 3095-54	9.08 9.07 8.91 9.04	$\begin{array}{c c} -2.38 \\ -2.40 \\ +2.37 \\ +2.39 \end{array}$	$\begin{array}{c} - \\ +2.15 \\ +2.18 \end{array}$
	BD +5	8* 445	
2276 · 59 2310 · 62 2333 · 68 2340 · 50 2345 · 68 2425 · 49 2476 · 39 2631 · 65 2662 · 68 2598 · 63 2720 · 52 3013 · 65 3018 · 64 3050 · 59 3095 · 49	8·28 8·22 8·30 8·30 8·30 8·30 8·29 8·23 8·33 8·36 8·27 8·26 8·25 8·48 8·38	-2.52 -2.48 -2.48 -2.46 +2.46 -2.45 -2.47 -2.49 -2.44 +2.43 +2.43 +2.43 +2.43 +2.43	+2.76 +2.54 +2.75 -2.87 +2.80 +2.48 +2.48 +2.68 +2.42 +2.50 +2.52 +2.52 +2.51 +2.52 +2.52 +2.29
	BD +56	5° <b>59</b> 5	
2278-63 2311-60 2335-59 2340-63 2346-62 2427-44 2634-66 2635-62 2668-54 2697-59 2721-60 2772-41 3014-62 3023-66 3051-67 3082-53 3100-43	8-49 8-22 8-15 8-17 8-15 8-12 8-13 8-16 8-12 8-15 8-13 8-13 8-13	+2·28 +2·23 +2·20 +2·23 +2·19 +2·23 +2·27 +2·22 -2·24 +2·23 +2·27 +2·25 +2·19 +2·19 +2·21	+2·50 +2·23 +2·36 +2·36 +2·30 +2·29 +2·35 +2·26 +2·26 +2·26 +2·32 +2·32 +2·35 +2·31
	BD +5	5° 509	100
2635 · 65 2668 · 56 2697 · 65 2721 · 63 2799 · 32 3014 · 60 3019 · 60 3051 · 63 3082 · 51 3100 · 45	8·23 8·32 8·25 8·21 8·19 8·40 8·41 8·52 8·53 8·46	-2·38 -2·36 +2·35 -2·34 -2·30 -2·44 +2·39 -2·34 -2·36	+2.41 +2.31 +2.23 +2.31 +2.34 +2.06 +2.14 +2.19 +2.13 +2.27

-	2	3	4
1	Case	31	12.11
2311·62 2336-63 2340·54 2345·52 2397·58 2427·49 2668·64 2691·65 2697·61 2714·49 2720·55 2745·55 2835·32 3017·66 3082·60 3100·48	9.89 9.93 9.96 9.96 9.90 9.84 9.91 9.87 9.90 9.85 9.86 9.84 10.01 10.08 9.99	-2.77 +2.77 +2.77 -2.78 +2.80 -2.84 +2.81 +2.82 -2.73 -2.75 -2.78 -2.78 +2.74 +2.66 +2.67 +2.66	
	BD +2		2625
2340 · 68 2345 · 55 -2426 · 49 2430 · 34 2476 · 39 2480 · 45 2488 · 38 2502 · 34 2507 · 35 2745 · 56 2755 · 57 2779 · 50 2830 · 38 2859 · 33 2860 · 31 2866 · 32 3051 · 69 3082 · 62 3098 · 54 3168 · 45 3189 · 39	7·49 7·47 7·37 7·36 7·34 7·35 7·35 7·37 7·32 7·37 7·37 7·37 7·37 7·37 7·37	+2·29 +2·28 +2·31 +2·32 +2·29 +2·28 +2·28 +2·29 +2·30 +2·30 +2·31 +2·32 +2·31 +2·32 +2·31 +2·32 +2·31 +2·32 +2·31 +2·32 +2·31 +2·32 +2·31 +2·32 +2·31 +2·32 +2·31 +2·32 +2·31 +2·32 +2·31 +2·32 +2·31 +2·32 +2·31 +3·32 +3	+2.50 -2.47 +2.49 +2.45 -2.23 -2.29 +2.33 -2.39 +2.51 -2.50 -2.49 +2.50 -2.45 +2.41 +2.47 +2.39 +2.28
2426-51	8-08	1 +1.93	+1.96
2479 · 43 2488 · 35 2503 · 39 2507 · 34 2745 · 64 2779 · 58 2830 · 46 2860 · 34 3098 · 65 3168 · 54 3189 · 48	8-07 8-01 7-93 7-95 7-96 8-04 8-16 8-14 7-94 8-02 8-06	+1.94 +1.97 -1.95 +1.95 +2.00 +2.01 +2.03 +1.99 -1.99 -1.97 +2.03	1.87 -1.88 -1.81 +1.90 -1.95 +1.96 -2.02 -1.95 +1.97 +1.97



сравнения, проводившимся совместно с программными. Как видно из последних столбцов табл. 5, точность одного измерения блеска V и цвета B-V не ниже  $\pm\,0^{\circ}$ 03, а цвета  $U-B-\pm\,0^{\circ}$ 08.

	and it	1500	4.00	Табл	ица 4
Звезда BD или Case	$\overline{\mathbf{v}}$	B-V	Ū—B	s <sub>V</sub>	п
+16° 3936 +58° 2249 +63° 2073 +58° 373 -57° 524 +56° 597 Case 32 +59° 580 +54° 651	6·29 5·58 10·20 8·68 8·68 8·48 9·77 9·93 9·32	+2·05 +1·34 +2·44 +2·25 +2·39 +2·28 +2·13 +2·35 +2·57	+2·16 +0·02 +2·36 +2·40 +2·43	0.03 0.03 0.03 0.03 0.03 0.03 0.02 0.01 0.03	31 26 25 14 16 10 7 13

Таблица 5

Звезда BD или Case	⊽	s <sub>V</sub>	$\overline{B}$	s <sub>B-V</sub>	<del>U</del> —B	s <sub>U-B</sub>	п	σV	σ <sub>B−</sub> V	σU−B
+35° 4077 Case 75 Case 78 Case 81 Case 23 +55° 388 +60° 335 +58° 445 +56° 595 +56° 609 Case 31 +29° 897 +05° 1198	9-68 11-03 10-85 9-98 10-79 8-87 8-96 8-30 8-16 8-35 9-93 7-38 8-03	0·10 0·16 0·12 0·07 0·08 0·07 0·13 0·07 0·09 0·13 0·07 0·10 0·08	+3.05 +3.19 +2.92 +2.77 +2.78 +2.06 +2.41 +2.47 +2.23 +2.23 +2.77 +2.29 +1.98	0·10 0·09 0·05 0·04 0·05 0·03 0·03 0·04 0·05 0·05 0·05			29 25 27 28 25 19 18 15 17 10 17 21	0.02 0.03 0.01 0.02 0.02 0.02 0.03 0.03 0.03 0.02 0.03 0.02 0.02	0.03 0.02 0.01 0.02 0.03 0.02 0.03 0.02 0.03 0.02 0.03 0.02 0.03 0.03	0.08 0.06 0.04 0.02 0.03 0.05 0.06

Величины  $\sigma_V$ ,  $\sigma_{B-V}$ ,  $\sigma_{U-B}$  были вычислены для всех звезд сравнения (включая и звезды сравнений известных переменных M сверхгигантов). По этим величинам построена зависимость  $\sigma_V$ ,  $\sigma_{B-V}$ ,  $\sigma_{U-B}$  от величин V, B, U соответственно (рис. 1 а, б, в, точки). На этих рисунках кружками показаны значения среднеквадратичных отклонений  $s_V$ ,  $s_{B-V}$ ,  $s_{U-B}$  для M сверхгигантов из табл. 5. Как видно из рис. 1 а, б, в, оценка точности наших наблюдений реальная и, кроме того, основывается на большом количестве наблюдений (около 2000 наблюдений звезд сравнения).

Из табл. 5 и из рис. 1 а, б, в видно, что среднеквадратичные отклонения блеска М сверхгигантов намного превышают ошибки измерения блеска. Исходя из этого факта, можно уверенно сказать, что все 13 М сверхгигантов, приведенные в табл. 5, являются переменными звездами.

По данным табл. 3 построены зависимости блеска и цветов от времени (рис. 2.1—2.13), из которых видно, что амплитуды изменения блеска и цветов не велики (0.<sup>m</sup>1—0.<sup>m</sup>5). В большинстве случаев при увеличении яркости в полосе V звезды становятся более красными.

Из-за малочисленности наших наблюдений тип переменности най-

祖与祖かの軍事権

денных нами переменных установить не удалось.

2-703

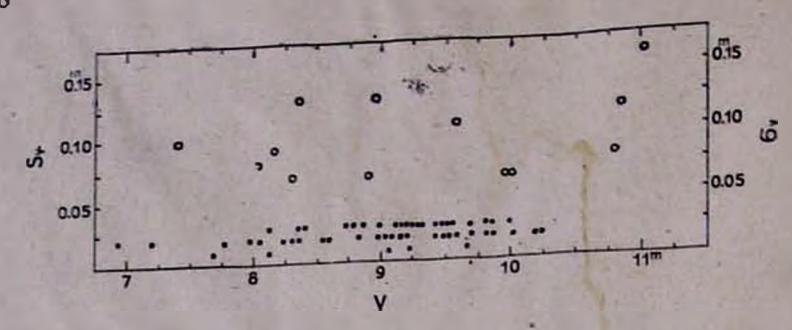


Рис. 1а. Зависимость среднеквадратичной ошибки одного измерения блеска V(•) и среднеквадратичного отклонения блеска переменных М сверхгигантов (⊙) от блеска в полосе V.

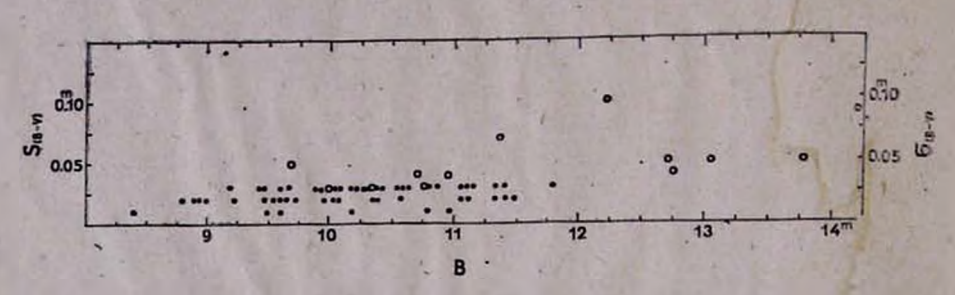


Рис. 16. Зависимость среднеквадратичной ошибки одного измерения цвета B —V ( • ) и среднеквадратичного отклонения цвета, B—V переменных M сверхгигантов (O) от блеска в полосе B.

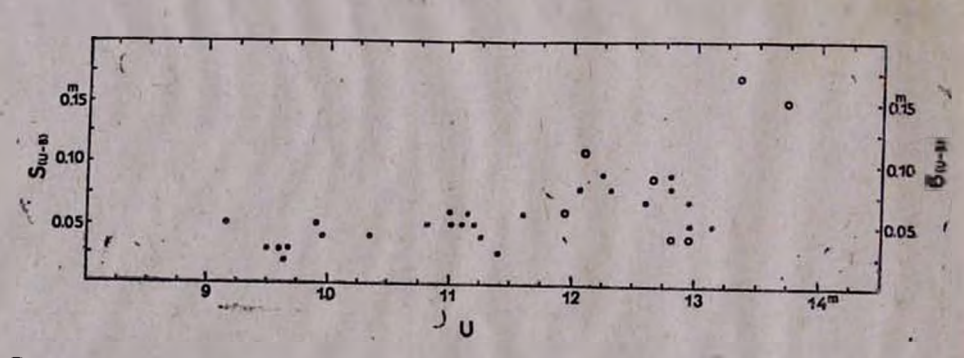


Рис. 1в. Зависимость среднеквадратичной ошибки одного измерения цвета U-B ( $\bullet$ ) и среднеквадратичного отклонения цвета U-B переменных M сверхгигантов ( $\odot$ ) от блеска в полосе U.

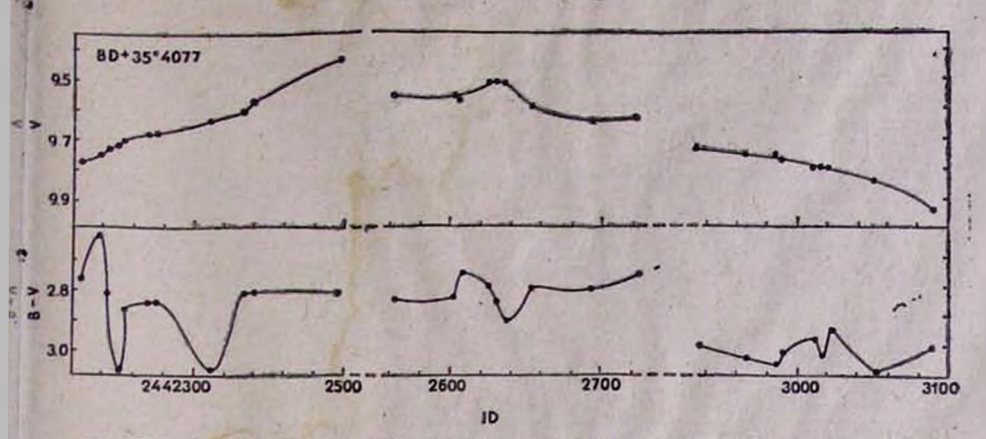
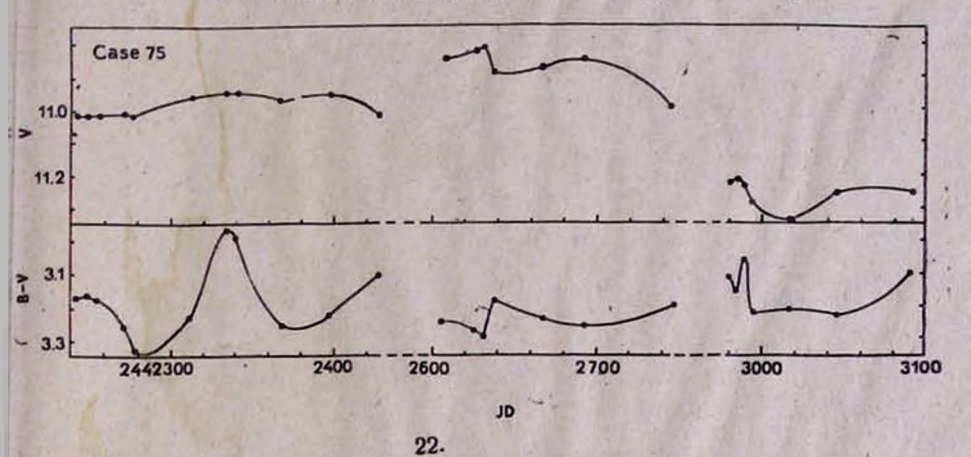
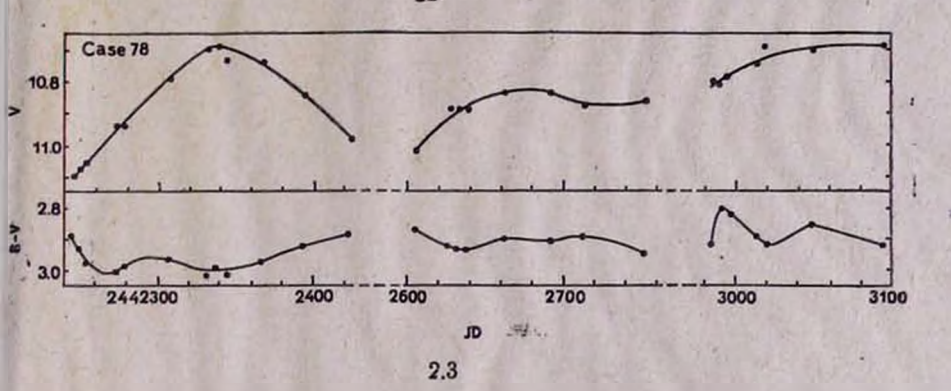
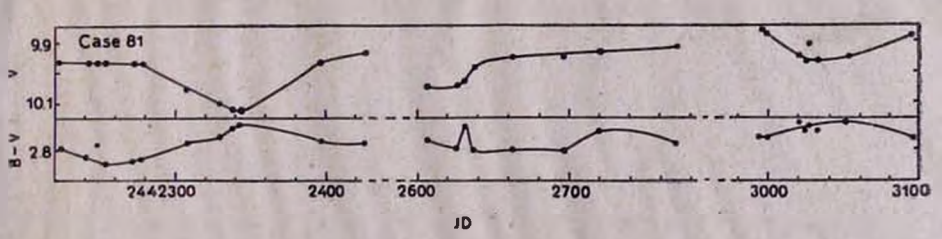


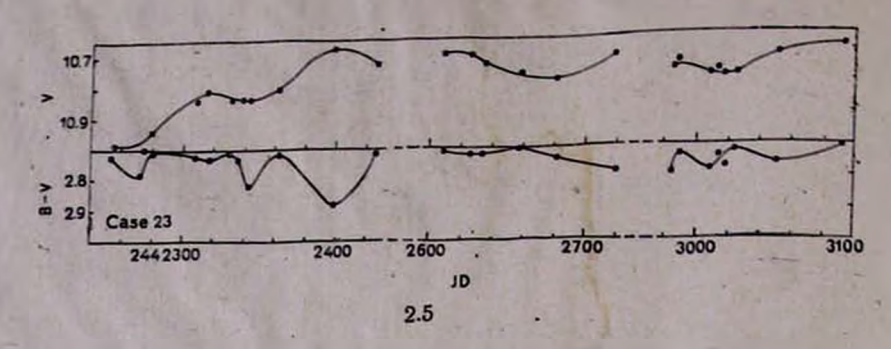
Рис. 2.1-2.13 Зависимость блеска V и цветов B-V, U-В от времени

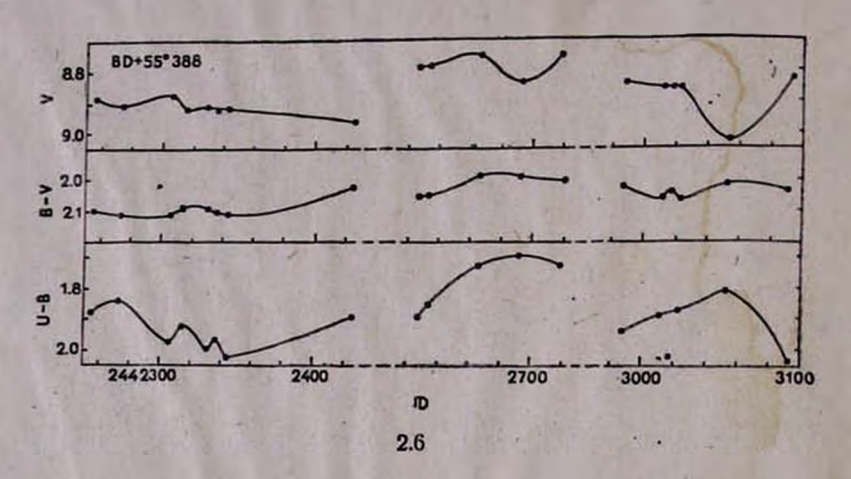


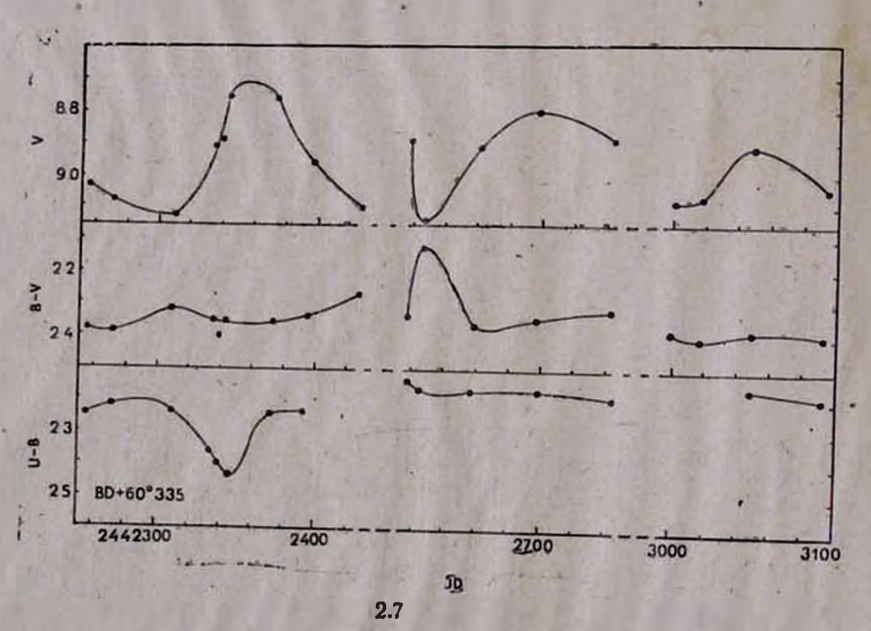


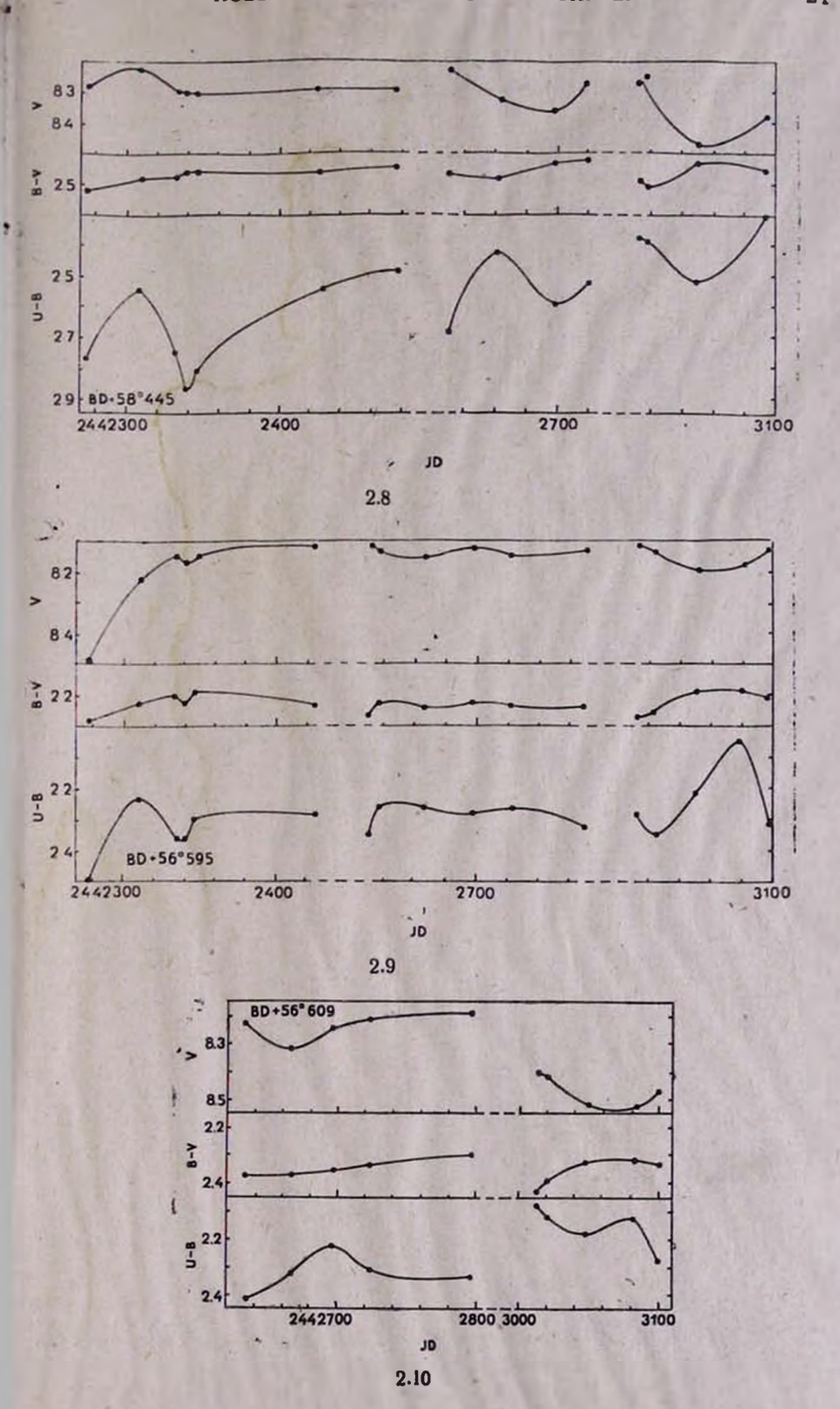


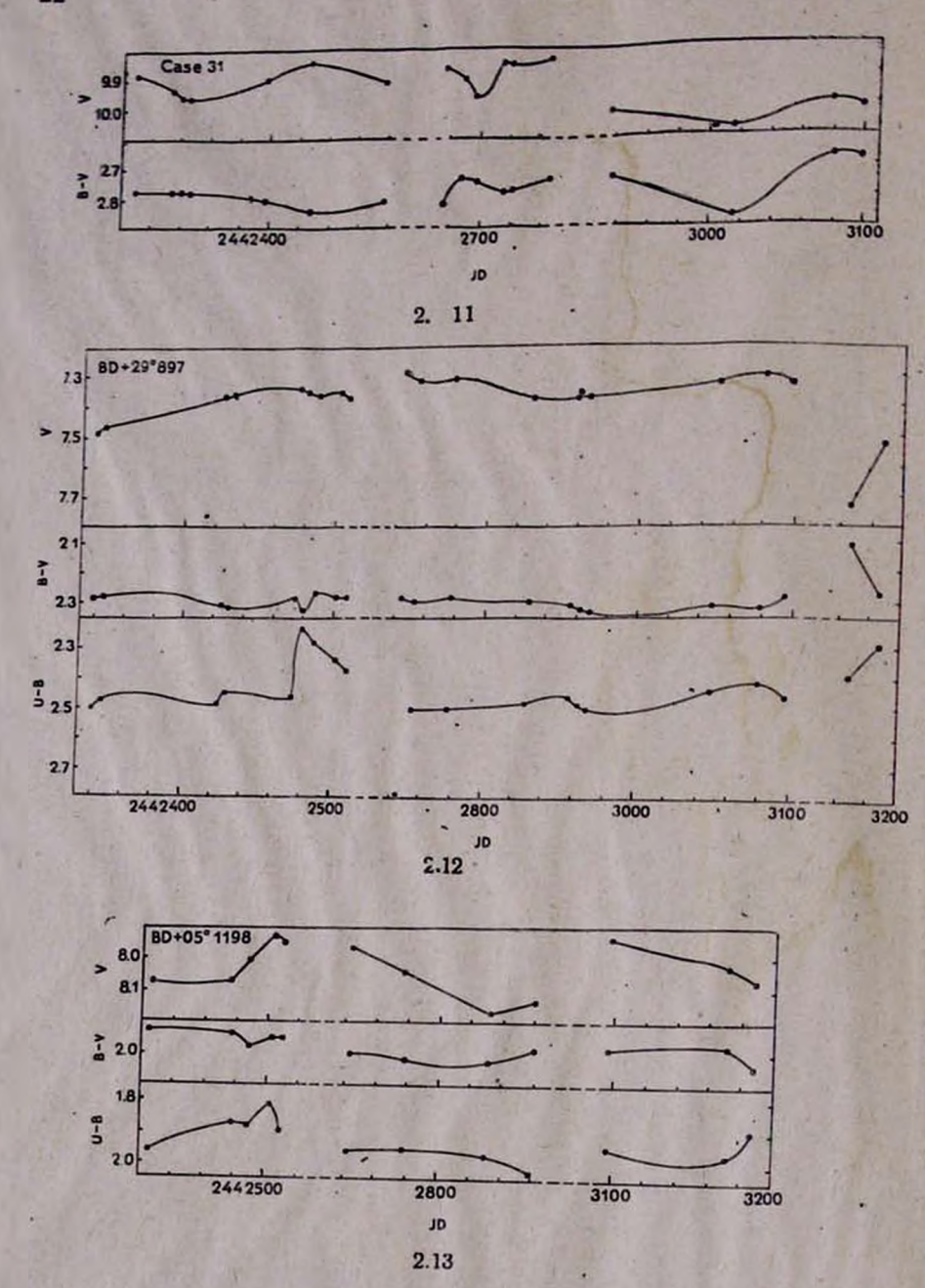
2.4











28 сентября 1978 г.

#### 2. 4. HPPHZHUBHL

#### м ՍՊԵԿՏՐԱԼ ԴԱՍԻ ՆՈՐ ՓՈՓՈԽԱԿԱՆ ԳԵՐՀՍԿԱՆԵՐ

#### Ամփոփում

Աշխատանքում հաղորդվում է M սպեկտրալ դասի 13 դերհսկաների պայծառության փոփոխության հայտնաբերման մասին։ Բերված են այդ աստղերի 1974—77 թթ. ընթացքում կատարված UBV էլեկտրալուսաչափական դիտումների արդյունքները։

#### H. V. ABRAHAMIAN

#### NEW VARIABLE M SUPERGIANT STARS

#### Summary

. The discovery of light variation of 13 M spetral type supergiant stars is reported. The UBV data of photoelectric observations of these stars, accomplished in 1974—1977, are given.

#### ЛИТЕРАТУРА

- 1. Г. В. Абрамян, АЦ, 920, 5, 1976.
- 2. Г. В. Абрамян, АЦ, 1025, 1, 1978.
- 3. К. А. Григорян, Сообщ. Бюраканской обс., 27, 55, 1959.
- 4. A. A. Hoag, H. L. Johnson and oth., Naval obs. Publ., ser. 2, 17, 343.
- 5. X. Харди, «Методы астрономии», 167, М., «Мир», 1967.

# ПОЛЯРИМЕТРИЧЕСКОЕ ИССЛЕДОВАНИЕ КРАСНЫХ СВЕРХГИГАНТОВ

1. Введение. Впервые переменность параметров линейной поляризации звездного излучения установлена К. А. Григоряном [1] в 1958 г. у М сверхгиганта р Сер. В дальнейшем была найдена переменность линейной поляризации света различных типов переменных звезд [2—6]. Опубликованы работы [7—11], в которых сообщалось о наличии собственной поляризации у некоторых сравнительно ярких М сверхгигантов. До реализации нашей программы наличие собственной поляризации уверенно было установлено или заподозрено только у 21 М сверхгиганта. Для более детального исследования вопроса о присутствии собственной поляризации в излучении сверхгигантов спектрального класса М в 1973—1977 гг. нами проведена поисковая программа среди М сверхгигантов, основные результаты которой приведены в

настоящей работе.

2. Техника и методика поляриметрических наблюдений. Сверхгиганты спектрального класса М находятся в галактической плоскости. Их излучение, доходя до Земли, рассенвается на частицах межзвездного поглощающего вещества и частично поляризуется. Поэтому собственную поляризацию у этих звезд можно выявить либо по переменности степени поляризации и позиционного угла со временем, либо по виду зависимости степени поляризации от длины волны. Первый из указанных способов является более надежным и простым. Преимущество первого способа заключается еще и в том, что по наблюдениям одной только исследуемой звезды уже можно получить однозначный ответ (меняются параметры линейной поляризации или нет). При втором способе, кроме наблюдений программной звезды, необходимо также провести дополнительные наблюдения для определения межзвездной поляризации в непосредственных окрестностях исследуемой звезды. Исходя из этих соображений, для выявления собственной поляризации у М сверхгигантов мы использовали первый из указанных спо-

Поляриметрические наблюдения велись в фокусе Кассегрена полуметрового телескопа АЗТ—14А Бюраканской астрофизической обсерватории с одноканальным электрополяриметром [12]. Поляризационным анализатором служил пленочный поляроид, поляризующее свойство которого близко к единице в диапазоне длин волн от 3200А° до 6500А°. Методика наших поляризационных измерений в основном не отличалась от принятой в Бюраканской обсерватории (метод непрерывно вращающегося анализатора с периодом вращения 2.3 мин). Результатом одного поляризационного измерения считалось среднее от результатов, полученных при трех полных поворотах анализатора. Используемый нами метод более детально изложен в работе К. А. Григоряна [12].

Во время первых пробных поляриметрических наблюдений звезл с нулевой поляризацией света из работы [13] выяснилось, что система телескоп-фотометр обладает незначительной инструментальной поляризацией (0.5-0.7%). Поэтому считалось целесообразным для выявления и исключения всяких инструментальных эффектов использовать методику редукции результатов поляризационных наблюдений, разработанную Н. М. Шаховским и Ю. С. Ефимовым [14]. С целью получения редукционных коэффициентов наблюдались стандартные звезды с большой поляризацией из работ [15-17] и с нулевой поляризацией из работы [13].

Определение редукционных коэффициентов проводилось три раза в год и в обязательном порядке после некоторых изменений в оптической части аппаратуры (мытье зеркал телескопа, разборка и

сборка отдельных узлов электрополяриметра и пр.).

Так как существенных изменений в оптической части системы телескоп-фотометр за время наших наблюдений не было, то естественно, что разброс редукционных коэффициентов в течение каждого сезона получился небольшой. Поэтому для каждого сезона бралось среднее из значений соответствующих редукционных коэффициентов. определенных в течение сезона. Средние значения редукционных коэффициентов приведены в табл. 1. Обозначения коэффициентов проведены в соответствии со следующими уравнениями перехода:

$$q' = A_1 q + B_1 u + C_1$$
  
 $u' = A_2 q + B_2 u + C_2$ ,

где q', и' — безразмерные параметры Стокса в инструментальной системе, а q, u — в международной.

Таблица 1

Сезон наблюдений	A <sub>1</sub>	B <sub>1</sub>	Cı	A <sub>2</sub>	B <sub>2</sub>	C <sub>2</sub>
1973 74	1 · 0342	-0·2099	-0·4287	-0·1839	-1.0228	0·0114
1974 75	0 · 9647	-0·0413	-0·5249	-0·0222	-0.9806	-0·1760
1975 76	1 · 0451	0·0063	-0·4346	0·0089	-1.0718	-0·1236
1976 77	1 · 0542	-0·0682	-0·4836	-0·0811	-1.0305	-0·1771

Сравнение результатов, полученных нами для стандартных звезд после редукции  $(P_{v}, \theta_{v})$ , с каталожными значениями приведено в табл. 2 и графически представлено на рис. 1 а, б. Как видно из табл. 2 и рис. 1 а, б, наши поляриметрические результаты находятся в хорошем соответствии с каталожными значениями (среднеквадратичный разброс по  $P=\pm 0.18\%$  и по  $\theta=\pm 3.5$ ).

Исходя из наших наблюдательных возможностей и из постановки задачи (выявление в существующих случаях собственной поляризации), большинство поляризационных наблюдений программных звезд проводилось в полосе V фотометрической системы UBV. Для воспроизведения полосы V использован фотоумножитель EMI 9502A в ком-

бинации со светофильтром ОС 515-2 мм.

Сравнительно яркие звезды наблюдались и в полосах В, U, но не так часто, и результаты этих измерений в данной работе не обсуждаются.

С целью определения ошибок наблюдений совместно с програмными регулярно наблюдались 12 звезд со стандартной поляризацией

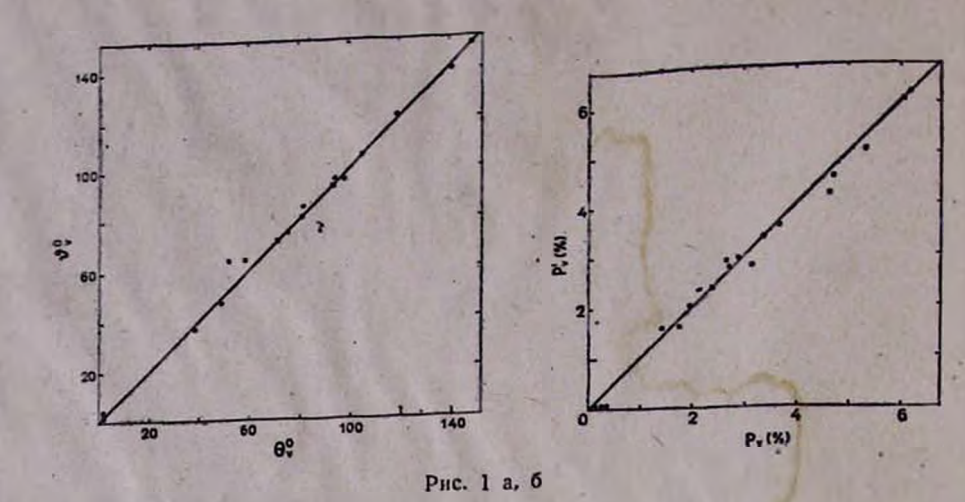


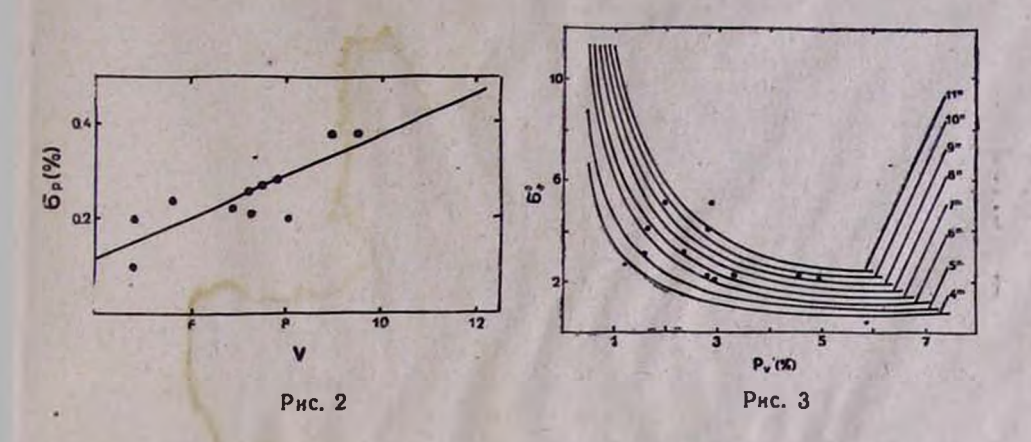
Таблица 2 y'8 P'v V VB Pv Звезда 7-57 85° BD +58° 119 +60° 188 82°-5 2.4% 2-39% 97-4 3.6 96 3-64 7.12 +57° 257\* 3.4 96 6.93 7.28 95.0 3-32 3.1 105 105-1 +59° +57° 3-01 260\* 4-2 94 7-40 4.60 94-1 399 120.2 5-1 121 -60° 7.81 5.30 502\* 139 -£6° 140-8 4.5. 4.63 884\* 7.99 6 · I 149 +53° 765\* 9.32 6.0 149.0 0-1 γ Her μ Her .0-011 4.60 0.2 Her A BD +08° 3866\* 3-42 0.008 2.9 81 8.89 2-64 81.0 0.2 0-016 5.15 6.2 BD +18° 4085 6.87 6.08 BD +18\* 4085 P Cyg\* BD +37° 3879\* 55 Cyg\* 61 Cyg A 61 Cyg B BD +59° 2420\* 14 Cep\* BD ±58° 2492\* 1.6 38 4.80 1.39 37 - 1 7.24 1.70 52 1.7 64 2.0 2.9 4 4.78 2.89 0.3 5.19 0.0026.02 0.1 0.012 7-31 2-12 59 2-4 64 5-60 1.95 72 2.0 72 BD +58° 2492\* 2-67 49.0 2.8 7 - 2048

из табл. 2 (эти звезды в таблице отмечены знаком •). На основании результатов этих наблюдений получена зависимость среднеквадратичной ошибки одного измерения степени поляризации ог от блеска звезды в полосе V, изображенная на рис. 2. Линия на рисунке проведена методом наименьших квадратов. Оценка среднеквадратичной ошибки одного измерения позиционного угла получена из формулы

$$\sigma_{\theta} = \pm 0.5 \text{ arctg } \frac{|\sigma_{P}|}{P}.$$

Зависимость  $\sigma_{b}$  от P для различных V приведена на рис. 3, на котором точками обозначены значения  $\sigma_{b}$ , полученные непосредственно из результатов измерений указанных стандартных звезд. По-

лученные нами оценки ошибок находятся в хорошем соответствии с аналогичными величинами для данного поляриметра, приведенными другими авторами [8, 11].



3. Программа наблюдений. При отборе программных звезд учитывались только наблюдательные возможности. В программу наблюдений вошли 78 холодных сверхгигантов, 77 из которых по спектральным классификациям до 1973 г. считались типа М и звезда RW Сер (Қ5 Іа). По результатам узкополосной фотометрии спектральные классы М сверхгигантов были уточнены в 1978 г. [18]. Из наших программных звезд 10 оказались спектрального класса К. Таким образом, сверхгигантов класса М осталось всего 67. До 1973 г. для 22 из 78 программных звезд переменность линейной поляризации была установлена или заподозрена. Список этих звезд приведен в табл. 3. В табл. 4 приведены те звезды, переменность поляризации света которых установлена по результатам наших наблюдений. Список остальных программных звезд, которые в пределах точности наших измерений не показали переменности поляризации и ранее не были известны как объекты с переменной поляризацией света, приведен в табл. 5. Отметим, что 4 звезды из табл. 3 во время наших наблюдений не показали переменности поляризации. Эти звезды в табл. 3 отмечены знаком . В столбцах табл. 3, 4 и 5 приведены следующие данные: номера звезд по BD или Case [19], название переменных или источник сведения о переменности, спектральный класс и класс светимости по [18] (если звезда отсутствовала в [18], то соответствующие данные даются по [20]), средний блеск V и цвета (B-V), (U-B) по нашим фотоэлектрическим наблюдениям, проводившимся совместно с поляризационными (часть из программных звезд из-за слабости в полосе U не наблюдалась), среднее значение Ру в процентах, среднекнадратичная ошибка одного измерения степсии поляризации эр, полученная из рис. 2 для соответствующей средней яркости V, среднеквадратичное отклонение степени поляризации sp, вычисленное по результатам, приведенным в табл. 11, среднее значение позиционного угла ву, среднеквадратичная ошибка одного измерения позиционного угла од, полученная из рис. З для соответствующих Ру и V, среднеквадратичное отклонение ѕв, вычисленное по результатам из табл. 11, число п поляризационных измерений во время наших наблюдений.

4. Результаты наблюдений. Результаты наших поляризационных

измерений приведены в табл. 11 для каждой звезды в отдельности. В первом столбце дана дага наблюдения в JD, во втором-степень линейной поляризации Р в процентах, в третьем-позиционный угол  $\vartheta_{V}$  в градусах. Часть результатов поляриметрических наблюдений звезд BD +35° 4077, +60° 335 и Case 75 была опубликована в [21].

По данным табл. 11 для всех звезд были вычислены отклонения степени поляризации и позиционного угла от их средних значений. Поскольку количество отклонении степени поляризации и позиционоказалось больного угла, превышающих Зэр и Зэ, соответственно.

Таблица 3 Назв. By SA Sp n Pv. Sp Sp Звезда BD пер. или  $\overline{\mathbf{v}}$  $\overline{B-V}$ U-B Спектр свел. о или Case пер. 10 11. 12 13 9 7 8 6 5 3 4 2 +2.33 3.7% -2·27 1179 +0.3% -0.3° 7.93 AD Per\* SU Per\* M2-4 lab -56° 547 0.3 110 16 0.3 2.18 -2.08 2.8 M3.3 1b 7.97 -55° 597 3 +2.08 3.6 0-4 116 16 2.29 0.3 -56° 583 -57° 552 Per\* M4-4 1b 8.25 RS 8 19 128 1.9 0.4 +2.77 -2.364-8 M4-5 lab 9-62 S Per 3 6 18 0.5 118 +2.420.3 M1.9 la 8-16 -56° 673 YZ Per  $\begin{array}{c} +2.30 + 2.12 \\ +2.13 + 2.21 + 4 \\ +2.29 + 1.70 + 2.8 \\ +2.27 + 2.37 + 2.37 + 2.2 \end{array}$ 3 8 21 0.1 0.4 CE Tau\* TV Gem\* BU Gem M2-1 lab 4-37 M0-6 lab 6-48 -18° 875 2 2 20 0.2 167 0.2 -2.29 -21° 1146 0.6 167 3 6 18 0.2 6.34 -2.27 -2.37 -22° 1220 M1-0 la 6 3 0.2 0.4 5 0-8 MO-2 lab 5-10 49° 1488 Aur  $0.\overline{2}$ 35 11 21 13 0.3 RS Cyg BI Cyg BC Cyg RW Cyg -1-030-5 M6 1b-11 5-62 -31° 1046 14 3·2 5·3 0.4 0.8 87 M3·1 lab 9·27 M3·2 lab 9·16 +35° 4025 253 30 0.4 0.8 81 37° 3903 39° 4208 -3.31 0.7 114 43 0.3 M2.9 lab 8-62 1-2.89 8.62 | -2.89 | -2.73 | 3.5 | 8.22 | -2.68 | +2.73 | 3.5 | 8.37 | +2.51 | +2.46 | +2.57 | 1.3 | 3.75 | +2.46 | +2.57 | 1.3 | 5.56 | 1.6 | 5.56 | 1.6 | 5.56 | 1.6 | 5.56 | 1.6 | 5.56 | 1.6 | 5.56 | 1.6 | 5.56 | 1.6 | 5.56 | 1.6 | 5.56 | 1.6 | 5.56 | 1.6 | 5.56 | 1.6 | 5.56 | 1.6 | 5.56 | 1.6 | 5.56 | 1.6 | 5.56 | 1.6 | 5.56 | 1.6 | 5.56 | 1.6 | 5.56 | 1.6 | 5.56 | 1.6 | 5.56 | 1.6 | 5.56 | 1.6 | 5.56 | 1.6 | 5.56 | 1.6 | 5.56 | 1.6 | 5.56 | 1.6 | 5.56 | 1.6 | 5.56 | 1.6 | 5.56 | 1.6 | 5.56 | 1.6 | 5.56 | 1.6 | 5.56 | 1.6 | 5.56 | 1.6 | 5.56 | 1.6 | 5.56 | 1.6 | 5.56 | 1.6 | 5.56 | 1.6 | 5.56 | 1.6 | 5.56 | 1.6 | 5.56 | 1.6 | 5.56 | 1.6 | 5.56 | 1.6 | 5.56 | 1.6 | 5.56 | 1.6 | 5.56 | 1.6 | 5.56 | 1.6 | 5.56 | 1.6 | 5.56 | 1.6 | 5.56 | 1.6 | 5.56 | 1.6 | 5.56 | 1.6 | 5.56 | 1.6 | 5.56 | 1.6 | 5.56 | 1.6 | 5.56 | 1.6 | 5.56 | 1.6 | 5.56 | 1.6 | 5.56 | 1.6 | 5.56 | 1.6 | 5.56 | 1.6 | 5.56 | 1.6 | 5.56 | 1.6 | 5.56 | 1.6 | 5.56 | 1.6 | 5.56 | 1.6 | 5.56 | 1.6 | 5.56 | 1.6 | 5.56 | 1.6 | 5.56 | 1.6 | 5.56 | 1.6 | 5.56 | 1.6 | 5.56 | 1.6 | 5.56 | 1.6 | 5.56 | 1.6 | 5.56 | 1.6 | 5.56 | 1.6 | 5.56 | 1.6 | 5.56 | 1.6 | 5.56 | 1.6 | 5.56 | 1.6 | 5.56 | 1.6 | 5.56 | 1.6 | 5.56 | 1.6 | 5.56 | 1.6 | 5.56 | 1.6 | 5.56 | 1.6 | 5.56 | 1.6 | 5.56 | 1.6 | 5.56 | 1.6 | 5.56 | 1.6 | 5.56 | 1.6 | 5.56 | 1.6 | 5.56 | 1.6 | 5.56 | 1.6 | 5.56 | 1.6 | 5.56 | 1.6 | 5.56 | 1.6 | 5.56 | 1.6 | 5.56 | 1.6 | 5.56 | 1.6 | 5.56 | 1.6 | 5.56 | 1.6 | 5.56 | 1.6 | 5.56 | 1.6 | 5.56 | 1.6 | 5.56 | 1.6 | 5.56 | 1.6 | 5.56 | 1.6 | 5.56 | 1.6 | 5.56 | 1.6 | 5.56 | 1.6 | 5.56 | 1.6 | 5.56 | 1.6 | 5.56 | 1.6 | 5.56 | 1.6 | 5.56 | 1.6 | 5.56 | 1.6 | 5.56 | 1.6 | 5.56 | 1.6 | 5.56 | 1.6 | 5.56 | 1.6 | 5.56 | 1.6 | 5.56 | 1.6 | 5.56 | 1.6 | 5.56 | 1.6 | 5.56 | 1.6 | 5.56 | 1.6 | 5.56 | 1.6 | 5.56 | 1.6 | 5.56 | 1.6 | 5.56 | 1.6 | 5.56 | 1.6 | 5.56 | 1.6 | 5.56 | 1.6 | 5.56 | 1.6 | 5.56 | 1.6 | 5.56 | 1.6 | 5.56 | 1.6 | 5.56 | 1.6 | 5.56 | 1.6 | 5.56 | 1.6 | 5.56 | 1.6 | 5.56 | 1.6 | 5.56 | 1.6 | 5.56 | 1.6 | 5.56 | 1.6 | 5.56 | 1.6 | 5.56 | 1.6 | 5.56 | 1.6 0.7 36 5 41 AZ Cyg 0.3 M3-1 lab 8-22 45° 3349 623 23 62 36 0.3 0.5 SW Cep -61° 2134 M3.5 1a 57 0.8 41 46 0.1 բ Cep VV Cep +58° 2316 M2-2 la 40 4 40 0-2 0:3 -1.85 +0.56 1.6 +62° 2007 M2-2 lab 5-11 3 6 36 4.3 50 0.4 1.3 -58° 2396 AZ Cep 9.53 -- 2.86 M1.6 la 6.61 +2.31 +2.30 3.2 8.07 +2.43 +2.43 2.5 8.93 +2.61 +0.91 3.1 38 0.2 2 5 36 RW Cep 0.6 -55° 2737 К5 la 5 0.4 0.6 47 13 35 M2-6 la -56° 2793 ST Cep 0.3 100 3 32 0.7 8 M2-8 la -60° 2613 PZ Cas 91 32 M2.6 lab 9.23 -2.59 +2.47 3.7 0.4 0-8 +60° 2634 TZ Cas Таблица .1 13 12 2 3 5 6 7 8 9 10 11 4 1 M1.9 lab 10.79 +2.78 0.4 1.0 112 20 +60° 207 HS Cas 4.8 0.4 0.6 95 10 M3-1 1b +60° 310 223 22 109 AZ Cas M4-0 lab 0.4 0.8 6 +-60° 335 [21] WX Cas M3-5 1b 0.3 0.0 108 9 18 K5·5 lab 10·02 +2·60 M3·6 lb 8·13 +2·13 +60° 375 4.0 0.4 0.6 97 10 18 XX Per GP Cas 54 0.6 2.9 0.3 97 3 21 -1.31 8 444 -58° 501 9.63 +2.73 6.4 0.4 0.7 109 17 M2-8 lab 10 -56° 724 9-87 + 2-66 W Per 3 M3.6 lab 4.3 0.4 0.7 106 7 16 -57° V500Cas  $9.57 + 2.79 \\ 8.98 + 2.81$ 647 M2.9 lab 5.3 0.4 0.7 107 222 10 16 +59° 594 4·5 7·9 0.7 14 17 100256 K5-6 0.3 9 1B 116 10 Per +3.21 Case 33 M3-9 lab 11-12 109 0.4 1.7 11 +24°3902 101897 M1-1 1a | 9-26 +3-12 2.9 0.4 3 13 1.0 28 28 V717 Cyg M2.8 lab 10.14 +2.75 2.5 32 Case 61 0.4 0.7 47 13 55 [21] KY Cyg +35° Case -35°4077 M2-6 1ab 9.68 +3.05 2.6 0.4 0.6 34' 27 10 M3.9 1ab 11.05 +3.66 M2.7 1ab 11.03 +3.19 109 27 23 30 5.5 0.4 0.9 22 11 Case 75 [25] 5.2 0.4 0.8 36 11 -54°2863 U Lac 8-89 + 2-61 -M2-5 la -1 - 29 2.7 0.3 433 0.6 51 9 78 [25] M1-1 lab 10-85 +2-92 4.6 Case 0.4 1.2 56 11 26 M2·7 1b 9·56 +2·56 M0·8 1b 9·98 +2·77 M4·0 lab 9·51 +2·77 Сер 80 GU 0.5 0.4 93 10 26 81 5.2 0.4 55 28 0.6 26 V358Cas 0.4 1.6 26

Таблица 5

1											-		
+61° 8 KN Cas M0.7 1b 9.53 +1.75 +0.50 3.3 0.4 0.5 83 3 4 23   +59° 38 MZ Cas M1.3 1ab 9.53 +2.57 - 2.9 0.4 0.4 40 4 4 4 19   +55° 258 V 4666 Cas M1.1 1p 8.666 +2.166 +2.29 2.9 0.3 0.4 10.2 2 3 23   +59° 274 102353 M0.4 1b 8.52 +2.11 +2.00 3.8 0.3 0.4 102 2 3 23   +55° 388 [25] M3.7 1b 8.87 +2.06 +1.89 2.5 0.3 0.3 49 4 4 19   +58° 373	1	2	3	4	5	6	7	8	9	10	11	12	13
+61° 8 KN Cas M0.7 1b 9.53 +1.75 +0.50 3.3 0.4 0.5 83 3 4 23 4 59 38 MZ Cas M1.3 1ab 9.53 +2.57 - 2.9 0.4 0.4 40 4 4 4 19 +57° 258 V 466 Cas M1.1 1p 8.66 +2.16 +2.29 2.9 0.3 0.4 0.4 97 3 4 23 4 23 4 25 56 388 [25] M0.4 1b 8.52 -2.11 +2.00 3.8 0.3 0.4 102 2 3 23 4 25 55° 388 [25] M3.7 1b 8.87 -2.06 +1.89 2.5 0.3 0.3 49 4 4 19 +58° 373 - M0.6 1b 8.67 -2.25 +2.36 4.3 0.3 0.3 95 2 4 14 +55° 529 KK Per M1.9 1b 7.78 +2.28 +2.39 3.5 0.3 0.3 110 2 2 19 +57° 524 - K5.4 1ab 8.66 +2.14 2.25 +2.36 4.3 0.3 0.3 110 2 2 19 +57° 530 A PP Per M1.4 1b 9.18 -2.47 +2.57 4.3 0.3 0.3 108 2 2 11 +56° 512 BU Per M3.7 1b 9.01 +2.58 +2.57 3.8 0.3 0.5 112 3 3 15 +57° 530 A PP Per M1.4 1b 9.18 -2.43 - 4.5 0.3 0.3 106 2 2 11 +56° 551 FZ Per M0.3 1ab 7.95 +2.28 +2.43 4.2 0.3 0.2 112 2 2 10 +56° 551 FZ Per M0.7 1ab 8.61 +2.36 +2.41 4.5 0.3 0.3 110 2 4 19 +56° 560 609 [25] M3.1 1b 8.35 +2.28 +2.44 4.1 0.3 0.2 112 2 2 17 +56° 609 [25] M3.1 1b 8.35 +2.36 +2.44 4.5 0.3 0.3 113 2 2 10 +59° 580 - K5.5 1b 9.93 +2.35 - 3.7 0.4 0.3 105 3 5 13 Case 32 - M0 1b 9.77 +2.15 - 4.4 0.4 0.3 122 2 2 7 7 - 4.4 0.4 0.4 0.3 122 2 2 7 7 - 4.56° 595 [25] M3.1 1b 8.35 +2.36 +2.24 4.0 0.3 0.3 113 2 2 10 +59° 580 - K5.5 1b 9.93 +2.35 - 3.7 0.4 0.3 105 3 5 13 Case 32 - M0 1b 9.77 +2.15 - 4.4 0.4 0.4 113 2 3 13 - 4.29° 897 [25] M1.7 1ab 7.38 +2.257 - 4.4 0.4 0.4 113 2 2 3 13 - 4.29° 897 [25] M1.7 1ab 7.38 +2.259 +2.45 1.4 0.3 0.3 22 15 4 6 16 - 6.5° 1198 [25] M3.4 1a 9.711 +2.85 - 4.4 0.4 0.4 0.4 113 2 2 3 13 - 4.45° 127 1 Y Lyn M5.1 b.11 7.43 +1.81 +0.89 0.6 0.3 0.3 0.2 15 4 6 16 6 7 6 16 - 7 6 198 [25] M3.4 11 8.03 +1.98 +1.93 1.3 0.3 0.2 15 4 6 16 6 6 7 6 16 - 7 6 198 [25] M3.4 11 8.03 +1.98 +1.93 1.3 0.3 0.2 15 17 15 32 - 0° 4064 UW Aql M2.2 1ab 8.77 +2.63 +2.08 1.5 0.3 0.2 94 6 8 22 4.8 9.34 102073 M3 1b 6.69 +2.48 +2.68 1.5 0.3 0.2 477 7 8 26	. 629 0022		luc		1 2 44		E 0	0.4	0.5	70			
+59° 38 MZ Cas M1.1 lp 8·666 +2·16 +2·29 29 0.4 0.4 90 4 4 19 23 4 23 +59° 274 102353 M0.4 lb 8·52 +2·11 +2·00 3·8 0·3 0·4 102 2 3 23 55° 388 [25] M3.7 lb 8·87 +2·06 +1·89 2·5 0·3 0·3 49 4 4 19 4 4 19 55° 529 KK Per M1.9 lb 7·78 +2·25 +2·36 4·3 0·3 0·3 49 4 4 19 55° 529 KK Per M1.9 lb 7·78 +2·28 +2·39 3·5 0·3 0·3 100 2 2 19 5.5° 529 KK Per M1.9 lb 7·78 +2·28 +2·39 3·5 0·3 0·3 100 2 2 19 5.5° 529 KK Per M1.9 lb 7·78 +2·28 +2·39 3·5 0·3 0·3 100 2 2 19 5.5° 529 KK Per M1.4 lab 8·86 +2·39 +2·40 4·2 0·3 0·4 106 2 3 16 5.5° 520 K5·7 lab 8·30 +2·47 +2·57 4·3 0·3 0·3 108 2 2 15 5.5° 520 K5·7 lab 8·30 +2·47 +2·57 4·3 0·3 0·3 108 2 2 15 5.5° 520 K5·7 lab 8·30 +2·47 +2·57 4·3 0·3 0·3 108 2 2 15 5.5° 520 K5·7 lab 8·48 +2·28 +2·43 4·2 0·3 0·3 106 2 2 11 5.5° 527 FZ Per M2·1 lab 8·61 +2·36 +2·41 4·5 0·3 0·3 110 2 4 19 5.5° 550 PR Per M0·7 lab 7·94 +2·35 +2·50 3·1 0·3 0·3 112 2 2 17 7 5.5° 550 PR Per M0·7 lab 7·94 +2·35 +2·50 3·1 0·3 0·3 112 3 2 17 5.5° 550 FZ PR Per M0·7 lab 7·94 +2·35 +2·50 3·1 0·3 0·3 112 3 2 17 5.5° 550 FZ PR Per M0·7 lab 7·94 +2·35 +2·50 3·1 0·3 0·3 112 3 2 17 5.5° 550 FZ PR Per M0·7 lab 7·94 +2·35 +2·50 3·1 0·3 0·3 112 3 2 17 5.5° 550 FZ PR Per M0·7 lab 7·94 +2·35 +2·50 3·1 0·3 0·3 112 3 2 17 5.5° 550 FZ PR Per M0·7 lab 7·94 +2·35 +2·50 3·1 0·3 0·3 112 3 2 17 5.5° 550 FZ PR PR M2·1 lab 8·16 +2·23 +2·24 4·0 0·3 122 2 2 2 7 7 5.5° 550 FZ PR PR M3·1 lb 8·35 +2·36 +2·24 4·0 0·3 122 2 2 2 7 7 5.5° 550 FZ PR PR M3·1 lb 8·35 +2·36 +2·24 4·0 0·3 122 2 2 2 7 7 5.5° 550 FZ PR PR M3·1 lb 8·35 +2·36 +2·36 10 0·3 0·3 112 3 2 17 12 12 12 10 12 12 12 11 12 12 12 12 12 12 12 12 12		WN 6									2		
+55° 274   102353   M0·4   1b   8·66   -2·16   -2·29   2·9   0·3   0·4   97   3   4   23   23   4   25   55° 274   102353   M0·4   1b   8·52   -2·11   -2·00   3·8   0·3   0·4   102   2   3   23   23   4   4   4   19   58° 373   M0·6   1b   8·67   -2·25   -2·36   4·3   0·3   0·3   95   2   4   14   19   15   55° 529   KK Per   M1·9   1b   7·78   -2·28   -2·39   3·5   0·3   0·3   110   2   2   19   158° 55° 529   KK Per   M1·9   1b   7·78   -2·28   -2·39   3·5   0·3   0·3   110   2   2   19   158° 55° 512   BU Per   M1·4   1b   9·16   -2·43   -4·2   4·3   0·3   0·3   108   2   2   15   4·56° 512   BU Per   M1·4   1b   9·16   -2·43   -4·3   0·3   0·3   106   2   2   11   56° 597   K5·6   1ab   8·61   -2·36   +2·41   4·5   0·3   0·3   110   2   4   19   56° 555   PZ Per   M0·3   1ab   7·95   -2·28   -2·44   4·5   0·3   0·3   110   2   4   19   56° 555   PZ Per   M0·3   1ab   7·95   -2·28   -2·44   4·5   0·3   0·3   110   2   4   19   156° 595   [25]   K5·8   1ab   8·61   -2·23   -2·41   4·5   0·3   0·3   110   2   4   19   156° 595   [25]   K5·8   1ab   8·61   -2·23   -2·44   4·5   0·3   0·3   110   2   4   19   156° 595   [25]   K5·8   1ab   8·61   -2·23   -2·44   4·5   0·3   0·3   110   2   4   19   156° 595   [25]   K5·8   1ab   8·61   -2·23   -2·44   4·5   0·3   0·3   112   3   2   17   17   156° 595   [25]   K5·8   1ab   8·61   -2·23   -2·44   4·5   0·3   0·3   112   3   2   17   17   18   10·49   10·40				10 9.00	1.70	1-0.50							
+59° 274   102353   M0.4   1b   8.52   -2.11   -2.00   3.8   0.3   0.4   102   2   3   23   55° 388   [25]   M3.7   1b   8.87   -2.06   -1.89   2.5   0.3   0.3   49   4   4   19   4   4   19   58° 373   -55° 529   KK   Per   M1.9   1b   7.78   2.28   2.39   3.5   0.3   0.3   110   2   2   19   -57° 524   - K5.4   1ab   8.86   -2.39   -2.40   4.2   0.3   0.4   106   2   3   16   58° 434   [25]   K5.7   1ab   8.30   -2.47   -2.57   4.3   0.3   0.3   106   2   2   15   -56° 512   BU   Per   M1.4   1b   9.18   -2.43   -2.57   4.5   0.3   0.3   106   2   2   15   -57° 530   2   - K5.6   1ab   8.48   2.28   2.43   4.2   0.3   0.3   106   2   2   15   -58° 439   7   Per   M2.1   1ab   8.61   -2.36   +2.41   4.5   0.3   0.3   106   2   2   17   -57° 550   PR   Per   M0.3   1ab   7.95   +2.28   2.41   4.5   0.3   0.3   110   2   4   19   19   56° 551   FZ   Per   M0.3   1ab   7.95   +2.28   2.41   4.5   0.3   0.3   110   2   4   19   15   -56° 609   [25]   K5.8   1ab   8.16   +2.23   +2.29   3.5   0.3   0.3   112   3   2   17   -56° 609   [25]   K5.8   1ab   8.16   +2.23   +2.29   3.5   0.3   0.3   112   3   2   17   -56° 609   [25]   K5.8   1ab   8.16   +2.23   +2.29   3.5   0.3   0.3   113   2   2   10   10   10   10   10   10				140 9.33	12.01	2 00							
+55° 388   25   M3·7   1b   8·87-2·0b-1·89   2·5   0·3   0·3   49   4   4   19   +58° 373   0·3   0·3   0·3   95   2   4   14   +55° 529   KK Per   M1·9   1b   7·78 + 2·28 + 2·39   3·5   0·3   0·3   110   2   2   19   +58° 445   25   K5·4   1ab   8·86 + 2·39 + 2·40   4·2   0·3   0·4   106   2   3   16   +58° 54   445   25   K5·7   1ab   8·30 + 2·47 + 2·57   4·3   0·3   0·3   108   2   2   15   +56° 510   BU Per   M3·7   1b   9·01 + 2·58 + 2·57   3·8   0·3   0·5   112   3   3   15   +56° 597   K5·6   1ab   8·48   2·28 + 2·43   4·2   0·3   0·2   112   2   2   10   +58° 439   T Per   M2·1   1ab   8·61 + 2·36 + 2·41   4·5   0·3   0·3   110   2   4   19   +56° 551   FZ Per   M0·3   1ab   7·94 + 2·35 + 2·50   3·1   0·3   0·4   113   3   4   18   +56° 595   [25]   K5·8   1ab   8·16 + 2·23 + 2·24   4·1   0·3   0·2   112   2   2   17   +56° 609   [25]   M3·1   1b   8·35 + 2·36 + 2·24   4·0   0·3   0·3   112   3   2   17   +56° 609   [25]   M3·1   1b   8·35 + 2·36 + 2·24   4·0   0·3   0·3   113   2   2   10   +59° 580   K5·1   1b   9·32 + 2·57   —   4·4   0·4   0·3   122   2   2   7   +54° 651   K5·1   1b   9·32 + 2·57   —   4·4   0·4   0·3   122   2   2   7   +54° 651   K5·1   1b   9·32 + 2·57   —   4·4   0·4   0·3   122   2   2   7   +54° 651   M3·4   1a   9·71 + 2·85   —   4·4   0·4   0·3   122   2   2   17   +31° 1049   NO Aur   M1·8   1ab   6·27 + 2·10 + 2·18   1·0   0·2   0·2   136   6   6   16   6   16   6   16   6   16   6					2.10	7.29	2.9						
+58° 373					2.11	2.00	2.0						
+55° 529 KK Per		[[25]											
											2		
S8c   445     25		KK Per		D 7-78	2.28	- 2.39					2		
-56° 512 BU Per		-											
-57° 530 A PP Per											2		
+56° 597					-12.55	+2.57						3	
-58° 439		PP Per		فلنكافئ الكال		0.40							
-56° 551   FZ   Per   M0·3   lab   7·95   +2·28   +2·44   4·1   0·3   0·2   112   2   2   17   17   150   7·94   +2·35   +2·50   3·1   0·3   0·4   113   3   4   18   18   18   18   18   18   18													
-57° 550 PR Per   M0·7 1ab   7·94   +2·35   +2·50   3·1   0·3   0·4   113   3   4   18   18   +56° 595   125     K5·8 1ab   8·16   +2·23   +2·29   3·5   0·3   0·3   112   3   2   17   17   17   17   18   18   18   18													
- 56° 595													
+56° 609 +59° 580													
+59° 580 Case 32 Case 31 +54° 651 Case 34 6015 M3·4 la 9·71 +2·85 - 4·4 0·4 0·3 1125 2 2 2 7 6.5 0·4 0·5 125 2 2 17 - 6.5 0·4 0·6 13 2 3 13 14 - 6.5 0·6 15 0·3 15 3 3 5 13 126 125 2 2 17 - 6.5 0·4 0·4 0·6 13 2 3 13 14 - 6.5 0·6 15 0·3 15 0·3 15 0·3 16 6 6 6 16 16 6 7 16 6 6 7 16 6 6 7 16 6 6 7 16 6 6 7 16 6 6 7 17 0·4 18 10 0·2 18 10 0·2 18 10 0·3 1					+2-23	+2.29					3	2	
Case 32		[[25]									2	2	
Case 31   [25]   M2 · 2   1ab   9 · 93   +2 · 77     6 · 5   0 · 4   0 · 5   125   2   2   17   +54°   651     (5 · 1   1b   9 · 32   +2 · 57     4 · 4   0 · 4   0 · 4   113   2   3   13   13   13   13   14   +29°   897   +31°   1049   NO   Aur   M1 · 8   1ab   6 · 27   +2 · 10   +2 · 18   1 · 0   0 · 2   0 · 2   136   6   6   16   16   19   19   19   19		_											
$\begin{array}{cccccccccccccccccccccccccccccccccccc$		-											
Case 34 6015		[25]									2		
+29° 897 [25]		-											
+31° 1049 NO Aur M1·8 1ab 6·27 +2·10 +2·18 1·0 0·2 0·2 136 6 6 16 16 -23° 1243 WY Gem M2·1 1b 7·29 +1·67 +0·19 1·8 0·3 0·2 15 4 6 16 16 46° 1271 Y Lyn M5 1 b-11 7·43 +1·81 +0·89 0·6 0·3 0·3 27 13 9 11 -14° 3207 3′ Her M5 1 b-11 2·93 1·42 +0·85 0·3 0·1 0·2 110 17 9 28 39° 3476 XY Lyr M4·51b-11 6·05 1·70 +1·34 0·3 0·2 0·2 51 17 15 32 -0° 4064 UW Aql M2·2 1ab 8·77 +2·63 +2·08 1·5 0·3 0·2 94 6 8 22 16° 3936 - K5·5 1ab 6·29 +2·05 +2·16 2·1 0·2 0·2 40 3 4 31 +59° 2342 102073 M3 1b 6·69 +2·48 +2·64 1·0 0·3 0·2 47 7 8 26								-					
$\begin{array}{cccccccccccccccccccccccccccccccccccc$													
-05° 1198 [25]				ننظاما النابا									
+46° 1271 Y Lyn													
-14° 3207 a' Her   M5   1 b-11   2 ·93   -1 ·42   -0 ·85   0 ·3   0 ·1   0 ·2   110   17   9   28   39° 3476   XY Lyr   M4-51b-11   6 ·05   1 ·70   +1 ·34   0 ·3   0 ·2   0 ·2   51   17   15   32   -0 ° 4064   UW Aq1   M2 ·2   1ab   8 ·77   +2 ·63   +2 ·08   1 ·5   0 ·3   0 ·2   94   6   8   22   22   24   M1 ·1   1ab   10 ·34   +3 ·29   -4 ·8   0 ·4   0 ·5   35   3   5   25   45° 3936   -4   K5 ·5   1ab   6 ·29   +2 ·05   +2 ·16   2 ·1   0 ·2   0 ·2   40   3   4   31   45° 3936   -4 ·10 ·10 ·10   3   3   4   31   31													
$\begin{array}{c ccccccccccccccccccccccccccccccccccc$													
-0° 4064 UW Aql M2·2 lab 8·77 +2·63 +2·08 1·5 0·3 0·2 94 6 8 22 Case 55 V492 Aql M1·1 lab 10·34 +3·29 - 4·8 0·4 0·5 35 3 5 25 +16° 3936 - K5·5 lab 6·29 +2·05 +2·16 2·1 0·2 0·2 40 3 4 31 +59° 2342 102073 M3 1b 6·69 +2·48 +2·64 1·0 0·3 0·2 47 7 8 26													
Case 55 V492 Aq1 M1·1 lab 10·34 +3·29 - 4·8 0·4 0·5 35 3 5 25 +16° 3936 - K5·5 lab 6·29 +2·05 +2·16 2·1 0·2 0·2 40 3 4 31 +59° 2342 102073 M3 1b 6·69 +2·48 +2·64 1·0 0·3 0·2 47 7 8 26					1.70	+1.34		0.2		51	17	15	
$+16^{\circ} 3936$ — $(K5.5 \ 1ab \ 6.29 + 2.05 + 2.16 \ 2.1 \ 0.2 \ 0.2 \ 40 \ 3 \ 4 \ 31 + 59^{\circ} 2342 \ 102073$ $M3$ $1b$ $6.69 + 2.48 + 2.64 \ 1.0$ $0.3$ $0.2$ $47$ $7$ $8$ $26$												8	
+59° 2342 102073   M3   1b   6 ·69   +2 ·48   +2 ·64   1 · 0   0 · 3   0 · 2   47   7   8   26		V492 Aq1									3		
		-										4	
$+58^{\circ}2249$ - $ M1 \cdot 1 $ 15 $ 5 \cdot 58  +  1 \cdot 34  +  0 \cdot 02 $ 0.8 $ 0 \cdot 2 $ 0.2 $ 84 $ 7 $ 6 $ 19										47		8	26
	+58° 2249		$M1 \cdot 1$	b   5.58	+1.34	+0.02	0.8	0.2	0.2	84	7	6	19

ше статистически ожидаемого, было принято, что соответствующие звезды имеют собственную поляризацию. Отобранные таким способом звезды с собственной поляризацией приведены в табл. 3 (кроме звезд, отмеченных знаком \*) и в табл. 4. Таким образом, по результатам наших наблюдений установлено наличие собственной поляризации у 21 красного сверхгиганта (табл. 4) и в настоящее время число красных сверхгигантов с собственной поляризацией света составляет 39.

Процентное содержание красных сверхгигантов с собственной поляризацией в каждом спектральном подклассе приведено в табл. 6. Из таблицы видно, что относительное число звезд, имеющих собственную поляризацию, возрастает в направлении поздних подклассов. Возрастание процентного содержания звезд с собственной поляризацией у более поздних подклассов, по-видимому, указывает на определяющую роль температуры фотосферы в механизме происхождения собственной поляризации света красных сверхгигантов.

Рассмотрение распределения М сверхгигантов, имеющих собственную поляризацию по классам светимостей (табл. 7), показывает, что собственная поляризация более чем в три раза чаще встречается у М сверхгигантов класса светимости Іа по сравнению со звездами класса Іb. Из 10 сверхгигантов класса Іа только одна звезда не имеет собственной поляризации (Case 34), тогда как из 26 Іb сверхгигантов

			I uo.	uu
Спек ральный класс	K4.5-K6.5	K6-6-M1-E	M1-6-M3-5	M8-6-M5-5
Общее число звезд Число звезд с собственной поляризацией Процентное содержание звезд с собственной поляризацией	11 4 19	18 5 28	36 23 64	13 7 54

только 6 звезд имеют собственную поляризацию. Звезды класса све

тимости lab занимают промежуточное положение.

Как хорошо известно, появление в излучении звезд собственног поляризации тесно связано с переменностью блеска. Поэтому особый интерес представляет рассмотрение относительного содержания холодных сверхгигантов, имеющих собственную поляризацию в зависимости от амилитуды изменения блеска. В общем каталоге переменных звезд (ОКПЗ) приведены амплитуды изменения блеска 51 звезды из наших программных. Эти амплитуды в ОКПЗ даны в различных фотометрических системах (в фотографической, в визуальной и в V полосе системы UBV). По нашим неопубликованным данным в полосах В и V системы UBV изменения блеска красных сверхгигантов почти одинаковые. Если учесть, что амплитуды этих изменений в фоточти одинаковые. Если учесть, что амплитуды этих изменений в фоточти одинаковые.

Таблица 7

Класс светимости	Число М сверх- гигантов	Число М сверх- гигантов с собст- венной поляри- зацией	Процентное содержание звезд с собственной поляризацией		
la lab lb	10 31 26	9 20 6	90 64 23		
Общее число	67	35	52		

тографических лучах и в полосе В почти равны, то с большой надежностью можно считать эту информацию однородной. Приведенные в ОКПЗ амплитуды колебаний блеска красных сверхгигантов находятся в интервале 0<sup>m2</sup>—3<sup>m</sup>2. Распределение процентного содержания звезд с собственной поляризацией по амплитудам колебаний блеска приведено в табл. 8. Из таблицы видно, что собственная поляризация чаще встречается у красных сверхгигантов со сравнительно большими амплитудами (>1<sup>m</sup>) по сравнешию со звездами, амплитуды которых меньше или равны 1<sup>m</sup>.

Как впервые отметил В. А. Амбарцумян [22], что в дальнейшем было подтверждено другими авторами [23, 24], многие из М сверхгигантов являются членами молодых звездных систем-ассоциаций. Поэтому определенный интерес представляет рассмотрение вопроса наличия у М сверхгигантов собственной поляризации в связи с принадлежностью их к ассоциациям. Список ассоциаций, в которые входят звезды из числа наших программных, приведен в табл. 9 (по данпым [24]). В первом столбце таблицы дано название ассоциации, во втором-число М сверхгигантов в каждой ассоциации, в третьемчисло наблюденных нами М сверхгигантов, в четвертом-число М сверхгигантов с собственной поляризацией и в пятом-процентное содержание М сверхгигантов с собственной поляризацией в каждой ассоциации. Из последнего столбца таблицы видно, что относительное число звезд с собственной поляризацией в ассоциациях Per OBI. Aur ОВІ и Gem ОВІ меньше по сравнению с остальными. Так как в ассоциацию Aur OBI входят всего два, а в Gem OBI-тои М сверхгиганта, то факт пониженного содержания звезд с собственной поляризацией в этих двух случаях можно объяснить случайными флуктуациями, связанными с малочисленностью М сверхгигантов в этих ассоциациях. Однако этого нельзя утверждать относительно ассоциации Рег ОВІ, гле число наблюдавшихся звезд гораздо больше.

Tas			0
Tab	лu	иσ	- 5

Ассоциация	Nоби <sub>1</sub> .	Nнабл.	N <sub>c06.пол</sub> .	Nco6.no.1. , %
Vul OB1 Cyg OB9 Cyg OB9 Cep OB2 Cep OB1 Cas OB2 Cas OB5 Cas OB7 Cas OB8 Per OB1 Aur OB1	1 4 1 4 3 2 3 3 3 18 2 2	1 4 1 4 3 2 3 3 2 17 2	1 4 1 3 3 2 2 2 2 1 6	100 100 100 75 100 100 67 67 50 35
Gem OB1 Bcero	47	3 45	26	33 58

Чтобы исключить возможное влияние малочисленности М сверхгигантов в каждой ассоциации на данную статистику, все М сверхгиганты, входящие в ассоциации, кромє звезд Рег ОВІ, были объединены в одной группе. Сравнение процентного содержания М сверхгигантов с собственной поляризацией, объединенной в группу с анало-

	Общее число наблюденных М сверхгигантов	Число М сверхгигантов с собственной поляризацией	Относительное число М сверх- гигантов с соб- ственной по- ляризацией, %
Во всех ассоцнациях	45	26	58
Во всех ассоциациях кроме Per OB1	28	20	77
В ассоциации Per OB1	17	6	35
Не являющиеся членами ассоциаций	22	8	36

Tab:	ица 11	13413		_		1	2	3
- In	% 8%	i	2	3				
JD 244 Pv.	% ov	2275-66	5.0	121		2427 - 54	2.8	168 168
1 2	3	2310-61	3-6	117		2430·51 2476·45	2.8	166
	100	2333 - 66	5.1	127		2488-47	2.7	169
AD Per		2340 - 49	3.2	127		2502-41	2.8	168
1983-62   4.3		23 <b>45</b> -67 242 <b>5</b> -47	2.1	143		2505·37 2513·38	3·0 2·5	168 167
2276 64 3 4		2476 - 35	3.3	140		2697 - 70	2.9	169
2310 65 3·4 2335·56 3·5		2631-64	3.9	124		2745-60	3.2	167
2340-60 3-7		2662 · 67 2698 · 64	5.7	132		2755-65	2.6	168
2346-59 3-7		2720.50	5-1	122		2779 - 54 2830 - 43	2.7	165 159
2426 · 44   4 · 1 2634 · 64   4 · 2		2830-34	2.8	118		2860.38	2.4	167
2668-51 3-8		3013-61	3.9	128		2873-40	2.7	165
2694 - 56 4 - 1		3018 • 60 3050 • 55	5.0	123		3082-66	2.9	168
2721-61 3-9		3098 - 44	2.7	126		3098-60	2.9	169 168
2772 · 38   3 · 5 3015 · 66   3 · 7						3168·51 3189·47	3.1	166
3019-61 4-0	116	Y	Z Per				1	1
3052 • 64 3 • 6		1951-65	1 2.6	1 127		BI	J Gem	
3082.56 3.5 3099.41 3.3		1978-66	2.5	134		2345 - 57	1 2-2	1 170
3099.41   3.3 3100.38   3.2		2312-49	3.4	122	720	2397 - 65	2.0	174
SU Per		2335 - 53	3.1	120		2427 - 55	2.8	176
	70.	2340 · 56 2346 · 55	3.8	115		2430 · 52 2476 · 48	2.8	174 174
2276.63   2.5		2426-40	2.5	118		2488 • 47	2.1	169
2310-64   2-7 2335-55   2-3		2631-59	2.5	116		2502-41	2.7	176
2340 - 59 3 - 0	106	2638 - 63	2.7	117		2505 - 38	3.0	172
2346 - 58 3 - 0		2667 · 61 2692 · 61	3.1	119		-2513·39 2698·71	3.0	167 8
2426 · 45   3 · 3 2634 · 62   2 · 6		2720 - 43	3.8	119		2745.61	1.3	4
2668-49 2-8		2755-46	3.4	118		2755-62	1.0	1
2697 - 55 3 - 1	110	2799.37	2.9	122		2779-55	2.6	177
2721.56 3.3		3015·63 3018·67	2.7	112		2830 - 45	2.8	178
2772·36   2·7 3015·65   3·0		3050 - 62	2.7	116		3082·71 3098·62	2.0	178
3019-60 3-6		3095-46	1.8	102		3168-53	1.7	ő
3052 - 64 2 - 8		C	E Tau			3189-46	2.4	179
3082·57 2·8 3099·40 3·3		2339.70	1 1-2	1 1		ψ	Aur	
2033.40   2.9	114	2344 • 67	1.4	2				
RS Per		2397 - 62	0.7	23		2345·60 2426·53	0.4	9
2278-62   3-0	1 114	2427-51 2430-47	1.3	1		2476.50	0.6	1
2310-68 3-5	116	2476.41	0.8	5		2503-41	0.6	171
2335.57 4.0		2488 - 40	1.3	16		2505 - 41	0.7	178
2340-61 3-7 2346-60 3-7		2502 - 35	1.1	9		3098 · 58 3168 · 56	1.4	3 6
2426-47 3-3		2691-69	1.9	8 16		0100-00	1 1-0	1
2634-64 3-6		2745 · 58 2755 · 58	2.3	12		. R5	Cnc	
2668 • 52 3 • 7		2779 - 47	1.3	16		2345-71	0.3	1 20
2697 · 61   3 · 0 2721 · 58   3 · 3		2826 - 38	1.9	19		2426 - 58	0.3	. 4
2772-38 3-2		2830·37 2859·31	1.3	14		2476 - 53	0.1	3
3014-65 4-1	118	2866-34	1.3	14		2503 - 44	0.1	6
3023 · 68   4 · 2 3051 · 68   3 · 8		3051.71	1.0	17		2505 · 45 2519 · 37	0.2	34 31
3082.53 4.0		3082 - 64	1.3	23		2717-61	0.6	63
3100 - 40   3 - 7		3098 · 56 3168 · 46	0.9	21		2720 - 72	1.0	48
	111111111111111111111111111111111111111	3189-41	1.7	6		2755 - 69	0.3	62
S Per			Gem	400		2779 · 62 2830 · 51	0.4	41
1950-60   7-3				1 100		2030-31	0.7	39 59
1978 · 62   6 · 9 1990 · 60   9 · 8		2345 • 57 2397 • 67	3.0	166 162	-	3191.39	1.0	37
30   0.0		2007-07	2.0	102		2 3	150	112

	2	3	1	2	3	1	2	3
В	l Cyg		3017-47	4.1	84	2653 · 43	2.8	33
			3052-42	4.7	87	2691-42	2.9	38
1931 - 55	3.7	87	3095 - 31	5.6	80	2721 - 35	3.4	41
1946 · 39 1949 · 40	3.6	74				2934 - 56	3.5	36
1955-38	4.0	77	RY	V Cyg		2954 · 54	4.3	35
1978 - 34	3.8	80			. 110	2981 - 50	4.2	30
2216 - 58	3.6	102	1926 · 49 1931 · 50	2.5	118	2987 - 46	3.9	34
2240 - 47	1.7	152	1946-47	1.8	146	2990.58	3.6	35
2245 49	3.0	89	1949 - 45	2.7	142	3012 45	4.1	44
2251 - 42	4.4	89	1955 - 42	2.3	136	3017·49 3018·48	3.7	31
2253-50	3.9	95	1978 - 37	2.2	142	3019-43	4.0	37
2272 • 50	3.8	90	2212.53	1-2	173	3020 - 46	4.1	36
2275 · 36	4.3	100	2216 · 44	1.8	164	3024 - 50	4.3	38
2311 · 38 2333 · 40	3.7	86	2245 • 47	2.2	174	3050 - 39	4-1	36
2339-41	3.7	92 91	2251 - 40	1.1	155	3051-37	3.5	32
2398 - 30	3.4	92	2254 - 44	2.1	168	3052 · 44	3.6	36
2567 - 58	2.8	K7	2272 · 54 2276 · 39	0.6	21	3092-34	2.8	28
2604 - 55	2.5	77	2310.39	0.8	11			
2607:44	2.2	81	2333.42	1.8	47	S	W Cep	
2627 - 45	2-1	87	2340 - 42	1.3	51	1927-39	1 2.2	84
2630 - 49	2.2	85	2570 - 54	0.9	122	1932-63	1.6	109
2635 · 44	2.9	82	2605 - 54	0.7	116	1946 - 50	1.5	72
2656 - 43	3.0	80	2608 - 50	1.2	106	1949-49	1.5	93
26×2·35	3.2	78	2622 - 52	1.3	112	1955-50	1.8	87
2721·34 2934·51	2.4	91	2629 - 44	1.1	100	1975 - 44	2.0	106
2965 - 54	2.4	81 91	2634-41	1.8	107	2217-56	1.9	51
2985 - 44	1.6	88	2653 - 41	1.5	109	2240 - 54	1.9	35
2989-50	3.4	93	2692 • 39	2.0	119	2246 - 49	1.8	58
3011-40	3.3	93	2720 · 31 2934 · 57	1.4	132	2251 · 56 2253 · 52	2.1	52 54
3014 - 45	2.8	85	2965-57	2.1	116 123	2270 · 46	1.9	49
3017 - 47	3.2	85	2986 46	2.4	119	2275 - 39	0.1	3
3052 - 42	4.1	78	2987 - 44	2.4	116	2310.40	1.0	46
3095-31	4.4	59	2990.52	2.3	118	2333-45	0.8	34
35.			3012-44	2.9	121	2338 · 46	1-5	38
Be	C Cyg		3019-41	2.8	119	2368.35	0.5	48
2216 - 57	1 5.5	83	3051 - 36	3.0	130	2399.31	1.1	63
2240 - 48	5.9	82	3098-31	2.6	139	2606 - 52	1.8	18
2245-52	5.7	76	A -	· C		2612·57 2622·44	1.1	78 79
2251 - 43	4.7	80		Cyg		2628 • 46	1.1	77
2253.56	5.3	82	1921 - 37	3.8	36	2631-43	1.0	70
2272 - 53	5.0	87	1922 - 42	4.8	32	2638 - 47	1.7	60
2275 - 38 2311 - 37	5.0	83	1923 - 55	3.8	38	2656 - 48	i i i	85
2333.39	5·0 4·5	69	1947 - 35	4.8	33	2692 - 40	1.8	74
2339 42	4.9	71 73	195 <b>0 · 3</b> 3 1973 · 33	3.4	39	2714-39	1.7	71
2398 - 32	6.0	. 84	1983.33	4.8	42	2772 · 28	1.0	95
2567 - 58	5.3	67	2216.61	5.0 3.5	44 38	2954 - 59	2.0	49
2604 - 56	5.6	77	2240 - 49	4.1	38	2981-51	2.3	49
2607 - 43	5-8	77	2246 • 46	2.7	34	2987-47	2.3	53
2627.45	5.3	77	2251.52	2.7	35	2990.55	2.0	53
2630 · 48	6.0	78	2254 · 46	3.5	44	3012-47	2.0	56
2635 - 45	5.8	82	2272.56	2.5	46	3018 · 49 3050 · 40	2.5	54 56
2656-43	5.9	79	2276-41	3.0	27	3092 · 29	1.8	55
2692.36	6.3	79	2311-41	2.8	42		***	1 00
2721·33 2934·51	8-1	80	2333 - 44	2.3	38		<b>Сер</b>	
2965.53	4.1	79	2338 • 45	3.0	40			1 120
2985.44	4.0	84 82	2570 - 56	4.0	24	1919-40	0.4	139
2989 - 49	4.8	89	2605 - 56 2608 - 47	3.2	35	1922 · 38 1923 · 43	0.3	139
3010-40	5-0	87	2622.50	3.3	31	1923-43	0.2	134
3011-44	5.2	87	2629.42	2.2	37 42	1930 - 44	0.2	133
3014 - 44	4-0	91	2634.43	3.1	42	1946 - 33	0.3	151
			-001-40	0.1	76	2010 00	, ,	

	811			2	3		1	2	3
1	2	3		-			1978 - 42	2-3	49
		1	2429-29	1-9	34		2244 - 47	3.5	41
1949-41	0-1	134	2606.53	2-1	40		2248 - 51	3.4	32
1955-46	0-2	120 123	2612.58	1.9	41		2252-58	3.0	34
1978 - 40	0.1	126	2627-51	1.7	39		2270-38	3.4	36
1983-38	1.3	35	2631-44	1.8	38		2275-41	3-7	41
2217 · 58 2240 · 55	1.9	46	2638-49	1.8	37 43		2309.39	2.6	36
2246 - 50	1.8	35	2656-49	1.7	13		2330 • 48	2-9	31
2251-63	1.6	36	2692-42	1.8	38		2 131 - 42	2.7	30
2254 - 49	1-7	33	2772-30 2954-61	2.1	37		2337 - 41	3.3	28
2273 - 46	2.4	46	2985.50	1.6	42	1	2343.41	3.0	35
2276 - 44	1.2	30 38	2988-55	1.9	38		2399-36	2.9	49
2311-42	1-7	34	2995.49	1.5	37		2429-31 2607-48	3.8	34
2333-46	2.1	34	5013-47	1.7	48		2628 - 47	3.3	42
2338 · 48 2346 · 44	2.2	30	3019-42	1.7	39		2631-45	3.2	40
2368-36	2.0	38	3051 · 42	2.2	38		2638-50	3.4	36
2399-32	2.2	24	3082-43	1.6	36		2667 - 44	3.5	39
2427 - 29	2·1 3·2	31	3095-34	2.0	30		2714-40	3.3	38
2567-64	3.2	19		Cep			2746-36	3.3	37
2606 - 49	2.5	30	AZ				2965 - 60	4.2	37
2612-56	2.1	30	1929 - 42	4.8	47		2985.53	3.4	38
2622 - 53	2.3	27 30	1947 - 53	4.6	55   49		2989.56	3.8	38
2629 - 46	2.1	. 33	1950 - 47	4.5	48		3011-45	3.8	43
2634 · 44 2655 · = 0	2.1	34	1955-61	4.6	55		3014·51 3017·54	3.9	41
2691 - 43	1.6	31	1975·46 2217·61	4.3	43		3024.55	3.9	38
2720 - 32	1.8	35	2240-58	4-8	39		3052 - 53	4.0	40
2754-31	1.6	34	2246.52	6.0	52		3099-28	3.9	37
2799-28	1.9	36	2256 - 56	5-1	48		` S1		
2934-62	0.8	35	2270.39	4.2	47	6	1920 - 41	2.2	1 74
2954-61	1.0	36 33	2275-39	3.7	47		1922 - 57	2.3	55
2982 - 55	0.9	41	2310.42	3.8	53		.1924 - 50	2.0	61
2988 · 54 2991 · 48	0.9	44	2333.47	4-0	51 52		1932 - 51	1.7	65
3013.46	0.7	59	2338-49	4.7	53		1947 - 49	2.1	58
3017 - 52	0.8	56	2344.43	3-1	53		1951 - 33	2.0	70
3024-53	0.8	53	2399·34 2430·33	4.5	54		1974 - 35	2.3	66
3052 - 48	0.8	60	2606-60	3.3	43		1983 - 35	1.9	73
3082 - 42	1-1	32	2612-59	3.6	45		2218-53	3.9	60
3095-33	1.0	36	2627 - 52	3.0	50		2244 · 48 22 · 18 · 53	3.1	59 58
	t		2630.53	3.8	54		2252 • 60	3.1	60
V	Cep		2635 • 50	4.4	49		2270.48	2.9	58
1919-45	1 1.3	40	2656 • 50	4.2	50		2275 - 48	2.5	54
1921 - 45	1.0	40	2691-44	4.4	39		2310.43	1.2	48
1922 - 53	1-4	42	2720·34 2754·32	3-4	43		2333-49	1-6	54
1923-48	1.2	45	2799.29	6.1	46		2338-49	1.2	51
1924 - 60	1-4	44	2965-58	4.3	51		2344 - 46	1.8	59
1932-59	1.1	45	2986 - 47	3.9	56		2399 - 40	2.5	61
1947 - 40	1.4	34 34	2987 • 53	4.2	54		2607 - 50	3.8	66
1950 · 44 1955 · 56	1.5	40	2990 - 56	3.7	50		2627 - 53	3·1 2·9	59
1975 - 40	1-3	38	3012-48	3.6	69		2631 · 47 2638 · 51	2.4	64
2217.59	1-8	42	3017-53	3.5	53		2662.44	2.4	65
2240-57	1.8	39	3024 - 54	4-3	59		2692 · 43	3.0	61
2246.51	2.3	42	3052-49	2-6	49		2721 - 44	3.0	71
2252 - 55	2.0	49	3094 - 35	2.2	42		2965-61	2.6	55
2270 - 38	1-8	35	RV	V Cep			2986-48	2.8	60
2274 - 48	1.7	36	1920-50	1.7	47		2989 - 57	3.4	55
2278 • 56	0.9	40	1922-47	2-1	41 .		3011-47	2.6	63
2312.42 2335.38	1.3	47	1924-42	2.2	42		3014.52	2.7	55
2339-48	2.0	40	1932 - 56	2.1	44		3017-55	2.8	64
2346 - 46	1.7	39	1947 - 39	2.7	40		3024.56	2.8	60
2399.33	1.8	37	1950·37 1955·56	2.5	42		3052·54 3099·30	2.6	62 65
18010	71	1 150	1200.00	2.4	77.78		0099.90	2.1	00

1	2	3		1	1 2	3 .		1	2	3
	Z Cas	13		3017 - 57	3.4	89		BD -	-60° 33	35
11930 · 52 11948 · 51	3.6	109		3024 · 59 3052 · 57	3.9	81 96		3002-62	4.7	104
11951 - 40	3.9	112		3098 - 37	3.8	90		3018-58	4.7	103
119-4-42	3.4	112			181			3050-51	4.9	99
11983 43 2227 53	3.2	112		Ci	se 23			3095-42	4.3	102
<b>2245</b> · 59	3.1	102		2986-63	1 9.0	105		W	X Cas	
.2250-61	3.0	100		2989.60	9.4	105 104		2310-49	4.8	96
.2253·60 .2272·49	3.9	104		3011.55	10-0	111		2333.59	4.1	93
.2275 - 60	3.2	110		3014-56	9.3	103 106		2338 - 60	4.6	98
12312-49	3.3	95		3017 · 58 3024 · 60	9.3	115		2343 · 56 2374 · 47	4·0 3·8	94 96
2335 - 46	4.0	95		3052 - 58	7.0	111		2425.37	3.8	92
2339-56 2344-52	3.0	99 95		3095 - 38	7.6	111		2480.34	4.0	96
2398-39	3.2	92						2630 · 60 2635 · 60	3.7	97
2429 - 35	3.9	77		HS	Cas			2662.62	3.5 4.9	96 97
2608 · 60 2627 · 60	2.2	104		2255-56	5-3	94		2691-60	4.4	104
2631 - 55	1.6	96		2274.59	4.8	94		2714.58	3.3	105
2638 - 60	3-1	96		2309 - 56	5.0	93		2753 · 44 3012 · 66	3.5 3.9	96 101
2667 · 51 2691 · 46	2.4	89 95		2331 - 55	5.0	93		3019-58	5.6	93
2714.44	2.7	95		2337 · 58 2343 · 50	4.9 5-8	94 91		3051 - 59	3.5	98
2746 - 41	2.3	89		2364 - 46	4.7	96		3098 · 42 3189 · 31	3.7	105 95
2986 - 58	3.0	102		2429 - 39	4-3	96				נפ
2987 · 6() 3011 · 56	3.8	96 95		2476 · 32 2629 · 59	4-3	104 97		X	( Per	
3013 - 53	4.3	100		2634.52	5-1	94		1949-56	3.3	107
3019-48	3.8	103		2658 - 63	4.6	97		1978 - 54	3.5	110
3051 · 45 3092 · 33	2.8	102 115		2691 - 56	4.5	91		1990 · 51 2310 · 48	2·3 3·0	115 88
0032 - 00	2.5	110		2745 · 42 2826 · 33	4·6 3·7	94 98		2333-57	2.9	85
77.77				2988-61	4.8	93		2338 - 59	2.7	95
12	Cas	3		3092 - 57	5.4	89		2343·54 2374·45	2·3 2·6	92 96
1930 - 57	6.0	102		3018·57 3050·49	5·6 4·8	95 98		2397 - 49	2.0	101
1948 · 58 1951 · 54	3.6	98 104		3095 - 88	3.2	91		2429-44	3.2	99
1975 - 33	5.2	91		4 3				2479·35 2629·65	3.6	97
1983 - 47	4.4	96		AZ	Cas			2634-60	2.8	99
2227 - 57	3.1	105				11-		2667 - 60	3-4	88
2245-61 2251-60	3.3	94	4	1931 · 59 1948 · 63	3.1	115 119		2692.58	4.3	92
2254 - 55	4.0	95		1978-50	3.3	115		2721-53 2755-42	3.3	94 91
2273 - 52	3.4	97		1983-52	5.0	121		3012-65	2.0	102
2276 · 50 2309 · 14	3.2	96 88		2255 • 62	5.8	117		3019.56	2-4	97
2331 - 47	3.3	94		2273.60 2311.51	5.9	108 104		3051 · 58 3094 · 39	3·0 2·4	103
2338 - 55	3.6	96		2334-51	4.3	105				105
2345 · 46 2398 · 42	4.4	95 89		2339 - 65	3.7	111			Cas	
2430.42	2.8	59		2314.56 2374.43	3.5 4.4	113 106		2312·52 2335·48	6.2	115
2609.56	2.5	89		2397 - 46	3.5	108		2333 · 48	5·1 6·4	118 108
2628 - 55	2.0	86		2427-40	4.2	104		2346.53	7.5	119
2631 · 53 2638 · 58	2.4	- 89 85		2630 • 59	3.4	106		2426-42	5.5	114
2662 - 56	3.8	85		2635.57 2662.60	4·2 5·0	110 106	. 11.13	2488·32 2631·58	6.0 6.5	107 119
2698 - 53	4-4	85		2698 - 58	5.1	106		2638-62	6.1	121
2745 · 34 2986 · 60	3.0	87		2745 - 44	4.1	102		2667 - 63	6-6	120
2989-60	3.2	87 83		3002-64 3018-59	4.0	108 110		2692.59	7.7	115
3011.50	4.1	82		3050 - 52	4.5	100		2720 · 42 2755 · 44	7.5 6.9	121 112
3014 - 54	2.9	87		3095 - 42	3.8	109		2799-36	6.5	113

1								2	3
1	-		0	1	2	3_	1	2	1
3013-67 6-3 115 2374-55 7-7 107 26831-41 3-3 37 37 3016-65 6-3 115 2397-57 6-5 104 2683-45 1-8 7 70 3059-61 5-3 1114 2479-38 7-5 1113 2790-29 2-0 43	1	2	2	-			26.20	1.7	37
3013-67 6-3 115 2297-37 6-8 104 2633-45 1-8 74 3016-65 6-3 115 2297-49 6-4 105 2633-45 1-8 74 3016-65 5-8 117 2297-49 6-4 105 2667-41 2-7 7 8 3099-46 5-3 114 2479-38 7.5 111 2270-29 2-0 43 3099-46 5-3 114 2479-38 7.5 111 2270-29 2-0 43 3099-46 5-3 114 2479-38 7.5 1106 2293-61 3-0 38 2591-65 6-7 106 2293-61 3-0 38 2591-65 6-7 106 2293-61 3-0 38 2591-65 6-7 106 2293-61 3-0 38 2591-65 6-7 106 2293-61 3-0 38 2591-65 6-7 106 2293-61 3-0 38 2591-65 6-7 106 2293-61 3-0 38 2591-65 6-7 106 2293-61 3-0 38 2591-65 6-7 106 2293-61 3-0 38 2591-65 6-7 106 2293-61 3-0 38 2591-65 6-7 106 2293-61 3-0 3019-40 3-1 3-0 3019-40 3-1 3-0 3019-40 3-1 3-0 3019-40 3-1 3-1 85 2344-45 5-4 103 2235-65 6-6 117 3011-35 1-4 65 2374-99 3-9 109 3025-60 6-6 117 3011-35 1-4 65 2245-40 4-1 112 3019-40 3-1 3-1 85 2240-41 3-3 3-9 117 2295-56 2-2 113 2216-57 7-0 1109 3035-29 2-5 12 2245-45 3-6 8-7 17 22985-36 3-3 37 3-9 117 2296-5-6 3-5 102 2290-41 3-3 3-9 17 22985-36 3-3 38 2245-45 3-5 104 2240-41 3-3 3-9 17 22985-36 3-3 38 3052-65 3-5 102 2220-46 2-3 21 2295-55 3-5 102 2235-42 1-0 8-7 17 22985-36 3-3 38 3052-65 3-5 102 2235-42 1-0 8-7 17 22985-36 3-3 38 3052-65 3-5 102 2235-42 1-0 8-7 17 22985-36 3-3 38 3052-65 3-5 102 2235-42 1-0 8-7 17 22985-36 3-3 38 3156-60 4-5 104 22293-1 1-8 16 3017-48 2-1 2-7 3-1 2-1 3-1 3-1 3-1 3-1 3-1 3-1 3-1 3-1 3-1 3				9374.55	7.7	107			
3016.65   6-3   115   2427-49   6-4   105   2607-49   2-7   43   3099-46   5-3   114   2427-49   6-7   113   2720-29   2-7   43   3099-46   5-3   114   2429-185   6-7   106   2933-61   3-0   2933-75   3-1   2339-51   3-0   117   3013-44   3-1   58   2334-53   3-9   117   3013-64   3-1   58   2423-40   4-1   112   3100-47   7-8   109   3095-29   2-5   62   2933-52   2934-55   2-6   3052-60   3-5   102   2253-42   2-0   15   3011-41   3-1   3-3   37   3017-67   4-5   3052-60   4-5   104   2245-45   0-8   17   2985-36   2-6   38   3017-63   3-1   3-3   318-34   4-1   87   2213-34   3-1	3013 - 67					104			74
3099-46	3018-65					105			
Section   Sect		5-8						20	
		5-3	114						
W Per						106	2933 - 61		
Section   Column									
2311-55	W	Per							
2335-60   4-8   104   2745-54   7-0   104   2991-44   2-2   4-2   2339-85   5-4   103   2835-32   8-4   117   3013-44   1-2   4-1   65   2344-55   4-5   106   3085-60   6-6   117   3051-35   1-4   65   2347-54   4-1   112   3100-47   7-8   109   3095-29   2-5   62   2337-54   3-9   115   BD   +24° 3902   BD   +35° 4077   2480-37   3-9   115   BD   +24° 3902   2934-52   2-4   4-1   112   216-51   3-0   9   2965-56   2-6   3-8   3-3   317-7   2985-56   2-6   3-8   3-3   317-7   2985-56   3-5   102   2250-46   2-3   21   2989-51   1-7   46   3098-51   2-5   112   2250-46   2-3   21   2989-51   1-7   46   3098-51   2-5   112   2250-46   2-3   21   2989-51   1-7   46   3098-51   2-5   112   2250-46   2-3   21   2989-51   1-7   46   3098-51   2-5   112   2250-46   2-3   21   2989-51   1-7   46   3098-51   2-5   112   2250-46   2-3   21   2989-51   1-7   46   3098-51   2-5   112   2250-46   2-3   21   2989-51   1-7   46   3098-51   2-5   112   2250-46   2-3   21   2989-51   1-7   46   3098-51   2-5   112   2250-46   2-3   21   2989-51   1-7   46   3098-51   2-5   112   2250-46   2-3   21   2989-51   1-7   46   3098-51   2-5   112   2250-46   2-8   2-8   24   3017-48   2-1   2-8   3189-34   4-1   87   2274-49   1-8   16   3052-43   2-2   39   3189-34   4-1   87   2274-49   1-8   16   3052-43   2-2   39   3233-36   1-8   21   2244-42   2-3   3052-43   2-2   39   3233-36   3-8   2-1   3-4   3-1	9211 55	1 4.4	103						
2339-83   5-4   103   2743-52   8-4   117   3013-44   1-7   1-8   2344-55   4-5   106   3017-65   7-6   119   3051-35   1-4   65   2374-94   3-9   112   3092-60   6-6   117   3095-29   2-5   62   2423-40   4-1   117   8D   +24° 3902   8D   +35° 4077   2480-37   3-9   117   8D   +24° 3902   2934-52   2-4   40   2592-62   5-2   113   2216-51   3-0   9   2945-56   2-6   2-6   3-6   3017-67   4-7   99   2245-45   0-8   17   2985-36   3-3   37   3095-50   6-2   103   3095-50   3-5   102   2250-46   2-3   21   3011-41   3-1   3-1   34   3095-51   2-5   112   2253-42   2-0   15   3011-41   3-1   3-1   34   3098-51   2-5   112   2253-42   2-0   15   3011-41   3-1   3-1   34   3098-51   2-5   112   2253-42   2-0   15   3011-41   3-1   3-1   34   3098-51   2-5   104   2249-41   1-8   24   3017-48   2-1   5-4   3115-50   4-5   104   22269-41   1-8   24   3017-48   2-1   5-4   3115-50   4-5   104   22269-41   1-8   24   3017-48   2-1   5-4   3115-50   4-5   104   2235-42   2-0   19   3052-43   2-2   39   333-36   1-8   21   2234-49   1-8   16   3052-43   2-2   39   333-36   1-8   21   2244-42   7-3   102   2234-45   5-8   108   2513-68   3-2   15   2241-43   5-2   115   2241-43   5-2   115   2241-43   5-2   115   2241-43   5-2   115   2241-43   5-2   115   2241-44   7-3   102   2245-45   3-8   108   2510-48   4-4   21   2244-42   7-3   102   2245-45   4-4   21   2244-42   7-3   102   2245-45   4-5   104   2034-49   3-5   21   2255-53   4-7   105   2245-40   4-7   101   2622-42   3-3   2-2   2255-53   4-7   105   2245-40   4-7   101   2622-42   3-3   2-2   2255-55   3-7   117   3052-67   4-5   104   2954-47   2-5   51   2331-40   5-5   104   2950-49   3-6   2255-55   3-7   117   3052-67   4-5   104   2954-47   2-5   51   2331-40   5-5   104   2950-49   3-6   2255-55   3-7   117   3052-67   4-5   104   2954-47   2-5   51   2331-40   5-5   104   2950-49   3-6   2255-33   4-7   105   2331-38   3-9   26   22   2313-48   5-5   104   2331-38   109   2950-33   3-6   105   3-3   3-3   3-3   3-3   3-3   3-3   3-3   3-3   3-3   3-3				2720.54			2991 • 47		
2334.4.55				2745.54			3013-44	1.7	
2374-49							3019-40	3-1	
2397-55								1.4	
2425-40 4-1 117 BD +24° 3902 24667-68 4-0 115 2592-62 5-2 113 2216-51 3.0 9 2934-52 2-4 40 2592-62 5-2 113 2216-51 3.0 17 2985-56 3.3 37 3017-67 4-7 99 2245-45 0-8 17 2998-51 1-7 46 3052-65 3-5 102 2250-46 2-3 215 3011-41 3.1 3.1 34 3052-65 3-5 102 2250-46 2-3 215 3011-41 3.1 3.1 34 3052-65 3-5 102 2250-46 2-3 215 3011-41 3.1 3.1 34 3088-51 2-5 112 2253-49 1-8 16 2274-49 1-8 16 2333-68 1-8 21  V500 Cas  2311-53   5-6   108 2234-49   1-8 16 2335-48   6-5 108 2513-68   3-2 2 15 2334-45 5-8 108 2513-68   3-2 2 15 2334-45 5-8 108 250-48   4-4 21 2337-52   6-2 2 106 2608-40   4-6 27 2480-38 4-6 108 250-48   4-4 21 2377-52   6-2 2 106 2608-40   4-6 27 2480-38 4-6 108 262-39   4-0 21 2480-38 4-6 108 262-39   4-0 21 2480-38 4-6 108 262-39   4-0 21 2480-38 4-6 108 2634-39   2-8 2246-58 5-7 111 2599-62 4-9 106 2563-36 3-9 23 2313-48   6-5 108 2634-39   2-8 2274-54   4-9 116 2692-62 4-9 106 2563-36 3-9 23 2313-38 4-6 108 262-39   4-0 21 2310-54   5-2 115 2440-39   2-8 246-56 5-9 112 2334-46 5-4 112 2933-59 2-6 42 2313-48   6-5 108 2465-36 3-9 23 2313-48   6-5 108 2465-36 3-9 23 2313-48   6-5 108 2475-46 5-4 112 2933-59 2-6 42 2313-48   6-5 108 2475-46 5-4 112 2933-59 2-6 42 2313-48   6-5 108 2475-46 5-4 112 2933-59 2-6 42 2313-48   6-5 108 2475-46 5-4 112 2933-59 2-6 42 2313-48   6-5 108 2475-46 5-4 112 2933-59 2-6 42 2313-48   6-5 108 2475-46 5-4 112 2933-59 2-6 42 2313-48   6-5 108 2475-46 5-4 112 2933-59 2-6 42 2313-48   6-5 108 2475-46 5-4 112 2933-59 2-6 42 2313-48   6-5 108 2475-46 5-4 112 2933-59 2-6 42 2313-48   6-5 108 2475-46 5-4 112 2933-59 2-6 42 2313-48   6-5 108 2475-46 5-4 112 2933-59 2-6 42 2313-48   6-5 108 2475-46 5-4 112 2933-59 2-6 42 2274-54   4-5 116 2333-69 4-7 116 2924-42 2-5 51 2331-40 2-65-52 3-7 117 2339-53 4-0 116 221-44 0 2-6 43 2990-51 4-6 109 2333-65 5-7 118 2262-47 2-0 55 2397-53 4-0 116 221-47 0 9-6 625-52 3-7 117 2399-53 4-0 116 221-47 0 9-6 44 5225-50 3-7 117 2333-38 2-9 1-2 44 5225-50 3-7 110 2305-55 5-4 120 2333-38 2-3 44 5225-50 3-7 117 2339-69 3-7 108 2265-47 2-0 55 2340-54 7-6 118 2								2.5	62
2480.37   3-9   117   BD +24° 3902   2934.52   2-4   40   2692.62   5-2   113   2216.51   3.0   9   2934.52   2-4   40   2092.62   5-2   113   2240.41   3.3   17   2985.56   2.6   2.6   2.8   2745.45   4.5   104   2240.41   3.3   17   2985.56   3.3   3.3   3017.67   4.7   99   2245.45   0.8   17   2985.56   3.6   3.6   3.5   102   2250.46   2.3   21   3011.41   3.1   34   3098.51   2.5   112   2253.42   2.0   15   3011.41   3.1   34   3098.51   2.5   102   2250.46   2.3   21   3011.41   3.1   34   34   4.1   87   2274.49   1.8   16   3052.43   2.2   39   3053.48   6.5   108   2333.84   1.9   29   KY Cyg   2311.53   5.6   108   2334.83   1.9   29   KY Cyg   2311.53   5.6   108   2513.68   3.2   15   2221.48   6.7   105   2334.45   5.5   108   2513.68   3.2   15   2244.42   7.3   102   2344.55   5.8   108   2513.68   3.2   15   2244.42   7.3   102   2344.55   5.8   108   2513.68   3.2   15   2244.42   7.3   102   2344.49   6.2   111   2604.49   3.5   21   2244.42   7.3   102   2344.55   5.8   108   2570.48   4.4   21   2244.42   7.3   102   2344.55   5.8   108   2570.48   4.4   21   2244.54   4.9   116   2666.64   4.6   27   2252.53   5.6   109   2425.40   4.7   101   2622.42   3.3   24   2255.53   4.7   106   2666.64   4.6   27   2252.53   5.6   109   2460.38   4.6   108   2629.39   2.8   28   2278.55   5.9   112   2460.38   4.6   108   2629.39   2.8   28   2278.55   5.9   112   2460.38   4.6   108   2629.39   2.8   28   2278.55   5.9   112   2460.38   4.6   108   2629.39   2.8   28   2278.55   5.9   112   2460.38   4.6   108   2629.39   2.8   28   2278.55   5.9   112   2460.38   4.6   108   2629.39   2.8   28   2278.55   5.9   112   2460.38   4.6   108   2629.39   2.8   28   2278.55   5.9   112   2460.38   4.6   108   2629.39   2.8   28   2278.55   5.9   112   2460.38   4.6   108   2629.39   2.8   28   2278.55   5.9   112   2460.38   4.6   108   2440.33   5.9   24   2257.55   3.5   6.9   2440.35   2.5   2.5   2.5   2.5   2.5   2.5   2.5   2.5   2.5   2.5   2.5   2.5   2.5   2.5   2.5   2.5   2.5   2.5   2.5   2				3100-47	7.8	103		•	
2667-68				200	D49 300	19	BD -	35° 407	7
2692-62				RD ÷	24 050		2034.52	1 9.4	1 40
292-02				2216-51	3.0	ō			
2745-45						17			
3017-67   4-7   99   2250-46   2-3   21   2361-31   3-1   3-1   3-1   3052-65   3-5   102   2253-42   2-0   15   3011-41   2-0   2-0   2-0   3156-60   4-5   104   2269-41   1-8   24   3017-48   2-1   5-4   3189-34   4-1   87   2274-49   1-8   16   3017-48   2-1   5-4   3189-34   4-1   87   2274-54   1-8   16   3017-48   2-1   5-4   3189-34   4-1   87   2274-49   1-8   16   3015-43   2-2   39						17			
3098.51									
3088.51									
No.	3098 - 51						3014.46		
V500 Cas	3156-60	4.5							
V500 Cas  2333-36   1-8   219   KY Cyg  2311-53   5-6   108   2336-40   1-8   229   KY Cyg  2311-53   5-6   108   2346-40   1-8   229	3189-34	4.1	87				3052.43	2.2	39
V500 Cas		l	4					100	
2311.53    5.6	V50	O Cas					V1	Cur	
2335.48 6.5 108 2513.68 3.2 15 2221.48 6.7 105 2339.68 5.5 121 2565.49 4.5 15 2241.43 5.2 115 2344.55 5.8 108 2570.48 4.4 21 2244.42 7.3 102 2374.49 6.2 111 2604.49 3.5 21 2246.58 5.7 111 2397.52 6.2 106 2608.40 4.6 27 2252.53 5.6 109 2425.40 4.7 101 2602.42 3.3 24 2255.53 4.7 108 2667.68 4.8 109 2634.39 12.8 28 28 2278.55 5.9 112 2667.68 4.8 109 2634.39 12.8 28 28 2278.55 5.9 112 2669.62 4.9 106 2653.36 3.9 23 2309.37 4.6 118 2745.46 5.4 112 2933.59 12.6 42 2313.48 6.5 108 3015.67 4.5 104 2954.47 2.5 51 2331.40 5.4 107 3052.67 4.1 105 2981.47 3.1 40 2340.45 5.1 114 3098.52 5.4 99 2987.42 3.3 49 2570.52 3.7 117 3156.60 5.3 111 2990.49 3.8 50 2605.52 5.5 99 3189.33 4.6 102 3012.41 3.2 56 2608.45 6.0 108 3018.49 3.8 46 2622.44 4.4 105 2333.62 4.4 114 2933.69 3.8 119 1978.44 3.9 2662.44 4.4 105 2333.66 3.8 119 1978.44 3.9 26 2987.43 6.2 115 22934.55 4.2 110 2333.66 3.8 119 1978.44 3.9 26 2981.48 5.9 106 2374.53 4.5 115 1978.44 3.9 26 2981.48 5.9 106 2374.53 4.5 115 1978.44 3.9 26 2981.48 5.9 107 2377.53 4.0 116 2241.40 2.6 43 2990.51 4.6 105 2249.43 3.9 118 2246.56 1.7 50 3012.42 6.2 115 2669.61 4.6 117 2274.50 0.9 40 2255.43 1.6 2241.40 2.6 43 2990.51 4.6 105 2269.43 3.9 118 2282.47 2.0 55 3050.65 5.4 120 2333.38 2.3 41 2250.50 3.7 147 2274.50 0.9 40 2276.45 4.7 38 2269.42 2.5 23 3050.37 5.0 110 2239.55 1 18 2333.38 2.3 41 2250.50 3.7 14 2269.55 1 18 2333.38 2.9 18 2264.56 1.7 50 3012.42 6.2 115 2669.61 4.6 117 2274.50 0.9 40 2255.45 1.6 2269.45 1.7 50 3012.42 6.2 115 2269.45 1.7 50 3012.42 6.2 115 2269.55 1.4 120 2333.38 2.9 1.6 2244.52 4.5 2254.50 4.5 52 115 2269.55 1.4 120 2333.38 2.9 1.6 2244.52 4.5 2254.50 4.5 52 115 2269.55 1.4 120 2333.38 2.9 1.2 4 45 2254.50 4.5 52 115 2269.55 1.4 120 2333.38 2.9 1.6 2244.52 4.5 1.0 120 2333.38 2.9 1.6 2244.52 4.5 1.0 120 2333.38 2.9 1.6 2244.52 4.5 1.0 120 2333.38 2.9 1.6 2244.52 4.5 1.0 120 2333.38 2.9 1.2 4 45 2254.50 4.5 52 115 2269.65 1.7 50 3012.42 6.2 115 2269.65 1.7 50 3012.42 6.2 115 2269.65 1.7 50 3012.42 6.2 115 2269.65 1.7 50 3012.42 6.2 115 2269.65 1.7 50 301							· K	Cyg	
2333-68	2311.53						9991.48	1 6.7	106
2334-55	2335 · 48			2513-68			0241.43		
2374-49 6-2 106 2608-40 4-6 27 2255-53 5-6 109 2422-40 4-7 101 2622-42 3-3 24 2255-53 5-6 109 2422-40 4-7 101 2622-42 3-3 24 2255-53 4-7 106 2480-38 4-6 108 2662-39 4-0 21 2274-54 4-9 116 2667-68 4-8 109 2634-39 2-8 28 2278-55 5-9 112 2692-62 4-9 106 2655-36 3-9 23 2309-37 4-6 118 2692-62 4-9 106 2655-36 3-9 23 2309-37 4-6 118 3015-67 4-5 104 2933-59 2-6 42 2313-48 6-5 108 3015-67 4-5 104 2934-47 2-5 51 2331-40 5-4 107 3052-67 4-1 105 2981-47 3-1 40 2340-45 5-1 114 3098-52 5-4 99 2987-42 3-3 49 2570-52 3-7 117 3156-60 5-3 111 2990-49 3-8 50 2605-52 5-5 99 3189-33 4-6 102 3012-41 3-2 56 2608-45 6-0 108 BD +59° 594 3050-35 3-6 39 2629-41 5-9 104 2333-62 4-4 114 V717 Cyg 2653-38 7-9 106 2333-62 4-4 114 V717 Cyg 2653-38 7-9 104 2333-66 3-8 119 1929-36 3-0 40 2954-49 5-6 109 2343-66 3-8 119 1978-44 3-9 26 2981-48 5-9 107 2343-66 3-8 119 1978-44 3-9 26 2981-48 5-9 107 2343-66 3-8 119 1980-36 1-7 50 3012-42 6-2 115 2397-53 4-5 115 2219-51 2-8 45 2987-43 6-2 115 2429-43 3-9 116 2241-40 2-6 43 2990-51 4-6 105 2429-43 3-9 116 2246-56 1-7 50 3012-42 6-2 115 2669-61 4-6 117 2253-43 1-6 28 3018-47 5-4 108 2669-61 4-6 117 2253-43 1-6 28 3018-47 5-4 108 2669-61 4-6 117 2253-43 1-6 28 3018-47 5-4 108 2669-61 4-6 117 2253-43 1-6 28 3018-47 5-4 108 2669-61 4-6 117 2253-43 1-6 28 3018-47 5-4 108 2669-61 4-6 117 2253-43 1-6 28 3018-47 5-4 108 2669-61 4-6 117 2253-43 1-6 28 3018-47 5-4 108 2669-61 4-6 117 2253-43 1-6 28 3018-47 5-4 108 2720-58 4-7 117 2274-50 0-9 40 2720-58 4-7 118 2282-47 2-0 55 2398-29 1-2 41 2273-47 5-1 34 2335-65 6-6 108 2604-51 3-2 49 2355-44 5-1 34 2335-65 6-6 108 2604-51 3-2 49 2355-44 5-1 34 2335-65 6-6 108 2606-47 3-5 27 2340-44 5-0 41	2339-68			2565 - 49					103
234-49 6-2 106 2608-40 4-6 108 2622-42 3-3 24 2255-53 5-6 109 2425-40 4-7 101 2622-42 3-3 24 2255-53 4-7 106 2686-66 4-8 108 2629-39 4-0 21 2274-54 4-9 116 2667-68 4-8 109 2634-39 12-8 28 2278-55 5-9 112 2692-62 4-9 106 2655-36 3-9 23 2309-37 4-6 118 2745-46 5-4 112 2933-59 2-6 42 2313-48 6-5 108 3015-67 4-5 104 2954-47 2-5 51 2331-40 5-4 107 3052-67 4-1 105 2981-47 3-1 40 2340-45 5-1 114 3098-52 5-4 99 2987-42 3-3 49 2570-52 3-7 117 3156-60 5-3 111 2990-49 3-8 50 2605-52 5-5 99 3189-33 4-6 102 3012-41 3-2 56 2608-45 6-0 108 3018-49 3-8 46 2622-44 4-4 105 3018-49 3-8 46 2622-44 4-4 105 2333-62 4-4 114 2338-69 3-7 116 1929-36 3-6 39 269-41 5-9 104 2343-66 3-8 119 1978-44 3-9 26 2981-48 5-9 107 2374-53 4-5 115 2219-51 2-8 45 2987-43 6-2 115 2299-49 3-7 108 2242-43 3-9 116 2241-40 2-6 43 2990-51 4-6 105 2242-43 3-9 116 2241-40 2-6 43 2990-51 4-6 105 2242-43 3-9 116 2241-40 2-6 43 2990-51 4-6 105 2242-43 3-9 116 2241-40 2-6 43 2990-51 4-6 105 2242-43 3-9 116 2241-40 2-6 43 2990-51 4-6 105 2429-43 3-9 118 2246-56 1-7 50 3012-42 6-2 115 2669-61 4-6 117 2253-43 1-6 28 3050-37 5-0 110 2725-51 3-4 118 2246-56 1-7 50 3012-42 6-2 115 2669-61 4-6 117 2253-43 1-6 28 3050-37 5-0 110 2725-51 3-4 118 2246-56 1-7 50 3012-42 6-2 115 2669-61 4-6 117 2253-43 1-6 28 3050-37 5-0 110 2725-51 3-4 118 2246-56 1-7 50 3012-42 6-2 115 2399-51 4-6 105 2333-65 5-4 120 2333-38 2-3 41 2250-50 3-7 108 2253-43 1-6 28 3050-37 5-0 110 2725-51 3-4 118 2246-56 1-7 50 3012-42 6-2 115 2399-51 4-6 105	2344-55			2570 - 48					
2495.40	2374-49	6-2		2604 - 49					
2425.40	2397 - 52	6.2	106	2608 - 40	4.6				
2480.38		4.7	101		3.3	24			106
2667.68		4.6	108		4.0	21			116
2692.62		4-8	109		2.8	28			112
2745-46			106				2309.37	4.6	118
3015.67							2313.48	6.5	108
3052-67							2331 - 40	5.4	107
3098.52   5.4   99   2987.42   3.3   49   2570.52   3.7   117   3156.60   5.3   111   2990.49   3.8   50   2605.52   5.5   5.5   99   3012.41   3.2   56   2608.45   6.0   108   3018.49   3.8   46   2622.44   4.4   105   3018.49   3.8   46   2622.44   4.4   105   3018.49   3.8   46   2622.44   4.4   105   2310.54   5.2   115   2333.62   4.4   114   2338.69   4.7   116   1929.36   3.0   40   2954.49   5.6   109   2343.66   3.8   119   1978.44   3.9   26   2981.48   5.9   107   2397.53   4.0   116   2219.51   2.8   45   2987.43   6.2   115   2429.43   3.9   116   2241.40   2.6   43   2990.51   4.6   105   2669.61   4.6   117   2253.43   1.6   28   3018.47   5.4   104   2698.69   3.7   108   2269.42   2.5   23   3050.37   5.0   110   270.58   4.7   118   2269.42   2.5   23   3050.37   5.0   110   2333.38   2.3   41   2250.50   3.7   14   3298.29   1.2   41   2273.47   5.1   34   35   2398.29   1.2   41   2273.47   5.1   34   2335.65   6.6   108   2604.51   3.2   49   2335.44   5.0   41   2330.44   5.0   41   2330.54   7.6   112   2606.47   3.5   27   2340.44   5.0   41								5-1	114
3156.60   5.3   111   2990.49   3.8   50   2605.52   5.5   99   3189.33   4.6   102   3012.41   3.2   56   2608.45   6.0   108   3018.49   3.8   46   2622.44   4.4   105   2614.40   5.5   100   2310.54   5.2   115   2614.40   5.5   100   2333.62   4.4   114   2333.66   3.8   119   115   1929.36   3.0   40   2954.49   5.6   109   2374.53   4.5   115   2219.51   2.8   45   2987.43   6.2   115   2397.53   4.0   116   2241.40   2.6   43   2990.51   4.6   105   2429.43   3.9   116   2241.40   2.6   43   2990.51   4.6   105   2429.43   3.9   116   2246.56   1.7   50   3012.42   6.2   115   2689.69   3.7   108   2269.42   2.5   23   3050.37   5.0   110   2755.51   3.4   118   2269.42   2.5   23   3050.37   5.0   110   2755.51   3.4   118   2224.50   4.7   117   2233.33   2.9   61   2244.52   4.8   35   3019.66   5.7   118   2233.33   2.3   41   2250.50   3.7   14   339.39   2.4   45   2254.50   4.5   52   2398.29   1.2   41   2273.47   5.1   34   2339.39   2.4   45   2254.50   4.5   52   2398.29   1.2   41   2273.47   5.1   34   2339.39   2.4   45   2254.50   4.5   52   2336.54   5.6   112   2606.47   3.5   27   2340.44   5.0   41									117
3189.33   4.6   102   3012.41   3.2   56   2608.45   6.0   108   3018.49   3.8   46   2622.44   4.4   105   105   106   108   2310.54   5.2   115   116   1929.36   3.0   40   2954.49   5.6   109   2334.66   3.8   119   1978.44   3.9   26   2981.48   5.9   107   2347.53   4.5   115   2219.51   2.8   45   2987.43   6.2   115   2241.40   2.6   43   2990.51   4.6   105   2429.43   3.9   118   2241.40   2.6   43   2990.51   4.6   105   2429.43   3.9   118   2241.40   2.6   43   2990.51   4.6   105   2686.69   3.7   108   2241.40   2.6   43   2990.51   4.6   105   2686.69   3.7   108   2241.40   2.6   43   2990.51   4.6   105   2686.69   3.7   108   2241.40   2.6   43   2990.51   4.6   105   2686.69   3.7   108   2241.40   2.6   43   2990.51   4.6   105   2686.69   3.7   108   2241.40   2.6   43   2990.51   4.6   105   2686.69   3.7   108   2241.40   2.6   43   2990.51   4.6   105   2686.69   3.7   108   2241.40   2.6   43   2990.51   4.6   105   105   200.58   4.7   117   2253.43   1.6   28   3018.47   5.4   104   2686.69   3.7   108   2269.42   2.5   23   3050.37   5.0   110   2755.51   3.4   118   2269.47   2.0   55   3050.65   5.4   120   2333.38   2.3   41   2250.50   3.7   14   339.39   2.4   45   2254.50   4.5   52   2398.29   1.2   41   2273.47   5.1   34   34   35   34   34   35   34   34									
3018 49 3.8 46 2622 44 4 4 105 BD +59° 594 3050 35 3 6 39 2629 41 5 9 104 2310 54 5 2 115 V 717 Cyg 2653 38 7 9 100 2333 62 4 4 114 2338 69 4 7 116 1929 36 3 0 40 2954 49 5 6 109 2374 53 4 5 115 2219 51 2 8 45 2987 43 6 2 115 2397 53 4 0 116 2241 40 2 6 43 2990 51 4 6 105 2429 43 3 9 118 2241 40 2 6 43 2990 51 4 6 105 2429 43 3 9 118 2241 40 2 6 43 2990 51 4 6 105 2669 61 4 6 117 2253 43 1 6 28 3018 47 5 4 104 2698 69 3 7 108 2253 43 1 6 28 3018 47 5 4 104 2720 58 4 7 117 2274 50 0 9 40 2720 58 4 7 118 2282 47 2 0 55 3019 66 5 7 118 2282 47 2 0 55 3019 66 5 7 118 2333 38 2 3 41 2250 50 3 7 14 2339 39 2 4 45 2254 50 4 5 52 2398 29 1 2 41 2273 47 5 1 34 2335 65 6 6 108 2604 51 3 2 49 2335 44 5 1 36 2330 54 7 6 112 2606 47 3 5 27 2340 44 5 0 41					2.0				
BD +59° 594  2310·54   5·2   115  2333·62   4·4   114  2338·69   4·7   116  2338·69   4·7   116  23374·53   4·5   115  2397·53   4·0   116  2429·43   3·9   116  2241·40   2·6   43  2298·43   3·9   116  2241·40   2·6   43  2299·51   4·6   105  2669·61   4·6   117  2720·58   4·7   118  2269·42   2·5   23  3050·65   5·4   120  2339·39   2·4   45  2339·39   2·4   45  2339·39   2·4   45  2339·39   2·4   45  2330·54   7·6   112  2606·47   3·5   27  2340·54   7·6   112  2606·47   3·5   27  2340·54   7·6   112  2606·47   3·5   27  2340·54   7·6   112  2606·47   3·5   27  2340·54   7·6   112  2606·47   3·5   27  2340·44   5·0   41	9109.00	4.0	102						
2310.54 5.2 115 V 717 Cyg 2653.38 7.9 106 2333.62 4.4 114 V 717 Cyg 2653.38 7.9 106 2338.69 4.7 116 1929.36 3.0 40 2954.49 5.6 109 2343.66 3.8 119 1978.44 3.9 26 2981.48 5.9 107 2374.53 4.5 115 2219.51 2.8 45 2987.43 6.2 115 2397.53 4.0 116 2241.40 2.6 43 2990.51 4.6 105 2429.43 3.9 116 2241.40 2.6 43 2990.51 4.6 105 2429.43 3.9 118 2246.56 1.7 50 3012.42 6.2 115 2669.61 4.6 117 2253.43 1.6 28 3018.47 5.4 104 2698.69 3.7 108 2253.43 1.6 28 3018.47 5.4 104 2698.69 3.7 108 2269.42 2.5 23 3050.37 5.0 110 2720.58 4.7 117 2274.50 0.9 40 2720.58 5.7 118 2282.47 2.0 55 3019.66 5.7 118 2282.47 2.0 55 3019.66 5.7 118 2282.47 2.0 55 3019.65 5.4 120 2333.38 2.3 41 2250.50 3.7 14 3050.65 5.4 120 2333.38 2.3 41 2250.50 3.7 14 2339.39 2.4 45 2254.50 4.5 52 2398.29 1.2 41 2273.47 5.1 34 2335.65 6.6 108 2604.51 3.2 49 2335.44 5.1 36 2330.54 7.6 112 2606.47 3.5 27 2340.44 5.0 41									
2310-54	BD -	-59° 59	94	3050-35	3.0	39			
2333·62	2310.54	1 5.2	115		•				
2338.69 4.7 116 1929.36 3.0 40 2954.49 5.6 109 2343.66 3.8 119 1978.44 3.9 26 2981.48 5.9 107 2397.53 4.0 116 2241.40 2.6 43 2990.51 4.6 105 2429.43 3.9 118 2246.56 1.7 50 3012.42 6.2 115 2698.69 3.7 108 2253.43 1.6 28 3018.47 5.4 104 2698.69 3.7 108 2269.42 2.5 23 3050.37 5.0 110 2720.58 4.7 117 2253.43 1.6 28 3018.47 5.4 104 270.55 1 3.4 118 2269.42 2.5 23 3050.37 5.0 110 273.55 1 3.4 118 2282.47 2.0 55 3019.66 5.7 118 2282.47 2.0 55 3019.66 5.7 118 2282.47 2.0 55 3019.66 5.7 117 2339.39 2.4 4.5 2254.50 4.5 52 2398.29 1.2 41 2250.50 3.7 14 2339.39 2.4 4.5 2254.50 4.5 52 2398.29 1.2 41 2273.47 5.1 34 2335.65 6.6 108 2604.51 3.2 49 2335.44 5.1 36 2330.54 7.6 112 2606.47 3.5 27 2340.44 5.0 41				V 7	17 Cyg				
2343.66 3.8 119 1978.44 3.9 26 2981.48 5.9 107 2374.53 4.5 115 2219.51 2.8 45 2987.43 6.2 115 2397.53 4.0 116 2241.40 2.6 43 2990.51 4.6 105 2429.43 3.9 118 2246.56 1.7 50 3012.42 6.2 115 2669.61 4.6 117 2253.43 1.6 28 3018.47 5.4 104 2698.69 3.7 108 2269.42 2.5 23 3050.37 5.0 110 2720.58 4.7 117 2274.50 0.9 40 2735.51 3.4 118 2282.47 2.0 55 3019.66 5.7 118 2282.47 2.0 55 3019.66 5.7 118 2282.47 2.0 55 3019.66 5.7 118 2283.38 2.3 41 2250.50 3.7 14 3100.51 5.7 117 2339.39 2.4 45 2254.50 4.5 52 2398.29 1.2 41 2273.47 5.1 34 2335.65 6.6 108 2604.51 3.2 49 2335.44 5.1 36 2330.54 7.6 112 2606.47 3.5 27 2340.44 5.0 41									
2374·53						-			
2397.53						26			
249·43 3·9 118 2246·56 1·7 50 3012·42 6·2 115 2698·69 3·7 108 2253·43 1·6 28 3018·47 5·4 104 270·58 4·7 117 2274·50 0·9 40 Case 75 3050·65 5·4 120 2333·38 2·3 41 2250·50′ 3·7 14 3050·65 5·4 117 2339·39 2·4 45 2254·50 4·5 52 2310·51 5·7 117 2339·39 2·4 45 2254·50 4·5 52 2333·5·65 6·6 108 2604·51 3·2 49 2335·44 5·1 36 2340·54 7·6 112 2606·47 3·5 27 2340·44 5·0 41				2219-51	2.8	45	2987 - 43	6.2	115
2429-45				2241 - 40		43	2990.51	4.6	105
2698·69 3·7 108 2253·43 1·6 28 3018·47 5·4 104 2698·69 4·7 117 2253·43 1·6 28 3050·37 5·0 110 2755·51 3·4 118 2269·42 2·5 23 3050·37 5·0 110 2755·51 3·4 118 2282·47 2·0 55 3050·65 5·4 120 2311·35 2·9 61 2244·52 4·8 35 3100·51 5·7 117 2339·39 2·4 45 2250·50 3·7 14 2398·29 1·2 41 2273·47 5·1 34 250·50 4·5 52 2398·29 1·2 41 2273·47 5·1 34 250·50 3050·65 6·6 108 2571·52 2·5 39 2311·44 3·8 45 2335·65 6·6 108 2604·51 3·2 49 2335·44 5·1 36 2340·54 7·6 112 2606·47 3·5 27 2340·44 5·0 41						50	3012-42	6.2	
2720.58 4.7 117 2269.42 2.5 23 3050.37 5.0 110 2755.51 3.4 118 2282.47 2.0 55 3019.66 5.7 118 2282.47 2.0 55 3050.65 5.4 120 2333.38 2.3 41 2250.50 3.7 14 2339.39 2.4 45 2254.50 4.5 52 2398.29 1.2 41 2273.47 5.1 34  10 Per 2567.56 3.0 26 2276.45 4.7 38 2335.65 6.6 108 2604.51 3.2 49 2335.44 5.1 36 2340.54 7.6 112 2606.47 3.5 27 2340.44 5.0 41									
2735·51 3·4 118 2274·50 0·9 40 Case 75  3019·66 5·7 118 2282·47 2·0 55  3050·65 5·4 120 2333·38 2·3 41 2250·50 3·7 14  3100·51 5·7 117 2339·39 2·4 45 2254·50 4·5 52  2398·29 1·2 41 2273·47 5·1 34  10 Per 2567·56 3·0 26 2276·45 4·7 38  2335·65 6·6 108 2604·51 3·2 49 2335·44 5·1 36  2340·54 7·6 112 2606·47 3·5 27 2340·44 5·0 41								5.0	
2/35-56								13	
3019-65 3-7 120 2311-35 2-9 61 2244-52 4-8 35 35 3050-65 5-7 117 2333-38 2-3 41 2250-50′ 3-7 14 2339-39 2-4 45 2254-50 4-5 52 2398-29 1-2 41 2273-47 5-1 34 2567-56 3-0 26 2276-45 4-7 38 2571-52 2-5 39 2311-44 3-8 45 2335-65 6-6 108 2604-51 3-2 49 2335-44 5-1 36 2340-54 7-6 112 2606-47 3-5 27 2340-44 5-0 41							Ca	se 75	
3030.65   5.4   120   2333.38   2.3   41   2250.50   3.7   14   117   2339.39   2.4   45   2254.50   4.5   52   2398.29   1.2   41   2273.47   5.1   34   2571.52   2.5   39   2311.44   3.8   45   2335.65   6.6   108   2604.51   3.2   49   2335.44   5.1   36   2340.54   7.6   112   2606.47   3.5   27   2340.44   5.0   41	3019-66	5.7	118				2244 52	1 4 9	25
10 Per 2567 · 56 3 · 0 26 2276 · 50 4 · 5 52 2398 · 50 26 2276 · 50 4 · 5 52 2598 · 50 26 2276 · 50 3 · 0 26 2276 · 50 3 · 0 26 2276 · 50 3 · 0 26 2276 · 50 4 · 7 · 6 2571 · 52 2 · 5 39 2311 · 44 3 · 8 45 2340 · 54 7 · 6 112 2606 · 47 3 · 5 27 2340 · 44 5 · 0 41	3050 - 65	5.4	120						
2398·29   1·2   41   2273·47   5·1   34   10 Per   2567·56   3·0   26   2276·45   4·7   38   2571·52   2·5   39   2311·44   3·8   45   2335·65   6·6   108   2604·51   3·2   49   2335·44   5·1   36   2340·54   7·6   112   2606·47   3·5   27   2340·44   5·0   41	3100-51	5.7	117						
IO Per     2567 · 56     3 · 0     26     2276 · 45     4 · 7     38       2571 · 52     2 · 5     39     2311 · 44     3 · 8     45       2335 · 65     6 · 6     108     2604 · 51     3 · 2     49     2335 · 44     5 · 1     36       2340 · 54     7 · 6     112     2606 · 47     3 · 5     27     2340 · 44     5 · 0     41		13000	- 635						
2571·52 2·5 39 2311·44 3·8 45 2335·65 6·6 108 2604·51 3·2 49 2335·44 5·1 36 2340·54 7·6 112 2606·47 3·5 27 2340·44 5·0 41	120 110				1.2				
2335·65   6·6   108   2604·51   3·2   49   2335·44   5·1   36   2340·54   7·6   112   2606·47   3·5   27   2340·44   5·0   41	10	) Per						_	
2340.54 7.6 112 2606.47 3.5 27 2340.44 5.0 41	0225 65	1 0 0	1 100						
2010 17 0.0									
2545-53   7-3   108   2622-42   3-7   33   2368-38   4-7   33					3.5				
	2345.53	7.3	108	2622-42	3.7	33	2368-38	4.7	33
							I TO BE STORE A		-

4							18 - 4 3 6		
1	1	2	3	11	2	3	1	2	3
2	2397 - 28	5.2	42	2692-44	4.6	52	1	358 Cas	
3	2427 - 32	4.3	44	2714 - 43	5.4	52	1948 - 55	1 1.9	31
91	2628 - 49	6.2	44	2754 - 33	4-6	58	1951 - 51		174
3	2631 - 48	4.8	39	2986-50	5.3	57	1975-31		170
2	2638 - 53	5.7	37	2988 - 56	5.0	70	2244.53		179
흵	2667 - 47	5.7	35	2995 - 55	6.5	58 -	2250 - 53		179
8	2691 - 45	5-7	32	3013-50	4-9	64	2252-63		152
37	2981 - 53	5.7	32 38	3018-52 3050-43	5.3	58 45	2272·56 2275·51	0.8	23
8	2987 · 55 2990 · 58	5.4	34	3099-32	5.3	59	2307 - 42	0.9	13
Ħ	2992.50	4.9	33			05	2331.46		42
31	3018-50	7.1	35		ise 80		2338 - 53	i.i	12
1	3050-42	5.4	33	2245 - 57	3.6	89	2344-50		24
31	3092-30	5.6	26	2250 · 60 2253 · 58	4·6 3·7	96 99	2398 - 36		178
п	E!	Lac		2272.46	3.4	95	2425-32		162
п	U	Lac		2275.50	2.3	94	2608 • 59 2627 • 59		18
п	1929-52	2.8	47	2311-46	3.9	91	2630 - 56		23
п	1948 - 47	2.5	58	2334 - 46	3.0	95	2635 • 53		27
п	1951-44	2.8	41	2339-54	4.3	81	2658 - 60		23
п	1974:39	3.5	52 53	2344-49	3.3	96	2692 - 45	2.5	21
	1983 - 40 2219 - 57	2·6 3·1	40	2398 - 33	3.4	89	2721 - 47		13
R	2241.51	3.0	71	2607 · 60 2627 · 40	3.5 2.9	98 102	2988 - 58		136
И	2250.55	2.2	45	2631-51	4.1	90	2995.56		156
И	2252-61	2.3	45	2638 - 56	3.9	90	3013.52 3018.53		137
В	22/0.45	2.5	54	2667 - 49	3.2	99	3050 - 45		118
7	2275 - 49	2.7	60	2691 - 47	3.8	94	0000-40	1.3	110
П	2309-41	2.3	55	2720 - 35	4.5	90	D.D.	626 00	72
4	2331-43	2.0	50 52	2986 - 51	3.6	90	BD		13
П	2337 • 43 2343 • 42	2.5	49	2986 - 58	3.9	97	2227 - 55		72
	2.597 - 40	2.8	46	2990-60 3012-53	3.9	90 96	≥245 · 67		78
П	2492 - 34	3.9	47	3012-33	4.1	90	2251 - 62 2254 - 56		75
	2007 - 55	4-4	42	3051-44	3.4	90	2273.54		78 76
п	2627 - 55	2.8	45	3091-36	2.5	109	2276.51		69
п	2630 - 55	3.2	45	Ca	se 81		2309-55		68
п	2635 - 52	3.8	42	2221.55	4-9 1	56	2331 - 49		73
п	2658 - 59	3.2	51 43	2244 - 55	5.2	52	2338 - 56		71
	2721·46 2772·31	3·7 2·7	35	2250 - 52	5.1	57	2343-45		72
П	2987 57	2.3	62	2251-53	5.5	58	2398 - 40		72
П	2990.59	2.6	75	2273 - 50	5.6	57	2427 - 35		72
П	3012-51	2.1	67	2276 - 48	5.2	52	2608-62 2628-58		71 75
н	3019-45	2.2	65	2309 - 53	5.1	51	2631 - 47		74
н	3051 - 42	2.6	53	2331 · 44 2337 · 44	4.2	53 52	2655-51		68
и	3092 - 32	2.0	52	2343 - 43	4.6	51	2697 • 52		67
	Cas	se 78		2398 - 35	4.2	55	2745 - 40		72
			GO	2427 - 33	4.3	52	2986 · 61		76
	2245.55 2250.57	5.3	60	2607-61	4.3	52	2988 - 59		68
	2273-49	6.6	55 68	2628 - 53	5.4	55	3011-58		71
	2276 - 47	3.5	52	2631 - 52	5.5	60	3013·54 3018·55		73
П	2310-42	3.4	60	2638 - 57	5.5	58	3050-46		70
	2333-53	4.3	56	2662 · 55	5.5	53 55	3095 - 35	6.3	70
	2333 · 52	4.8	51	2698·52 2721·37	7·0 6·1	54	0000-00	1 0.0	1 ,0
	2344-47	3.8	71	2772.33	5.3	54		KN Cas	
	2368 - 40	2.9	47	2986.53	5.0	53			
	2397 - 38	3.3	53	2989.58	5.0	55	1951 - 58		80
	2425.30 2607.57	5.4	55 73	3011-49	5.2	59	1978 • 46 1983 • 49		81
	2628.51	4.7	54	3014-54	5-1	55	2254 - 57		84
	2131.50	5.6	57	3017.56	5.4	57	2273.56		82
	2638-54	4.8	59	3024 - 58	5.5	54	2276.52		81
	2662-46	4.8	65	3052 · 56 3098 · 36	5-1	58 53	2311-47		83
	1070			13030 100	. 4.0	33			1

			-	2	3		1	2	3
1	2	3	1				r.	Per	
2334-47	3.1	91	BD -	-59 27	4				110
2339-61	3-6	87	2255-59	3-2	103		49.61 78.56	3.7	112
2345-48	2.8	88	2273.58	3.4	102 100		90.53	4.1	110
2429.38 2609.58	3·2 2·3	78 88	2276 - 57	3.9	99		76-61	3.2	1.07
2628.59	2.9	82	2309 · 53 2315 · 62	3.6	97		10.57	3.4	109
2634 - 48	3-3	88	2331 - 57	3-3	98	23	34 · 53 40 · 58	3.6	108
2655 • 55	3.5	84 80	2337 - 60	4.1	104 99		46.57	3.7	108
2691-52 2721-48	3.6	84	2343-51 2364-49	3.6	100		26.38	3.3	108
2957-62	4.0	84	2397 - 44	3.8	102		34-62 68-49	3.6	112
2990-62	2.9	80 83	2430 - 38	4.5	·95 107		97 - 54	3.8	113
3012 · 54 3019 · 49	4.0	88	2629 • 62 2634 • 55	3.9	108		21-55	3.5	110
3051-50	3.1	82	2662-58	3.5	103		72.35	3.7	105
3098-39	2-4	75	2692 - 57	4.6	103		)14-01 )19-59	3.5	115
1 1			2714-51	3.4	102 100		51-61	3.0	112
7/17	Z Cas		2989 · 62 3013 · 57	4.0	100		82-58	3.3	108
2254.59	2.6	39	3017-61	3.6	103	30	99-39	3.2	110
2274 - 55	3-8	36	3024 - 62	3.8	104 102		DD :	-57° 52	2.1
2278 · 57 2309 · 46	3.2	37 36	3052 · 60 3094 · 38	3.4	107	*			
2331.51	2.5	.39	3099-36	3.5	99		275 · 65 310 · 60	4.0	112
2338-58	2.3	36 42		1			33.64	4.3	99
2343·47 2430·36	2.9	38	BD -	-55° 38	8		340 - 47	4.9	104
2628 - 63	3.3	38					345-65 125-48	4-3 3-9	108
2634 - 49	3.3	41	2255 · 61 2273 · 50	2.5	98 96		76.38	4.1	109
2655-56 2698-54	3.4	38	2309-58	2.4	99		31-61	3.8	106
2714-46	2.9	42	2315-64	2.4	100		62.64	4.9	109
2987 - 64	3.3	39	2331 - 58	2.6	103 103		598 - 60 720 - 48	4.3	105
2990 · 63 3012 · 56	2.8	38 38	2337 · 62 2343 · 52	2.0	98		30.31	3.9	110
3018-56	2.8	.44	2425-35	2.5	94		13-64	4-1	108
3050 - 48	2.7	49	2629-64	2.6	103		018 - 63	4·2 3·3	105
3098 - 40	2.5	48	2634 · 58 2667 · 58	2.5	100 96		)50 • 57 )98 • 45	4.1	109
	·		2691.57	2.5	100		,50 10	0	1
V4	ob Cas		2720 - 40	2.1	92		BD 4	-58° 44	15
2255 • 58	2.5	98	2989-65 3013-59	2.9	94 101	22	276-59	4.1	1 108
2274-61 2311-53	3.3	103 94	3017 - 62	3.0	102	23	310-62	4.7	107
2334 · 48	3.3	95	3024-64	2.9	107		333-68	4.0	106
2339-62	2.8	95	3052.62	2.8	99		340 - 50 345 - 68	4.6	109
2345 • 49	3.1	95	3095 · 40	2.2	95		25-49	3.9	110
2374 - 42 2425 - 34	2.6	96 94	BD -	-58° 37	3		76-37	3.7	111
2480-33	2.6	95					31-65	4.3	112
2629-60	2.9	95	2311-58	4.1	95	0.0	662 · 68 698 · 63	4·0 4·5	107 108
2634 · 53 2667 · 56	3.4	·97 96	2335 · 50 2340 · 51	3.9	97 94		20.52	4.3	. 104
2698-56	3.0	89	2345.70	4.5	89		13 65	4.4	106
2721-50	3.2	96	2425-44	3.9	91		18 · 64 *   50 · 59	4.2	106
2754-39 2988-62	3.1	91 96	2638 · 67 2667 · 65	4.5	97 92		95.49	4.3	109
3013.56	3.6	98	2698 · 65	4.3	98	1811		1000	1 1
3017 - 59	3.4	102	2720 - 47	4.6	96	5 1 1		Per	1
3024 · 61 3052 · 59	3.5	99 94	2826 · 34 3013 · 66	4.0	95 96		278-65 111-57	4·9 3·9	110
3082 - 44	2.2	102	3018-65	4.6	97		35-61	4.4	108
3094-41	2.5	103	3050 - 60	3.9	88	23	140-65	4.2	114
3094-41 3099-34	2.5	103 98	3095.51	3-8	98		46 · 64 27 · 46	3.8	109
	2.4	30		1		24	27.40	3.7	108

								100
1	2	3	1	2	3	1	2	3
2635-65	3.0	116	2427 - 45	3.9	115	BD	-59° 58	0
2668 - 59	3.6	110	2635-62	4-0	113	2310-52	1 4.1	1110
2697 - 67	3.7	118	2668 - 53	4.3	112	2333 · 60	3-8	101
2799.34	4.0	113	2697 · 58 2721 · 60	4 1	112	2338 · 64	3.8	103
3014·67 3019·62	3.6	112	2772.40	3-8	113	2343.58	3.8	114
3051-64	3.2	114	3014.65	3.8	109	2374.51	3.5	101
3082-47	3.6	iio	3023 - 68	4.6	112	2425·42 2668·61	3.3	103 105
3100 - 41	3.5	112	3051-65	4.1	112	2698 • 66	4.0	108
	1		3082 - 55	3.8	115	2720.59	3.8	100
PF	Per		3100.38	3.7	109	2755-49	3.9	104
1949.65	1 4.6	109	DI	Per		3017-63	3.2	107
1978 - 59	4.3	104	r.	PCI		3052 - 68	3.8	98
2631.62	4.5	104	1983-55	3.6	115	3098 - 52	3.9	110
2662 - 65	4.1	104	1990 • 64	3.7	116	C	ase 32	
2698 · 61 2720 · 49	4.4	104	2278 - 66	3.0	118			400
2830.32	4.5	108	2311·57 2335·61	3.1	118	2669-61	4.2	123
3013-63	4.6	106	2340-65	3.5	108	2698·68 2720·57	4.5	123 122
3018-62	4.7	108	2346 · 65	2.6	108	2755.50	4.3	120
3050 - 56	4-1	106	2427 - 47	3-2	109	3019-65	5.1	125
3095.51	4.7	108	2638 • 65	2.6	115	3050-65	4.3	123
			2668 - 59	2.8	114	3100-50	4.3	121
BD -	-56° 59	7	2697-67	3.5	116		'	
2635 • 64	4.0	113	2721 - 65	2.8	117	C	ase 31	
2668 - 55	3.9	112	2799-35 3014-67	2·8 3·9	114	2311.62	6.2	118
2697 - 64	3.9	114	3019.59	3.0	109	2335.62	6.9	124
2721-63	4-1	109	3051-62	3.1	112	2340 - 54	7.0	127
2799.31	4.5	113	3082 · 46	3.2	116	2345.52	5.8	122
3014-63	4.0	115	3100-42	3.2	110	2397.58	6.2	124
3023-67	4.2	112		500 50	. 131	2427 - 49	5.9	126
3051 · 66 3082 · 51	4.5	114 109	BD -	-56° 59	)	2479·39 2668·64	6.8	123 128
3100-44	4.2	111	2278 - 63	1 3.5	112	2691-65	6.0	126
			2311-60	3.7	109	2697.61	6-8	124
Т	Per		2335 - 59	3.6	113	2714-49	7-0	126
1950 - 58	4.9	116	2340 · 63	3.5	112	2720.55	6-8	124
1978 - 61	4.4	112	2346 · 62	3.5	109	2745.55	6.2	124
1990 - 58	4.7	117	2427 · 44 2634 · 66	3.3	112	2835-32	6.2	127
2275-65	5-1	115	2635 • 62	2.6	112	3017 · 66 3082 · 60	6.8	126 128
2310.59	5.0	109	2668 - 54	3.9	112	3100-48	5.6	123
2333-66	4.0	110	2697.59	3.7	112	0100 10	0.0	123
2340 · 48 2345 · 66	4.7	110	<b>2721</b> · 60	3.3	109	BD	4-54° 65	1
2325.45	4.3	104	2772 - 41	3.7	108			
2476-35	4.3	111	3014-62	3.2	116	2309.63	4.6	109
2631-64	4.8	107	3023 · 66 3051 · 67	3·6 3·2	112 109	2315-68	4.3	109
2662-67	4.4	109	3082.53	3.5	112	2331-60 2338-72	4.0	114
2698-62	4.2	106	3100.43	3.5	112	2343.60	4.1	116
2720 - 51	4.6	105				2397-61	3.9	113
2830 · 34 3013 · 62	4.2	106	3 1 3 1 2			2429-46	3.8	116
3018-61	5.0	113	BD -	- <b>56°</b> 60	19	2479-41	4.6	108
3050-55	4-4	112	2635 • 65	3.8	113	2668-67	4.2	114
3095 - 49	4.1	111	2668 • 56	3.9	112	2691-68	5.1	115
			2697 • 65	4.1	108	2745·49 3023·64	5.4	112
FZ	Per		2721.63	4.2	114	3100 - 53	4.5	113
1983 - 60	4-1	115	2799-32	4.3	116	0100-00		1 ***
2278-60	4-1	112	3014·60 3019·60	4.4	112	C	ase 34	
2310 · 67	4.5	110	3051-63	4.3	116			1 110
2335 - 59	4.4	109	3062-51	3.5	114	2305 · 60 2315 · 66	4.3	113
2340 · 64 2346 · 62	4.0	108 114	3100-45	3.7	111	2331.61	3.8	117
70.0.07	1 2 6	***						

- 10								
-			1	1 2	3	1	2	3
1	2	3_	-		35 -	2276-38	0-3	44
		110	3082-65	1.9	15	2309-35	0.2	62
2338 - 70	4-1	116	3098-61	1.6	20	2331.36	0.1	68
2343 • 62	1.9	114	3168-52	1.8	5	2338-35	0.4	42
2397 - 60	3.7	115		1		2346 • 36	0.6	66
2429-46	4.3	119	BD -	+05° 11	98	2491.65	0.5	63
2479-41 2668-67	4.6	118	2344-70	1 1.2	1 105	2507-64	0.2	56
2691-67	4.7	114	2426.51	1.2	162	2513-65	0.2	78
2745.49	4.8	111	2479-43	1-3	167	2552 - 48	0.2	74
3019-57	4-3	114	2488-35	1.5	156	2565 - 45	0.3	76
3023-64	4.5	114	2503-39	1-4	175	2570 - 46	0.2	14
3100-52	4.3	118	2507 - 34	1.2	170	2604 · 42	0.3	46
	+29° 89	37	1	Lyn		2607 · 39	0.5	46
BD ·	-29 03					2627 - 40	0.3	23
2340-63	1-4	93	2345-62	1 1.2	20 25	2630 · 43	0.5	41
2345.55	1.2	94	2426.55	0.6	31	2635 - 38	0.4	41
2430-34	2.0	90	2476-51	0.6	7	2656 • 37	0.3	44
2476 - 39	1-2	92	2489 - 46	0.9	20	2714.32	0.3	40
2488-38	1.9	91	2503.43	0.4	23	2933 49	0-3	41
2502-34	1.6	89	2519-35	0.7	36	2954.51	0-3	48
2507-35	1.8	88 99	2717-60 2755-67	0.5	32	2982-41	0.1	57 43
2749-56	0.8	91	2779-61	0.4	35	2988-48	0.3	64
2755-57	1.0	. 96	2830-50	0.7	37	2991-44 3013-42	0.6	60
2779-50	1.4	95	3098 • 68	0.4	32		0.0	62
2830-38	1-1	.95	3030.00	0.4	02	3019.37	0.7	02
2860·31 2866·32	1.5	88			A. Comment			
2051-59	1.4	50	a	' Her		ניו	W Aql	
3082-62	1-1	98	2227 - 59	1 0.6	1 125	10 10 10 10		
3168-45	1.0	86	2245-38	0.3	110	2212.49	1.6	- 88
3189-39	1.4	91	2250 - 39	0.5	115	2237.39	1.4	87
0102 00			2252 - 44	0-6	128	2245 - 41	1.4	86
wī	5 3		2255-47	0-3	105	2250 - 42	1-4	88
N	O Aur		2273-39	0.3	109	2252 · 47	1.6	86
2344-69	0.8	114	2276-36	0.7	120	2255 - 45	1.7	89
2426-49	1.2	133	2309-34	0-1	122	2274 - 41	1.7	89
2430 · 49	1.1	142	2331 - 35	0.2	106	2312.41	1.8	85
2476 - 43	0.9	146	2338 - 33	0.5	129	2338 - 37	1.8	88
2488 - 42	0.9	141	2491-62	0.1	100	2570 - 50	1.4	101
2502 - 38	0.7	142	2505.69	0.1	100	2604 · 44 2608 · 41	0.9	101
2697-68	0.8	136	2507.62	0.2	100	2622-41	1.3	107
2720.68	1.0	122	2552.46	0-1	100	2629-38	1.4	98 105
2755⋅€0 2779⋅51	1-0	132	2565.42	0.4	100	2634.38	1-8	88
2830 - 40	0.8	121	2570 - 44	0.1	112	2653 - 35	1.5	104
2860.32	1.1	138	2604·40 2622·39	0.3	110 -	2933-51	1.4	105
3052 · 69	1.2	143	2628-39	0.3	103	2982-46	1.5	99
3098-58	1.1	137	2631-38	0.5	109	2988-50	1.5	87
3168-48	1.1	140	2638 · 42	0.4	105	2991 - 44	1.4	87
3189-42	1-1	155	2662.40	0.2	108	3013 - 40	1.5	87
		1	2933.47	0.3	113	3018 - 42	1.8	103
wy	Y Gem		2954 - 43	0.5	103	0010 15	1.0	
			2982 · 39	0.5	124	VA	92 Aql	
2345 • 59	2.0	14	2988 - 47	0.3	101	V 41	Z Aqi	
2397 - 65	1.5	15	2991 - 42	0.3	102	2221-50	1 4.8	1 28
2427-56	1.6	/15	3013-38	0.2	127	2244 - 44	4.5	32
2430 - 54	1.4	5	1		1171	2248 - 55	4.5	40
2476 - 47	1.6	15	X	Y Lyr	4 1	2252 · 49	4.7	27
2503-38 2505-40	1.9	8 20	2212-45		1 20	2255.51,	4.5	38
2698.70	1.9	29	2212-45	0.1	30	2274 - 44	5.4	41
2745-62	2.1	15	2245-40	0.6	40	2310-34	4.9	35
2755.64	1.8	16	2250.41	0-4	23 32	2330 - 35	4.2	28
2779.56	2-0	18	2252 · 45	0.2	40	2331 - 38	5.6	29
2830 - 44	2.1	16	2255 · 49	0.7	27	2338-39	5.8	32
2864 - 33	1.9	17	2273-41	0.6	62	2507 - 66	3-7	29
			22,0-41	1	02	2567 - 54	4-9	37
				181		19 / 19	1 1 10	100

1	2	3	1	2	3	1	2	3	
2604 - 46	4.8	34	2604 - 48	2.1	38	2934-61	0-7	43	
2606 - 45	5.6	30	2607 - 40	2.0	42	2954 - 58	0.9	53	
. 2622 - 40	3.9	32	2627 - 42	1.8	33	2985 - 49	1.5	52	
2628 - 40	4.6	40	2630 • 46	2.1	40	2989 - 54	0.9	39	
2631-40	5.2	35	2635 - 41	2.2	38	3011-44	1.1	57	
2638-44	4.6	42	2656 • 40	2.3	39	3014-49	1.0	48	
2933 - 56	4.9	35	2714-34	2.4	39	3017.51	1.2	45	
2954 · 45	4.6	32	2933-58	2.0	42	30 - 4 - 52	0.8	65	
2982 · 48	4-4	41	2965.50	2.5	39	3052 - 47	1.0	51	
2989 - 45	4.9	29	2985 - 42	2.1	41	3098 - 34	0.8	41	
3011.36	5.2	38	2989 - 47	2.5	36				
3014-41	5.2	39	3011-38	1.9	39				
3019-38	4.6	42	3014 - 42	2.2	38	BD +	58 224	9	
			3018-43	2.4	40				
BD +	-16° 390	36	1610			2217-53	1 0-4	78	
2216-48	1 2.1	26	BD - <u>⊥</u>	-59° 23	42	2251-53	0.5	79	
2218-43	2.1	36			200	2254 · 47	0.6	79	
2240.37	2.0	43	2217.52	0.8	51	2273 - 46	0.7	77	
2245.43	1.9	37	2240.51	1.2	56	2605 - 59	0.4	85	
2250 - 44	2.2	49	2246 • 47	0.8	48	2627 - 49	0.6	91	
2253.40	2.1	36	2251 - 55	1.5	52	2630 - 52	0.9	95	
2269-39	1.9	33	2254 · 47	1.3	47	2635 · 48	0.9	88	
2274 46	2.0	45	2273 - 44	1.1	44	2662-43	0.9	98	
2282 - 45	1.8	49	2276 - 43	0.9	26	2934-61	0.9	84	
2310.35	1.9	43	2312-40	0.8	47	2954.56	1.1	79	
2333 - 34	2.1	39	2335 - 39	0.9	48	2985 - 47	0.9	87	
2338 - 40	1.9	36	2339 · 45	1.2	51	2989 - 53	0.8	78	
2346 - 38	2.1	39	2346 - 42	1.1	46	3011-44	0.9	86	
2368 - 32	1.9	47	2605.59		28	3014-50	1.1	85	
2513.66	i.9	46	2627 · 50 2630 · 52	0.7	53 33	3017-51	0.9	82	
2565 - 53	2.3	38	2635-49	1.7	43	3024 · 52 3052 · 47	1.1	82	
2571-45	2.0	34	2662.43	0.9	50	3098 - 34	0.7	79 82	
			2002.43	0.9	00	3090+34	0.0	02	

гичной величиной ассоциации Per OBI, также показывает, что в этой ассоциации наблюдается пониженное число М сверхгигантов с собственной поляризацией по сравнению со средним содержанием в других ассоциациях (табл. 10, последний столбец). Для сверхгигантов, не входящих в состав эссоциаций, также наблюдается пониженное число звезд с собственной поляризацией по сравнению с членами ассоциаций (табл. 10, последний столбец).

По-видимому, собственная поляризация в излучении краспых сверхгигантов появляется на определенной стадии эволюции этих звезд. Но так как достоверных данных о различиях эволюционных стадий М сверхгигантов, входящих в разные ассоциации и не являющихся членами ассоциаций, в настоящее время не существует, то трудно дать определенный ответ на данный вопрос.

5. Заключение. 1. По результатам наших поляриметрических наблюдений 78 красных сверхгигантов выявлена собственная поляри-

зация света у 21 звезды (табл. 4).

2. Появление в излучении М сверхгигантов собственной поляризации определенным образом связано со светимостью, со спектральным подклассом и с амплитудой изменения блеска. Собственная поляризация более часто встречается у Іа сверхгигантов, чем у Іb. Процентное содержание звезд с собственной поляризацией выше в поздних подклассах по сравнению с ранними. Звезды с большой амплитудой изменения блеска (>1<sup>m</sup>) более часто имеют собственную поляризацию по сравнению со звездами с меньшими амплитудами.

3. По относительному содержанию звезд с собственной поляриза-

цией М сверхгиганты ассоциации Per OBI отличаются от сверхгигантов, входящих в другие ассоциации. По этому поводу отметим, что М сверхгигантов, не являющихся членами ассоциаций, наблюдаетс такое же относительное содержание звезд с собственной поляризацией, что и у М сверхгигантов ассоциации Per OBI.

8 июня 1979 г.

### 2. 4. upruzuvsub

ԿԱՐՄԻՐ ԳԵՐՀՍԿԱՆԵՐԻ ԲԵՎԵՌԱՉԱՓԱԿԱՆ ՈՒՍՈՒՄՆԱՍԻՐՈՒԹՅՈՒՆԸ

# Ամփոփում

Բերված են 78 կարմիր գերչսկաների 1973—77 թթ. ընթացրում կատա

րած բևևռաչափական դիտումների արգյունքները։

Հաղորդվում է 21 կարմիր (ուշ K և M դասի) գերՏսկաների լույսի Տար բևեռացման փոփոխականության հայտնաբերման մասին։ Յույց է տրված, ո Is լուսատվության դասի M գերՏսկաների դեպքում լույսի սեփական բևեռա ցում ունեցող աստղերի հարաբերական քանակությունը գրեթե երեք անդա բարձր է Ib լուսատվության դասի աստղերի համեմատությամբ։ Լույսի սե փական բևեռացման երևույթը ավելի հաճախ հանդիպում է ուշ սպեկտրա դասերի կարմիր գերՏսկաների մոտ վաղ դասերի Տամեմատությամբ։ Per OB աստղասփյուռի անդամ M սպեկտրալ դասի աստղերի դեպքում դիտվում լույսի սեփական բևեռացում ունեցող աստղերի հարաբերական քանակության պակաս մյուս աստղասփյուռների Տամեմատությամբ։

#### H. V. ABRAHAMIAN

# THE POLARIMETRIC INVESTIGATION OF RED SUPERGIANTS

# Summary

The results of polarimetric observations of red supergiants accomplished in the period 1973—1977 are presented.

The variations of linear light-polarization parameters of 21 red supergiants (late K and M spectral types) are discovered. It is shown, that the percentad of stars with intrinsic light—polarization is 3 time greate among the M type stars of luminosity class Ia, than that of luminosity class Ib. Intrinsic light—polarization more frequently is observed in the case of late type supergiants, than in the case of erly type ones. Among the M spectral type members of the Per OB1 association the presence of stars with intrinsic light—polarization is less than among the members of the other associations.

### ПОЛЯРИМЕТРИЧЕСКОЕ ИССЛЕДОВАНИЕ КРАСНЫХ СВЕРХГИГАНТОВ 43

### ЛИТЕРАТУРА

- 1. К. А Григорян, Сообщ. Бюраканской обс., 25, 45, 1958.
- 2. Н. М. Шаховской, АЖ., 39, 755, 1962.
- 3 О. С. Шулов, Труды АО ЛГУ, 19, 155, 1962.
- 4. Р. А. Варданян, Сообщ. Бюраканской обс., 35, 3, 1964.
- Р. А Варданян, Астрофизика, 6, вып. 1, 77, 1970.
- 6. B. Zelner, Astron. J., 76, 645, 1971.
- 7. К. А. Григорян, Сообщ. Бюраканской обс., 27, 55, 1959.
- 8. Р. А Варданян, Сообщ. Бюраканской обс., 37, 23, 1966.
- 9. K. Serkovsky, Ap. J., 141, 857, 1966.
- 10. 11. M. Dyk, M. G. Jennings, Astron. J., 76, 431, 1971.
- 11. Е. Д. Арсеневич, Сообщ. Бюраканской обс., 44, 91, 1972.
- 12. К. Л. Григорян, Сообщ. Бюраканской обс., 27, 55, 1959.
- 13. N. R. Walborn, PASP, 80, 162, 1968.
- 14. Н. М. Шаховской, Ю. С. Ефимов, Изв. КрАО, 45, 90, 1972.
- 15. (i. V. Coyne, T. Gehrels, Astron. J., 71, 355, 1966.
- 16. G. V. Coyne, T. Gehrels, Astron. J., 72, 887, 1967.
- 17. J. S. Hall, Publ. US Naval Obs., 17, VI, 1958.
- 18. N. M. While, R. F. Wing, Ap. J., 222. 209, 1978.
- 19. J. J. Nassau, V. M. Blanco, W. W. Morgan, Ap. J., 120, 478, 1954.
- 20. R. M. Humphreys, Astron. J., 75, 602, 1970.
- 21. Г. Е. Абрамян, АЦ, 920, 5, 1976.
- 22. В. А. Амбарцумян, ДАН АрмССР, 16, 73, 1953.
- 23. R. Stothers, PASP, 84, 373, 1972.
- 24. R. M. Humphreys, Ap. J., Suppl. ser., 38, N 4, 1978.
- 25. Г. В Абрамян, АЦ, 1025, 1, 1978.

# СПЕКТРОФОТОМЕТРИЧЕСКОЕ ИССЛЕДОВАНИЕ ДЗЕТА ТЕЛЬЦА

#### 1. Введение.

Исследованиями спектра & Тельца (НД 37202) обнаружены интересные изменения интенсивностей спектральных линий и их смещений. Лучевые скорости, измеренные О. Струве и Ж. Хайнеком [1] по линиям НеІ и ОІІ, показали изменения с пернодом 13549, а в лучевых скоростях водородных линий поглощения, согласно Дельплейс [2], кроме орбитального движения проявляются еще и пернодические пульсации со средним значением скорости +22 км/сек и пернодом 6.8 лет. Тельца—быстровращающаяся звезда типа В2 с протяженной оболочкой, спектр второго компонента не прослежен.

В статье приведены результаты исследования спектров, полученных А. Терзяном на 1.5-метровом телескопе Верхнего Прованса (Франция) и автором на 2-метровом телескопе ШАО (Азербайджанская ССР). В табл. 1 приведены данные о наблюдательном матернале.

Таблица 1

Номер пластинки	Дата (1973 г.)	Время наблюдений	Телескоп, днсперсия	Сорт пластинок (Коdак)
1.	3.1	23 <sup>h</sup> 01 <sup>m</sup>	2м ШАО, 10Å/мм	II OaO
2. 5. 6.	3·1 4·1	23 07 22 46		1000
6 · . 5673	4·1 22·1	22 51 22 00	1.5м Прованса, 12 A/мм	11 -0-5
5674	22-1	22 15	1.3m HPOBARCA, 12 A/MM	Il aOch
5677 5678	23·I 23·I	22 17 22 38		II OaO 103 aF
5723	26-1	19 26	F. 17 1 1 13 14	The state of
5724	26·I	19 39	VIII OF STATES	II aOch

Все спектрограммы измерены в БАО на микрофотометре Цейсса.

### 2. Спектр звезды.

В 1973 г.  $\mathfrak c$  Тельца имела спектр, типпчный для звезды с оболочкой: широкие водородные линии атмосферы, прослеживающиеся до  $n_m$  около  $H_{10}$ — $H_{17}$ , резкие ядра линий оболочки, наблюдаемые до  $H_{24}$ — $H_{27}$ , эмиссия в линиях  $H_{\mathfrak a}$ ,  $H_{\mathfrak b}$ ,  $H_{7}$ , многочисленные линии ионизированных металлов FeII, SiII, CrII, MgII, NII, OII и др. В красной области наблюдаются 5876 HeI, 5890 и 5896 NaI, 6347 и 6371 SiII и другие более слабые линии.

На рис. 1 приведены профили Н<sub>∞</sub> по наблюдениям ван дер Вела в 1964 и 1966 гг. [3] и по результатам настоящей работы в 1973 г.

Как видно, интенсивность эмиссии, положение ядра поглощения и величина отношения V/R изменялись со временем.
В октябре 1964 г. эмиссия была достаточно интенсивной, а ядро

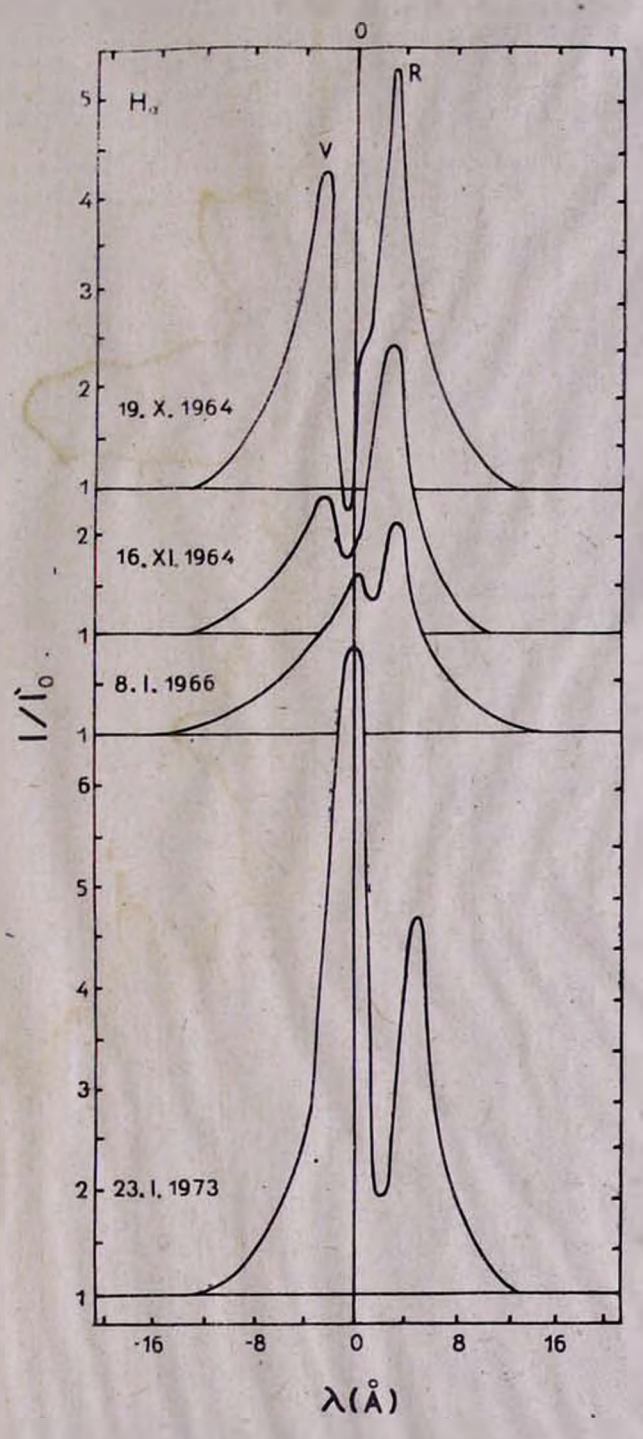
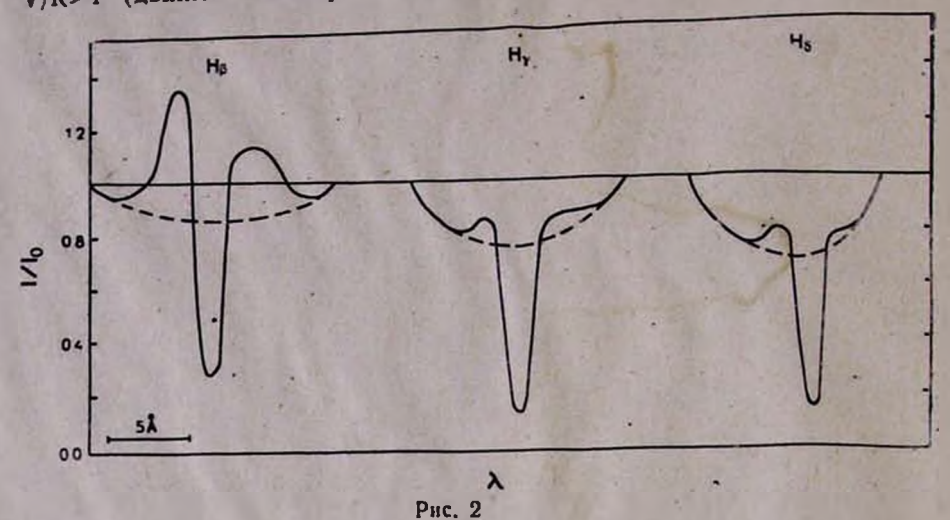


Рис. 1

поглощения наиболее глубоким и имело уступ со стороны длинноволнового компонента. В 1966 г. как эмиссия, так и поглощение были достаточно слабыми, а на коротковолновом крыле заметен выступ в том месте, где в 1964 г. наблюдался эмиссионный пик. В 1973 г. увеличились интенсивность эмиссии и поглощения, изменилась величина отношения V/R: в 1964—1966 гг. V/R было меньше единицы (движение поглощающей материи в направлении к наблюдателю), а в 1973 г.-V/R>1 (движение материи в направлении от наблюдателя).



На рис. 2 приведены контуры  $H_3$ ,  $H_7$  и  $H_4$ , а в табл. 2—средние из 6 наблюдений значения эквивалентных ширин  $W_{\lambda}$ , остаточных интенсивностей го, полуширин Δλ1/2 всех линий бальмеровской серци, образовавшихся в атмосфере звезды и в оболочке.

Центральные остаточные интенсивности линий поглощения оболочки Н, и На составляют всего 11% относительно непрерывного спектра.

Таблица 2

Линия		Звезда		11	Оболочк	a
киниз	Wλ	r <sub>o</sub>	$\Delta \lambda_1/2(A)$	Wa	I ro	$\Delta \lambda_1/3(\text{\AA})$
H <sub>3</sub>	1-10	0-90	111-5	0.69	0.28	1.32
H'	1.80	0.78	9.24	1.76	0.11	1.98
H,	2-00	0.78	11.50	1.80	0.11	1.65
H <sub>E</sub>	1-90	0.77	7.59	2.05	0.17	2.39
H <sub>E</sub> H <sub>n</sub>	3.10	0.74	12.50	2.50	0-25	1.98
Ho	2.11	0.79	11.00	1.66	0.28	1.65
H,	2-14	0-81	8.30	1.64	0.38	2.31
H12	0.89	0.83	6.30	1.79	0.32	2.31
Hi3	0.55	0.87	5-10	0.79	0.40	1.32
H14	0-46	0.90	4.50	0.86	0.42	1.20
H15	0.30	0.92	4.90	0.59	0.55	1.00
H16	0-15	0.96	2.70	0.62	0.55	0.90
H17		_	_	0.89	0.55	1.20 -
H18		-	_	0.56	0.59	0.90
H19	_	_	_	0.77	0.50	0.90
H20	-	-	8-	0.52	0.58	0.90
H21	_	-	6 -	0.59	0.60	0.90
H22	_	- 4	_	0-20	0.72	0.60
H23		-	-	0.23	0.66	0.40
H24	_	-	-	0.11	0.69	0.30

Профили линий Hel, MgII и FeII в 1964, 1966 и 1973 гг. приведены на рис. 3, 4 и 5, а значения их эквивалентных ширин—в табл. 3. В 1973 г. наблюдается усиление поглощения в этих линиях, а в линиях FeII также и усиление эмиссии.

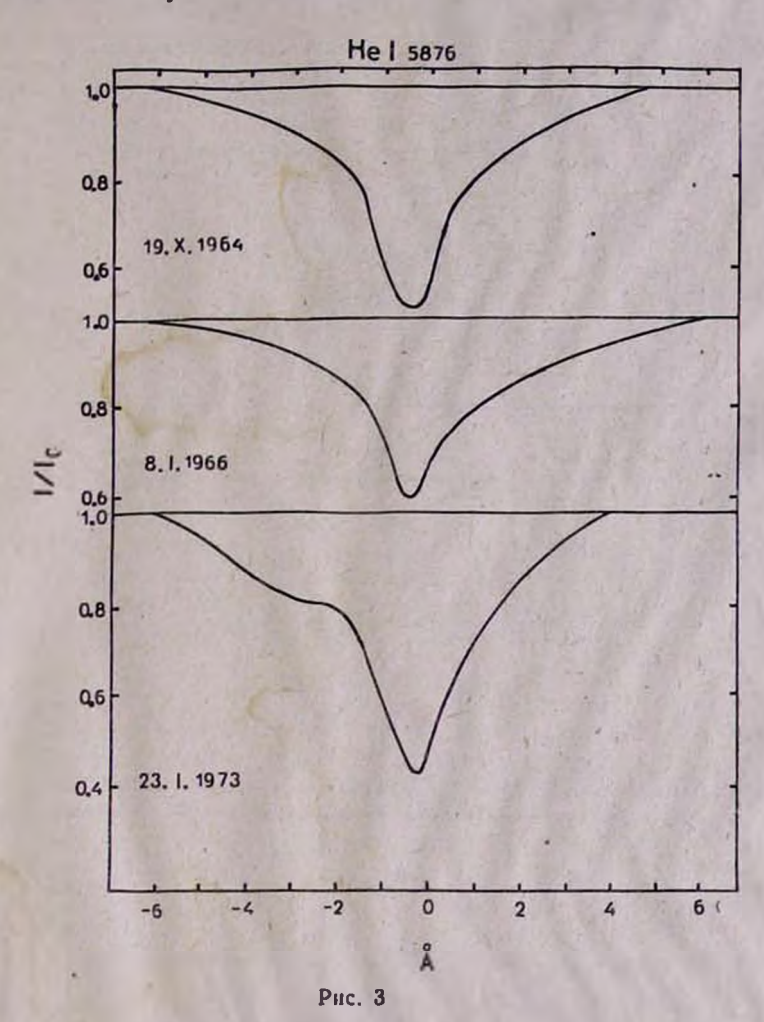
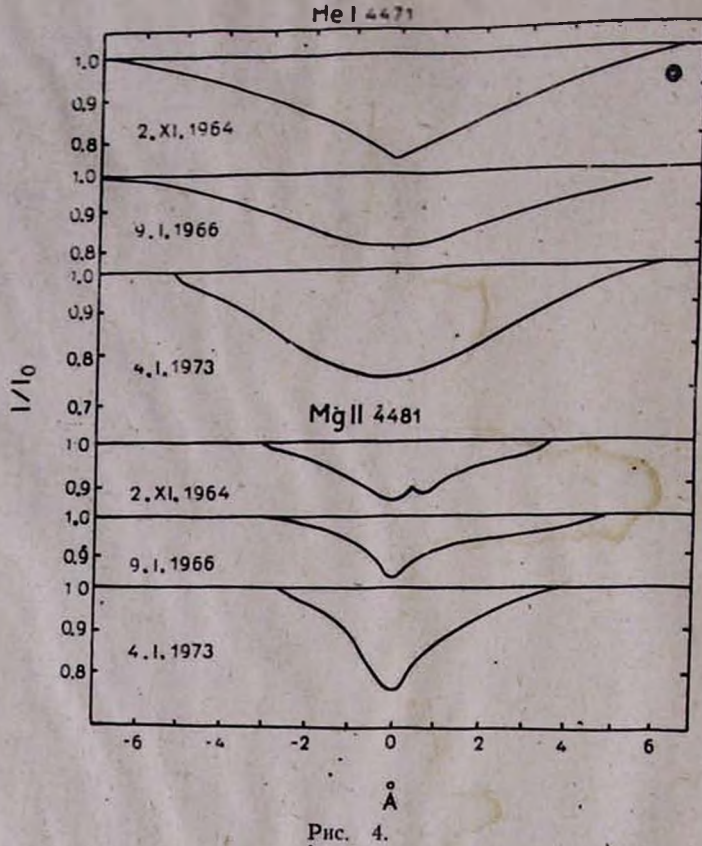


Таблица 3

Линия	1964	1966	1973
4471 Hel	1·39	1 · 26	2·21
5876 Hel	1·79	1 · 41	2·97
4481 Mgll	0·39	0 · 44	0·85
4233 Fell	0·33	0 · 18	0·69
4352 Fell	0·30	0 · 16	0·50

# 3. Физические условия в оболочке : Тельца

Скорость вращения звезды и оболочки были определены из зависимости



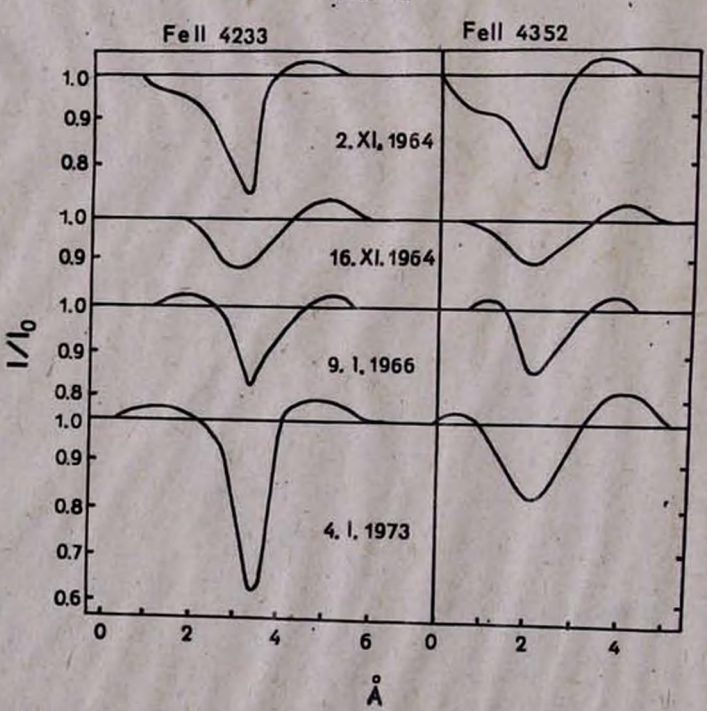


Рис. 5

$$\Delta \lambda_{R} = \lambda \, \frac{V_{R} \sin i}{c},$$

в которой  $\Delta \lambda_R$ —ширина линии, обусловленная вращением,  $V_r$ —экваториальная скорость вращения звезды (или оболочки), i—угол между осью вращения и лучом зрения.

По линиям HeI VRSInl равна 400 км/сек, а по линиям 4481 MgII

н 4233 FeII соответственно 113 км/сек и 60 км/сек.

Размеры оболочки. Используя полученные скорости вращения и предполагая постоянство углового момента, можно использовать отношения

$$\frac{V_{\text{FeII}}}{V_{\text{HeI}}} = \left(\frac{R_{\text{3n.}}}{r_{\text{o6.}}}\right)^2 \qquad \text{II} \qquad \frac{V_{\text{MgII}}}{V_{\text{HeI}}} = \left(\frac{R_{\text{3n.}}}{r_{\text{o6.}}}\right)^2$$

для определения размеров оболочки звезды. Результаты таковы:

$$\frac{r_{
m o6.}}{R_{
m oB.}} = 2.6$$
 по линиям Fe II и

$$\frac{r_{ob.}}{R_{ob.}} = 1.9$$
 по лишиям Mg II.

Эти значения были использованы для определения коэффициента дилюции, оказавшегося равным 0.04 по FeII и 0.08 по MgII.

Электронная плотность в атмосфере звезды и оболочки была определена по известной формуле Инглисса-Телера

$$\lg n_e = 23.26 - 7.5 \lg n_m$$

Величина  $N_2$ . Число атомов  $N_2$  на втором уровне водорода над  $1 \text{ см}^2$  поверхности звезды можно определить, согласно [5], по формуле:

$$N_2 = \frac{W_{\lambda}}{\pi e^2} f_{\lambda}^2.$$

По известным значениям  $W_{\lambda}$  для линий  $H_{\theta}$  и  $H_{i}$  были получены соответственно следующие значения  $N_{2}$ : 4.6 · 10<sup>15</sup> и 6.5 · 10<sup>16</sup>.

# 4. Обсуждение результатов

Сравнение результатов, полученных в настоящей работе, с наблюдениями 1964 и 1966 гг. [3] показало, что в 1973 г. оболочка. Тельца была более массивной. Об этом свидетельствуют возрастание интенсивности эмиссии в  $H_a$  и  $H_3$ , а также усиление поглощения во всех наблюдаемых линиях.

В 1973 г. изменилось, по сравнению с 1964—1966 гг., направление движения материи в атмосфере звезды: отношение V/R стано-

вится больше единицы, чему соответствует движение материи от на-

Полученные значения скоростей вращения на поверхности звезды порядка 400 км/сек, а в оболочке—60—113 км/сек находятся в преде-

лах значений скоростей вращения звезд Вс.

Из многочисленных определений скоростей вращения Ве-везд, выполненных А. А. Боярчуком и И. М. Копыловым [6], следует, что размеры оболочек Ве-звезд имеют небольшую дисперсию и, в основном, их радиусы превосходят радиусы фотосфер не более чем в 2-3

ряза. Значения  $\frac{r_{00}}{R_{40}}$ , равные для . Тельца 2.6 по линиям FeII и 1.9

по линиям MgII, также заключены в вышеприведенных пределах.

Коэффициент дилюции W для звезд Ве обычно равен 0.01-0.10 Значения W для . Тельца, согласно нашим наблюдениям, равны

0.04 - 0.08.

Таким образом, параметры атмосферы : Тельца, полученные в настоящей работе, подтверждают выводы ряда исследователей о принадлежности этой звезды к типичным звездам Ве со всеми проявлениями нестационарности, присущими этой группе. Много общего у Тельца с классической shell-звездой 48 Весов [7].

В заключение выражаю благодарность доктору А. Терзяну за спектры : Тельца и дирекции ШАО за предоставление возможнос-

ти получить наблюдательный материал на 2-метровом телескопе.

10 марта 1978 г.

### **Ն. Լ. ԻՎԱՆՈՎԱ**

# է ՑՈՒԼԻ ՍՊԵԿՏՐԱԼՈՒՍԱՉԱՓԱԿԱՆ ՈՒՍՈՒՄՆԱՍԻՐՈՒԹՑՈՒՆԸ

# Udhahaid

Հոդվածում բերված են է 8ուլի 10 սպեկտրների սպեկտրալուսաչափական ուսումնասիրության արդյունըները։ Ստացված են համարժեր լայնությունները Wi, հարաբերական ինտենսիվությունները ro, ջրածնի գծերի Δ11], կիսալայնությունները, աստղի և թաղանթի շարժման արագությունները, *Թաղանթի չավ հրը, աստղի և Թաղանթի էլեկտրոնային խտությունները, աստ*ղի 1 սմ՝ մակնընսի վրա ջրածնի ատոմների Թիվը երկրորդ մակարդակում  $N_{g}$ :

#### N. L. IVANOVA

# SPECTROPHOTOMETRIC INVESTIGATION OF & TAU

# Summary

The results of spectrophotometric investigations of 10 spectrogramms of the star ? Tau are given.

The equivalent widths  $W_{\lambda}$ , residual intensities  $r_0$ , half-widths  $\Delta k^2/2$ of hydrogen lines, the velocities of radiation of the star and the shell, extent of the shell and the electron densities  $n_e$  in the atmosphere of

the star and in the shell, the number of atoms  $N_a$  on the second level of hydrogen upon 1 cm<sup>2</sup> are obtained.

### ЛИТЕРАТУРА

- 1. J. A. Hynek, O. Struve, Ap. J. 98, 425, 1942.
- 2. A. M. Delplace, Comptes Rendus Acad. Sci. Paris 262, 1562, 1966.
- 3. T. van der Wel, Astron. and Astr. 4, 341, 1970.
- 4. А. А. Боярчук, И. И. Проник, Изв. КрАО. 34, 118, 1965.
- А. А. Боярчук, Вопросы космогонин, 7, 231, 1960.
- 6. А. А. Боярчук, Н. М. Копылов, Изв. КрАО, 31, 44, 1964.
- 7. 11. G. Geuverink, Astron. and Astr. 5, 341, 1970.

# ФОТОМЕТРИЧЕСКИЕ И СПЕКТРАЛЬНЫЕ НАБЛЮДЕНИЯ СІ ЛЕБЕДЯ

СІ Лебедя—одна из известных симбиотических звезд. Считается, что объект состоит из холодного гиганта МБШ [1] или МБШ [2] и горячей звезды низкой светимости, окруженных плотной газовой туманностью. В спектре СІ Лебедя присутствуют характерные для звезд этого типа эмиссионные линии высокого возбуждения [3].

С 1890 г. у СІ Лебедя наблюдалось пять интенсивных вспышен горячего компонента, продолжительностью около 200 дней [3—7]. Три из них пришлись на последнее десятилетие (1971, 1973, 1975 гг.). Фотографические наблюдения вне вспышек показали периодические изменения блеска с периодом 855 дней и с амплитудой около 1 [3].

Пучинкас [8] предположил, что эти изменения блеска связаны с затмением в двойной системе. В 1975 г. Белякина [2] отнаблюдала изменения блеска, явно свидетельствующие о затмении горячего компонента. По-видимому, затмение четко наблюдается только во время его вспышек.

СІ Лебедя является единственной симбиотической звездой, у которой наблюдается затмение. Поэтому детальное исследование этой

системы представляет большой интерес.

Настоящая работа содержит результаты фотометрических и спектральных наблюдений этой звезды.

# 1. Фотометрические наблюдения

Наблюдения СІ Лебедя в спектральных полосах R, I ведутся в АО ЛГУ на телескопе с днаметром 60 см с октября 1973 г. В 1976 и 1978 гг. по нашей просьбе были сделаны оценки блеска в полосах U, B, V на телескопе АЗТ-14 АО ЛГУ. На рис. 1 приведены кривые блеска СІ Лебедя за 1974—1978 гг., построенные по результатам наших наблюдений, а также данных Темпести [7] и Белякиной [2] в цвете V. Фазы на рис. 1 вычислены по элементам Уитни [3]: J.D=241 1902+855 425.

По результатам многоцветной фотометрии можно попытаться получить характеристики компонентов системы. Предварительно необходимо наблюдаемые величины исправить за межзвездное поглощение, составляющее, согласно Боярчуку [1],  $A_v = 1^m 2$ . Для получения величины межзвездного поглощения в других спектральных полосах принималась зависимость  $A(\lambda)$  для Лебедя [9]. Потоки в полосах были вычислены с использованием абсолютной калибровки Джонсона [10]. Полученные распределения энергии для разных состояний звезды (вспышка, спокойное состояние, затмение) представлены на рис. 2 сплошными линиями.

Предполагая, что за время, прошедшее от максимума блеска до полной фазы затмения, суммарное излучение холодного компонен-

та и туманности существенно не изменилось, можно получить распределение энергии горячего компонента во вспышке (пунктирная линия 4 на рис. 2). Это распределение соответствует распределению эпергии в излучении звезды раннего спектрального класса (В7—А3) [9].

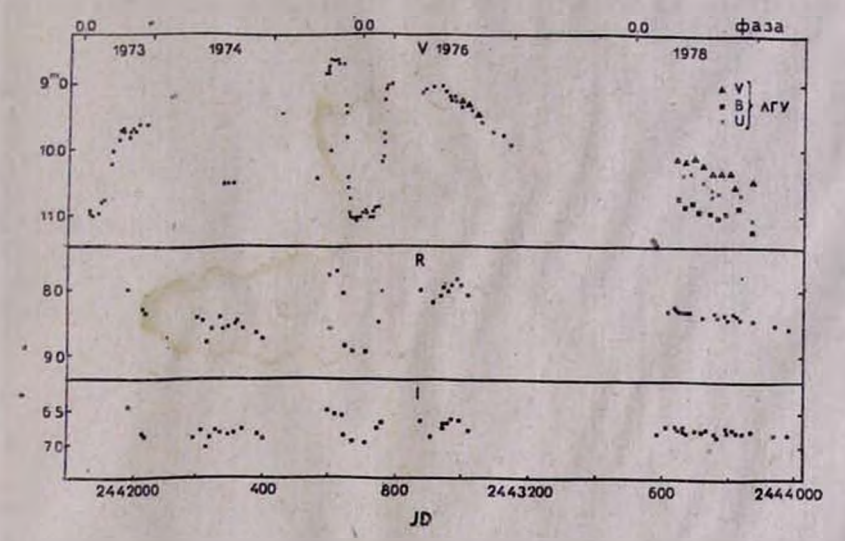


Рис. 1. Кривые блеска СІ Лебедя.

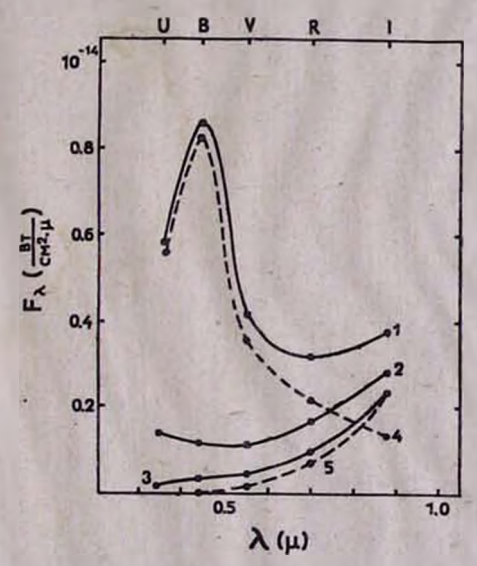


Рис. 2. Распределение энергии в излучении СІ Лебедя: 1—излучение звезды во время вспышки; 2—суммарное излучение системы вне вспышки (J.D 2443660—2443890, 1978 г.); 3—излучение холодного компонента и туманности (затмение); 4—излучение горячего компонента во время вспышки; 5—излучение звезды МбШ.

Рассмотрим затмение горячего компонента, когда наблюдает только суммарное излучение холодного гиганта и туманности. Прен брегая вкладом излучения туманности в полосу 1, получим, что более коротких длинах волк присутствует дополнительное излучени которое можно объяснить излучением туманности. Распределени энергии в излучении звезды МбШ [11], нормированное к потоку

полосе 1, приведено на рис. 2.

В предположении, что поток в полосе 1 равен потоку от звезд М6Ш, вклад излучения холодного компонента в полосу составля 28%. Звездная величина горячего компонента во вспышке в полос V на 2<sup>m</sup> 4 меньше звездной величины суммарного излучения холодн го гиганта и туманности. Тогда, принимая для М6Ш  $M_v = -0.5$  [11] учитывая вклад холодного компонента в полосу V, получим для гор чего компонента во вспышке нижнюю границу абсолютной величин

Вне вспышки блеск звезды в полосах R, I меняется мало, поэто му нет оснований для предположения о переменности холодного ком

### 2. Спектральные наблюдения

Спектры СІ Лебедя были получены на ЗТА 2.6 м Бюраканско обсерватории с оптическим многоканальным анализатором Институ та астрофизики и физики атмосфер АН Эстонской ССР (дисперси 50 А/мм) и на телескопе МТМ-200 АО ЛГУ с объективной призмо (дисперсия 250 А/мм у Нт) в июне и августе 1978 г. Даты наблюдо ний, юлианские дни и использованный фотоматериал приведены табл. 1. Записи спектров сделаны на мпкрофотометре Цейсса с увели чением в 100 раз.

Для описания распределения энергии в непрерывном спектре С Лебедя в области 3700-5000 А были вычислены абсолютные спектро

фотометрические градненты.

	· pagaoa -			аблица	
<b>№</b>	Дата (1978 г.)	J.D. 2440000÷	Фото- материал	Ф1	
1 2 3 4 5 6 7 8 9	1/2. VI 3/4. VI 6/7. III 9/10.VI 9/10.VI 10/11.VI 10/11.VI 12/13.VI 13/14.VIII	3661 3663 3666 3669 3669 3670 3670 3672 3734	Кодак 11a0 Кодак 11a0 А—600 А—600 А—600 Кодак 11a0 А—600 Запись с ОМА	1.83 2.05 2.15 1.80 1.78 2.48 2.53 2.50	

Они были определены привязкой к двум близко расположенным к СІ Лебедя звездам: BD +35° 3831 и BD +35° 3815. Первая из инх была классифицирована нами как В9, вторая-как АО. Для определения межзвездного поглощения звезды BD +35° 3831 были использованы U, B, V измерения этих звезд, произведенные, по нашей просьбе, на АЗТ-14 АО ЛГУ Т. А. Поляковой. Межзвездное поглощение А, для BD +35° 3831 оказалось равным 0° 7. Наблюдения с объективной призмой показали, что обе звезды сравнения имеют одинаковое распределение энергии в непрерывном спектре. Абсолютные спектрофотометрические градиенты, вычисленные привязкой к этим звездам, приведены в табл. 2. При этом градиент для звезд типа АО в соответствии с [12] был принят равным единице.

					Таблица 2
А в А	Элемент	I/I <sub>Ha</sub>	λвА	Элемент	I/IH <sub>3</sub>
6678	Hel	0.002	4490	FeII	0.06
6562	Hα	3.08	4489	Feli	0-01
5017	Fell	0.19	4471	Hel	0.23
5008	[ [0]]]	0-26	4417	Pell	0.06
4959	0111	0-07	4388	Hel	0.11
4924	Fell	0.06	4363	[OIII]	0.30
4861	H <sub>3</sub>	1.00	4340	H <sub>T</sub>	0.45
4713	Hel	0.16	4179	Fell	0.03
4686	Hell	0.43	4173	Fell	0.03
4658	Pelli	0-01	4144	Hel	0-10
4650	CIII	0.02	4121	Hel	0.11
4640	NIII	0.27	4102	Ho	0.43
4634	Pell	0.09	4072	[FeV]	0.08
4620	Fell		4026	Hel	0.11
4576	Fell	0.05	4009	Hel	0.05
4549	Fell	0.03	3970	He	0,29
4515	Fell	0-05	3889	Ha	0-17
4508	Fell	0-04	3869	NellI	0,22
4501	Till	0.02	3835	Hz	0.04
				1	

На рис. 3 представлено относительное распределение энергии в СІ Лебедя, не исправленное за дифференциальное межзвездное поглощение, так как в данном случае нас интересует относительное изменение в течение периода наблюдений.

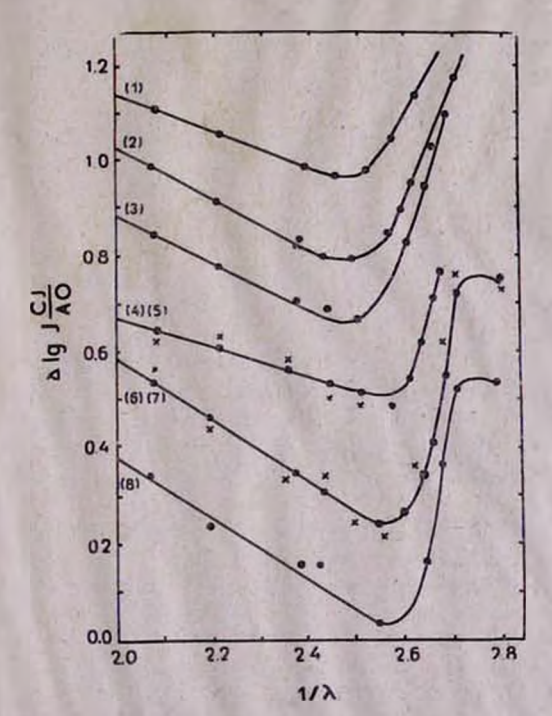


Рис. 3. Относительное распределение энергии в CI Лебедя (нумерация в соответствии с табл. 1).

Суммарному свечению холодного, горячего компонентов и туманности соответствуют, согласно [12], спектрофотометрические температуры не ниже, чем температуры звезд спектрального класса F2—GO. Показатель цвета В—V системы, измеренный в период наших наблюдений, оказался равным +0<sup>m</sup>5, что согласуется с указанными выше спектральными классами.

Бальмеровский скачок  $D = \lg \frac{I_{3847-}}{I_{3847-}}$  равен примерно -0.5.

Как видно из рис. 3. распределение энергии в непрерывном спектре СІ Лебедя в рассматриваемом промежутке времени претерпело некоторые изменения.

Линейчатый спектр СІ Лебедя, наряду с полосами поглощения ТіО, содержит как разрешенные, так и запрещенные эмиссионные ли-

нин.

Относительные интенсивности эмиссионных линий (I н<sub>5</sub> = 1), полученные из наблюдений на ЗТА 2.6 м с ОМА, приведены в табл. 3. Поправки на межзвездное поглощение введены по данным работ [1, 9]. Из табл. 3 видно, что отношение интенсивностей запрещенных ли-

ний  $\frac{I_{4958}}{I_{5008}+I_{4959}}$  — порядка единицы. Принимая, согласно [13], для

электронной температуры туманности СІ Лебедя 17000°, находим по

стандартной методике [14] значение lgne, равное 7.2.

В табл. 4 приводятся средние значения Бальмеровского декремента, измеренные, соответственно, по пяти спектрам, полученным с объективной призмой МТМ-200 и по спектру с ОМА на ЗТА.

V 1		*		Таблица			
Линия	Нз	H <sub>7</sub> .	Нĕ	H	Нт	Ητ	Телескоп
Бальмеровский декремент	1-00	0.39	0·37 0·43	0.26	0-15	0-04	MTM 200 3TA

#### 3. Заключение

Наблюдавшаяся в 1975 г. вспышка СІ Лебедя и последовавшее за ней затмение позволнли получить некоторую новую информацию об этой звезде.

Согласно нашим данным оказалось, что горячий компонент во

вспышечном состоянии имеет высокую светимость:  $M_v = -4^{\circ}$  3.

Распределение энергии в суммарном свечении холодного гиганта и туманности, наблюдаемое во время затмения, показывает, при сравнении с результатами Боярчука [1], некоторый голубой избыток.

За время наблюдений, исключая вспышки 1973 и 1975 гг., блеск звезды в полосах R и I изменялся мало, а поскольку излучение в этих полосах определяется, в основном, холодным гигантом, можно предположить, что блеск холодного компонента не показывает переменности.

Спектрофотометрические градиенты в течение периода относительно спокойного состояния СІ Лебедя претерпевали небольшие изменения.

Величина Бальмеровского скачка D, равная -0.5, и Бальмеров-

ский декремент туманности близки к значениям, характерным для

планетарных туманностей [15].

Авторы выражают благодарность заведующему ЗТА 2.6 м Бюражанской обсерватории А. Амирханяну за предоставление дополнительного наблюдательного материала.

5 мая 1979 г.

#### և լ. Իվսենվև, Տ. ե. Խորգցևկովս.

### Сլ ԿԱՐԱՊԻ ԼՈՒՍԱՉԱՓԱԿԱՆ ԵՎ ՍՊԵԿՏՐԱԼ ԴԻՏՈՒՄՆԵՐ

### Ամփոփում

Բերված են CI Կարապի սիմբիոտիկ աստղի լուսաչափական և սպեկտրալ ուսումնասիրության արդյունքները։ Դիտողական նյութը ստացված է Բյուրականի աստղադիտարանի 2,6 մ և Լենինգրադի համալսարանի աստղադիտարանի MTM-200 և A3T-14 դիտակներով։

CI Կարապի աստղի 1975 թ. բռնկման և նրան Տաջորդած խավարման դիտումները Տնարավորություն են տվել ստանալ նոր տեղեկություններ այդ աստղի մասին։

#### N. L. IVANOVA, T. N. KHUDYAKOVA

### PHOTOMETRIC AND SPECTRAL OBSERVATIONS OF CI CYGNI

### Summary

The results of photometric and spectral investigations of the symbiotic star CI Cyg are given. The observational material is obtained with the 2.6-meter telescope of the Byurakan Observatory and with the MTM -200 and AZT-14 telescopes of Leningrad University Observatory.

In 1975 an outburst and the eclipse of CI Cygni are observed and some new information about this star are obtained.

#### ЛИТЕРАТУРА

- 1. А. А. Боярчук, Изв. КрАО, 39, 124, 1969.
- 2. Т. С. Белякина, Изв. КрАО, 59, 133, 1979.
- 3. L. H. Aller, Publ. Dominion Astrophys. Obs. 9, 343, 1954.
- 4. A. Cannon, Harv. O. B. N 778: 1922.
- 5. М. И. Мялковский, ПЗ приложение, 3, № 14, 71, 1977.
- 6. Т. С. Белякина, IBVS N 1169, 1975.
- 7. P. Tempesti, IBVS N 1094, 1976.
- 8. А. Пучинкас, Бюлл. Вильнюсской АО, № 33, 50, 1972.
- 9. В. Страйжис, Многоцветная фотометрия звезд, Вильнюс, 1977.
- 10. H. L. Johnson, Con. LPL 3, N 53, 73, 1965.
- 11. 7. Lee, Ap. J. 162, N 1. 217, 1970.
- 12. D. Barbler et D. Chalonge, Ann. d'Astrophys. 3. N 2, 1940.
- 13. А. А. Боярчук, АЖ, 43, 976, 1966; АЖ, 44, 12, 1967.
- А. А. Боярчук, Р. Е. Гершберг, Н. В. Годовников, В. И. Проник, Изв. КрАО, 39, 147, 1969.
- 15. Г. А. Гурзадян, Планетарные туманности М., Изд. физ.-мат. наук, 1962.

# г. м. товмасян, Э. ц. шахбазян р. А. кандалян

# УТОЧНЕННЫЕ КООРДИНАТЫ ГАЛАКТИК МАРКАРЯНА № 701—1095

Радионаблюдения около 500 галактик Маркаряна [1] из первых пяти списков [2, 3] показали, что относительное количество радиоизлучающих галактик высоко, преимущественно, среди сейфертовских галактик II типа и объектов типа ВL Lac. Эти радионаблюдения галактик Маркаряна позволили обнаружить среди них весьма интересные объекты с различными признаками активности.

Для радионаблюдений галактик Маркаряна с помощью современных радиотелескопов с высоким угловым разрешением необходимо

знание координат этих галактик с высокой точностью.

Уточненные координаты галактик Маркаряна первых семи списков [2, 3] были опубликованы С. Питерсоном [4] и Г. Коджояном, Р. Эллиотом, Г. Товмасяном [5]. В этих работах было показано, что в оригинальных списках [2, 3] координаты большинства галактик даны с ошибками до 2', а в некоторых случаях и более. Такая точность координат не существенна для оптических наблюдений, так как в оригинальных списках приведены также карты отождествлений галактик. Однако для радионаблюдений, а также для инфракрасных наблюдений, которые можно проводить в сумерки и даже дием, необходимо иметь более точные координаты.

Координаты галактик Маркаряна были измерены с высокой точностью на Паломарских картах с помощью прозрачных накладок на карты с обозначением на них положений соответствующих галактик, согласно [6, 7], и положений звезд из АСК2 в области с размерами в 1° вокруг каждой галактики. Процедура измерений координат описана в работе [4]. Прозрачные накладки для приблизительно 1/3 галактик были изготовлены в вычислительном центре Миннесотского университета (США) Г. Коджояном и Р. Эллиотом, а для остальных галактик—в вычислительном центре Института радиоастрономии

им. Макса Планка (ФРГ).

Уточненные координаты 395 галактик Маркаряна из списков 8—11 [6, 7] приведены в таблице. В первом столбце таблицы даетоя номер галактики, во втором и в третьем—ее прямое восхождение и склонение, в четвертом—номера галактик по NGC, IC и ссылки на приме-

чания, приведенные в конце таблицы.

Среднеквадратичная ошибка определения координат составляла примерно 6".5 по обеим координатам. Ошибки измерения координат могут быть обусловлены не точным наложением прозрачной накладки на соответствующую карту Паломарского атласа и неопределенностью определения центра галактики. Эта неопределенность тем меньше, чем компактиее галактика.

Для оценки точности измерений координат наши результаты были сравнены с результатами Л. Дрессела и Дж. Кондона [8], измерив-

шими тем же методом координаты около 4000 галактик Уппсальского каталога [9]. На рис. 1 приведены разницы прямых восхождений и склонений 54 галактик, общих для обоих списков. Из рис. 1 видно, что для большинства галактик разница в координатах не превосходит 15". Среднеквадратичные дисперсии прямых восхождений и

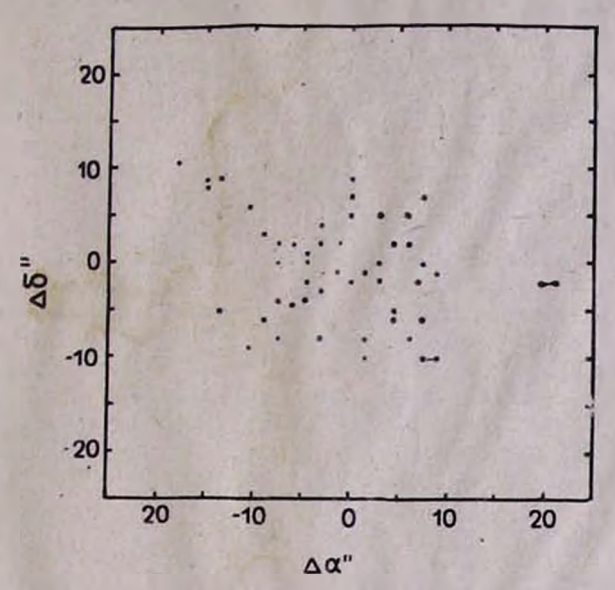


Рис. 1. Сравнение координат 54 галактик по данным настоящей работы и работы [8].

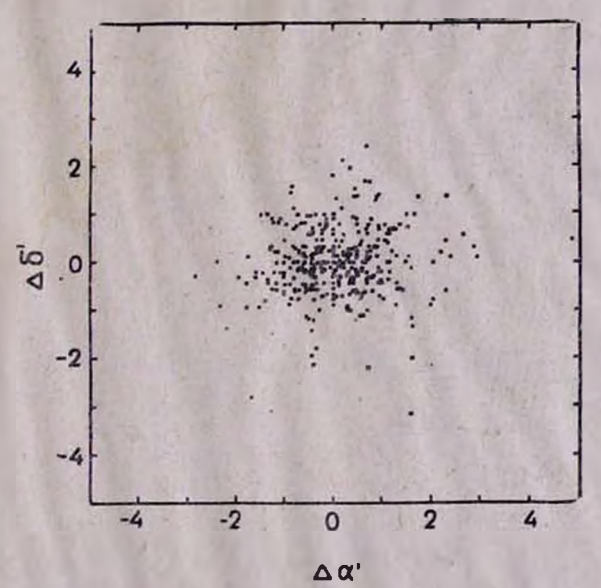


Рис. 2. Сравнение координат галактик по данным настоящей работы и оригинальных списков [6, 7].

склонений равны 7".5 и 5".4 соответственно, а систематические от клонения, обусловленные, вероятно, субъективными причинами, сос

тавляют -0".4 и -0".6 соответственно.

На рис. 2 представлены разницы прямых восхождений и склоне ний галактик по нашим измерениям и данным оригинальных списко [6, 7]. Как следует из рис. 2, в оригипальных списках ошибка измерения координат для большинства галактик составляет примерис 2' с дисперсией в 1'.0 и 0'.5 по прямому восхождению и склонении соответственно. При расчете дисперсии не были учтены некоторы галактики, координаты которых по разным причинам даны в ори гинальных списках с очень большими ошибками.

Систематическая разница в определении координат составляет +5" н +6" по прямому восхождению и склонению соответственно Сравнение приводимых в настоящей статье уточненных координат галактик списков [6, 7] с уточненными координатами первых пяти списков галактик Маркаряна, измеренными Питерсоном [4], показывает что в последних четырех списках [6, 7] координаты галактик даны с

несколько меньшими ошибками, чем в первых пяти списках. В заключение авторы благодарят Г. Коджояна и Р. Эллиота за изготовление 120 прозрачных накладок в вычислительном центре Миннесотского университета (США) и дирекцию Института радиоастрономин им. Макса Планка (ФРГ) за предоставление возможности одному из нас (Г. М. Т.) изготовить 275 прозрачных накладок в вычислительном центре института.

28 мая 1979 г.

2. U. PAQUUUSUL, E. U. CULPUSUL A. U. GULPUISUL

ՄԱՐԳԱՐՅԱՆԻ Ж 701-1095 ԳԱԼԱԿՏԻԿԱՆԵՐԻ ՃՇԳՐԻՏ ԿՈՈՐԴԻՆԱՏՆԵՐԸ

## Udhnhned

Բերված են Մարգարյանի գալակտիկաների 8—11 ցուցակների [6,7] 395 օրլիկաների ճշտված կոսըդինատները մի քանի աղեղնային վայրկյանի ճշտությամբ և բննարկված են ստացված արդյունքները։

H. M. TOVMASSIAN, E. TS. SHAHBASIAN R. A. KANDALIAN

ACCURATE OPTICAL POSITIONS FOR MARKARIAN GALAXIES 701 - 1095

## Summary

Optical positions of 395 Markarian objects, Markarian 701-1095, from lists 8 to 11 [6,7] are given with an accuracy of the order of a few seconds of arc. Corrections to the original Markarian lists are noted.

1,8; 4152

04.6

12 08 04 4

18 44 14 38

18-0

16 52

02					1	Продолжение	таблицы
13-11				1	2	3	4
1	2	3	4	-		20 31 20	
	. 4 40 50 3	16 18 27		884	16 29 32·7 16 29 43·2	20 31 20 67 29 03	
822 823 .	14 43 50·3 14 45 46·2	15 46 27		885 886	16 33 06.5	17 52 07	
824	14 47 44-8	21 22 00	3	887	16 38 45.7	39 25 07 20 01 54	
825	14 48 06-4 14 48 27-7	50 54 59 52 36 44		888	16 42 18·0 16 52 09·3	57 25 41	3
826 827	14 48 43.7	42 56 54		889 890	16 55 08.0	63 19 06	6275
S2S	14 48 51.6	42 58 20 35 46 33	1	.891	16 57 36 · 3 17 05 49 · 8	57 35 50 60 46 20	
829 830	14 48 54-7 14 49 08-6	58 52 41		892 893	17 05 49·8 17 14 22·6	60 16 10	
831	14 53 19-3	55 44 13 64 05 13	5807	894	17 16 56 8	30 14 48	999
832 833	14 54 50·2 14 55 54·0	35 24 21	000	895	17 48 38·9 20 43 44·7	23 06 46 -02 59 47	
834	14 56 48.9	45 05 20		896 897	21 05 15.6	03 40 27	1
835	14 57 43.9 14 57 52.7	13 31 47 61 25 54	120	898	21 09 45-4	11 27 17 -11 42 33	7073
836 837	14 59 17-2	16 55 40	0.00	899 900	21 26 43.4 21 27 27.6	02 11 33	1; 7077
838	14 59 34·6 15 00 32·7	15 16 34 83 43 06	2,3	901	21 43 40 4	16 24 03	
839 840	15 00 32.7 15 01 44.8	14 43 13		902 903	21 52 33·8 22 01 42·3	-01 00 27 35 44 50	
841	15 01 36.5	10 37 57		903	22 01 38-4	-00 16 27	3
842 843	15 03 31 · 4 15 04 22 · 4	12 56 13 56 34 51		905	22 07 29.2	39 02 07 35 19 16	1
844	15 04 34.6	43 54 34	100	906 907	22 15 06·3 22 16 08·9	40 18 40	1: 7250
845 846	15 03 12·5 15 07 11·2	51 38 39 52 38 33		908	22 20 27 - 7	37 43 23	1
847	15 12 16-4	58 41 40	7	909 910	22 21 17·4 22 21 23·3	40 55 44	
848	15 16 18·1 15 17 51·2	42 55 44 28 45 27		911	22 21 24.2	03 30 47	
849 850	15 17 51·2 15 20 12·6	31 39 14	9,10	912	22 25 40.2	-03 08 27 23 04 53	7288 7; 5231*
851	15 19 36-7	06 01 57		913 914	22 31 37·5 22 32 25·9	40 24 20	1, 0201
852 - 853	15 21 00·2 15 21 03·0	12 52 20	5926	915	22 34 07 - 2	-12 48 17	
854	15 24 32 . 9	43 34 17	110.9	916 917	22 37 04·6 22 38 48·5	35 42 20 31 54 30	1
855 856	15 25 56·8 15 28 06·0	15 33 34 14 53 00		918	22 39 52 6	35 39 57	
857	15 29 43 2	41 57 03		919	22 41 58·4 22 43 00·5	24 51 00 33 47 47	777
858	15 32 08 3	14 38 39 49 45 00	3	920 921	22 43 00·5 22 46 09·6	31 31 00	
859 860	15 34 33·2 15 37 18·0	25 06 40		922	22 51 07.6	31 22 40	14000
861	15 47 25-3	12 33 00	1; 1141*	923 924	22 54 31·6 22 56 11·5	04 24 33 35 32 00	1460* 7440
862 863	15 50 40 · 1 15 54 01 · 4	12 09 13 09 12 00	0000	925	23 01 04.5	41 08 40	7. 19
864	15 56 12.0	26 00 13		926	23 02 07·6 23 10 03·1	-08 57 20 30 51 40	
865 866	15 56 55·3 15 58 48·0	58 18 13 59 37 00		927 928	23 15 47 - 1	04 41 13	7592
867	16 00 02.5	26 28 01		929	23 20 43 - 1	32 15 07	1
868 869	16 02 13.6 16 03 48.0	10 05 17 65 40 24	3	930 931	23 29 29 0 23 30 41 3	28 40 20 -02 59 48	
870	16 04 35 3	10 53 00		932	23 35 31.3	01 17 07	
871	16 06 13.9	12 28 00	1198*	933	23 39 09·5 23 58 52·2	-03 56 03 12 50 07	
872 873	12 06 45·3 16 08 36·9	19 57 26	200	934 935	23 59 11 1	12 49 34	
874	,16 10 56-7	60 42 43	1.4	936	00 01 36-0	-12 15 47	7813,5384*
875	16 10 59.5 16 11 16.2	60 42 26 58 01 47	1.4	937 938	00 07 36.7	-04 59 20 -12 23 13	17,34
876	16 13 36-0	65 50 34	100	939	00 11 41-3	47 51 50	1536*
877 878	16 17 50 5	17 31 53	1111/11	940	00 11 45-8 00 12 25-0	33 55 26 34 31 47	2 2 100
879	16 19 19.7 16 20 50.0	36 11 21 38 29 07	4 ( 19 )	941 942	00 12 23.0	00 30 40	
880	16 21 11-4	40 36 44	- 10	943	00 14 08-7	-10 49 57	
881	16 24 07·3 16 25 50·9	40 27 26 39 12 47	1 30	944 945	00 21 55.4 00 23 21.3	-04 08 00 -03 41 50	36.5
883	16 27 44.6	24 33 27		946		-02 03 50	114

35 02 13

1009

01 47 48-8

688

1:

1071

					П	родолжение	таолиць
-	1 2	3	4	1	2	3	4
1072 1073 1074 1075 1076 1077 1078 1079 1080 1081 1082 1083	03 10 51·0 03 11 42·6 03 14 21·3 03 16 57·5 03 17 09·6 03 25 50·2 03 38 18·7 04 01 32·8 04 01 55·8 04 02 52·2 04 27 51·1 04 36 10·5	41 06 20 41 51 03 -00 13 34 -06 18 07 00 23 07 39 36 47 -03 59 20 -11 18 53 -02 19 34 04 16 43 00 21 54 00 05 34	3 1509 1; 1507	1084 1085 1086 1087 1088 1089 1090 1091 1092 1093 1094 1095	04 41 25-6 04 43 42-9 04 45 57-5 04 47 06-6 04 52 01-3 04 59 09-1 04 59 15-6 04 59 25-2 05 01 57-4 05 05 20-7 05 08 17-1 05 13 37-3	08 44 53 -12 31 53 -01 37 27 03 15 00 03 11 17 -04 19 47 -04 21 40 -14 19 57 -10 08 40 -08 04 53 -02 44 43 -00 12 13	1; 1691 1741 399 401 1797

#### примечания к таблице

- 1—Галактика имеется в каталоге Л. Дрессела и Дж. Кондона [8] и включена в статистический анализ.
- 2—Галактика имеется в каталоге Л. Дрессела п Дж. Кондона [8], но не включена в статистический анализ, так как из-за высокого склонения (~84°) небольшие ошибки в процессе измерений могли бы привести к значительной ошибке в определении прямого восхождения.
- 3—Отнови определения координат в оригинальном списке >5' и галоктика не включена в статистический анализ.
- 4—Галактика двойная; первая координата соответствует заплдной компоненте, а вторая—восточной.
- 5—Опечатка в оригинальном списке: прямое восхождение должно быть  $9^h23^m$  3 вмес то  $6^h23^m$  3.
- 6-Опечатка в оригинальном списке: склонение должно быть 22°27' вместо 25°27'.
- 7—В оригинальном списке неверно указан номер IC 5431.
- 8-В оригинальном списке не указан .NGC номер.
- 9—В оригинальном списке координаты даны с большими ошибками:  $\Delta \alpha = 33^{'}_{*} 2_{1}$   $\Delta \delta = -8^{'}_{*} 8$ .
- 10—Координаты измерялись с помощью близлежащих звезд, расположенных от галактики в пределах до 15', а не с использованием прозрачных накладок. По этой причине ошибки измерения координат могут быть больше средних.

### ЛИТЕРАТУРА

- 1. R. A Sramek, H. M. Tovmassian, Ap. J., 196, 339, 1975.
- 2. Б. Е. Маркарян, Астрофизика. 8, 55, 1967; 6, 443, 1969; 5, 581, 1969.
- 3. Б. Е. Маркарян, В. А. Липовецкий, Астрофизика, 7, 651, 1971; 8, 155, 1972; 9, 487, 1973; 10, 307, 1974.
- 4. S. D. Peterson, A. J., 78, 811, 1973.
- 5. G. Kojolan, R. Elliott, H. M. Tovmassian, A. J., 83, 1545, 1978.
- 6. Б. Е. Маркарян, В. А. Липовецкий, Астрофизика, 12, 389, 1976; 12, 657, 1976.
- 7. Б. Е. Маркарян, В. А. Липовецкий, Дж. А. Степанян, Астрофизика, 13. 225, 1977; 13, 397, 1977.
- 8. R. R. Dressel, J. J. Condon. Ap. J., Suppl. Ser., 31, 187, 1976.
- 9. P. Nilson, Uppsala General Catalogue of Galaxies, Uppsala, 1973.

#### С. Г. ИСКУДАРЯН

### ПРОСТРАНСТВЕННОЕ РАСПРЕДЕЛЕНИЕ ОБЪЕКТОВ ТИПА IrrII

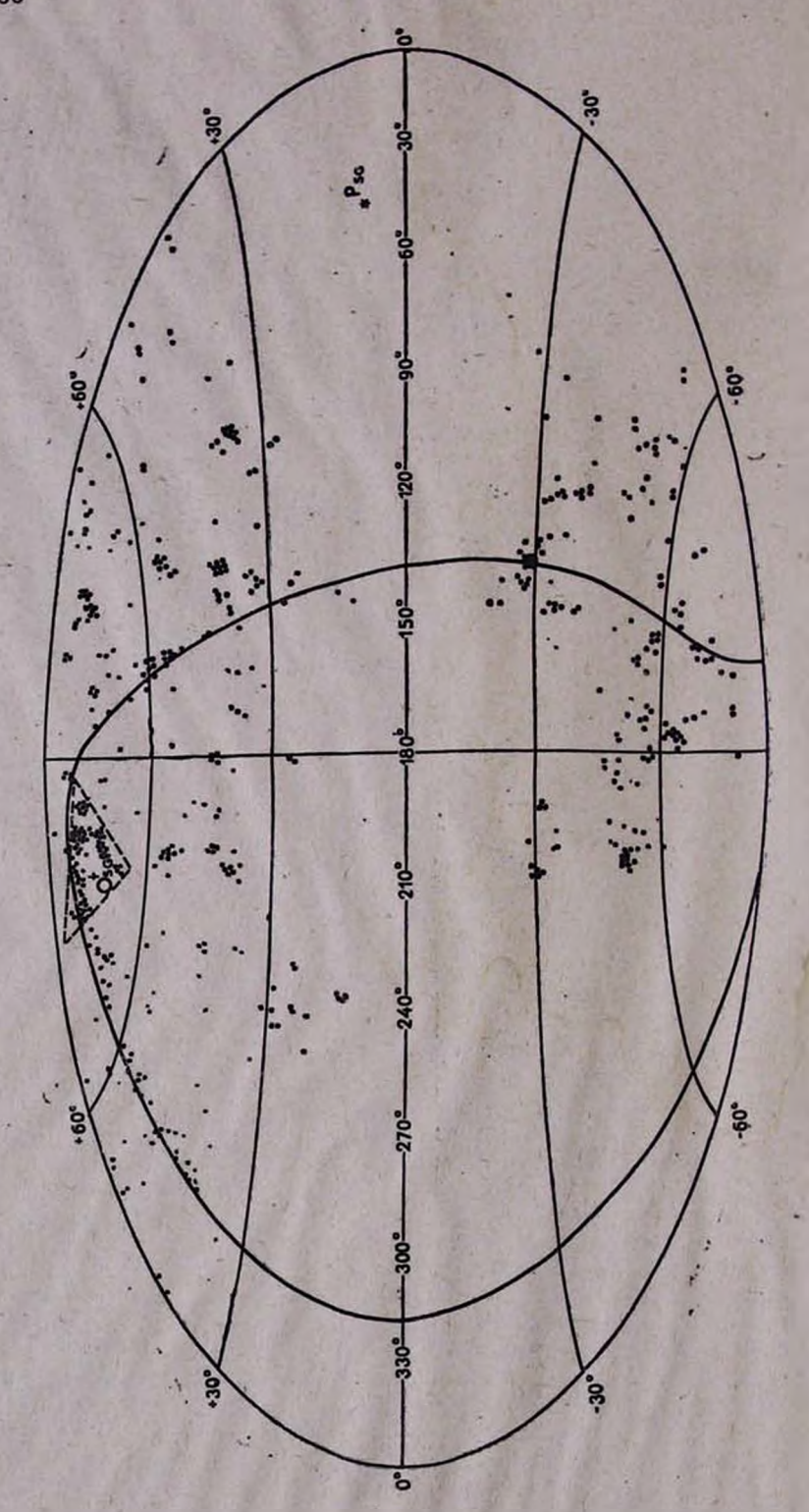
Статистическое исследование объектов типа IrrII показало их низкую пространственную плотность (0.33×10 4 объекта до 17.0 фотографической величины в объеме один Мпс3) и низкую среднюю плотность на небе (0.025 объекта на одном кв. градусе). Поиски этих объектов на Паломарских картах показали, что они встречаются почти исключительно в группах, в цепочках и в широких ассоциациях с другими галактиками или сами составляют такие комплексы

[1, 2].

Нас интересует вопрос, как распределены эти объекты по галактическим координатам. На рисунке приводится это распределение. Звездочкой отмечен полюс Супергалактики. Сплошная линия показывает экватор Супергалактики. Как видно из рисунка, богатые группировки в основном встречаются у экватора Супергалактики, так что независимо от того, является ли Супергалактика реальной или кажущейся системой [3], эти объекты показывают супергалактическое распределение. На рисунке крестиком отмечен центр О Супергалактики, который, как известно, находится в скоплении Девы [4]. При поисках объектов типа Irrll на Паломарских картах сложилось впечатление, что область скопления Девы богата подобными объектами. Действительно, из 73 ярких членов скопления Девы, для которых известны радиальные скорости [5], 17 вошли в наши списки кандидатов в IггII галактики, причем NGC 4438 вошла в список первоочередных кандидатов [1], NGC 4866 вошла в список вероятных кандидатов в ІггІІ галактики, а остальные 15 галактик вошли в список менее вероятных кандидатов. На тех картах Паломарского атласа, которые содержат область скопления Девы, нами выделен еще 61 объект типа IrrII до 15.0 фотографической величины включительно, причем единственный объект, который имеет 15-ю величину, это NGC 4933B. Более слабых объектов этого типа в этой области не обнаружено, что дает нам основание предположить, что эти объекты являются члена-Действительно, из рисунка видно, что в области Деми скопления. вы-около центра Супергалактики-видны четыре богатые группировки. Другой подобной концентрации богатых группировок во всей остальной области распределения не встречается. Случайное проектирование четырех богатых группировок именно на область скопления Девы-маловероятно. Скорее они входят в состав скопления, что представляет особый интерес.

Если допустить, что область скопления Девы на небе занимает приблизительно 400 кв. градусов площади, то получается, что средияя плотность этих объектов на небе в области скопления Девы равна прпмерно 0.2 объекту на одисм кв. градусе неба, т. е. в восемь раз больше, чем средняя плотность этих сбъектов на небе вообще. На рисунке пунктирами намечена область, приблизительно занимаемая скоплени-

Результаты статистического исследования IггII галактик дали основание предположить, что этот тип галактик скорее представляет со-



бой определенное физическое состояние галактик других морфологических типов [2]. Каким механизмом обеспечивается такое богатое пылью состояние этих галактик, неизвестно, но вероятно оно является следствием одной из форм активности ядер этих галактик, согласно идсе акалемика В. А. Амбарцумяна о том, что состояние галактик определяется всей историей активности их ядер [6]. Скопление Девы богато как галактиками, которые находятся в этом состоянии, так и. по-видимому, галактиками, которые входят в это состояние или же выходят из него. В пользу последнего предположения говорит хотя бы тот факт, что галактики-члены скопления Девы по своему интегральному цвету несколько краснее, чем галактики поля тех же морфологических типов [7].

Таким образом, целая популяция, находящаяся в определенном физическом состоянии, показывает супергалактическое распределение. причем неидентичное с распределением других объектов [8]. Плотность остальных галактик скоплении Девы более чем в 100 раз больше плотности объектов типа IrrII, а последние распределены вокруг центра Супергалактики в виде полукольца, образованного очагами этих объектов. Не говорит ли этот факт в пользу реальности существования Супергалактики как цельной физической системы?

.9 июня 1979 г.

#### Ս. Գ. ԻՍԿՈՒԴԱՐՑԱՆ

### Irr II ՏԻՊԻ ՕԲՑԵԿՏՆԵՐԻ ՏԱՐԱԾԱԿԱՆ ԲԱՇԽՈՒՄԸ

### Udhnhnid

Նկ. 1-ից հրևում է, որ Irr II տիպի գալակտիկաները սուպերգալակտիկական բաշխում են ցույց տալիս։ Ֆիզիկական որոշակի վիճակում գտնվող օոլեկտների նման վարքագիծը, որը սակալն նուլնուԹլամբ չի կրկնօրինակում այլ տիպի գալակտիկաներին, ըստ երևույթին, խոսում է Սուպերգալակտիկայի ռեայ գոյության մասին։

#### S. G. ISKUDARIAN

#### THE SPACE DISTRIBUTION OF THE IT II TYPE OBJECTS.

### Summary

The Irr II type objects show supergalactic distribution (Fig. 1), which is not identific with the distribution of the other type galaxies. Such a behaviour of the objects, which are in the definite physical condition, may be, speaks about a real existence of Supergalaxy.

#### ЛИТЕРАТУРА

- 1. С. Г. Искударян, ДАН Арм. ССР, 67, № 2, 93, 1978.
- 2. С. Г. Искударян, ДАН Арм. ССР, 68, № 3, 94, 1979.
- 3. J. N. Bahcall, P. C. Joss, Ap. J., 203, 23, 1976.
- 4. G. de Vaucouleurs, Nature, 182, 1478, 1958.
- 5, M. L. Humason, N. U. Mayall, A. R. Sandage, A. J., 61, 97, 1956.
- 6. V. A. Ambartsumian, Solvay Conference Report, Bruxells, 1964.
- .7. E. Holmberg, Medd. Lund., 11, 136, 1958.
- 8. G. de Vaucouleurs, A. de Vaucouleurs, Reference Catalogue of Bright Galaxies. Austin, 1964.

# Р. Г. МНАЦАКАНЯН, А. В. ОСКАНЯН, М. ЛОВАШ

# О ВЫЧИСЛЕНИИ СРЕДНЕЙ ЧАСТОТЫ ВСПЫШЕК СВЕРХНОВЫХ

Недавно авторами [1] был предложен метод обработки наблюдательного материала службы сверхновых, позволяющий определить частоты вспышек сверхновых I и II типов в галактиках различной абсолютной яркости:

$$v = v_0 \cdot 10^{-0.4M_g}, \tag{1}$$

где  $M_s$ —абсолютная яркость галактики, а  $v_0$ — частота вспышек в гипотетической талактике нулевой абсолютной яркости, которая выражается формулой [1]:

$$v_0 = \frac{n_{\mathbf{g}}(\mathbf{T})}{n_{\mathbf{g}}(\mathbf{H})} \times$$

$$\times \frac{\sum_{i=1}^{k} \frac{N_{i}}{n_{i}}}{c \cdot \sum_{i=1}^{k} S_{i} \cdot \int_{M_{i}}^{M_{i}} 10} \psi(M_{g}) dM_{g_{0}}^{\frac{m_{g}}{m_{g}}} \frac{0.6 m_{g}}{10} \psi(m_{0} - 0.25 \text{cesec} b_{i} - m_{g} - M_{g} - \overline{M}_{\text{max}}) dm_{g}}$$
(2)

Настоящая работа посвящена применению предложенного метода. Для этого нами был использован наблюдательный материал, полученный на Будапештской обсерватории в период с января 1964 г. по апрель 1973 г., содержащий 3100 снимков 125 патрулируемых областей, покрывающих на небе площадь в 1830 кв. градусов. Основная часть снимков была получена на пластинках Кодак 103а0 без фильтра с экспозицией 15 мин. Предельная звездная величина равна  $20^{m}$ . На основе этого материала было открыто 13 сверхновых (табл. 1).

Период наблюдаемости сверхновой, являющийся функцией модуля расстояния, равен промежутку времени, за который максимальная абсолютная яркость сверхновой  $M_{\rm max}$  падает до предельной абсолютной яркости  $M_0 = m_0 - \Delta$ , где  $m_0$ —видимая яркость самой слабой сверхновой, которая еще может быть обнаружена на снимках, полученных на данном инструменте (см. рис. 1 работы [1]). Следует отметить, что  $m_0$  не есть предельная звездная величина пластинок.

$$\tau = \varphi(M_0 - \overline{M}_{\text{max}}) = \varphi(m_0 - \Delta - \overline{M}_{\text{max}}). \tag{3}$$

Член, учитывающий галактическое поглощение света здесь пропущен, т. к. для построения общего вида функции  $\phi$  он не существенен.

Средние максимальные абсолютные яркости сверхновых I и II типов, согласно [2], равны:

Таблица 1

Ne CH	CH	NGC	a <sub>1950</sub>	81950	Галактика		Сверхновая	
	Cii				тип	mg	тип	m <sub>max</sub>
. 1	1964e	ann	11h56 th 6	+52°59′	SBcp		1	12 <sup>m</sup> 3
2	19650	521	11 59 8	+50 12 +01 29	Sb SBb	17.5		17· 5 14
3 4	1966g 1967 c	3389	01 22 0	12 48	Sc	12. 0	i -	12. 7
5	1968a	1275	03 16 - 5	41 20	Ep	13. 0	i	15- 5
6	19681	4981	13 06 · 1	-06 31	Sc	12. 3	I	13 - 5
7	1968j	ann	14 04 1	+53 22	SOq	15. 4	15	16.0
8	1968an	4975	13 05 4	-U4 45	SO	15. 5		15
9	1909Ь	3556	11 08- 5	55 56	Sc Sc	10. 7	ıi	13. 5
10	1969c	3811	11 38- 6	+47 58 +54 35	Sc	8. 7	ıi	11 - 0
11	1970g	5457	14 01 5	+14 19	S	16. 5	11	11. 0
12	1970m 1972f	ann ann	12 04 - 6	+53 57	šo	16. 0	12	16. 0

$$\overline{M}_{\text{max}}(I) = -18^{\text{m}} 6 + 5 \text{Ig} H / 100,$$
 $\overline{M}_{\text{max}}(II) = -16^{\text{m}} 5 + 5 \text{Ig} H / 100.$ 
(4)

Здесь и далее, поправочный член, содержащий постоянную Хаббла, позволяет вычислить абсолютные яркости и другие величины для любого значения Н. Для простоты в наших расчетах постоянная Хаббла принята равной 100 км/сек Мпс.

Подставляя в формулу (3) значения средних абсолютных максимумов из (4) и  $m_0 = 18.0^*$ , для периода наблюдаемости сверхновых

получаем следующие выражения:

$$\tau(1) = \varphi(36^{m}.6 - \Delta),$$
  
 $\tau(11) = \varphi(34^{m}.5 - \Delta).$ 

Придавая  $\triangle$  различные значения с шагом 0.5 и входя с соответствующими значениями аргументов ( $36^m 6 - \Delta$ ) и ( $34^m 5 - \Delta$ ) в кривые блеска [1], получим значения периода наблюдаемости  $\tau$  в днях, представленные в табл. 2, где значения аргумента ( $M_0 - M_{\text{max}}$ ) ограничены сверху величной 5.0, что обусловлено ограничением усредненных кривых блеска. Предполагая, что дальнейшее падение блеска сверхновых происходит по линейному закону, были вычислены периоды наблюдаемости для больших значений ( $M_0 - M_{\text{max}}$ ). Следует отметить, однако, что в значения интегралов выражения (2) большие значения  $\tau$  не вносят существенного вклада из-за наличия множителей  $10^{-0.4M}$ к и  $10^{0.6m}$ 0.

Таблица 2  $(M_0 - \overline{M}_{max})$ 0.5 1.0 1.5 2-0 2.5 3.0 3.5 4.0 4.5 5-0 126 180 18 33 58 153 τ (l) τ (ll) 100 108 115

Функция распределения галактик по абсолютным яркостям —  $\psi$  ( $M_{\rm g}$ ) в единичном интервале видимых величин была построена для галактик, видимый блеск которых заключен в интервале  $11^{\rm m}$  1 —  $12^{\rm m}$  0

<sup>\*</sup> Самая слабая сверхновая, открытая на Будапештской обсерватории, имела яркость, равную 17<sup>тh</sup> 5.

каталога де Вокулеров [3], так как большинство этих глактик имеет вестные лучевые скорости. Как показали вычисления, вид получаем

функции от выбора интервала блеска почти не изменяется.

Учитывая тот факт, что сверхновые І типа вспыхивают в галак ках любых морфологических типов, а сверхновые II типа предпочтельно в галактиках Sb и Sc типов, функция  $\phi(M_g)$  была постросотдельно для галактик всех морфологических типов  $\phi(M_g)$  и д галактик Sb и Sc типов-42 (Mg).

	<u> </u>					
$\lambda I_g(H=100)$	) -17 <sup>m</sup> 5	—18 <sup>m</sup> 5	—19 <sup>m</sup> , 5	-20 <sup>m</sup> 5	-21 <sup>m</sup> 5	-22 <sup>m</sup>
ಳ್ಮ (Mg) ಳ್ವ (Mg)	0.044	0·227 0·229	0·399 0·386	0-267 0-253	0·059 0·084	0.004 0.0

Как видно из табл. 3, они практически не отличаются друг от др га и поэтому для вычисления частот вспышек сверхновых I и II т пов можно пользоваться только одной функцией  $\psi_1$  ( $M_g$ ).

Постоянная «с» в выражении (2), пересчитанная для галакти всех морфологических типов, имеющих яркости в интервале m-1

m+1/2, pabha  $10^{-8.98}$  [4].

Подсчеты показали, что для вычисления частоты вспышек в г лактиках любого морфологического типа необходимо в выражени (2) перед постоянной «с» поставить коэффициент, показывающий к кую долю всех галактик составляет данный морфологический тип.

Для вычислення выражения (3) интегрирование по  $M_s$  следуе производить в пределах  $-17^{\circ\circ}$  0+5lgH/100,  $-23^{\circ\circ}$  0+5lgH/100 (табл. 3

Нижний предел интегрирования по т был взят. + 1 т. 0 (самая я кая галактика БМО имеет видимую яркость + 1 ... 2), а верхний пре дел определяется из условия, что функция ф больше нуля для положительных значений аргумента:

$$m_g \leqslant m_0 - 0.25 \operatorname{cosec} b_1 + M_g - \overline{M}_{max}$$

где член 0.25 cosec b, введен для учета галактического поглощения

Численное интегрирование приводит к следующим значениям интегралов, входящих в знаменатель формулы (2), выраженных в галактико-годах:

$$c \cdot \int_{-23.0+51 \text{gH/100}}^{-17.0+51 \text{gH/100}} \phi(M_g) dM_g \int_{1.0}^{m_g} 10^{0.6 m_i} \varphi(m_0 - 0.25 \text{cosec} b_1 - m_g + M_g - \overline{M}_{\text{max}}) dm_g = 10^{-0.67} \cdot H^2 \cdot 10^{9.6 (m_0 - 0.25 \text{cosec} b_1)}$$
 гал. лет

$$0.55 \cdot c \cdot \int_{-23.0 + 5 \lg H/100}^{-17.0 + 5 \lg H/100} 10^{-0.4 M_g \psi} (M_g) dM_g \int_{1.0}^{m_g} 10^{9.6 m_0} \varphi(m_0 - 0.25 \text{cosec} b_i - m_g + M_g - M_g) dm_g = 10^{0.62} \cdot H^8 \cdot 10^{9.6 (m_0 - 0.25 \text{cosec} b_i)}$$
 гал. лет.

Здесь во второй формуле коэффициент 0.55 соответствует доле галактик Sb и Sc типов среди галактик всех морфологических типов [5]. Просуммировав выражение (3') по всем патрулируемым областям и подставив их значения в формулу (2) окончательно получаем искомые частоты вспышек сверхновых I и II типов:

$$v_{0}(I) = \frac{n_{g}(T)}{n_{g}(II)} \cdot H^{2} \cdot \frac{10^{-0.67}}{10^{0.6m_{0}}} \cdot \frac{\sum_{i=1}^{125} \frac{N_{i}}{n_{i}}}{\sum_{i=1}^{125} \frac{N_{i}}{n_{i}}} (I)$$

$$v_{0}(II) = \frac{n_{g}(T)}{n_{g}(H)} \cdot H^{2} \cdot \frac{10^{0.62}}{10^{0.6m_{0}}} \cdot \frac{\sum_{i=1}^{125} \frac{N_{i}}{n_{i}}}{\sum_{i=1}^{125} \frac{N_{i}}{n_{i}}} (II)$$

$$\sum_{i=1}^{125} \frac{N_{i}}{n_{i}} (II)$$

Обработка наблюдательного материала. Распределение наблюдений службы сверхновых во времени имеет случайный характер. Однако независимость двух следующих друг за другом событий в этом случае не всегда соблюдается, так как бывают случаи, когда одна и та же сверхновая наблюдается на нескольких снимках.

Как видно из табл. 2, периоды наблюдаемости сверхновых изменяются в широких пределах. Для обработки наблюдательного материала необходимо определить среднее значение периода наблюдае-

мости, определяемой формулой:

$$= \frac{\int_{-23.0+51\text{gH}/100}^{-17.0+51\text{gH}/100} \int_{1.0}^{m_g} \psi(M_g) dM_g \int_{1.0}^{m_g} 10^{0.6\text{m}_0} \varphi(m_0 - 0.25\text{cesec}b_1 - m_g + M_g - \overline{M}_{\text{max}}) dm_g}{\int_{-23.0+51\text{gH}/100}^{-17.0+51\text{gH}/100} \int_{1.0}^{m_g} \psi(M_g) dM_g \int_{1.0}^{10.6\text{m}_0} 10^{0.6\text{m}_0} dm_g}$$
(5)

Вычисления по формуле (5) дают:

независимо от предела обнаружения сверхновых то.

Наблюдаемое различие значений т (II), по-видимому, обусловлено различием хода убывания блеска сверхновых обоих типов.

Используя усредненные значения периода наблюдаемости т (6), можно сделать временной ряд наблюдений более равномерным. Для этой цели в ряду каждой патрулируемой области в исключаем все те наблюдения, которые отстоят от предыдущего на промежуток времени t т

Если сверхновая вспыхнула в близкой галактике, то ее период наблюдаемости может быть довольно велик, и поэтому она будет присутствовать на нескольких снимках, которые по нашим критериям считаются независимыми наблюдениями. Тогда такую сверхновую приходится подсчитывать столько раз, сколько имеется независимых наблюдений (табл. 4).

Для подсчетов использовались только те сверхновые из табл. 1, обнаруженные на снимках с 15-минутной экспозицией, для которых известен тип. К ним были добавлены еще 3 сверхновые, которые, по всей вероятности, присутствуют на будапештских снимках, но впервые были открыты на других обсерваториях. В табл. 4 эти сверхновые отмечены звездочками. В этой таблице использовались яркости сверх-

-1-2				Число подсч. СН до m <sub>0</sub>					n
.\\\\\\\\\\\\\\\\\\\\\\\\\\\\\\\\\\\\\\	СН	Tnu	m	14	15	16	17	18	
1 2 3 4 5 6 7 8 9 10 11 12 13	1964e 1964*1 1966g 1967c 1958a 1968*g 19681 1968j 1969b 1969c 1970*b 1970g 19721	15 11 15 15 15 1 1 1	14 <sup>st</sup> 5 13·3 14·0 12·7 15·5 17·4 13·5 16·7 14·7 13·7 15·0 11·0 16·0	1111111111111	$-\frac{1}{1}$ $-\frac{3}{1}$ $-\frac{1}{1}$ $-\frac{1}{1}$	1 1 2 1 3 1 2 - 1 1 1	1 1 2 2 2 2 2 1 1	2 1 2 3 2 1 3 2 3 4 3	60 14 14 26 18 12 11 39 14 14 19 35 63

новых в момент их обнаружения или в момент наблюдения, которое как независимое наблюдение вошло в наши подсчеты.

Используя данные табл. 4, нами вычислены математические ожнания (наблюденные)  $\frac{N_1}{n}$  для различных значений  $m_0$ , суммы кото-

рых по всем 125 областям представлены в табл. 5.

		Tab.	Габлица 5		
m <sub>o</sub>	14m	15 <sup>m</sup>	16 <sup>m</sup>	17m	18 <sup>m</sup>
$\sum_{i=1}^{125} \frac{N_i}{n_i} (1)$	0-13	0.44	0.57	0.74	1-23
$\sum_{i=1}^{125} \frac{N_i}{n_i} (11)$	0.03	0-10	0.17	0.17	0.33

Подставив полученные значения  $\sum_{i=1}^{125} \frac{N_i}{n_i}$  в выражение (4'), вычислим частоты вспышек сверхновых I типа— $v_0$  (I) для различных зна-

чений то.

Следует обратить внимание на то, что сверхновые в максимуме блеска слабее галактики-родительницы (СНІ, в среднем, на  $1^m$  1, а СНІІ—на  $2^m$  4), поэтому, если сверхновые подсчитываются до  $m_0$ , то галактики следует подсчитывать до  $m_g = m_0 - 1^m$  1 (СНІ) и  $m_g = m_0 - 2^m$  4 (СНІІ).

Подсчеты показали, что частота убывает с увеличением  $m_0$ . Например, частота вспышек сверхновых I типа, вычисленная для  $m_0 = 14^m.0 - v_0$  (14), в 1.6 раза больше частоты  $v_0$ (16) и в 11.7 раза больше частоты  $v_0$ (18). Это вызвано тем, что с увеличением предела подсчета, число обнаруженных сверхновых увеличивается не пропорционально увеличению числа галактик, а гораздо медленнее. Поэтому чем больше предел подсчета, тем больше число пропущенных сверхновых.

Наглядным примером этому могут служить данные табл. 6, где

риведены данные, относящиеся к сверхновым, обнаруженным на Бу-

	-		Таб	лица 6
m <sub>max</sub>	СНБуя	СНдр	СНвсе	Доля
11 <sup>m</sup> 0 12· 0 -13· 0 14· 0 15· 0 16· 0 17· 0 18· 0	1 1 3 5 6 9 11 13	0 0 0 6 15 24 30 38	1 1 3 11 21 33 41 51	1.60 1.00 1.00 0.45 0.28 0.27 0.26 0.25

Числа в последнем столбце показывают долю сверхновых, открытых на Будапештской обсерваторин.

Из табл. 6 видно, что все яркие сверхновые  $m_{\text{max}} \leq 13.0$  были зарегистрированы в Будапеште, однако с увеличением  $m_{\text{max}}$  доля обнаруженных сверхновых сильно уменьшается. Например, для сверхновых ярче  $m_{\text{max}} \leq 18.0$  эта доля составляет всего 0.25. Сходный ре-

вультат получается по данным работы Розино и Туллио [6], где доля обнаруженных в Асиаго сверхновых ярче 15<sup>m</sup> составила 0.39 часть от числа всех сверхновых.

Большей частью это является результатом принятой в настоящее время методики наблюдений и поисков сверхновых, хотя возможны и пропуски имеющихся на снимках сверхновых во время просмотра иластинок [7].

Если вычислить искомую частоту вспышек по всем сверхновым  $(m_0 \le 18^m, 0)$ , то из-за большого числа утерянных сверхновых, она получится заниженной. Поэтому будет вернее вычислить эту частоту только по ярким сверхновым, для которых уверенно можно принять, ито доля пропущенных сверхновых невелика.

Примем, что все сверхновые ярче  $14^m$  были обнаружены. В этом случае в подсчетах используются только 2 сверхновые I типа (см. табл. 4) и всего одна сверхновая II типа. Из-за такой малой статистики частоты вспышек сверхновых определяются с большими относительными ошибками.

Величины  $s_i$  и  $n_g$  (н), входящие в выражение (4'), были подсчитаны по картам отождествления, построенным на основе каталога Цвикки [8].

Окончательно в (4') мы использовали следующие числовые зна-

чения, представленные в табл. 7.

			A TOTAL	Таблица	7
Тип	m <sub>o</sub>	$\frac{n_g(\tau)}{n_g(H)}$	$\sum_{\delta=1}^{125} \frac{N_1}{n_1}$	127 \$\sum_{\delta \sigma 1} \si_1 10 - 0.15 \cosecb_1 *	
1 11	14.0	0·18 0·08	0.13	1090 1090	

<sup>•</sup> b<sub>1</sub>--галактическая широта каждой патрулируемой области.

В результате, для гипотетической галактики нулевой абсолютной яркости имеем:

$$v_0(l) = 1.8 \cdot 10^{-14} \cdot H^3 \text{ ner}^{-1}, \ v_0(ll) = 3.6 \cdot 10^{-14} \cdot H^2 \text{ ner}^{-1}.$$

Подставляя значения уо в выражение (1), находим:

$$v(I) = 1.8 \cdot 10^{-14} \cdot H^{2} \cdot 10^{-0.4M_{g}(H)} \text{ лет}^{-1},$$

$$v(II) = 3.6 \cdot 10^{-14} \cdot H^{2} \cdot 10^{-0.4M_{g}(H)} \text{ лет}^{-1},$$
(7)

где у уже не зависит от постоянной Хаббла.

Таким образом, частота вспышек сверхновых II типа вдвое бол ше частоты вспышек сверхновых I типа. Это отношение не изменяет

при других значениях то (см. табл. 5). В табл. 8 приведены вычисленные на основании формул (7) зн

чения средних промежутков времени между двумя вспышками свер новых T=1/ в годах для галактик различной абсолютной яркост Таблица

Mg	—15 <sup>m</sup>	—16 <sup>m</sup>		-18 <sup>m</sup>	—19 <sup>ra</sup>	-20 <sup>m</sup>	—21 <sup>m</sup>	-22m
T(I)	5600	2200	880	350	·140	55	20	10
T(II)	2800	1100	440	180	70	30	10	5

Обсуждение результатов. Вычислим ожидаемые числа сверхновы в некоторых галактиках и сравним их с наблюдательными данными. В нашей Галактике,  $M_{\rm pg} = -19^{\rm m}.7$  [9], с 1006 по 1604 гг. набли

далось 4 сверхновых, которые, по-видимому, принадлежали к І тип Между тем за 600 лет в ней следует ожидать 8 сверхновых I типа и i сверхновых II типа. Таким образом, ожидаемое число сверхновых типа мало отличается от наблюдаемого числа, чего нельзя сказать сверхновых II типа. Следует отметить, что за последние 370 лет в Га лактике яркие сверхновые не регистрировались, хотя считается, чт образование радиоисточника Кассиопея-А было связано со вспыш кой сверхновой II типа в начале XVIII столетия.

В ближайшей галактике М 31  $M_{pg} = -21$  0 [9] последняя сверх новая была зарегистрирована в 1895 г., в то время как за прошедши после этого 90 лет в ней следовало бы ожидать 4 сверхновых І типа

8 сверхновых II типа.

В других членах Местной группы М 33, NGC 6822 и др. сверхно

вых вообще не наблюдалось.

На 18" телескопе системы Шмидта Паломарской обсерватории систематические наблюдения за яркими галактиками талога ван ден Берга [5], для 36 из них были вычислены математи ческие ожидания появления сверхновых за 4 года (1971-1974). Оказалось, что в этой выборке галактик следовало ожидать за это время 5 сверхновых I типа и 10 сверхновых II типа. Между тем наблюдения дали только одну сверхновую [11]. Этот результат нельзя целиком отнести за счет пропусков сверхновых во время просмотра снимков, так как сверхновые в этих галактиках должны быть довольно яркими.

Таким образом, и здесь, как и в галактиках Местной группы, имеется расхождение наблюденных и ожидаемых чисел. Поэтому следует допустить, что либо для этих галактик наши оценки средней частоты вспышек сверхновых завышены, либо в своей эволюции эти галактики уже прошли стадию активности сверхновых.

С другой стороны, для 9 ярких галактик, видных анфас [12], абсолютные яркости которых были заимствованы из [13]; ожидаемое число вспышек сверхновых (12) оказывается вдвое меньше наблюден-

ного числа (25).

Поэтому, возможно, что полученные нами средние значения частоты вспышек сверхновых, несмотря на большую относительную ошибку, довольно близки к средним истинным частотам вспышек сверхновых.

Рассмотрим галактики типа Sc, в которых сверхновые вспыхивают чаще, чем в галактиках других морфологических типов. Для них нами использованы данные ван ден Берга о классах светимостей га-

лактик, лежащих севернее  $\delta = -10^{\circ}$  [5].

Оказывается, что только в 30% галактик подтипов ScI и ScI—II наблюдались сверхновые, тогда как в других подтипах этот процент составляет только 10. Галактики ScI, кроме того, выделяются и тем, что в 60% галактик, в которых наблюдались сверхновые, открыты 2 и более сверхновые.

Для выяснения вопроса о том, обусловлено ли это повышенной частотой вспышек сверхновых в этих галактиках или их относительной близостью, мы их разделили на две группы по модулю расстояния: ∆ 31.0 и △ 31.1. Для этих групп отдельно в каждом подклассе светимости было подсчитано процентное содержание галактик, имевших вспышки сверхновых (табл. 9).

вспышки сверхновых (табл. 9).
Из табл. 9 видно, что этот процент среди далеких галактик меньще, чем среди близких галактик. Следует отметить, что эти проценты не могут быть очень большими, так как не все галактики наблюдаются

достаточно часто.

Следовательно, надо думать, что большое число сверхновых в этой выборке галактик обусловлено не повышенной частотой, а скорее всего, их относительной близостью.

					Табл	ица 9
		△<31.0			<b>4&gt;31.1</b>	
Тип	Ng	N <sub>g</sub> (CH)	%	Ng	N <sub>R</sub> (CH)	%
ScI ScI—II ScII ScIII—III ScIII ScIII ScIII ScIII ScIII ScIII ScIII ScIV, SIV	15 5 24 11 26 7 27	7 2 4 2 3 2 2	47 40 17 18 11 28 8	12 5 34 7 6 0	1 1 3 1 0 0	8 20 9 14 0 0

Рассмотрим, наконец, близкую группу галактик Sc с ∆ ≤ 31.0. которая наиболее однородна и лучше, по-видимому, патрулируется.

Чтобы облегчить сравнение данных различных подклассов светимостей, выразим число галактик данного подкласса через равнозначное число галактик с абсолютной яркостью  $M_{\rm g} = -20 \, {\rm m} \, 0$ , т. е. пересчитаем скольким галактикам с  $M_{\rm g} = -20 \, {\rm m} \, 0$  соответствует суммарная светимость данного подкласса  $\Sigma L = N_{\rm g} \cdot 10^{-0.4} \, {\rm M}_{\rm g}$ .

$$N_{\rm g}(20) = \frac{N_{\rm g} \cdot 10^{-0.4} \,{\rm M}_{\rm g}}{10^{-0.4(-20)^{\rm m} \,{\rm O})}} = 10^{-0.4 \,({\rm M}_{\rm g} + 20^{\rm m} \,{\rm O})}$$

Подсчитанные таким образом эквивалентные числа галактик приведены в четвертом столбце табл. 10, где приведены также числа сверхновых, которые вспыхнули за 25 лет в соответствующих галактиках, число ожидаемых сверхновых за тот же период, средние числа сверхновых, вспыхнувших в одной галактике, и то же число для одной галактики с  $M=-20\,\mathrm{m}\,\mathrm{O}$  и отношение числа наблюденных и ожидаемых сверхновых.

Данные предпоследнего столбца говорят за то, что удельная

частота вспышек сверхновых в ближайших галактиках Sc не зависит от класса светимости, т. е. число вспышек пропорционально средней светимости данного подкласса.

Интересно, что в этом случае, вычисленные нами ожидаемые числа сверхновых не так сильно завышены, как в предыдущих случаях.

Таблица 10

Класс светимости	M	Ng	Ng(20)	CH <sub>H</sub>	СНож	CH <sub>H</sub> /N <sub>g</sub>	CH <sub>B</sub> /N <sub>g</sub> (20)	CH <sub>II</sub> CH <sub>OX</sub>
ScI ScI—II ScII—III ScIII—IV ScIII—IV ScIV, SIV Всего Среднее	-20 <sup>m</sup> . 4 -19. 6 -19. 4 -19. 0 -18. 5 -18. 3 -17. 4	15 5 24 11 26 7 24 112	22 3 14 4 6 2 2 53	11 2 4 2 3 3 2 28	29 4 18 5 8 3 70	0.73 0.40 0.17 0.18 0.12 0.43 0.08	0.50 0.70 0.28 0.50 0.0 1.5 1.00	0.37 0.52 0.21 0.37 0.37 1.11 0.74

Для более точного вывода средних частот вспышек сверхновых необходимо обработать предложенным методом более богатый наблюдательный материал, например, материал службы сверхновых Паломарской обсерватории, полученный в период с 1959 по 1975 гг., на основании которого было открыто 187 сверхновых [14].

Непродолжительные (5 лет) наблюдения за всеми галактиками типа Scl, возможно, позволят ответить на вопрос обладают ли некоторые из них повышенной частотой вспышек сверхновых или нет.

Авторы выражают благодарность дирекции Будапештской обсерватории за предоставленную возможность использовать наблюдательный материал службы сверхновых, сотруднику лаборатории электроники Бюраканской обсерватории Н. С. Варданян за помощь в вычислениях, академику В. А. Амбарцумяну, профессору Л. В. Мирзояну и М. А. Мнацаканяну за ценные советы и дискуссию.

3 июня 1979 г.

Ռ. Գ. ՄՆԱՑԱԿԱՆՑԱՆ, Ա. Վ. ՕՍԿԱՆՑԱՆ, Մ. ԼՈՎԱՇ

ԳԵՐՆՈՐԵՐԻ ԲՌՆԿՄԱՆ ՄԻՋԻՆ ՀԱՃԱԽԱԿԱՆՈՒԹՅՈՒՆՆԵՐԻ ՄԱՍԻՆ

# Ասփոփում

Հեղինակների առաջարկված մեթիոդով [1] Հաշվված են | և || տիպի գերնորերի բռնկման հաճախականությունները։

8ույց է տրված, որ Sc տիպի գալակտիկանհրում այդ հաճախականությունները ուղիղ համեմատական են ծնող գալակտիկաների միջին լուսատվությանը։

# R. G. MNATSAKANIAN, A. V. OSKANIAN, M. LOWAS ON THE CALCULATION OF THE MEAN FRECUANCY OF SUPERNOVAE.

# Summary

The calculation of the mean frecuency of supernovae I and II types were made with the method was suggested earlier by authores [1].

It is shown that in Sc galaxies the mean frecuency of supernovae re proportional to the mean luminosity of the parent galaxy,

### ЛИТЕРАТУРА

- 11. Р. Г. Мнацаканян, А. В. Осканян, М. Ловаш, Астрофизике, 15, 413, 1979.
- 22. C. T. Kowal, A. J., 73, 1021, 1968.
- 3. G. de Vaucouleurs and A. de Vaucouleurs, RCBG, Texas, 1975.
- 4. W. Backer, Sterne und Sternsysteme, Dresden/Leipzig, DDR, 1950, p. 388.
- 5. S van den Bergh, Pub. D.D.O., vol 11, 6. 1960.
- 6. L. Rosino and G. D. Tullio, Supernova and Supernova Remnants, Dordrecht-Holland/Boston-USA, 1974, p. 19.
- 7. R. G. Mnutsakanlan, IBVS, 785, 1973.
- 8. F. Zwicky, E. Herzog, P. Wild, Catalogue of Galaxies and Cluster of Galaxies, Caltech., Pasadena, 1961.
- 9. К. У. Аллен, Астрофизические величины, М., 1977, стр. 402.
- 10. C. T. Kowal, W. L. W. Sargent and J. Huchra, P.A.S.P., 87, 401, 1975.
- 11. R. Barbon, F. Clatti and L. Rosino, Astron. Astrophys., 25, 241, 1973.
- 12. G: A. Tamman, Supernova and Supernova Remnants, Dordrecht-Holland/Boston-USA, 1974, p. 155.
- 13. A. Sandage and G. A. Tamman, Ap. J., 194, 559, 1974.
- 14. C. T. Kowal, W. L. W. Sargent and J. Huchra, P.A.S.P., 88, 521, 1976.

# О. С. ЧАВУШЯН, Л. К. ЕРАСТОВА, Н. Д. МЕЛИКЯН, М. К. ЦВЕТКОВ, И. ЯНКОВИЧ

# ДВУХЦВЕТНЫЕ НАБЛЮДЕНИЯ ВСПЫХИВАЮЩИХ ЗВЕЗД В АГРЕГАТЕ ПЛЕЯДЫ

В Бюраканской астрофизической обсерватории в течение последних десяти лет ведутся поиски и исследование вспыхивающих звезд в области агрегата Плеяды. В ходе этой работы проводились двухцветные, синхронные или параллельные наблюдения звездных вспышек на 40" и 21" телескопах системы Шмидта. В настоящей статье рассматриваются эти наблюдения.

Наблюдательный материал. Вспышки звезд в области Плеяд были зарегистрированы в двух участках спектра «параллельно» (когда начала экспозиций в двух лучах для каждой точки в цепочке разные) или «синхронно» (когда в двух лучах начала экспозиций точно совпадают) на двух телескопах. На 40" телескопе наблюдения были выполнены в ультрафиолетовых лучах (U) с применением светофильтра Schott UG-1, а на 21" телескопе—в фотографических лучах (Pg) без светофильтра. Были использованы фотопластинки Kodak 103aO и ORWOZU-2. Наблюдения проводились по методике многократных экспозиций.

Результаты первых двухцветных наблюдений, в частности предварительные данные двухцветных наблюдений 21 вспышки, включенных в табл. 1, были уже опубликованы [1—4].

Общее эффективное время всех рассматриваемых ниже наблюде-

ний составляет 103 часа.

В табл. 1 приводятся общие сведения о вспышках, которые наблюдались в двух областях спектра. В ней в последовательных столбцах приведены: номер вспыхивающей звезды по единой нумерации [3], номер по каталогу Герцшпрунга и др. [5] или по каталогу ван Маанена [6], звездные величины в минимуме блеска звезды по [7], амплитуды вспышки  $\Delta m_{\rm u}$  и  $\Delta m_{\rm pg}$ , соответственно в лучах U и  $P_{\rm g}$ , и дата наблюдений по UT.

Результаты наблюдений. Звезды № 467, 472, 475, 476, 478 и 481 как вспыхивающие были открыты во время двухцветных наблюдений. Для них, а также для звезд с неизвестными U, B, V величинами, была дополнительно выполнена U, B, V фотометрия в минимуме блеска (табл. 2). Для звезд № 104, 478 и 481 не удалось определить U величины из-за их слабости.

В табл. 3 приводятся результаты фотометрии всех вспышек, включенных в табл. 1, для каждой измеримой точки в цепочке. Все фотометрические измерения были сделаны либо на микрофотометре

Таблица Г

Лвухцветные	наблюдения	вспыхивающих	звезд	ВО	время	вспышек

<b>№</b>	HII	m <sub>u</sub> (mln)	mpg(min)	7m <sup>n</sup>	7 mbg	Дата (U7
	\$06	18·25	16.99	2.55	1.29	26. X.7
14	500	19.80	18-77	4.80	2.02	24. X-7
23		18.30	17.34	1.40	0.76	10. XII.7
39	vM6	18-61	17-54	2.61	0.90	03- 1-7
47		16.90	15-83	2.98	1.29	03 · XII · 7
55	2411	10.90	10 00	2.60	1.43	19- X-7
00		19.10	17.32	2.30	1.62	24 · X · 7
86		18 · 10	18-53	4.50	3.23	20 · X · 7
104		19.50	18-92	6.10	4.62	20 · X · 7
120			17.94	3.36	2.04	20 · VIII · 7
143		18-86	19.60	6.20	4.90	18 - X - 7
45	0.47		15.41	1 68	0.91	03. XII-7
160	347	16.58	19-08	4.80	4.08	17. XI-7
174		19-29	18-29	2.84	1.81	10. XII.
179		18.95	17.95	3.06	1.03	04 - XII -
196		17-18	15.81	1.32	0.20	17. X.
289			16.53	2.60	0.83	18 · X ·
298		17-40	14.79	1.20	0.49	20 · X ·
306			19.53	5 69	4.43	04 - XII - 7
324		20.53		4.28	2.58	04 - XII-7
326		19-20	18 - 18	3.71	1.50	04. XII-7
				7.60	5.68	22. X.7
		10.10	10.04	2.13	1-04	18. X.
335	1321	18-13	16.94	5.49	5.15	11. IX.
351		19.99	18-99		1-89	03. 1.
369		19.09	18-48	3.45	0.54	25. X
435		16-50	15-24	1.50	3.37	16. X.
167		18-10	17-47	4-10		17. XI.
- 1				3.00	0.87	
472		16.33	15.26	1.73	0.46	
175		18.40	17 - 58	3.40	1.48	18 · X ·
176		18-70	17.72	2.50	0.72	18. X.
<b>178</b>		19.90	18.87	5.60	4.17	24. X.
181		20.50	19.48	5-80	4-78	17. XI-7

Таблица 2
Величины некоторых вспыхивающих звезд в минимуме блеска

N⊵	v	B-V	U—B
298 306 435 567 472 475 489 478	17.33 15.07 13.32 13.75 16-29 13.94 15.88 16.04 17.39 18.43	1.46 1.47 1.49 1.18 1.32 1.70 1.68 1.48	

МФ-2, либо на присовом фотометре «Askania». В табл. З приведены следующие данные: средние моменты каждой экспозиции в цепочке по UT отдельно для каждого телескопа, если наблюдения были «параллельными», и единое, если они были «синхронными», и звездные величины (U) и (Pg) для каждого изображения в цепочке.

Для оценки амплитуд и вычисления собственных цветов (U—P<sub>g</sub>) вспышек вместо величины «P<sub>g</sub>» в минимуме блеска мы использовали величины «В» [7], что допустимо, так как в минимуме блеска для

вспыхивающих звезд разность между этими величинами незначительна. При вычислении собственных цветов в случаях «параллельных» наблюдений была выполнена линейная интерполяция. В табл. 4 и 5 приведены собственные цвета вспышек соответственно для «синхронных» и «параллельных» наблюдений для изображения, включающе-

# Результаты фотометрии в процессе протекания вспышки

	Резу.	льтаты фо	TOMETP	un - 1		96			
14 UT	1.9	m <sub>u</sub>	mpg			22h28m 22 38	h_m	m <sub>um</sub> (17.8 15.8	m pg
23 28 m 23 51	23 53 00 03	(17-5 17-4 16-5	17·0 16·8			22 56 23 06	22 35 22 46 22 56	16·5 16·6	17·3 15·9 15·7
00 01 00 12 00 22 00 33	00 14 00 24 00 35	15.9 15.8 16.6	15.7 16.4 16.5			23 17 23 27 23 38	23 14	16·9 17·6 (17·8	17-3
00 43	00 45 01 02	(17.5	16.6 16.9	-		104 UT	mu	m <sub>pg</sub>	
UT	22 <sup>h</sup> 56 <sup>m</sup>	m <sub>u</sub>	m <sub>pg</sub>			21 57 22 07 22 18	(17.5 15.3 15.0	(17.4 16.8 15.3	
23 06 23 17 23 27	23 14 23 24	(17.5 15.0 16.6	17·1 16·7			22 28 120 U	16-4 T	17·0	m <sub>pg</sub>
23 38 23 48 00 05	23 35 23 45	16·8 17·0 (17·5	(17·5 (17·5			23 16 23 27	23 26 23 36	(17.5 15.6 13.8	(17.4 14.3
UT	m <sub>u</sub>	mpg				23 37 23 56 00 06	23 47 23 57 00 07	15·5 15·6	14.9 15.6 16.5
17 32 m 17 42.5 17 53 18 03.5	(18.0 16.9 17.3 17.7	16-6		1		00 17 00 28 00 38 00 48	00 25 00 35 00 45	16·3 16·3 16·5 16·5	16·5 16·9 16·9
47	277		13	1 1		01 10	00 56 01 06	(17-5	17·0 17·0
UT	mu	mpg				143 UT	mu	mpg	
16 35 16 45 16 55.5 17 06 17 16.5	16.0 16.7 17.2 17.5	16·7 17·6				23 23 23 33 23 43 23 54	(18·0 17·4 15·5 17·1	(19.0 17.5 15.9 16.9	
55	17.0	* II.	-			00 04	(18-0	(18 -0	100
UT	m <sub>u</sub>	mps	7			UT 00h 48m	m <sub>u</sub>	mpg (17m)	1
18 01.5 18 12 18 22.5	16·4 15·5 15·1	15.9 15.0				01 02 01 12 01 22	(17·5 14·4 14·7	14.7	
18 33 18 43.5 19 21 19 31.5	13.9 14.8 15.2 16.1	14·6 14·8	77		1	01 33 01 43	17.3	17 · 5 (17 · 5	
19 42 19 52.5 20 03	16·2 16·4 16·7		1.1			160 UT 18 <sup>h</sup> 01 <sup>m</sup> 5	m <sub>u</sub> 16-4	m <sub>pg</sub> 15.3	
55	11 500	100	-	1		18 12	16.5	15.3	
UT	mu	mp				18 22·5 18 33	14.9 16.1	14.5 15.0	
00 <sup>1</sup> 05 <sup>m</sup>	16.9	15.8				18 43·5 19 21	16·1 16·3	15.5	
00 15	14.3	14.4		1501		19 31-5	16.0		
00 26 00 36 00 46	16·5 16·8 16·9	15-6 15-8				19 42 19 52 · 5 20 03	16·1 16·1 16·6	to le	1

mpg

(17.0 15.0

15-9

(17-0

mu

(17.2

15.3

15.9

16.4

(17.2

mpg

16·4 17·0 16·8

17·3 17·6

mpg

(18-0

17.9 16.9 17.3 16.9

(18-0)

mpg

15.8

15-6

15.8

mpg

16.5 16.1 15.7

16.5

mu

(17.5 15.3 14.8

16-2

(17.5

(18-0

3

ERE II	Продолж	сение так	блицы
306 UT			
	m_	m <sub>pg</sub>	
00 26 00 36	15·9 14·7	14·8 14·3	
00 46 00 57	15-6 15-9	14.5 14.7	
	10-3	1.5.1	-//
324 UT			
h m	m <sub>u</sub>	mpi	3
19 04 19 14	(18·0 14·8	(18 - 15 -	
19 25 19 35	15·6 16·1	16- 15-	
19 56 20 06	16·0 16·6	16- 17-	6
20 16	16.4	17-	3
20 27 20 38	16·6 16·8	17-	
20 48	17-1	(18.	0
326			
UT	mu	m	PR
18 <sup>h</sup> 01 <sup>m</sup> .5	16.9	17	
18 12 18 22 - 5	17-0 17-0	17 16	
18 33 18 43-5	14.9 16.2	16 15	
326			. 11
UT	mu	m <sub>p</sub>	g
18 54 m	(18.0	(18	· 0
19 04 19 14	15.5 16.5	16 16	
19 25 19 35	17.0 17.8	17 (18	-5
326	17.6	(16	_
U	т	mu	mpg
23 <sup>h</sup> 19 <sup>m</sup>		(17.5	
23 33	23 32 23 43	17-3	(17.4 13.6
23 43 23 54	23 53	13.1	12.5
00 04 00 15	00 11	12.8	14-4
00 25	00 21 00 31	14.0	14.9 15.1
00 43 00 53	00 41 00 52	14·6 14·9	15·4 15·4
01 04		15.0	
01 14 01 25	01 10 01 20	15·2 15·7	16·3 16·8
01 39	01 30 01 40	15-9	16·6 16·8
01 45 01 50	01 51	15.7 16.0	17.0
01 56		15.9	
02 01 02 07		16-1 16-2	
0 78, 7	E 80 18	4141	

6	-703

UT

20 46 20 56

21 06

21 26

74

19 30 m

19 48

19 58

20 09 20 19

20 30

17 32 17 42 5

17 53

18 03.5

18 14 18 24-5

18 54 m

19 04 19 14

20 06 20 16

20 27

20 38

UT

23 23 m

00 06

21 20

21 40

298

289

196 UT

179 UT UT

19<sup>h</sup> 30<sup>m</sup>

19 41

19 52

20 02

 $m_{u}$ 

16·4 16·8 17·3

17.9

17-7

 $m_u$ 

(18<sup>m</sup>)

16·7 15·9

16·1 16·7

17-1

17·2 16·8

16.6

(18.0

mu

17.1

16·6 15·7

16·2 16·2 16·5 16·8

17-2

(18-0

# Продолжение таблицы

mu

mpg

335				2	467
U	21 <sup>5</sup> 06 m	m <sub>u</sub>	mpg 16m9		
21 <sup>b</sup> 20 <sup>m</sup>		(175	15.9		20 20
21 40	21 26 21 36	16.0	16.4	- 65	20
21 50 22 01	21 46 21 57	16·4 17·0	16·7 17·0	1	_20
22 11	22 07	17-4	16.9		20
22 21 22 32		17.5 (17.5			-
	1			2 1	472
351		10 3			. 1
	r	mu	mpg		20
00h14m	00h29m	(18m0 14.5	1358		20 21
00 24·5 00 35	00 40	14-7	14.9		1
01 (0 01 10-5	00 53	16·4 17·0	15.8		475
01 21		17-5			
01 31-5		17.7		-76	19
369		- '			19 19
UT	mu	mpg			19
18h08m	(18=0	(17m)			20 20
18 18 - 5	15.6	16-6	5		20
18 30 18 48	16.5	16·9 (17·5			-
-		1	-		476
435					
U	T	mu	mpg		21
22 <sup>h</sup> 36 <sup>m</sup> 22 46	22h43 m	16 <sup>m</sup> 5 16·3	15m3		
22 56	22 53	15.0	14-7		21 21
23 07 23 17	23 04 23 14	15·2 15·8	15·0 15·3		22
23 28	23 25	15-9	15.2		22 22
23 51	23 35 23 53	15-9	15·2 15·1		
00 01 00 12	00 03 00 14	16.2	15.2		478
00 22	00 14	16-2 16-4	15-4		-
00 33		16.2			. 0
467	1 1 1		7		01 <sup>ls</sup>
UT		479			01
19 <sup>h</sup> 24 <sup>m</sup>	mս 14տ8	mpg			r <sub>2</sub>
19 35	14.0	14m 1	20		
19 46 19 56	14.5 15.0	14-6 15-2			481
20 07	15-4	15.6			2011
20 17 20 38	15·5 17·3	15·6 17·2			19h
20 49	17.5	17.5			19
20 59 21 10	17·3 17·6	17-4 17-6			19 5 20 6
21 21	17.8	17 18			20

	UL		pg
43.	20 <sup>h</sup> 02 <sup>m</sup> 20 12	(17 <sup>m</sup> 2	(17m)
20h09m 20 19	20 12	15-5	10.(
20 30		15-1	
20 40	20 40	16-7	16.7
00 E7	20 51	(17-2	(17-0
20 57			
		4 14.	-
472			11.4
·UT	mu	nı	pg
20h45m	16m0	15	n4
20 55	14.6		8.
21 06	16-1	15	· 5 
	11.17 3		417
475			-
Į	JT	mu	mpg
19h18m	. cho.	(17m5	/ 17m /
19 28 19 39	19 <sup>h</sup> 24 <sup>m</sup> 19 34	17·0 15·0	(17m4 16 1
19 49	19 45	16.5	16-5
20 00	19 55	17.5	17-3
20 10		(17-5	/17 4
	20 18		(17-4
	-		-
476			600
U	T	mu	mpg
0 31	21h06m		(17m5
21h20m	91.00	(1755	17.5
21 40	21 26 21 36	16-2	17·5 17·0
21 50	21 46	16-2	17-0
22 01	21 57	17-4	17-5
22 11 22 21	22 07	17.4	(17.6
		(11.0	
470			30
478		37	20
· UT	mu	nipg	700
01h36m	(17m5	(17m5	1900
01 46	14.7	14.9	1100
01 57 02 07	14·3 15·5	14.7 16.0	120
	10 0	10.0	-11
401		-	1 18
481		4	11 1-9
U.		mu	mpg
19h30m		(17m2	100
19 48	19h41m	14.7	(17m0
19 48 19 58	19 52 20 02	14·7 15·9	14·7 15·4
20 09	20 12	16-6	(17.0
20 19		(17-2	
800	700		11 12
	4 - 5		14. 1

о момент максимума блеска и через каждые 10 мин. после него. олько для 4 вспышек благодаря их длительности нам удалось опреелить собственные цвета «вспышечного» излучения в моменты, оталенные от момента максимума более 40 мин. Соответствующие цвеа в эти моменты для длительных вспышек приводятся в табл. 6.

Собственные цвета вспышек определены для наиболее уверенных зображений каждой звезды. Если имелись надежные данные до наксимума вспышки, то определены также значения  $(U-P_{\rm g})$  за 10

инн. до максимума блеска звезды.

Следует отметить, что около максимума блеска цвета вспышек
 большинстве случаев отрицательны со значительным разбросом зна-

пений (см. табл. 4, 5, 6), не зависящим от амплитуд вспышек.

Полученные нами цвета дают представление о том, как изменяются собственные цвета «вспышечного» излучения в период вспышки. Они показывают, что до максимума блеска звезды цвет  $(U-P_{\rm g})$  ногда бывает более «синим», чем в максимуме блеска. После максимума блеска звезды цвета  $(U-P_{\rm g})$  в основном становятся более жкрасными». Встречаются случаи, когда собственный цвет вспышки про «покраснения» претерпевает «посинение».

Таблица 4 Собственные цвета вспышек (U—Pg) по синхронным наблюдениям

₩	Дата (UT)	10 мин (домакс.)	Макс.	10 мин (после макс.)	20 мин (после макс.)	30 мин (после макс.)	40 мин (после макс.)
39 47 55 55 104 143 145 160 179 196 289 306 324 326 326 326 34 472 478	10· XII·72 03· I·73 03· XII·72 20· X·74 20· X·74 20· VIII·72 18· X·74 03· XII·72 10· XII·72 10· XII·72 17· X·74 20· X·74 04· XII·72 03· XII·72 04· XII·72 03· XII·72 04· XII·72	-0 <sup>m2</sup> -1·7 -1·0 -0·2	-0m2 -1·2 -1·0 -0·3 -0·3 -0·5 +0·1 -0·1 -1·4 -1·4 -0·2 -0·3 -2·3 -1·5 -1·2 -0·4	-0m1 -0·4 -0·3 +0·7 -0·8 -0·1 -0·1 +0·9 -0·5 -1·9 +1·1 -0·4 +0·5 -0·6 -0·1 -0·6	+1m1 -0·3 +0·4 -0·6 +0·3 -1·2 -0·3	+0™4 -0·7 -0·3	0 <sup>m</sup> 4 0·6 0·2
Сре	днее	-0.7	-0.8	-0.2	-0.1	-0.2	-0.4

Для иллюстрации на рис. 1 приведены кривые блеска некоторых вспышек с амплитудами—  $\Delta m_u > 5^m$ . Следует заметить, что наблюденные нами амплитуды вспышек меньше реальных примерно на  $1^m$ . О —  $1^m$ . 5 для продолжительных вспышек вследствие большого времени интегрирования [12].

На рис. 2 приведена зависимость между амплитудами  $\Delta$   $m_{\rm u}$  и  $\Delta$   $m_{\rm pg}$  в максимуме блеска звезды. Для построения этой зависимости были использованы результаты наших наблюдений, а также наблюде-

ний [1, 2] для вспыхивающих звезд области агрегата Плеяды.

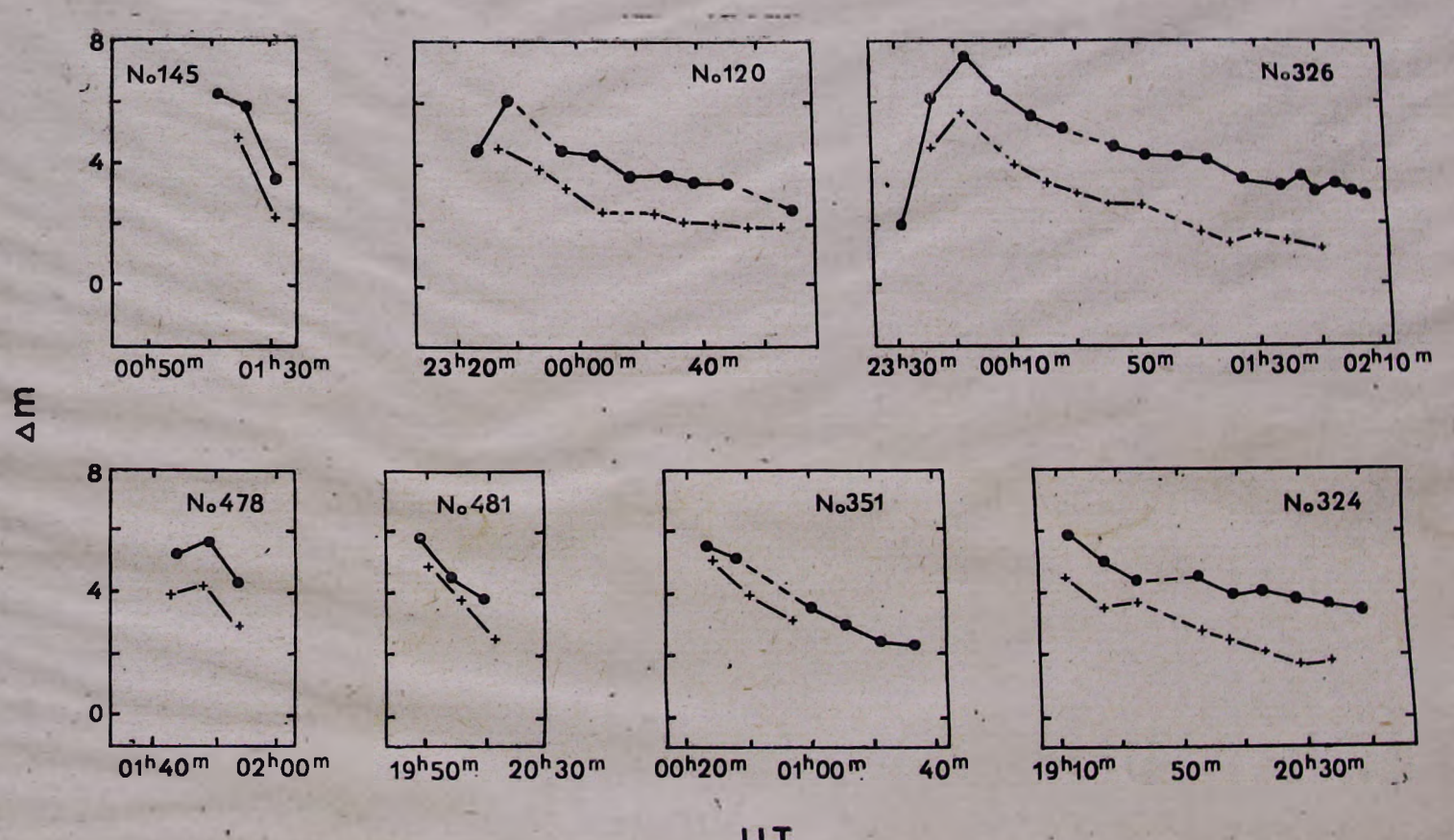


Рис. 1. Кривые изменения блеска некоторых вспышек (табл. 1) с амплитудами в ультрафиолетовых лучах  $\Delta m_u > 5 m_0$ . Точки соответствуют U-лучам, а крестики- $-P_{g^*}$ 

T	n/	1 4		21.	~	5
	-	n	44	ш	"	U

2120     20. X.74       1174     17. X1.74       298     18. X11.74       1826     22. X.74       335     18. X.74       351     11. 1X.72       4435     25. X.74       1475     18. X.74       1476     18. X.74       1476     18. X.74       1476     18. X.74       1471     18. X.74       1476     18. X.74       1476     18. X.74       1477     18. X.74       1481     17. X1.74	30 мин 40 мин (после макс.) макс.)	20 мин (после макс.)	10 мин (после макс.)	Макс.	10 мин (до макс.)	Дата (UT)	N:
286       24. X.74       -0.7       -0.6       -0.1       -0.1         2120       20. X.74       -0.5       -0.5       -0.2       -0.1       -0.1         1174       17. X1.74       -1.6       -1.5       -1.3       -1.3       -1.3       -1.3       -1.0       -1.0         298       18. X11.74       -0.5       -0.9       -0.8       -1.0       -1.0       -1.0         335       18. X.74       -0.5       -0.9       +0.1       +0.1       +0.1         435       25. X.74       -0.8       -0.5       -1.8       -0.4       -0.8       -0.9         4475       18. X.74       -0.2       -1.6       -0.8       -0.9       -0.9         4476       18. X.74       -0.2       -1.3       -1.2       -0.8       -0.9         4481       17. X1.74       +0.5       +0.8       -0.1       -0.3	+0m4	0 <sup>m</sup> 6		- 1	_1m5		
298     18. X11.74     -1.6     -1.5     -1.3     -1.0     -1.0       826     22. X.74     -0.5     -0.9     -0.8     -1.0     -1.0       835     18. X.74     -0.5     -1.4     -2.0     -0.1       4435     25. X.74     -0.8     +0.1     +0.1       4475     18. X.74     -0.3     -1.6     -0.8     -0.9       4476     18. X.74     -0.2     -1.6     -0.8     -0.9       4481     17. X1.74     +0.5     +0.8     -0.1     -0.3	-0·1 _0m3	-0.1	-0.6 -0.2	-0·7 0·5	_10	24· X·74 20· X·74	286 2120
351	-1.0 -0.9	-1.0	-0.8	-1·5 -0·9		18 · XII · 74 22 · X · 74	298 826
167			+0.1	+0.8	- 4	11. 1X.72	851
1481   17. X1.74     +0.5   +0.8   -0.1   -0.3		-0-9	-0.8	-1.6		17. XI.74 18. X.74	1475
	-0.3						
ОСреднее  0.8   -0.8   -0.5   -0.3	-0.3 -0.6	-0.5	-0.8	-0.8	0.8	nee	Срел

Таблица 6

	Co	оственны	е цвета	(U-1'g)	для дл	HICADID.	х вспыш	er	
.№	Дата (UT)	50 мин (после макс.)	(после		(после	(после	100 мин (после макс.)		120 мин (после макс.)
120 324 326 467	20· X·74 04· XII·72 22· X·74 16· X·74	-0 <sup>m</sup> 4 -1·1 -0·8 -0·2	-0 <sup>m5</sup> -1·4 -0·6 -0·7	-0 <sup>m5</sup> -1·2 -1·1	—0™2 —1∙5	+0m3 -1·3	—1m1	—1m0	—1m6
Cpen	цнее	-0.6	-0.8	-0.9	-0.9	-0.5	-1.1	-1-0	-1.6

В общем случае зависимость  $\Delta m_{\mathrm{u}}$  от  $\Delta m_{\mathrm{pg}}$  представляется выражением

$$\Delta m_{\rm u} = 2.5 \, \log[1 + (10^{0.4\Delta m_{\rm pg}} - 1) \cdot 10^{-0.4(C_{\rm f} - C_{\rm x})}],$$

где  $C_{\rm f}=(m_{\rm u}-m_{\rm pg})_{\rm flare}$  и  $C_{\rm x}=(m_{\rm u}-m_{\rm pg})_{\rm min}$  есть показатели цвета вспышки и звезды в спокойном состоянии, соответственно. Сплошная кривая на рис. 2 соответствует значениям  $C_{\rm f}=-0^{\rm m}$  7,  $C_{\rm x}=+1^{\rm m}$  0. Наблюдаемое отклонение от сплошной кривой на этом рисунке обусловлено существующей дисперсией значений разности  $(C_{\rm f}-C_{\rm x})$ .

Сравнение цветов  $(U-P_{\rm g})$  вспышек вблизи максимума с аналогичными цветами (U-B) для звезд типа UV Кита в окрестности Солица [8—11] показывает, что несмотря на существенные различия в методах наблюдений, средние цвета вспышек в обоих случаях довольно близки, хотя существует большая дисперсия в индивидуальных значениях этих величин.

На рис. 3 приведены кривые изменения средних собственных цветов  $U(-P_{\rm g})$  вспышек в агрегате Плеяды и кривая изменения цве-

та  $(U-P_g)$  для одной из мощнейших вспышек  $(\Delta m_u \geqslant 6 \% 5)$  звезды UV Кита [10, 11]. В последнем случае изменение цвета (U-B) представлено двумя кривыми, соответствующими разным временам инте-

Из рис. 3 видно, что ход изменения собственных цветов ( $U-P_{\rm g}$ ) н (U-В) в перпод вспышек почти одинаков. В обоих случаях цвет

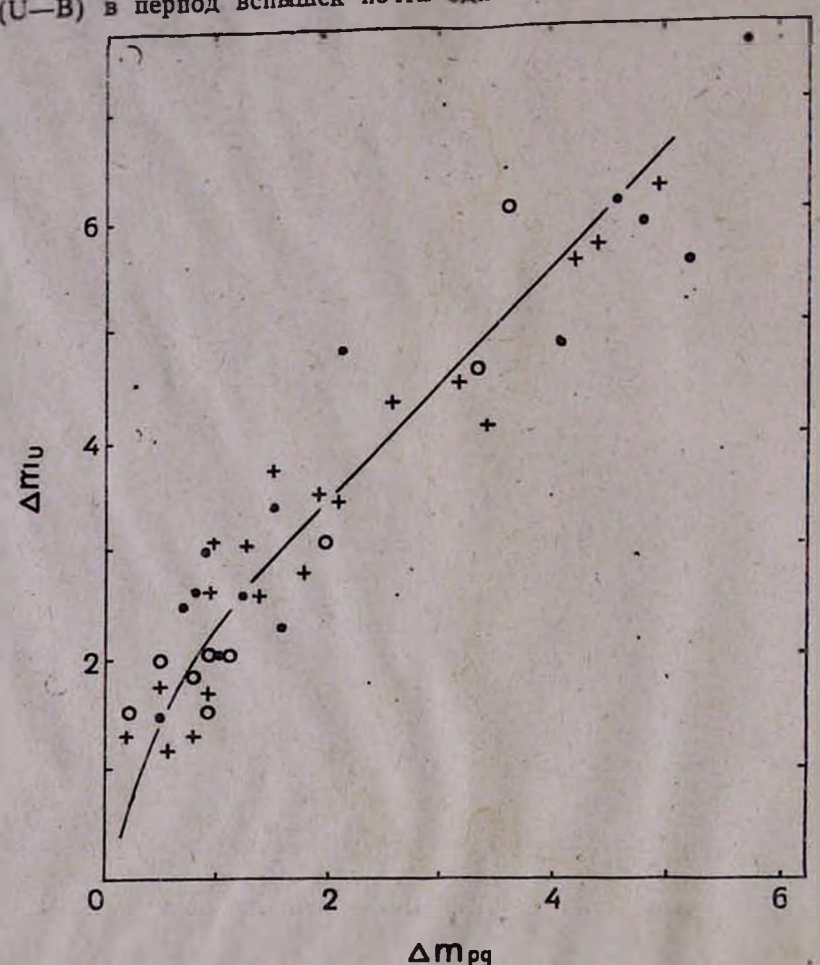


Рис. 2. Зависимость амплитуд  $\Delta m_u$  от  $\Delta m_{pg}$ . Крестиками отмечены результаты наших синхронных наблюдений вспышек, точками-результаты параллельных наблюдений, а кружками отмечены результаты, приведенные в работах [1, 2]. Сплошная кривая представляет собой зависимость, между этими амплитудами в общем случае, при значениях  $C_f = -00$  7  $C_{x} = +1 \text{ m 0.}$ 

вспышки очень «синий» вблизи максимума блеска, а дальше после временного «покраснения» цвета вспышек через 30-40 мин. после максимума блеска становятся «синими». По-видимому, «посинение» собственных цветов вспышек является следствием того, что на кривую блеска основной вспышки накладываются вторичные всплески [11, 12].

Таким образом, двухцветные фотографические наблюдения звездных вспышек в области агрегата Плеяды согласуются с результатами

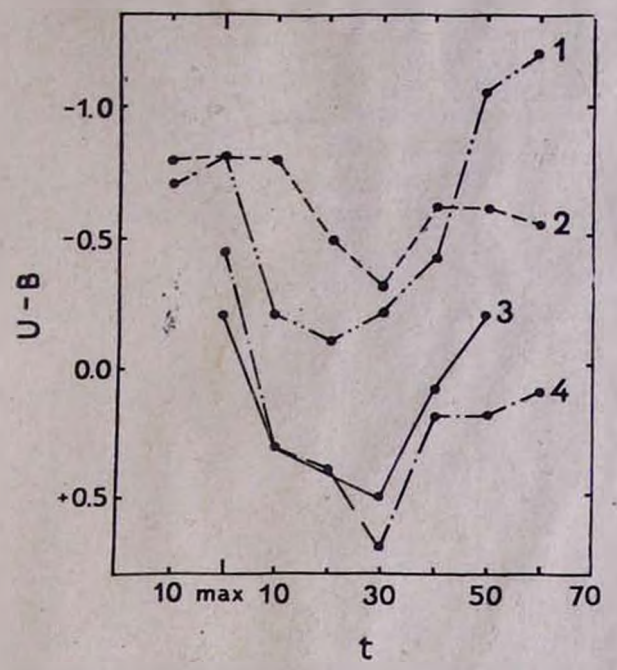


Рис. 3. Кривые измеления средних собствениых цветов (U—P<sub>R</sub>) для вспышек звезд в агрегате Плеяды для синхронных и параллельных наблюдений (см. табл. 4, 5, 6) и кривые изменения собственных цветов (U—B) для одной мощной вспышки звезды UV Кита по [10, 11]. Для наших синхронных наблюдений усреднение выполнено для 19 вспышек, а в случае параллельных наблюдений—для 14. Кривая 1 соответствует синхронным наблюдениям, 2—параллельным наблюдениям, 3—UV Ceti (время интегрирования 10 мии) и 4—UV Ceti (время интегрирования 2 сек).

синхронных U, B, V наблюдений вспышек звезды UV Кита [10, 11] в смысле изменений показателя цвета ( $U-P_{\rm g}$ ) в период вспышки. Этот факт можно рассматривать как дополнительное свидетельство в пользу идентичности природы вспышек вспыхивающих звезд в агрегатах и звезд типа UV Кита в окрестности Солнца.

Авторы выражают благодарность профессору Л. В. Мирзояну за

обсуждение работы и ценные замечания.

23 июля 1979 г.

Հ. Ս. ՉԱՎՈՒՇՅԱՆ, Լ. Կ. ԵՐԱՍՏՈՎԱ, Ն. Դ. ՄԵԼԻՔՅԱՆ, Մ. Կ. ՑՎԵՏԿՈՎ, Ի. ՑԱՆԿՈՎԻՉ

ՔԱԶՈՒՄՔ ԱԳՐԵԳԱՏՈՒՄ ԲՌՆԿՎՈՂ ԱՍՏՂԵՐԻ ԵՐԿԳՈՒՅՆ ԴԻՏՈՒՄՆԵՐ

Ամփոփում

hoերված են բազումքում բռնկումների երկգույն, ուլտրամանուշակագույն (U) և լուսանկարչական ( $P_{g}$ ), դիտումների արդյունքներ։ Դիտումները կա-

տարված են Բյուրականի աստղադիտարանի 40″ և 21″ Շմիդաի դիտակեն ոռվ։ Դիտումների ընդհանուր արդյունավետ ժամանակը 103 ժամ է։ Այդ ընթացքում հայտնաբերված են 33 բռնկումներ, որոնցից 19-ը ուլտրամա նուշակագույն և լուսանկարչական ճառագայթներում գրանցված են ճիչտ միաժամանակ, իսկ 14-ը՝ զուգահեռ։

8ուրաքանչյուր բռնկման համար որոշված են (U--Pg) սեփական գույները։ Բռնկման (U--P) գույների համեմատությունը Արեգակի շրջակայքի UV կետի տիպի բռնկվող աստղերի բռնկման (U--В) գույների հետ, խոսում և шստղային ագրեգատներում և Արեգակի շրջակայքի բռնկվող աստղերի բռնկում. ների բնույթի նույնության օգտին։

H. S. CHAVUSHIAN, L. K. ERASTOVA, N. D. MELIKIAN, M. K. TSVETKOV, I. JANKOVICS

# THE TWO-COLOUR OBSERVATIONS OF FLARE STARS IN THE PLEIADES AGGREGATE

#### Summary

The results of two-colour ultra-violet (U) and photographic  $(P_{\rm g})$  flare observations in the Pleiades are presented. The observations were made with the 40" and 21" Schmidt telescopes of the Byurakan Astrophysical Observatory. The total effective time of observations is 103 hours. During this time 33 flares are detected, from which 19 flares synchronously, and 14 flares-parallel.

For each flare, the own colours  $(U-P_g)$  have been determined. The comparison of flare own colours  $(U-P_g)$  with the flare own colours (U-B) for the UV Ceti type stars near the Sun, showed the identifical nature of flares of flare stars in the aggregates and the UV Ceti type flare stars.

#### ЛИТЕРАТУРА

- 1. Э. С. Парсамян, О. С. Чавушян, Сообщ. Бюраканской обс., 46, 16, 1975.
- 2. Э. С. Парсамян, О. С. Чавушян, Сообщ. Бюраканской обс., 44, 17, 1972.
- 3. В. А. Амбарцумян, Л. В. Мирзоян и др., Астрофизика, 9, 461, 1973.
- 4. Л. В. Мирзоян, О. С. Чавушян и др., Астрофизика, 13, 205, 1977.
- 5. E. Hertzsprung, et al, Ann. Leiden Obs., 19, Nr IA, 1947.
- 6. A. van Maanen, Ap. J., 102, 26, 1945.
- 7. О. С. Чавушян, А. Т. Гарибджанян, Астрофизика, 11, 565, 1975.
- 8. W. E. Kunkel, Ap. J., 161, 503, 1970.
- 9. T. J. Moffett, Ap. J., Suppl. Ser., 29, Nr 273, 1974.
- 10. Н. Н. Килячков, Н. Д. Меликян, Л. В. Мирзоян, В. С. Шевченко, Астрофизика, 1979, в печати.
- 11. Н. Н. Килячков, Н. Д. Меликян, Л. В. Мирзоян, В. С. Шевченко, Астрофизика, 1979, в печати.
- 12. Л. В. Мирзоян, Труды Симпозиума 1979, в печати.

# ИССЛЕДОВАНИЕ ФОТОМЕТРИЧЕСКОЙ СИСТЕМЫ 2.6-МЕТРОВОГО ТЕЛЕСКОПА БЮРАКАНСКОЙ АСТРОФИЗИЧЕСКОЙ ОБСЕРВАТОРИИ

В 1978 г. в прямом фокусе 2.6-метрового телескопа Бюраканской строфизической обсерватории были начаты фотографические наблюдения в системе, близкой к системе UBV. Для воспроизведения цвенных полос в соответствии с имеющимися рекомендациями использовались следующие комбинации эмульсий и фильтров:

и- Kodak 103 aO + УФС-3 (2 мм),

b-Kodak 103 aO+GG-13 (2.5 мм) или Kodak 103 aO+БС-8(3мм),

v-Kodak 103 aD+ЖС-18 (2 мм).

В этой заметке сообщается о результатах исследования связи между истемой ubv. осуществляемой с помощью этих комбинаций, и стан-

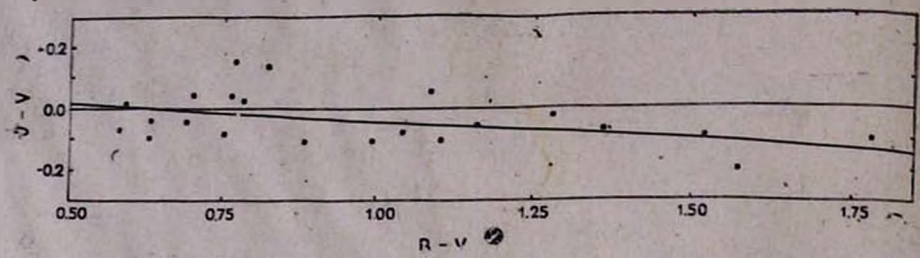
дартной системой UBV.

Наблюдательный материал (снимки скопления NGC 1778, для которого в [1] имеются UBV данные), полученный весной 1978 и 1979 гг., включает 6 снимков в цвете и, 11 снимков в цвете b (6 с фильтром GG-13 и 5 с фильтром БС-8) и 6 снимков в цвете v. В скоплении NGC 1778 имеется достаточное для построения характеристической кривой количество звезд с малыми показателями цвета при общем интервале показателей цвета от 0.25 до 1.80 в В—V и от — 0.15 до 1.75 в U—В.

(Измерения были выполнены на микрофотометре МФ-2 Астрономической обсерватории Ленинградского университета и ирисовом микрофотометре Бюраканской обсерватории. Всего измерялось около 30 звезд. Для перехода от почернений к звездным величинам использовались характеристические кривые, построенные по звездам с малыми показателями цвета. Затем разности между величинами ubv, найденными после усреднения по всем пластинкам, и величинами UBV сопоставлялись с показателями цвета в UBV системе. Из рассмотрения графиков, дающих эти зависимости (один из них для примера приведен на рисунке), можно заключить, что связи эти линейны. Уравнения связей, найденные способом наименьших квадратов, таковы:

$$u-U$$
=0.079  $(U-B)$ -0.029  
 $\pm 0.033$   $\pm 0.023$   
 $b-B$ =-0.027  $(B-V)$ -0.015 (c GG-13)  
 $\pm 0.056$   $\pm 0.059$   
 $b-B$ =0.027  $(B-V)$ -0.025 (c BC-8)  
 $\pm 0.033$   $\pm 0.032$   
 $v-V$ =-0.116  $(B-V)$ +0.072  
 $\pm 0.050$   $\pm 0.051$ .

Видно, что цветовое уравнение для полосы b мало в обеих комбинациях: соответствующий коэффициент не превышает 0.03 и оказывается меньше, чем ошибки его определения. Наибольший коэффициен (—0.116) получается в цвете V, что естественно объясняется несов падением красной границы чувствительности эмульсии 103аD красной границей полосы V.



Проведенное исследование показывает, что цветовая система ubv осуществленная указанным способом на телескопе 2.6 метра, вполн удовлетворительно согласуется со стандартной системой UBV.

9 апреля 1979 г.

Бюраканская астрофизическая обсерватория Ленинградский государственный университет.

Ա. Ս. ԱՄԻՐԽԱՆՑԱՆ, Ի. Ի. ՊՈՊՈՎ

ՔՑՈՒՐԱԿԱՆԻ ԱՍՏՂԱԴԻՏԱՐԱՆԻ 2,6 Մ ԴԻՏԱԿԻ ԼՈՒՍԱՉԱՓԱԿԱՆ ՍԻՍՏԵՄԻ ՈՒՍՈՒՄՆԱՍԻՐՈՒԹՅՈՒՆԸ

## Ասփոփում

Բերված են Բյուրականի աստղադիտարանի 2,6 մ աստղադիտակի լուսա չափական սիստեմի և UBV-սիստեմի միջև եղած կապի ուսումնասիրությա արդյունջները։

A. S. AMIRKHANIAN, I. I. POPOV.

THE INVESTIGATION OF THE BYURAKAN OBSERVATORY 2,6M
TELESCOPE PHOTOMETRIC SYSTEM

# Summary

The investigation's results of the connection between photometric system of the Byurakan observatory 2,6-m telescope and UBV-system are given.

#### ЛИТЕРАТУРА

1. A. A. Hoag, H. L. Johnson, B. Irlarte, R. I. Mitchell, K. L. Hallam, S. Sharpless, Publ. US Naval Obs., 17, part VII, 1961.

Г. В. АБРАМЯН, Л. Г. АХВЕРДЯН, Р. А. ВАРДАНЯН, Г. А. ПОГОСЯН

# О ПОЛЯРИМЕТРИЧЕСКИХ И ФОТОМЕТРИЧЕСКИХ НАБЛЮДЕНИЯХ В ФОКУСЕ НЕСМИТА 2.6-МЕТРОВОГО ТЕЛЕСКОПА БЮРАКАНСКОЙ АСТРОФИЗИЧЕСКОЙ ОБСЕРВАТОРИИ

С целью исследования фотометрических и поляриметрических хачактеристик электрофотометра Бюраканской обсерватории [1], смонтированного в фокусе Несмита 2,6-метрового телескопа, были проведены наблюдения фотометрических (UBV) и поляриметрических

стандартов.

В августе 1977 г. были проведены наблюдения 22 звезд скопления NGC 6882/5 [2]. Список наблюденных звезд с фотометрическими данными приведен в табл. 1. Используя результаты наблюдений этих звезд, были получены коэффициенты перехода  $A_{\rm V}$ ,  $A_{\rm B-V}$ ,  $A_{\rm U-B}$  от инструментальной системы к системе UBV посредством уравнений [3]:

$$\Delta V = \Delta v - k_{v}^{*} \Delta (b - v) F(Z) + A_{v} \Delta (B - V)$$

$$\Delta (B - V) = A_{B - V} [1 - k_{bv}^{*} F(Z)] \Delta (b - v)$$

$$\Delta (U - B) = A_{U - B} [1 - k_{ub}^{*} F(Z)] \Delta (u - b),$$

где  $\Delta V$ —разность звездных величин, а  $\Delta (B-V)$  и  $\Delta (U-B)$ —разности показателей цвета звезд скопления NGC6882/5 в системе UBV;  $\Delta v,$   $\Delta (b-v),$   $\Delta (u-b)$ —соответствующие величины в инструментальной системе. Вторичные коэффициенты экстинкции  $k_v$ ,  $k_{bv}$  и  $k_{ub}$  были определены из наблюдений звезд N 1 и 5 того же скопления.

В табл. 2 приведены значения коэффициентов  $A_V$ ,  $A_{B-V}$ ,  $A_{U-B}$ ,  $k_{\nu}^*$ ,  $k_{bv}^*$ ,  $k_{ub}^*$ , из которых видно, что инструментальная цветовая система близка к системе UBV.

Диагональное плоское зеркало системы Несмита линейно поляризует отраженный свет. Поэтому для поляриметрических наблюдений

необходимо иметь значение инструментальной поляризации.

При определении инструментальной поляризации использовался метод, описанный в работе [4]. В качестве поляриметрических стандартов наблюдались звезды с большой поляризацией из списков [5] и [6], приведенных в табл. З. Кроме того, наблюдались звезды с малой поляризацией из списка, приведенного в работе [7].

С помощью уравнений

$$q' = A_1 q + B_1 u + C_1$$

$$u' = A_2 q + B_2 u + C_2$$
(1)

были определены коэффициенты  $A_1$ ,  $B_1$ ,  $C_1$ ,  $A_2$ ,  $B_2$ ,  $C_2$ , где q', u' — значения безразмерных параметров Стокса для звезды в инструментальной системе, а q и u—в каталожной.

Используя эти коэффициенты, была определена инструментальная поляризация и поправка нуль-пункта отсчетов позиционного угла преимущественных колебаний электрического вектора с помощью следующих уравнений:

$$q = A_1 q' + B_1 u' + C_1$$
  
 $u = A_2 q' + B_2 u' + C_2$ 

где  $A_1$ ,  $B_1$ ,  $C_1$ ,  $A_2$ ,  $B_2$ ,  $C_2$ , — коэффициенты обратного преобразования, связанные с коэффициентами уравнений (1) следующими соотношениями:

Номер звезды	V	B-V	U—В
1 2 4 5 6 8 9 10 11 12 14 15 16 17 19 20 21 26 27 30 31 50	5 49 5.53 7.60 8.68 9.18 9.26 9.42 9.55 9.57 9.76 9.87 9.88 10.23 10.33 10.35 10.51 10.53 10.60 10.72	1"41 0.08 -0.10 -0.09 1.12 0.48 0.28 0.36 1.23 0.41 1.13 1.84 0.63 0.60 0.44 0.16 0.15 1.06 0.35 0.21 1.36 1.10	1"50 0,13 -0,55 -0,39 1,11 -0,03 0,07 0,18 1,29 0,06 0,99 1,90 0,15 0,15 0,13 0,25 0,11 0,88 0,07 0,14 1,31 0,98

$$A_{1}' = \frac{B_{2}}{\Delta}, \quad A_{2}' = -\frac{A_{2}}{\Delta}, \quad B_{1}' = -\frac{B_{1}}{\Delta}, \quad B_{2}' = \frac{A_{1}}{\Delta}$$

$$C_{1}' = \frac{C_{2}B_{1} - B_{2}C_{1}}{\Delta}, \qquad C_{2}' = \frac{A_{2}C_{1} - A_{1}C_{2}}{\Delta},$$

$$\Delta = A_{1}B_{2} - A_{2}B_{1}$$

Значения А1, В1, С1, А2, В2, С2 приведены в табл. 4.

Степень инструментальной поляризации Р и позиционный угол в полосах U, B, V приведены в табл. 5.

					Таблица 2
A <sub>V</sub>	A <sub>B-V</sub>	A <sub>U-B</sub>	K,	κ <sub>bv</sub>	Kub
-0.03±0.04	0.97+0.01	1.10±0.01	-0.04±0.01	0.01+0.01	0.02-1-0.01
	G 11				

13 1 1 1 1 1 1	SET IN	BITTLE C	3/1-	100	3 18	Таблица З
Звезда	Pu%	e,	P <sub>B</sub> %	θ <sub>a</sub>	P <sub>v</sub> %	e <sub>v</sub>
46 Boo BD+18°4085 55 Cyg P Cyg BD+37°3879 BD+59°3420 BD+59°260 BD+57°399	0,62 5,18 2,33 1,40 1,71 2,12 2,67 3,94	87 0 1,3 38 74 56 103,6 94,5	0,62 5,68 2,68 1,50 1,84 2,23 2,90 4,31	91 1,4 35 43 - 59 104,2 94,4	0.60 6.08 2.88 1.39 1.70 2.12 3.01 4.60	83 1 2,0 37 52 59 105,1 94,1

	All Toler	- Making Mile	Таблица 4
	U	В	v
A <sub>1</sub> B <sub>1</sub> C <sub>1</sub> A <sub>2</sub> B <sub>2</sub> C <sub>2</sub>	0,14±0,16 1,05±0,15 0,29±0,45 -0,97±0,11 0,40±0,29 2,29±0,29	0,11±0,10 1,15±0,25 0,17±0,29 -1,00±0,04 0,45±0,11 2,54±0,13	0,09±0,07 0,97±0,20 0,13±0,23 -1,02±0,04 0,26±0,10 3,06±0,11
12	100	1000	Таблица 5
4.	U	В	v
P %	2.21	2,40	3.00

В период наших наблюдений выяснилось, что регистрируемый фон в шесть раз больше ожидаемого при данной светосиле (1:15,8) телескопа 2,6 м в фокусе Несмита. Оказалось, что плоское зеркало системы Несмита отражает прямое изображение неба, которое и увеличивает фоновое излучение. Данный эффект устранялся с помощью диафрагмы (d=50 мм), устанавливаемой на расстоянии 81 см от фокальной плоскости системы Несмита.

12 ноября 1978 г.

Հ. Վ. ԱԲՐԱՀԱՄՅԱՆ, Լ. Գ. ՀԱԽՎԵՐԴՅԱՆ, Ռ. Ա. ՎԱՐԴԱՆՅԱՆ, Հ. Ա. ՊՈՂՈՍՅԱՆ

ԲՅՈՒՐԱԿԱՆԻ ԱՍՏՂԱԴԻՏԱՐԱՆԻ 2,6 ՄԵՏՐԱՆՈՑ ԱՍՏՂԱԴԻՏԱԿԻ ՆԵՍՄԻՏԻ ՖՈԿՈՒՍՈՒՄ ԿԱՏԱՐՎՈՂ ԲԵՎԵՌԱՉԱՓԱԿԱՆ ԵՎ ԼՈՒՍԱՉԱՓԱԿԱՆ ԴԻՏՈՒՄՆԵՐԻ ՄԱՍԻՆ

# Ամփոփում

Աշխատանքում բերված են Բյուրականի աստղադիտարանի 2,6 մետրանոց աստղադիտակի Նեսմիտի ֆոկուսում տեղակայված էլեկտրալուսաչափի լուսաչափական հայտանիշները։ Չափված է Նեսմիտի ֆուկուսում գործիքային բևեռացման արժեքը (աղ. 5)։ Ցույց է տրված, որ լուսաչափի գործիքային գունային սիստեմը բավականաչափ մոտ է միջազգային UBV սիստեմին (աղ. 2)։

H. V. ABRAHAMIAN, L. G. HAKHVERDIAN, R. A. VARDANIAN, H. A. POGOSSIAN

ON THE POLARIMETRIC AND PHOTOMETRIC OBSERVATIONS AT THE NESMITH FOCUS OF THE 2,6 M TELESCOPE OF THE BYURAKAN OBSESVATORY

# Summary

The photometric parameters of a photoelectric photometer mounted on the Nesmith focus of the 2,6 meter telescope of the Byurakan obser-

vatory are given. It is showen, that the instrumental ubv colour is close to the international UBV system (table 2).

#### ЛИТЕРАТУРА

1. К. А. Григорян, Сообщ. Бюраканской обс., 27, 55, 1959.

 A. A. Hoag, H. L. Johnson, B. Iriarte, R. I. Mitchell, K. L. Hallam, S. Sh. Naval Obs. Publ., ser. 2, 17, 343.

3. X. Харди, «Методы астрономии», 1967. М., стр. 157.

4. Н. М. Шаховской, Ю. С. Ефинов, Изв. КрАО, 45, 90, 1972.

5. G. V. Coyne. T. Gehrels, Astron. J., 71, 355, 1966.

6. G. V. Coyne, T. Gehrels, Astron. J., 72, 887, 1967.

7. N. R. Walborn, PASP, 80, 162, 1968.

#### м. А. ЕРИЦЯН

### СПЕЦИФИКА ПОЛЯРИМЕТРИЧЕСКИХ НАБЛЮДЕНИИ ВСПЫХИВАЮЩИХ ЗВЕЗД ВО ВРЕМЯ ВСПЫШЕК

#### 1. Постановка задачи

Звездные вспышки—наиболее быстротечные из известных нам ооцессов, происходящих в звездах, и если к тому же добавить, что ин обычно наблюдаются у звезд очень низкой светимости, то станет сно, почему получение надежных наблюдательных данных (поляристрических. спектрофотометрических и колориметрических) всегда вязано с серьезными методическими и техническими трудностями.

Практически невозможно выполнить наблюдения вспышек с догаточно коротким временем интегрирования по сравнению со скоостью протекания процесса вспышки и сравнимыми по точности издерения с точностью, достигаемой при наблюдениях с большим вреченем интегрирования. Поэтому все типы наблюдений вспышек всега осуществляются со значительными потерями информации. Отсюда ледует, что при организации наблюдений вспыхивающих звезд во вретя вспышек, важнейшей задачей является нахождение и применение акой методики наблюдений, которая была бы оптимальной с точки прения получаемой информации о вспышке.

Настоящая работа посвящена нахождению оптимальной методиполяриметрических наблюдений вспыхивающих звезд во время

зспышек.

Измерсние поляризации света звезд, как правило, сводится к измерению небольших разностей в интенсивности света, пропущенного апализатором при его различных положениях, если, конечно, свет является поляризованным.

Напомним, что при поляризованном излучении вспышки изменение интенсивности излучения источника накладывается на изменение интенсивности, возникшее из-за вращения анализатора. Поэтому изменение блеска исследуемого объекта может явиться источником серь-

езных ошибок измерения поляризации данного объекта.

Как известно из наблюдательных данных [1—12], значение поляризации света звезд не превышает нескольких процентов. Отсюда следует, что для надежного измерения поляризации света звезды необходимо, чтобы его интенсивность не менялась более чем на 0.1% в течение по крайней мере одного цикла наблюдений. Учитывая, что скорость изменения блеска звезды во время вспышек находится в пределах 0.004—0 11. 94 сек 11, нетрудно видеть, что для избежания влияния изменения блеска звезды на поляриметрические измерения нужно, чтобы продолжительность одного цикла измерений была меньше одной секунды. Но при этом измерение поляризации становится практически невозможным из-за значительного ухудшения отношения сигнала к шуму, если конечно речь идет об объектах низкой светимости, какими являются звезды типа UV Кита. Влияние случайных ошибок при быстром вращении анализатора можно уменьшить, если зна-

чения поляризации, полученные при каждом повороте анализатор усреднять в течение некоторого промежутка времени. Но в таком слечае надо предположить, что степень и плоскость поляризации свезвезды остаются постоянными в течение всего интервала усреднени

# 2. Фурье-анализ кривых блеска вспышек

Из сказанного выше следует, что поляриметрические наблюдени вспышек вспыхивающих звезд нужно осуществлять при помощи полуриметров, имеющих быстровращающиеся анализаторы. При изготолении поляриметра подобного типа необходимо предварительно поробно исследовать все те обстоятельства, которые возникают во вримя наблюдений и воздействуют на точность измерения поляриметри

ческих наблюдений вспышек.

С этой точки зрения очень важным является выбор скорости вр щения анализатора. Поскольку при вспышках скорость изменения и тенсивности излучения вспыхивающих звезд, как отмечено выше, д вольно велика, то скорость вращения анализатора (т. е. частоту мод ляции поляризованного света) нужно выбрать так, чтобы быстрое и менение интенсивности излучения при одном поляриметрическом на блюдении не искажало результатов наблюдений и не регистрировалась бы фиктивная поляризация. Чтобы полностью ответить на это вопрос, необходимо функцию R(t), характеризующую кривую блеск вспышки, представить рядом Фурье и определить, начиная с каког члена ряда (при какой частоте) значением его амплитуды можно при небречь с точки зрения нашей задачи. Эта задача частично была решена нами для нисходящей ветви кривой блеска вспышки. [13], здесь приведено решение для всей кривой блеска вспышки.

Представим функции R(t) через частотный спектр (интеграл Фурье) [14]. Как известно, спектральная плотность мощности в функ

ции частоты может быть вычислена по формуле

$$\Phi(\omega) = \frac{2}{\sqrt{2\pi}} \int_{0}^{\infty} R(t) \cos(\omega t) dt, \qquad (1$$

представляющей преобразование Фурье от функции R(t). Изменение интенсивности излучения звезды при вспышке, как было отмечено в работе [15], можно представить суперпозицией двух независимых компонентов—«быстрого» и «медленного» (рис. 1).

Аналитические формы этих кривых для решения данной задачи

приблизительно можно описать следующим способом:

$$R_{1}(t) = A_{1} - B|t|$$

$$R_{2}(t) = A_{2}e^{-kt}$$
(2)

где параметры В и K находятся из графика R(t). Преобразования Фурье-функций  $R_1(t)$  и  $R_2(t)$  будут:

$$\Phi_{1}(\omega) = \frac{2}{\sqrt{2\pi}} \int_{0}^{\infty} (A_{1} - B|t|) \cos(\omega) dt$$

$$\Phi_{2}(\omega) = \frac{2}{\sqrt{2\pi}} \int_{0}^{\infty} A_{2}e^{-kt} \cos(\omega t) dt.$$
(3)

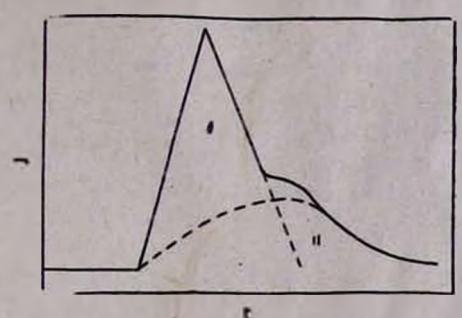


Рис. 1. Общий вид кривой блеска вспышки звезды

Интегрируя эти уравнения, получаем:

$$\Phi_{1}(\omega) = \frac{A_{1}}{\sqrt{2\pi}} T_{1} \left( \frac{\sin \frac{\omega T_{1}}{2}}{\frac{\omega T_{1}}{2}} \right)^{2}$$

$$\Phi_{2}(\omega) = \frac{A_{2}}{\sqrt{2\pi}} T_{2} \cdot \frac{1}{1 + (\omega T_{2})^{2}}$$
(4)

де  $T_1=I/B$ ,  $T_2=I/k$ . Функции  $\phi_1(\omega)$ ,  $\phi_2(\omega)$  являются значениями сигналов для данной частоты  $\omega$ . A при  $\omega \to 0$  эти функции принимают сленующие значения:

$$\Phi_{\mathbf{1}}(0) = \frac{A_{\mathbf{1}}}{\sqrt{2\pi}} \cdot T_{\mathbf{1}}$$

$$\Phi_{\mathbf{2}}(0) = \frac{A_{\mathbf{2}}}{\sqrt{2\pi}} \cdot T_{\mathbf{2}}$$
(5)

ледовательно,

$$G_{1}(\omega) = \frac{\Phi_{1}(\omega)}{\Phi_{1}(0)} = \left(\frac{\sin \frac{\omega T_{1}}{2}}{\frac{\omega T_{1}}{2}}\right)^{2}$$

$$G_{2}(\omega) = \frac{\Phi_{2}(\omega)}{\Phi_{2}(0)} = \frac{1}{1 + (\omega T_{2})^{2}}$$
(6)

Поскольку действие функций  $G_1(\omega)$  и  $G_2(\omega)$  на результаты наблюдений проявляется одновременно в суммарном виде, то можно написать:

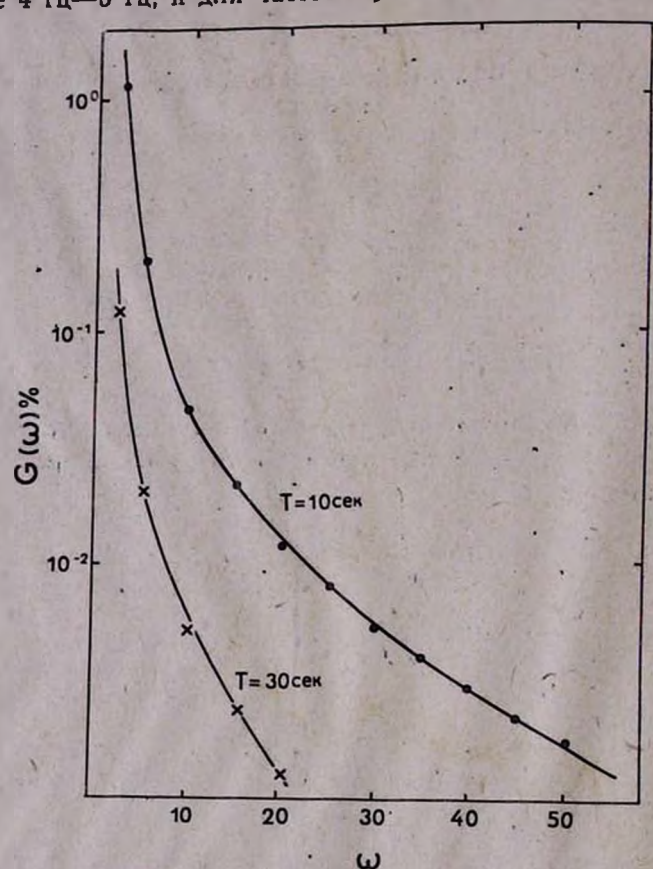
$$G(\omega) = G_1(\omega) + G_2(\omega). \tag{7}$$

Считая, что  $(\omega T)^3\gg 1$ , и использовая только значение максимума  $G_1(\omega)$ , уравнение (7) примет следующий простой вид: 7—703

$$G(\omega) = \frac{5}{(\omega T)^2},$$

что представляет собой относительные величины сигнала для данн

частоты  $\omega$ . Графики функций  $G(\omega)$  при T=10 сек и T=30 сек приведен на рис. 2. Из рисунка хорошо видно, что в спектре вспышки основно вклад создается низкими частотами ( $\omega$ <2 гц). Действительно, вклад создается низкими частотами ( $\omega$ <2 гц). Действительно, вклад создается низкими частотами ( $\omega$ <5 гц). Действительно, вклад частот в интервале 1 гц—2 гц в 8—10 раз больше вклада частот интервале 4 гц—5 гц, и для частот  $\omega$ >5 гц значение  $G(\omega)$  резко п



Рвс. 2. Завысямость относительной величины сигнала от частоты модуляции света для данной продолжительности вспышки (T=10 сек, 30 сек)

дает и становится значительно ниже предела чувствительности изме

рительного прибора.

Следует отметить, что величина  $G(\omega)$ , которая характеризуемеру влияния изменения блеска звезды на поляризационные измерення, может стать значительной для частот  $\omega \gg 5$  гц, если продолжи тельность вспышки весьма мала— $T \ll 1$  сек. Но подобного типа вспышки невозможно регистрировать нашей аппаратурой, и тем более невозможно регистрировать параметры ее поляризации. Очевидно, что значения  $G(\omega)$  зависят от выбора аналитического вида функций  $R_1(t)$  и  $R_2(t)$ .

• Несмотря на то, что аналитические выражения этих функций приты приблизительно, особенно для функции  $R_1(t)$ , можно сказать, о полученные выше значения  $G(\omega)$  не изменятся значительно при угих аналитических выражениях для функций  $R_1(t)$  и  $R_2(t)$ .

#### 3. Выбор частоты модуляции света звезды

Из наших расчетов, приведенных выше, следует, что если аналитор за секунду сделает не менее двух оборотов (т. е.  $\omega_0 > 4$ гц), то жая скорость вращения анализатора достаточна, чтобы изменение итенсивности света звезды во время вспышки не искажало значений праметров поляризации. Однако следует отметить, что при модулянии света низкими частотами ( $\omega_0 > 5$  гц) величина атмосферных шусов бывает максимальной [16—19]. Эти шумы при значении  $\omega_0 > 50$  гц амного меньше, чем при  $\omega_0 \le 10$  гц и почти исчезают при  $\omega_0 > 500$  гц. пость, а именно: коэффициент усиления для переменного компонента ототока будет зависеть также от паразитной емкости входной цепи вмерительной системы.

При учете паразитной емкости коэффициент усиления для пере-

сниого компонента фототока будет иметь следующий вид [20]:

$$K = SR_{\rm BX} \cdot 1/\sqrt{1 + (\omega_0 C_{\rm II} R_{\rm BX})^2}, \qquad (9)$$

де S—крутизна входной лампы измерительной системы,  $R_x$ — входое сопротивление усилителя,  $\omega_0$  —частота модуляции света и  $C_n$ — умма паразитной емкости на входе усилителя ( $C_n$ =5 ·  $10^{-11}F$ ). Как идно из формулы (9), для постоянного компонента фототока ( $\omega_0$ =0) оэффициент усиления K растет линейно с увеличением  $R_{\rm Bx}$ . Для печеменного компонента фототока величина K не увеличивается линейно при увеличении  $R_{\rm Bx}$ . Тем болес, при  $\omega_0$ >100 гц и  $R_{\rm Bx}$  > 100 Мом начение K начинает все более убывать с увеличением значений  $\omega_0$ 

 $R_{\rm Bx}$ . При обработке результатов наблюдений необходимо учитывать эти обстоятельства, что не во всех случаях удается полностью осуществить. Для избежания этого и для большой точности редукции тучше всего выбрать такие значения  $\omega_0$  и  $R_{\rm Bx}$ , чтобы имело место следующее неравенство

$$(\omega_0 C_{\pi} R_{\text{nx}})^2 \ll 1, \tag{10}$$

при котором уравнение (9) принимает следующий простой вид

$$K = S R_{nx}. \tag{11}$$

Цля поляриметрических наблюдений звезд слабее 9-й величины при использовании 16" телескопа требуется использовать сопротивление  $R_{\rm ex} \gg 100$ Мом, но для выполиения вышеприведенных условий (10) и (11), т. е. для использования больших входных сопротивлений, необходимо выбрать частоту модуляции света в пределах  $\omega_0 \leqslant 10$ гц, а при таких значениях  $\omega_0$  атмосферные шумы, как сказано выше, сильно возрастают.

Итак, требование уменьшения воздействия атмосферных шумов противоречит требованию использования больших входных сопротивлений. Исходя из этого, целесообразно выбрать значение частоты модуляции в пределах 20 гц ≤ ω₀ 30 гц, при которых, с одной стороны, не велико влияние мерцаний звезды, а с другой стороны, до значения

 $R_{\rm Bx} = 10^9$ ом условие (10) полностью сохраняется.

Имея в виду все вышесказанное, в Бюраканской обсерваторив был изготовлен электрополяриметр, работающий по принципу модуляции света со значением частоты модуляции света со значением частоты модуляции света со значением частоты модуляции света со определения ет отметить, что приведенные соображения относительно определения величины со относятся к методу непосредственного измерения, где величины с относятся к методу непосредственного измерения, где применяется усилитель постоянного тока. А для использования метода счета импульсов [28] значение с можно взять больше (≥1 кгц)

# 4. Выбор времени интегрирования поляриметрических наблюдений вспыхивающих звезд

Рассмотрим теперь вопрос о времени интегрирования (усреднения) для одного поляризационного наблюдения вспыхивающей звезды во время вспышки.

При выборе времени интегрирования необходимо учесть следую-

щие обстоятельства:

1) продолжительность изменения яркости звезды;

2) возможные изменения степени и направления плоскости поляризации во время вспышки;

3) необходимая точность измерения параметров поляризации.

Чтобы поляриметрические наблюдения вспыхивающих звезд давали наибольшую информацию об изменениях параметров поляризации излучения вспышки в различных ее стадиях, нужно, чтобы время интегрирования при измерении поляризации было очень малым по сравнению с длительностью вспышки. Но в таком случае сильно воз-

растает ошибка одного измерения параметров поляризации.

Следовательно, требование о малости времени интегрирования противоречит требованию о большой точности измерений. Таким образом, изготовление электрополяриметра, удовлетворяющего всем трем вышеуказанным требованиям, практически невозможно. Какому из этих трех условий нужно дать предпочтение зависит от постановки задачи. В рассматриваемом случае для поляриметрических наблюдений вспыхивающих звезд во время вспышек желательно, чтобы время интегрирования было по возможности малым, а точность измерения по возможности высокой.

Как известно, точность поляриметрических, как и всяких других фотометрических наблюдений, зависит от случайных шумов, которые возникают в земной атмосфере (мерцание звезд) и в измерительной

аппаратуре (шумы светоприемника).

Кроме случайных шумов существуют и другие источники ошибок, которые связаны с особенностью применяемого метода измерения поляризации. Например, ошибки при измерении параметров поляризации излучения вспышки вспыхивающих звезд обусловлены также скоростью изменения блеска звезды, следовательно, можно написать:

$$\sigma^2 = \sigma_1^2(\omega_0, T) + \sigma_2^2(t)$$

где  $\sigma_1(\omega_0, T)$ —дисперсия измерения, обусловленная изменением яркости звезды,  $\omega_0$ —частота модуляции света звезды, 1/T—скорость изменения интенсивности,  $\sigma_2$ —дисперсия измерения, вызванная случайными шумами, и  $\sigma$ —суммарная дисперсия. Выше было показано, что значение  $G(\omega)$  (величина фиктивной поляризации) при  $\omega_0 \gg 5$  гц и  $T \gg 10$  сек ( рис. 2) пренебрежимо малая величина, следовательно, суммарная ошибка измерения будет зависеть только от ошибки случайных шумов  $\sigma_2(t)$ .

Поскольку при поляриметрических измерениях методом модуля-

и света применяются резонансные усилители переменного тока, то бинми приборами в основном регистрируются те компоненты шумов, тостота которых совпадает с модуляционной частотой света или резописной частотой усилителя. В данном случае для поляриметра, изговъленного в БАО, частота модуляции света, как было сказано выше, нивна 21 гц, следовательно, регистрируемые шумы, в основном, обуто овлены компонентами шумов возле частоты 21 гц.

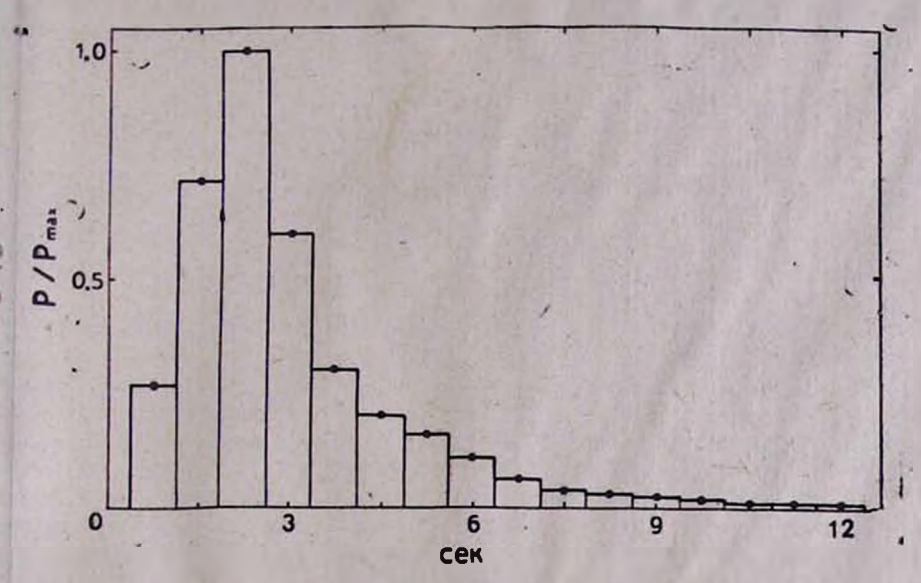


Рис. 3. Завченмость плотности вероятности продолжительности регистраруемых шумов от продолжительности шумов.

Ввиду того, что сигнал с выхода усилителя и шумы смешиваются с олученным из ГОН (генератор опорных напряжений) переменным наряжением с постоянной амплитудой и частотой, то после смешиваия сигнал изменяется с частотой  $\Delta f = f_{\text{мод}} - f_{\text{гон}}$ , где  $f_{\text{мод}}$  —частота одуляции света,  $f_{\text{гон}}$  —частота напряжения ГОН. Разность этих частот осуществляется вращением статора ГОН, а ее величина определятся скоростью вращения статора. Способ осуществления разности тих частот подробно описан в работе [13]. Из-за того, что шумы подвержены быстрым изменениям по фазе и амплитуде, величину  $\Delta f$ , обатное значение которой  $t=I/\Delta f$  является временем интегрирования, ужно выбрать так, чтобы имелась возможность отличить сигнал от тумов. Очевидно, что если значение  $t=I/\Delta f$  будет сравнимым с сумгарной продолжительностью шумов, то регистрируемые шумы по свому виду трудно отличить от поляризационных регистрограмм. Отсюа можно сделать следующий вывод: существует какое-то минимальное значение  $t_{\min}=I/\Delta f$ , при котором будет возможным отличить поіяризацию от шумов. Чтобы определить  $t_{\min}$ , необходимо найти растределение продолжительности шумов возле 21 гц. С этой целью с юмощью электрополяриметра [13], для которого выбрано предвариельное значение  $\Delta f = 0.033$  гц (t=30 сек), мы вели поляриметрические наблюдения звезды EV Lac в спокойном состоянии. Из 100 поляиметрических регистраций было определено большое количество (боцее 1000) шумовых сигналов разной продолжительности (см. таблицу). Эти результаты приведены на рис. 3, где по оси ординат отложена плотность вероятности продолжительности регистрируемых шумов

а по оси абсцисс-значения продолжительности этих шумов.

Из рисунка хорошо видно, что большое количество шумовых сиг налов имеет в среднем 2,4-секундную длительность. Из рисунка также видно, что число шумов сигнала стремится к нулю, если их продолжи тельность становится более 12 сек. Из графика следует, что во время поляриметрических наблюдений регистрируемые шумовые сигналы продолжительностью 9-12 сек практически нельзя считать случай ным явлением и появление их на записи с большой вероятностью обусловлено сигналами. Таблици

		4					- uonun
Ne	Интервал времени, сек	Число шумов	P	N	Интервал времени, сек.	Число шумов	Р,
1 2 3 4 5 6	0.6—1.5 1.6—2.5 2.6—3.5 3.6—4.5 4.6—5.5 5.6—6.5	83 202 280 167 96 65	0.8 0.22 0.3 0.17 0.09 0.06	7 8 9 10 11 12	6.6— 7.5 7.6— 8.5 8.6— 9.5 9.6—10.5 10.6— 1.5 11.6—12.5	49 22 14 9 6 6	0.05 0.02 0.01 0.009 0.006 0.006

Из этих пробных наблюдений следует, что минимальное время интегрирования одного поляризационного наблюдения, при котором можно отличить сигналы от шумов, можно взять  $t_{\min} \approx 10$  сек (или разность частот  $\Delta f \approx 0.1$  гц). Однако, считая, что в таких случаях сигнал еще может пропасть в шумах (т. е. ошибка измерения будет значительной) и, с другой стороны, учитывая, что длительность вспышек в основном бывает значительно больше 30 сек; время одного поляризационного наблюдения электрополяриметра осталось таким. каким оно было во время этих пробных наблюдений t=30 сек, т. е.  $t=3 \cdot t_{\min}$ 

Таким образом, исходя из этих расчетов в Бюраканской обсерватории был изготовлен электрополяриметр, работающий по принципу модуляции света звезды, с частотой модуляции  $\omega_0 = 21$  гц и временем интегрирования t=30 сек. С помощью данного электрополяриметра выполнены поляриметрические наблюдения многих вспышек звезд EV Lac и AD Leo, результаты которых приведены в работах [21—27].

Автор выражает благодарность кандидату физ.-мат. наук В. С. Осканяну за обсуждение результатов работы и ценные указания, а также Ю. С. Ефимову за полезные замечания.

11 апреля 1978 г.

#### Մ. Հ. ԵՐԻՑՅԱՆ

ՔՌՆԿՎՈՂ ԱՍՏՂԵՐԻ ՔՌՆԿՄԱՆ ԺԱՄԱՆԱԿ ՔԵՎԵՌԱՉԱՓԱԿԱՆ ԴԻՏՈՒՄՆԵՐԻ ԱՌԱՆՁՆԱՀԱՏԿՈՒԹՅՈՒՆԸ

# Ամփոփում

Ներկա աշխատանքում բերված է աստղերի բռնկման ժամանակ բևեռաշափական դիտման մեթոդի մանրամասն քննարկումը։ Տեսականորեն և գորգնականորեն հաշվվել է բռնկման բևեռաչափական դիտման այն հնաբավոր

սխալների չափը, որոնք պայմանավորված են աստղի ինտենսիվության փոփոխության արագությունից։ Ստացվել է, որ այդ սխալները բռնկման T>
10 վրկ. տևողությունների համար շատ անգամ փոքր են սարքավորման չափման սխալից (գծ. 2) կախված հաստատուն հոսանքի պարամետրերից և մթնոլորտային աղմուկների չափից ընտրվել է լույսի մոդուլացիոն հաճախականությունը (ա<sub>0</sub> = 21 հերց)։

Ելնելով արված վիճակագրության արդյունքներից և աստղի բռնկման տևողությունից ընտրվել է բռնկման բևեռչափական դիտման օպտիմալ ինտեգրման ժամանակը (t = 30 վրկ.)։

#### M. H. YERITZIAN

# THE SPECIFITY OF POLARIMETRIC OBSERVATION OF FLARES OF FLARE STARS

#### Summary

A new method of observation of flare-light polarization on stars is discussed. The level of errors produced by quick brightness changes during the flare is theoretically calculated and proved by some experiments. It is show, that for flares of duration T=10 sec, their errors are much low, than the instrumental errors (fig. 2). The light modulation frequency ( $\omega_0=21$  Hz) was chosen in dependence of the parameters of our D-C amplifier. The optimal integration time (t=30 sec.) is chosen according to some statistical results (fig. 3).

#### ЛИТЕРАТУРА

- 1. К. А. Григорян. Сообщ. Бюраканской обс., 25, 45, 1958.
- 2. Р. А. Варданян. Сообщ. Бюраканской обс., 30, 67, 1962.
- 3. K. Serkowski, Ap. J., 144, 857, 1966.
- 4. Н. М. Шаховской, АЖ, 40, 1055, 1963.
- 5. О. С. Шулов, Труды АО ЛГУ, 19, 155, 1962.
- 6. Р. А. Варданян, Сообщ. Бюраканской обс., 29, 9, 1960.
- 7. В. А. Гаген-Торн, Астрофизика, 10, 127, 1974.
- 8. В. А. Домбровский, Т. А. Поляков. В.А. Яковлева, Труды АО ЛГУ, 25, 32, 1966.
- 9. Н. М. Шаховской, Изв. КрАО., 39, 11, 1969.
- 10. G. Thiesen, Astr. Abh. Hamb, Sternvarte, 5, 9, 1961.
- 11. G. V. Gone, Ric. Astr., 7, N; 7, 177, 1970.
- В. А. Домбровский, Т. А. Полякова, В. А. Яковлева, Труды АО ЛГУ, 2, 3 1970.
- 13. М. А. Ерицян, Сообщ. Бюраканской обс., 43, 33, 1971.
- Г. М. Фихтенгольц, Курс дифференциального и интегрального исчисления, т. III, М., 1960.
- 15. В. С. Осканян, Вспыхивающие звезды, Труды симпознума, II, г. Ереван, 1977.
- 16. Р. Г. Виноградова, В кн.: Труды совещания по исследованию мерцания звезд, М.—Л., Изд-во АН СССР, 1959, 135—144.
- 17. A. H. Mikesell, Publ. U.S. Naval obs. 2 nd ser., 17, IV, 1955.
- 18. W. Protheroe, Contribution Perkins obs., 2, 4, 1955.
- 19. H. Siedentopf, Pro. Syumposium on Astronomical Optics and Related Subjects, 1956.

20. А. М. Бонч-Бруевич, Радиоэлектроника в экспериментальной физике, М., 1966 21. К. А. Григорян, М. А. Ерицян, Сообщ. Бюраканской обс., 42, 41, 1970.

22. К. А. Григорян, М. А. Ерицян, Астрофизика, 7, 303, 1971.

23. К. А. Григорян, М. А. Ерицян, Сообщ. Бюраканской обс. 44, 104, 1972.

24. К. А. Григорян, М. А. Ерицян, IBVS № 497, 1970. 25. К. А. Григорян, М. А. Ерицян, АЦ, № 570, 1970.

26. М. А. Ерицян, Сообш. Бюраканской обс., 46, 23, 1975.

27. М. А. Ерицян, Сообщ. Бюраканской обс., 50, 40, 1979.

28. Н. М. Шаховской, Ю. С. Ефимов, Изв. КрАО, 45, 90, 1972.

#### В. П. ЗАЛИНЯН

## МЕТОД ОБНАРУЖЕНИЯ КОРОТКИХ ИЗМЕНЕНИИ БЛЕСКА ЗВЕЗД

Несомненно большой интерес представляет выявление возможных изменений блеска звезд, происходящих за короткие промежутки времени,—менее одной секунды [1]. Решение такой задачи, однако, встречается с большими практическими трудностями. Запись результатов наблюдений методом последовательного вывода информации механическими средствами (цифропечать, перфорирование и т. п.) сильно ограничивает быстродействие записи из-за относительно большой инерционности этих приборов. С другой стороны, использование быстродействующих систем регистрации с привлечением электронновычислительной техники приводит к необходимости обработки огромного количества информации, возможной только с помощью применения больших ЭВМ [2].

В настоящей работе предлагается простой способ статистического обнаружения кратковременных изменений блеска звезд при регистрации с постоянной времени т порядка  $10^{-3} \div 10^{-2}$ . Блок-схема установки с использованием описанного метода и примененная при наблюдениях с 40 см телескопом Бюраканской астрофизической обсерватории

показана на рис. 1.

Принцип работы этой установки заключается в следующем. Фотоны, количество которых в единицу времени пропорционально интенсивности излучения звезды, попадают на фотоумножитель, где преобразуются в последовательность электрических импульсов. Полученые с выхода фотоумножителя фотоимпульсы усиливаются и поступают на дискриминатор—формирователь амплитуд. Коэффициент усиления использованного усилителя по напряжению был равен 40 при полосе пропускания частот  $0.05 \div 20$  Мгц. Порог срабатывания дискриминатора—5 мв, с загрузкой импульсов 5 Мгц. На выходе формирователя получаются импульсы с амплитудой 2.5 в и длительностью—50 нсек. Далее, сформированные фотоимпульсы подаются на цифровые блоки. Временные диаграммы сигналов на выходах соответствующих блоков и сигналы управления работой блоков приведены на рис. 2.

Управление установкой осуществляется следующим образом. Сигнал от кварцевого генератора длительностью 30 нсек поступает на вход разрешения приема информации регистров и число фотоимпульсов, набранное за время т, переписывается из счетчика в регистры. Тот же управляющий сигнал с задержкой 80 нсек идет на вход установки нуля счетчика и стирает зарегистрированное число. После прекращения действия сигнала стирания счетчик возобновляет считывание фотоимпульсов. Таким образом, в регистрах сохраняется запись каждого предыдущего отсчета. С регистров информация в виде параллельного двоичного кода поступает на преобразователь цифраналог с временем преобразования 100 мксек, на выходе которого на-

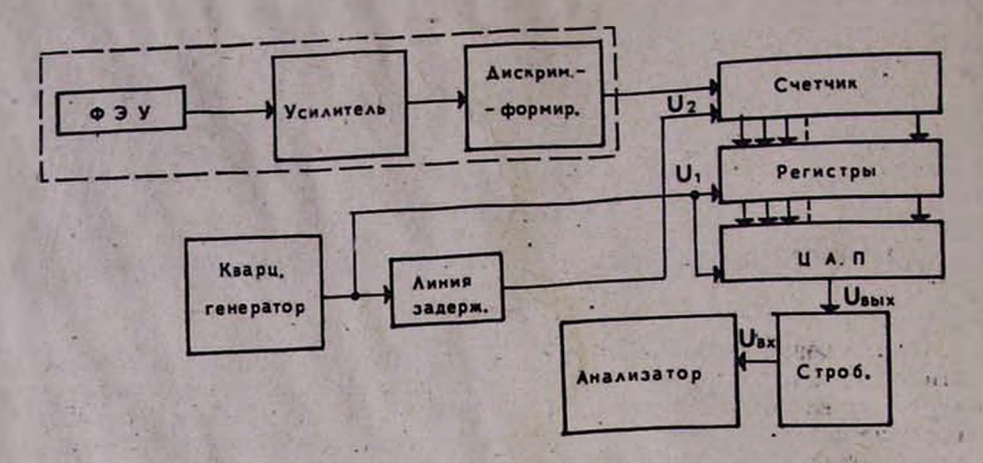


Рис. 1. Блок-схема установки.

Miles

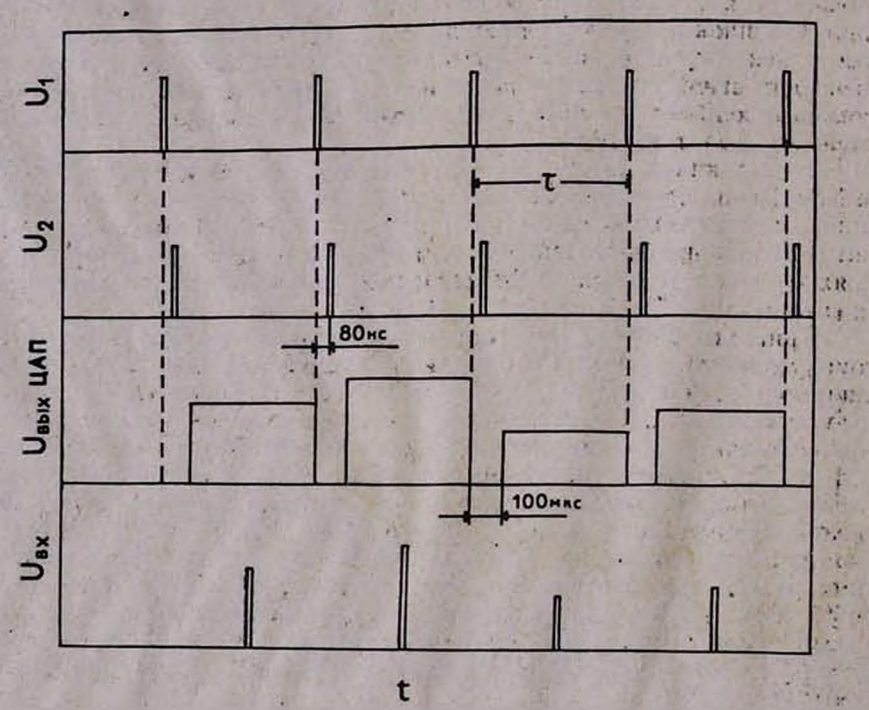


Рис. 2. Временные диаграммы результирующих сигналов и сигналов управления.

пряжение сохраняется в течение т за вычетом времени преобразования. Сигнал управления преобразователем поступает одновременно с сигналом перезаписи в регистры. В итоге, число фотоимпульсов за каждый интервал отсчета т преобразуется в соответствующий импульс напряжения. Далее, каждый импульс напряжения стробируется в середине стробирующим импульсом длительностью 1.5 мксек. Последовательность этих коротких импульсов, следующих с периодом т,

поступает на прибор АИ-256, с помощью которого исследуется распределение их амплитуд. В результате получается распределение количества импульсов по амплитудам, набранных в течение одного цикла наблюдения звезды, составляющей при выполненных наблюдениях 15 мин. Наблюдения стандартных звезд показали, что это распределение пуассоновское.

Этот метод дает возможность выявить кратковременные вспышки звезд, в случае которых должны наблюдаться большие отклонения числа импульсов с определенной амплитудой от ожидаемых при пуассоновском распределении, превышающие Зв. Метод обработки резуль-

татов наблюдений описан в работе [3].

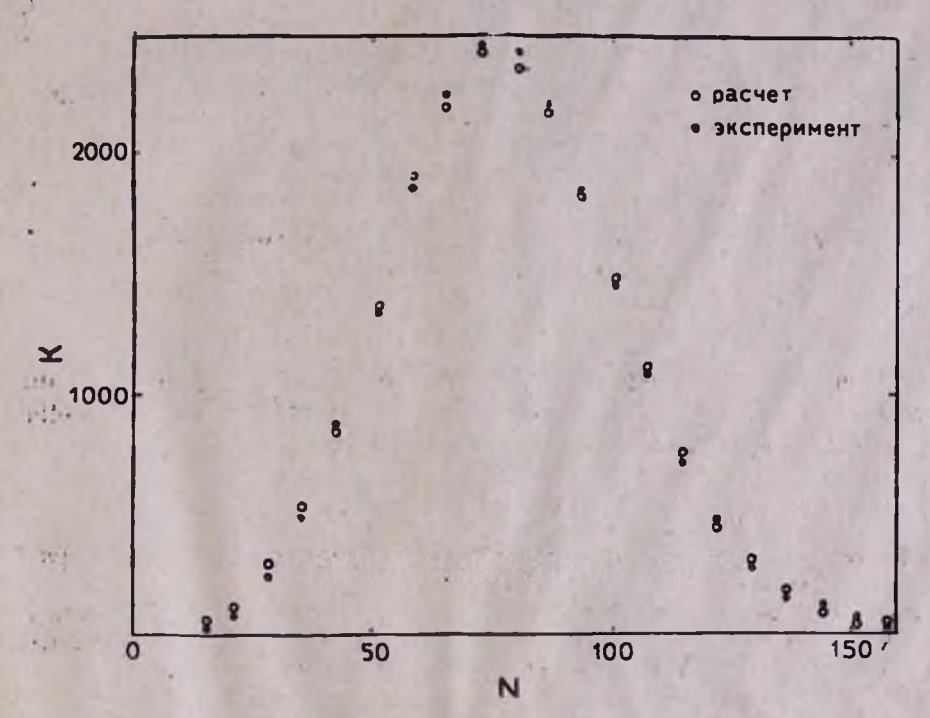


Рис. 3. Распределение выплитуд флуктуаций блеска звезды HD 83069 по наблюдениям в течение 15 мин.

Наблюдения с помощью описанной установки проводились с декабря 1978 г. по апрель 1979 г. Температура в помещении, изолированном от телескопа, где находилась установка, поддерживалась на уровне 15°C. Результаты наблюдений обрабатывались на машине «Наири-2».

На рис. 3 приведен пример полученного распределения амплитуд

флуктуаций блеска одной из исследованных звезд.

В работе [3] сообщается об обнаружении кратковременных вспышек у литиевой звезды HD83069 длительностью 0.01 сек и амплитудой около 1<sup>т.</sup> 4, а также отрицательных вспышек, длительностью от ~ 1 до 0.1 сек, амплитудой до 2<sup>т</sup> у той же звезды и у звезды HD120933.

Таким образом, данный метод, действительно, позволяет обнаруживать вспышки звезд длительностью порядка 0.01 сек и более. Этот метод, однако, не позволяет зафиксировать момент вспышки, обнару-

женной за время одного цикла наблюдения (в нашем случае 15 мин). а также не позволяет описать кривую блеска вспышки.

14 июня 1979 г.

#### 4. 9. QUIPESUL

ԱՍՏՂԻ ՊԱՑԾԱՌՈՒԹՅԱՆ ԱՐԱԳ ՓՈՓՈԽՈՒԹՅՈՒՆՆԵՐԻ ՀԱՑՏՆԱԲԵՐՄԱՆ ԵՂԱՆԱԿ

#### Ամփոփում

Առաջարկված է աստղերի պայծառությունների արագ՝ 10<sup>-2</sup> ÷ 10<sup>-3</sup> վրկ տևողությամբ փոփոխությունների հայտնաբերման եղանակ։ Նկարագրված է սարջավորման սխեման։

#### V. P. ZALINIAN

# A METHOD OF DETECTION OF FAST VARIATIONS OF STAR BRIGHTNESS

#### Summary

A method of detection of fast variations of star brightness in time scales of  $10^{-2} \div 10^{-3}$  sec is developed. The equipment and the method of reduction of observational data are described.

### ЛИТЕРАТУРА

- 1. K. Kodalra, K. Ichlmura, S Nishimura, Publ. Astron. Soc., Japan, 28, 665, 1976.
- 2. В. Ф. Швариман, Сообщ. САО, 19, 5, 1977.
- 3. В. П. Залинян, Ю. К. Мелик-Алавердян, С. Е. Нерсисян, Г. М. Товмасян, в кн. «Вспыхнвающие звезды, фуоры и объекты Хербига—Аро» (труды симпознума, Бюракан, 1979) под ред. Л. В. Мирзояна, Ереван, 1980.

#### Р. А. САРКИСЯН

## **ПРИМЕНЕНИЕ ОПТИЧЕСКИХ МЕТОДОВ ОБРАБОТКИ АСТРОНОМИЧЕСКИХ СНИМКОВ В КОГЕРЕНТНОМ СВЕТЕ**

1. Введение. В современной наблюдательной астрономии чрезвычайно важно выявление слабых точечных объектов, а также слабых частей и структур известных протяженных объектов. Решение этих задач при фотографических наблюдениях встречается с трудностями, связанными с наличием природного (общий фон ночного неба), искусственного (освещение городов и населений) и инструментальных (зернистость, неоднородность чувствительной поверхности фотоэмульсии) шумов. Некоторые из этих трудностей могут быть преодолены посредством цифровой обработки астрономических снимков на ЭВМ [1-3]. Но цифровые методы обработки изображений ограничены малыми размерами обрабатываемых участков, длительным временем ввода и обработки изображений. Эти недостатки могут быть частично преодолены при оптической обработке информации (аналоговые методы), а также при одновременном применении цифровых и аналоговых методов обработки информации. Эти методы не исключают, а наоборот, во многих вопросах дополняют друг друга. Только в некоторых случаях, в зависимости от специфики поставленной задачи, предпочтение отдается одному из них. Конкретно, при количественном анализе целесообразно проводить обработку информации в цифровом виле.

Известен ряд работ по применению когерентного света для обработки изображений, основанной на Фурье-преобразовании с фильтрацией пространственных спектров, что позволяет выделить отдельные характеристики объектов, улучшить контраст изображений, выделить

контуры объектов [4—6].

В настоящей работе рассмотрено применение когерентного света для обработки астрономических снимков на основе использования сравнительно несложных высокочастотных и низкочастотных пространственных фильтров, а также суперпозиции снимков с одновременной фильтрацией и фиксированием результата обработки при помощи видикона. Описана схема устройства для обработки, выбраны и изготовлены фильтры и приведены результаты экспериментальной обработки астрономических снимков.

2. Пространственная фильтрация двумерных Фурье-спектров. Рассмотрим общий подход к решению задачи обработки информации на основе двумерных пространственных Фурье-спектров. Астрономический снимок можно представить в виде совокупности сигналов  $S_1(x, y)$  от отдельных объектов и помех  $N_1(x, y)$ , т.е.  $A(x, y) = \Sigma S_1(x, y) + \Sigma S_1(x, y)$ 

+ΣN<sub>1</sub> (x, y). Здесь под сигналами понимаются почернения от точечных (звезды, квазары) или протяженных (галактики, туманиости) объектов, а к помехам относятся природные, искусственные и инструмен-

тальные шумы, указанные выше, мешающие наблюдению слабых объектов, яркость которых ниже определенного порога обнаружения. В этом случае пространственный Фурье-спектр изображения можно представить в виде:

$$\bar{A}(\omega_{x}, \omega_{y}) = \sum_{i} \bar{S}_{i}(\omega_{x}, \omega_{y}) + \sum_{i} \bar{N}_{i}(\omega_{x}, \omega_{y}), \qquad (1)$$

где  $S_1(\omega_x, \omega_y)$  и  $N_1(\omega_x, \omega_y)$  —пространственные спектры сигнала и помехи соответственно. Основной особенностью обработки астрономических снимков является то, что пространственные спектры сигналов и помех отличаются друг от друга по распределению энергии на различных частотах. Кроме того, пространственные спектры на различных снимках с одного и того же участка неба для сигналов имеют более или менее регулярно повторяющийся характер, а для помех носят случайный характер.

С целью улучшения отношения сигнал/шум использовался метод пространственной фильтрации, который фактически сводится к умножению амплитуд Фурье-спектра (1) на частотную характеристику

пространственного фильтра:

$$\left\{\sum_{i} \bar{S}_{i}(\omega_{x}, \omega_{y}) + \sum_{i} \bar{N}_{i}(\omega_{x}, \omega_{y})\right\} \bar{H}(\omega_{x}, \omega_{y}).$$

В результате обратного преобразования Фурье получается изображение обработанного участка снимка, восстановленного по модифицированному спектру:

$$\sum_{i} S_i(x, y) \oplus H(x, y) + \sum_{i} N_i(x, y) \oplus H(x, y), \qquad (2)$$

где ⊕-знак свертки.

Фильтрацию по формуле (2) можно, в частности, осуществить посредством ослабления и устранения постоянной составляющей и части низкочастотных компонент—спектра. Это приводит к выделению контуров изображения. Для объектов с размерами порядка ≈ 100 мкм контуры при этом превращаются в расплывчатые пятна, а на восстановленное изображение накладывается функция преобразования Фурье-фильтра, которая уменьшает яркость общего фона изображения. В результате фильтрации происходит переход от негатива к позитиву и увеличение контраста изображения [7].

В данной работе для выявления слабых объектов изображения на фоне помех были применены три типа фильтров: фильтры низких частот ( $H_{\rm BH}$ ), фильтры высоких частот ( $H_{\rm BH}$ ) и полосовые фильтры ( $H_{\rm III}$ ),

которые имеют частотные характеристики:

$$\bar{H}_{HY}(r) = \begin{cases}
1 & \text{при } r < r_1 \\
0 & \text{при } r > r_1
\end{cases}$$

$$\bar{H}_{BY}(r) = \begin{cases}
1 & \text{при } r > r_2 \\
0 & \text{при } r < r_2
\end{cases}$$

$$\bar{H}_{\Pi C}(r) = \begin{cases}
0 & \text{при } r < r_1 \\
1 & \text{при } r < r_2
\end{cases}$$

$$\bar{H}_{\Pi C}(r) = \begin{cases}
0 & \text{при } r < r_1 \\
1 & \text{при } r < r_2
\end{cases}$$

$$\bar{H}_{\Pi C}(r) = \begin{cases}
0 & \text{при } r < r_2
\end{cases}$$

$$\bar{H}_{\Pi C}(r) = \begin{cases}
0 & \text{при } r < r_2
\end{cases}$$

$$\bar{H}_{\Pi C}(r) = \begin{cases}
0 & \text{при } r < r_2
\end{cases}$$

$$\bar{H}_{\Pi C}(r) = \begin{cases}
0 & \text{при } r < r_2
\end{cases}$$

$$\bar{H}_{\Pi C}(r) = \begin{cases}
0 & \text{при } r < r_2
\end{cases}$$

$$\bar{H}_{\Pi C}(r) = \begin{cases}
0 & \text{при } r < r_2
\end{cases}$$

$$\bar{H}_{\Pi C}(r) = \begin{cases}
0 & \text{при } r < r_2
\end{cases}$$

$$\bar{H}_{\Pi C}(r) = \begin{cases}
0 & \text{при } r < r_2
\end{cases}$$

$$\bar{H}_{\Pi C}(r) = \begin{cases}
0 & \text{при } r < r_2
\end{cases}$$

$$\bar{H}_{\Pi C}(r) = \begin{cases}
0 & \text{при } r < r_2
\end{cases}$$

$$\bar{H}_{\Pi C}(r) = \begin{cases}
0 & \text{при } r < r_2
\end{cases}$$

$$\bar{H}_{\Pi C}(r) = \begin{cases}
0 & \text{при } r < r_2
\end{cases}$$

$$\bar{H}_{\Pi C}(r) = \begin{cases}
0 & \text{при } r < r_2
\end{cases}$$

$$\bar{H}_{\Pi C}(r) = \begin{cases}
0 & \text{при } r < r_2
\end{cases}$$

$$\bar{H}_{\Pi C}(r) = \begin{cases}
0 & \text{при } r < r_2
\end{cases}$$

$$\bar{H}_{\Pi C}(r) = \begin{cases}
0 & \text{при } r < r_2
\end{cases}$$

$$\bar{H}_{\Pi C}(r) = \begin{cases}
0 & \text{при } r < r_2
\end{cases}$$

$$\bar{H}_{\Pi C}(r) = \begin{cases}
0 & \text{при } r < r_2
\end{cases}$$

$$\bar{H}_{\Pi C}(r) = \begin{cases}
0 & \text{при } r < r_2
\end{cases}$$

$$\bar{H}_{\Pi C}(r) = \begin{cases}
0 & \text{при } r < r_2
\end{cases}$$

$$\bar{H}_{\Pi C}(r) = \begin{cases}
0 & \text{при } r < r_2
\end{cases}$$

$$\bar{H}_{\Pi C}(r) = \begin{cases}
0 & \text{при } r < r_2
\end{cases}$$

$$\bar{H}_{\Pi C}(r) = \begin{cases}
0 & \text{при } r < r_2
\end{cases}$$

$$\bar{H}_{\Pi C}(r) = \begin{cases}
0 & \text{при } r < r_2
\end{cases}$$

$$\bar{H}_{\Pi C}(r) = \begin{cases}
0 & \text{при } r < r_2
\end{cases}$$

$$\bar{H}_{\Pi C}(r) = \begin{cases}
0 & \text{при } r < r_2
\end{cases}$$

$$\bar{H}_{\Pi C}(r) = \begin{cases}
0 & \text{при } r < r_2
\end{cases}$$

$$\bar{H}_{\Pi C}(r) = \begin{cases}
0 & \text{при } r < r_2
\end{cases}$$

$$\bar{H}_{\Pi C}(r) = \begin{cases}
0 & \text{при } r < r_2
\end{cases}$$

$$\bar{H}_{\Pi C}(r) = \begin{cases}
0 & \text{при } r < r_2
\end{cases}$$

$$\bar{H}_{\Pi C}(r) = \begin{cases}
0 & \text{при } r < r_2
\end{cases}$$

$$\bar{H}_{\Pi C}(r) = \begin{cases}
0 & \text{при } r < r_2
\end{cases}$$

$$\bar{H}_{\Pi C}(r) = \begin{cases}
0 & \text{при } r < r_2
\end{cases}$$

$$\bar{H}_{\Pi C}(r) = \begin{cases}
0 & \text{при } r < r_2
\end{cases}$$

$$\bar{H}_{\Pi C}(r) = \begin{cases}
0 & \text{при } r < r_2
\end{cases}$$

$$\bar{H}_{\Pi C}(r) = \begin{cases}
0 & \text{при } r < r_2
\end{cases}$$

$$\bar{H}_{\Pi C}(r) = \begin{cases}
0 & \text{при } r < r_2
\end{cases}$$

$$\bar{H}_{\Pi C}(r) = \begin{cases}
0 & \text{при } r < r_2
\end{cases}$$

$$\bar{H}_{\Pi C}(r) = \begin{cases}
0 & \text{при } r < r_2
\end{cases}$$

$$\bar{H}_{\Pi C}(r) = \begin{cases}
0 & \text{при } r < r_2
\end{cases}$$

$$\bar{H}_{\Pi C}(r) = \begin{cases}
0 &$$

где  $r=V\omega_{\rm x}^2+\omega_{\rm y}^2$ , а  $r_1$  и  $r_2$  выбираются исходя из граничной частоты при фильтрации. Величины  $r_1$  и  $r_2$  могут быть определены из формулы [8], т.е.

$$\overline{A}_{l}(r) = 1,77 \frac{a\sqrt{E}}{L} \left[ \frac{2l_{1}(kar)}{kar} \right]. \tag{4}$$

где a-радиус изображения исследуемого объекта  $S_1$ ; E- полная энергия, падающая на объект,  $K=\frac{2\pi}{L}-$  волновое число,  $\lambda=0.63$  мкм,

а  $I_1$ —функция Бесселя первого рода первого порядка. Выбирая  $r_1$  и  $r_2$  в соответствии с (4) можно выделить те пространственные частоты, на которых сосредоточена основная часть информации исследуемых

объектов на изображении.

При обработке слабых протяженных объектов с расплывчатыми краями задача сводится к улучшению контраста, что достигается посредством применения полосовых фильтров, размеры которых выбираются исходя из размеров обрабатываемого участка. Так как при применении таких фильтров пужно до обработки усреднить случайные помехи, желательно применить принцип суперпозиции снимков. что дает возможность при суперпозиции п снимков увеличить отноше-

ние сигнал/шум в  $\sqrt{n}$  раз [9].

При обработке астрономических снимков необходимо оценить достоверность полученных результатов. Если при машинной обработке, снимков можно воспользоваться статистическими методами [3], то при оптической применим сопоставительный анализ результатов, основанный на исследовании основных источников получения ложных результатов и методике исключения ошибок. Кроме того, можно использовать схему телевизионного контроля с выделителем строк, что позволяет осуществить количественный контроль результатов и последующую обработку на ЭВМ.

Прежде всего должны быть исключены случайные помехи, которые в результате обработки могут быть ошибочно классифицированы как полезные сигналы. К числу таких помех относятся дефекты фотопластинок, искажения оптической системы, ложные сигналы контрольной телевизнонной системы. Кроме того, нужно исключить методические ошибки, возникающие, например, при неправильном выборе типа

фильтра.

Методика исключения случайных помех основывается на обработке нескольких снимков и сопоставлении полученных результатов. Погрешности когерентного оптического канала исключаются посредством применения параллельных каналов. Методические ошибки исключаются посредством применения различных фильтров и анализа полученных результатов.

3. Эксперимент и обсуждение результатов. Экспериментальная обработка астрономических снимков выполнялась на установке, блок-

схема которой приведена на рис. 1.

В эксперименте использовался гелий-неоновый лазер типа 125А

фирмы «Spectra physics».

Снимки были получены на 40" телескопе системы Шмидта Бюраканской астрофизической обсерватории АН Армянской ССР на фотопластинках Kodak Oall без фильтра (рис. 2). Для обработки был выбран участок на снимке, охватывающий систему М-51 (NGC 5195+ NGC 5194) и объекты а, b, c. показанные стрелками на рис. 2. Заме-

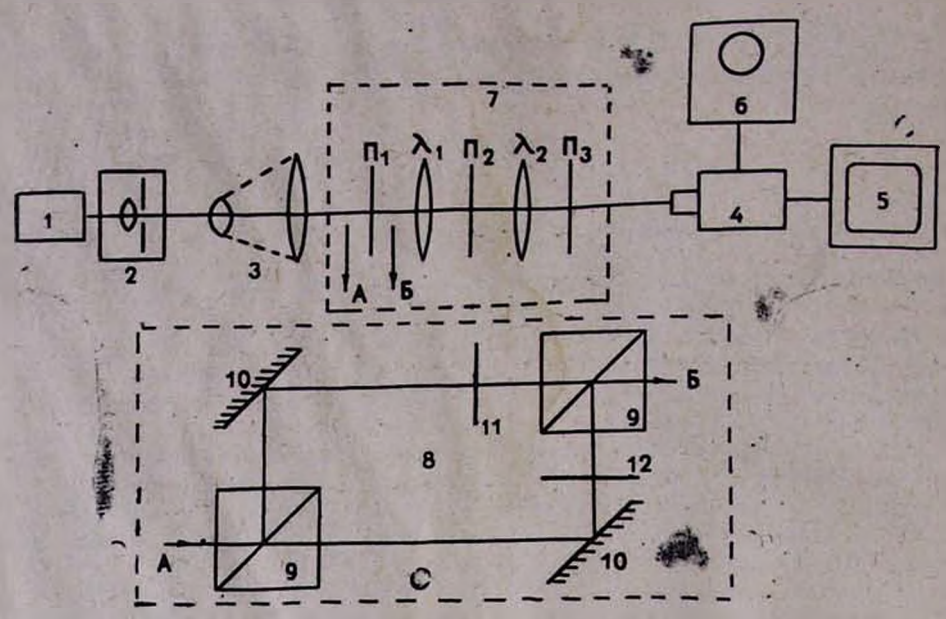


Рис. 1. Блок-схема эксперимента: 1—оптически квантовый генератор. 2—устройство «очистки» пучка, 3—коллиматор, 4—видикон, 5—монитор, 6—осциллограф с выделителем строк; 7—схема фильтрации:  $\Pi_1$ —плоскость изображения,  $\Pi_2$ —плоскость фильтра:  $\Pi_1$ — $\Pi_2$ —линзы, выполняющие прямое и обратное преобразование Фурье с фокусным расстоянием  $f_1$ = $f_2$ =36 см.,  $\Pi_3$ —результирующая плоскость. Пунктиром выделена схема суммярования для двух каналов, включаемая в схему фильтрации 7 в точки A—Б. В состав схемы 8 входят: 9—полупрозрачные разделительные кубнки, 10—зеркала, 11 и 12—плоскости размещения изображений.

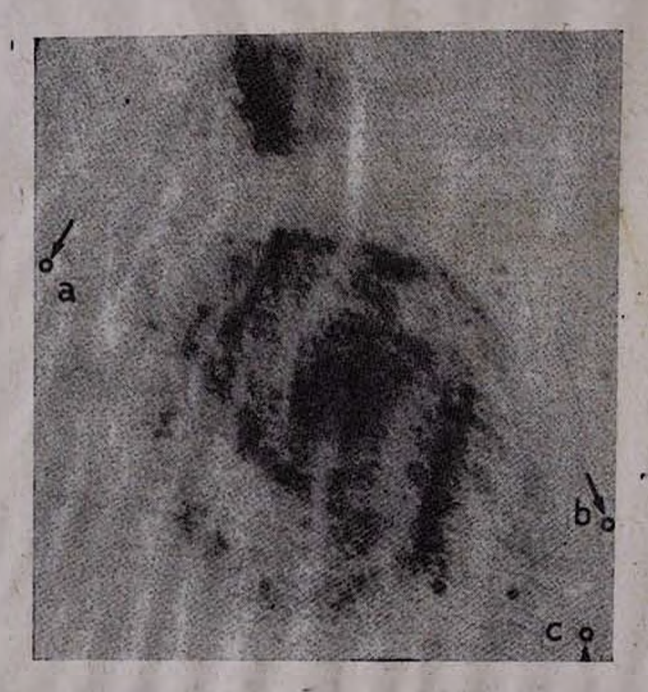


Рис. 2. Фотография М 51, полученная с экрана монитора до обработки.

тим, что предельной величиной для данного снимка является звездная величина,  $\approx 20$  m 5 (объект а), изображение которого не может

быть признано достоверным без дополнительной обработки.

При обработке снимок устанавливался в плоскости  $\Pi_1$  и его участок с раднусом  $0.2 \div 2$  см освещался коллимированным пучком света. В плоскости  $\Pi_2$ , в которой получался пространственный спектр освещенного участка снимка, размещался пространственный фильтр, а результат восстановления модифицированного спектра при помощи линзы  $\Pi_2$ , выполняющей обратное преобразование Фурье, получался в плоскости  $\Pi_3$ .

Линейные размеры фильтров ориентировочно выбирались на основе вычисления по формуле (4), а более точно выбор осуществлялся экспериментально по максимальному отношению сигнал/шум. Для измерения отношения сигнал/шум  $K=B_{06}/B_{\Phi}$  на изображение объекта накладывалась сетчатка, состоящая из  $3\times3$  элементов с шагом 20 мкм и вычислялась интегральная яркость объекта  $B_{06}$ , а вокруг объекта выбирались участки с такими же размерами и вычислялось среднее значение фона  $B_{\Phi}$ . Эффективность обработки определялась как отношение  $\eta=K_1/K_2$ , где индексы 1 и 2 относятся к отношению сигнал/шум до и после обработки соответственно.

Результаты обработки объектов a, b, c (рис. 2) приведены в таблице. В столбце  $d_{\text{вч}}-d_{\text{нч}}$  приведены размеры фильтров, применяемых при обработке, в следующих столбцах приведены значения  $K_1$ ,  $K_2$  и  $\tau_1$ , полученные при использовании соответствующих фильтров. Как видно из таблицы, выигрыш, полученный в результате обработки, составляет  $1,70 \div 6,0$  в зависимости от объекта и применяемых фильтров.

Таблица

2,8

6,0

3,6

B<sub>06</sub> Bob Фильтры Bab  $B_{\Phi}$ Объекты qad-qua до после MKM обработки обработки 200 7000 3,10 2,2 600 7000 4,27 3.1 a 1200 7000 1,39 6,18 4.5 1500 7000 5,49 4,0 2200 7000 3,00 2,2 400 7000 2,3 3,48 700 7000 6,70 4,4 b 1,53 7,80 800 7000 5.0 1200 7000 4,62 3.0 1500 7000 2,60 1.7

Результаты обработки для объектов а и в были сфотографированы с экрана выделителя строк. На рис. За и За' приведены фотографии, полученные с экрана выделителя строк при выделении строки, проходящей примерно через центр объекта а до и после обработки соответственно. Из сравнения рис. За и За' следует, что в результате обработки сигнал, соответствующий объекту а увеличился на фоне помех.

1,76

4,87

10,50

6,36

7000

7000

7000

400

600

800

C

8-703

Для объекта b была выполнена суперпозиция изображений от двух снимков по схеме 8 (рис. 1) и после суперпозиции осуществлена фильтрация с высокочастотным фильтром  $d_{\rm NN}=800$  мкм и низкочастотным фильтром  $d_{\rm NN}=7000$  мкм, что дало возможность не только улучшить соотношение сигнал/шум, но и исключить искажения, вызванные отсутствием эмульсии на отдельных участках пластинок. На рис. 3b приведена фотография, полученная с экрана выделителя строк до суперпозиции, на которой видны два сигнала, соответствующие

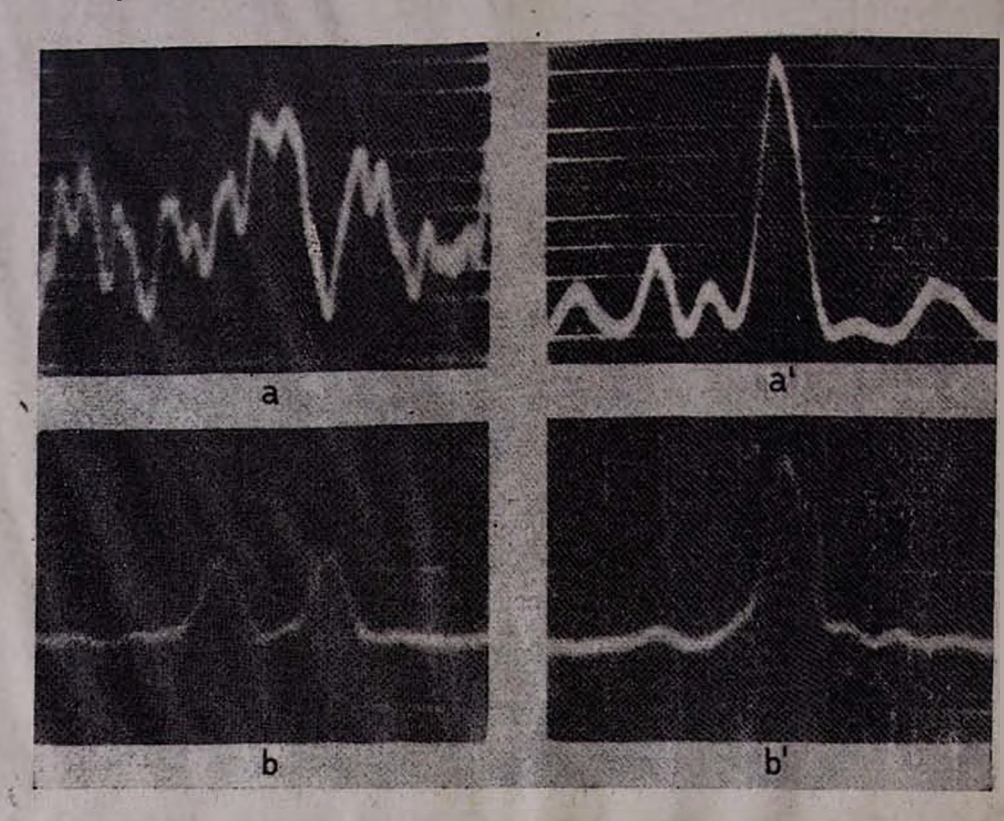


Рис. 3. Осциллограммы видеосигналов объектов а и b, снятые с экрана выделителя строк до и после обработки соответственно (масштаб сигнала а в три раза больше, чем сигнала b).

объекту b на двух снимках, причем изображения были смещены для наглядности. Результаты суперпозиции с последующей фильтрацией для объекта b приведены на рис. 3b'. По вышеприведенной схеме в принципе может быть осуществлена суперпозиция требуемого числа изображений посредством включения нескольких параллельных каналов суперпозиции, но пока практически это осуществимо для не более двух снимков из-за малой мощности источника когерентного света и неоднородности пучков света разных каналов.

В астрономической практике применялась суперпозиция снимков освещением пакета наложенных друг на друга снимков, либо посредством последовательного суммирования снимков. В обоих случаях результат фиксировался на фотопластинке. Отметим, что при фиксации результатов на фотопластинке вносятся дополнительные поме-

хи, определяемые неравномерностью проявки освещения при экспозиции, толщины эмульсии. При наложении пакета снимков результирующее изображение размазывается за счет рассеяния света от снимка к снимку, кроме того, совмещение снимков в последовательном пакете является достаточно сложной операцией. При последовательном суммировании снимков на фотопластинке число суммируемых снимков ограничено, так как каждый последовательно суммируемый снимок требует большего времени экспозиции [9].

В примененной в настоящей работе схеме суперпозиции в когерентном свете с фиксацией результата на видиконе отпадают шумы результирующей фотопластинки. Наблюдение на мониторе позволяет сравнительно легко совмещать изображения, появляется возможность количественного контроля результата на основе наблюдения интересуемых объектов при помощи выделителя строк. Одновременно отметим, что ограничением применяемой схемы является малое разрешение видикона и телевизионной установки, что приводит к обработке

небольших участков изображения.

С целью выбора наиболее эффективных фильтров по результатам обработки (таблица) был проведен анализ зависимости  $\eta$  от  $d_{\rm B^{4}}-d_{\rm H^{4}}$ . Из таблицы следует, что для объекта a (диаметр $\approx$ 40 мкм), имеющего широкий пространственный спектр, был выбран фильтр  $d_{\rm B^{4}}=1200$  мкм, для объекта b (диаметр $\approx$ 60 мкм) фильтр  $d_{\rm B^{4}}=800$  мкм, а для объекта c (диаметр $\approx$ 80 мкм) —фильтр  $d_{\rm B^{4}}=600$  мкм. Во всех случаях фильтром низких частот, выбранным по максимальному значению  $\eta$ 

оказался фильтр с размерами 7000 мкм.

Результат обработки протяженного объекта (система M 51) приведен на рис. 4. При обработке на основании ориентировочного расчета по формуле (4) и экспериментальной проверки с целью выбора фильтров более четко выделяющих структуру галактики был выбран фильтр размером  $d_{nq}=470\,$  мкм, но в центральной части фильтра имелось отверстие с  $d_0=40\,$  мкм, которое частично пропускало низкие частоты, что улучшало контраст и давало возможность выявить тонкие структуры лучше, чем при использовании фильтра, полностью срезающего низкие частоты. Из рассмотрения рис. 4, полученного с экрана монитора после обработки видно, что в результате обработки подчеркиваются контуры галактик и более четко видна структура области, в которой, примерно, находится ядро галактики. На рис. 4, кроме полезного сигнала, видны случайные помехи, исключение которых осуществлено при помощи сопоставления нескольких снимков (того же участка).

Особый интерес представляет выявление перемычек между компонентами M 51, а также между спиральными ветвями внутри галактики NGC 5194. Выявленные перемычки состоят из дискретных светлых сгущений и в отдельных случаях имеют почти равномерное строение, причем толщина перемычек иногда бывает весьма мала (толщина  $\approx 5''$ ). Из рис. 4 видно, что перемычка A начинается из точки  $A_1$ , проходит до точки  $A_2$  и почти перпендикулярно проходит к северу (точка  $A_3$ ); затем перемычка разветвляется на три направления—одно из пих примыкает к точке  $A_6$  во внутреннем рукаве, второе и третье направления примыкают соответственно в точках  $A_4$  и  $A_5$  к рукаву, идущему к спутнику NGC 5195. Перемычка B, находящаяся в западной части галактики NGC 5194 начинается от точки  $B_1$  и после разветвления ( $B_2$ — $B_3$ ,  $B_1$ — $B_4$ ) двумя почти параллельными направлениями доходит до внешнего рукава. Из точки  $B_4$  через точку  $B_5$  пе-

ремычка проходит зигзагом к точке B<sub>8</sub>. В центральной части галактики NGC 5194 видна перемычка E, напоминающая букву A, а в северной части галактики между рукавами видна перемычка D. На рис. 4 также видна широкая перемычка C, имеющая ширину примерно в 30". Перемычка C выходит из галактики NGC 5195 (точка C<sub>1</sub>) и тянется почти параллельно восточному рукаву галактики NGC 5194 до точки C<sub>2</sub>.

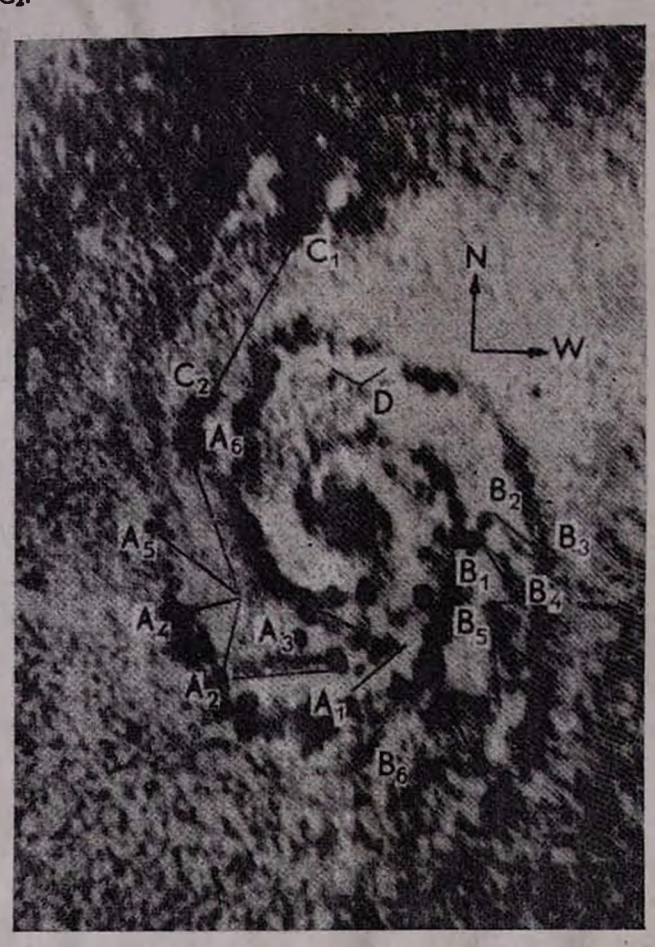


Рис. 4. Фотография М 51, полученная с экрана монитора после обработки.

Вышеприведенные результаты еще раз подтверждают то обстоятельство, что между компонентами двойной системы М 51 имеется связь, в виде волокон и перемычек [10]. Кроме того, было получено подтверждение о наличии сложной структуры рукавов, которые связаны между собой при помощи перемычек, идущих в различных направлениях (рис. 4).

В заключение автор считает своим приятным долгом выразить благодарность академику В. А. Амбарцумяну за постановку задачи и постоянное внимание к работе, а также сотрудникам Института радиофизики и электроники АН Арм. ССР за помощь при проведении

эксперимента на когерентной оптической установке.

21 октября 1977 г.

#### A. Z. DUCAUSILL

## ԿՈՀԵՐԵՆՏ ԼՈՒՑՍՈՒՄ ԱՍՏՂԱԳԻՏԱԿԱՆ ՊԱՏԿԵՐՆԵՐԻ ՄՇԱԿՄԱՆ ՕՊՏԻԿԱԿԱՆ ՄԵԹՈԴՆԵՐԻ ԿԻՐԱՌՈՒԹՅՈՒՆԸ

## Ամփոփում

Դիտարկված է կոհնրհնտ լույսում աստղադիտական պատկերների մշակման օպտիկական մեթոդների կիրառությունը։ Մասնավորապես դիտվում են պատկերների ֆուրլե ձևափոխությունը, տարածական հաճախականությունների ղտումը և վերադրումը։ Որոշված են զտիչները բնութագրող մեծությունների այն պահանջները, որոնց դեպքում ինֆորմացիայի փորձնական մշակումը ամենաարդյունավետն է։ Վերոհիշյալ զտիչների կիրառությունը թույլ է տվել հայտնաբերել սահմանային թույլ կետային օրյեկտ (a), ինչպես նաև թույլ կամարներ M 51-ի բաղադրիչների միջև (C) և NGC 5194 դալակտիկայր պարուրաձև թևերի միջև (ABDE) (նկ. 4)։

#### R. A. SARKISSIAN

# THE APPLICATION OF THE OPTICAL METHODS IN ASTRONOMICAL IMAGES PROCESSING ON THE BASIS OF COHERENT LIGHT

## Summary

The application of the optical methods in astronomical images processing on the basis of coherent light is considered. In particular operations of Fourier transformation, filtering of spatial frequencies and superposition of images are considered. Requirement was determined for filter parameters at which effective results of informative processing are experimentally obtained. The use of the developed filters made it possible to reveal limiting faint object (a) and also to reveal the crosspicces between the components of M 51 (C) and spiral branches of galaxies NGC 5194 (A,B,D,E,) (fig. 4).

#### ЛИТЕРАТУРА

- 1. Р. А. Саркисян, Сообщ. Бюраканской обс., 46, стр. 135, 1975.
- 2. Р. А. Саркисян, Сообщ. Бюраканской обс., 46, стр. 145, 1975.
- 3. R. A. Sarkissian, V. S. Khitova, Proceed. of the Fourth International CODATA Conf., Paris, 96, 1974.
- 4. А. Франсон, М. Марешаль, Структура оптического изображения, М., «Мир», 295, 1964.
- А. С. Островский, Материалы I Всесоюзной школы по голографии, Л., «Наука», 273, 1971.
- 6. A. R. Shulman, Optical Data Processing, N. Y., Wiley, 710 1970.
- 7. Дж. Гудмен, Введение в Фурье-оптику, М., «Мир», 188, 1970.
- 8. М. Бори, Э. Вольф, Основы оптики, М., «Наука», 432, 1970.
- 9. N. Richter, Visias in Astronomy, vol. 19, pt. 2, pp. 215-223, 1976.
- 10. F. Zwicky, Ergebnisse d. exakt Naturwissenschaften, Bd. 29, 344, 1956.

## в. п. залинян, ю. к. мелик-алавердян

# ЗАВИСИМОСТЬ ПОРОГОВОЙ ЧУВСТВИТЕЛЬНОСТИ ФОТОУМНОЖИТЕЛЕЙ ОТ ПОРОГА ДИСКРИМИНАЦИИ ПРИ СЧЕТЕ ФОТОНОВ

В настоящее время регистрация световых сигналов методом счета фотонов [1] получила широкое распространение в астрономии. Это связано с такими преимуществами этого метода, как его высокая стабильность и чувствительность, простота в обращении, возможность вывода результатов измерений непосредственно в числовом виде, что важно для последующей машинной обработки [2, 3]. В некоторых работах, посвященных применению счета фотонов, отмечается также. что он дает возможность повысить пороговую чувствительность фотоумножителей по сравнению с регистрацией фототока. Однако, несмотря на важность данного вопроса для астрономии, в литературе до сих пор приводятся весьма различные мнения на этот счет. Так, например, в работе [4] сделан вывод, что применение счета фотонов улучшает пороговую чувствительность в 20 раз. С другой стороны, в работе [5] утверждается, что сколько-нибудь заметного улучшения пороговой чувствительности фотоумножителей при счете фотонов вообще не наблюдается. Для выяснения этого вопроса и была предпринята настоящая работа.

Прежде всего приведем выражение для пороговой чувствительности. Для этого воспользуемся формулой для относительной ошибки

измерения величины сигнала [1]:

$$\delta = \frac{\sqrt{D(n_c + n_{\phi} + n_{\tau}) + D(n_{\phi} + n_{\tau})}}{n_c}, \tag{1}$$

где  $n_c$ ,  $n_{\phi}$ ,  $n_{\tau}$ —количество импульсов сигнала, фона и темнового тока соответственно, а D—дисперсия. Из (1), полагая  $n_c+n_{\phi}\ll n_{\tau}$  получаем:

$$\delta = \frac{\sqrt{2D(n_{\tau})}}{n_{\tau}} \,. \tag{2}$$

Приравнивая  $\tilde{c}$  единице, находим пороговое количество импульсов сигнала  $n_c^0$ :

$$n_{\rm c}^0 = \sqrt{2D(n_{\rm T})} \ . \tag{3}$$

Отсюда пороговая чувствительность по квантам равна:

$$N_{\rm c}^0 = \frac{\sqrt{2D(n_{\rm T})}}{\eta} \,, \tag{4}$$

где  $\eta$ —квантовая эффективность системы, то есть количество импульсов на каждый квант:

$$\eta = \frac{n_c}{N_c}. (5)$$

Из (4) и (5) следует, что

$$N_c^0 = N_c \frac{\sqrt{2D(n_\tau)}}{n_c} \sim \frac{\sqrt{D(n_\tau)}}{n_c} \,. \tag{6}$$

Выражением (6) можно воспользоваться для определения зависимости пороговой чувствительности от порога дискриминации. Эта зависимость получена для 10 фотоумножителей ФЭУ-79 и 1 фотоумножителя EMI-9789 QB.

Зависимость числа импульсов от порога дискриминации получена с помощью анализатора АИ-128. До измерений фотоумножители выдерживались в темноте в течение суток, а затем под рабочим напряжением—не менее часа. Предварительное усиление осуществлялось усилителем со следующими параметрами: коэффициент усиления 200 при полосе 8 Мгц, уровень собственных шумов, отнесенных ко входу—20 мкв. Результаты измерения позволяют сделать следующие выводы.

Дисперсия числа темновых импульсов при напряжении питания, соответствующем середине плато счетной характеристики, равна, в пределах ошибок, количеству импульсов. Типичные данные показаны в табл. 1.

Вероятные ошибки, приведенные в табл. 1, оценивались по формулам:

$$\sigma(n_{\tau}) = \frac{n_{\tau}}{\sqrt{m}}, \quad \sigma(D) = \frac{D(n_{\tau})}{\sqrt{2m}},$$

сде т-число измерений.

С учетом того, что  $D(n_{\tau}) \simeq n_{\tau}$ , в дальнейших расчетах пороговая чувствительность оценивалась по формуле:

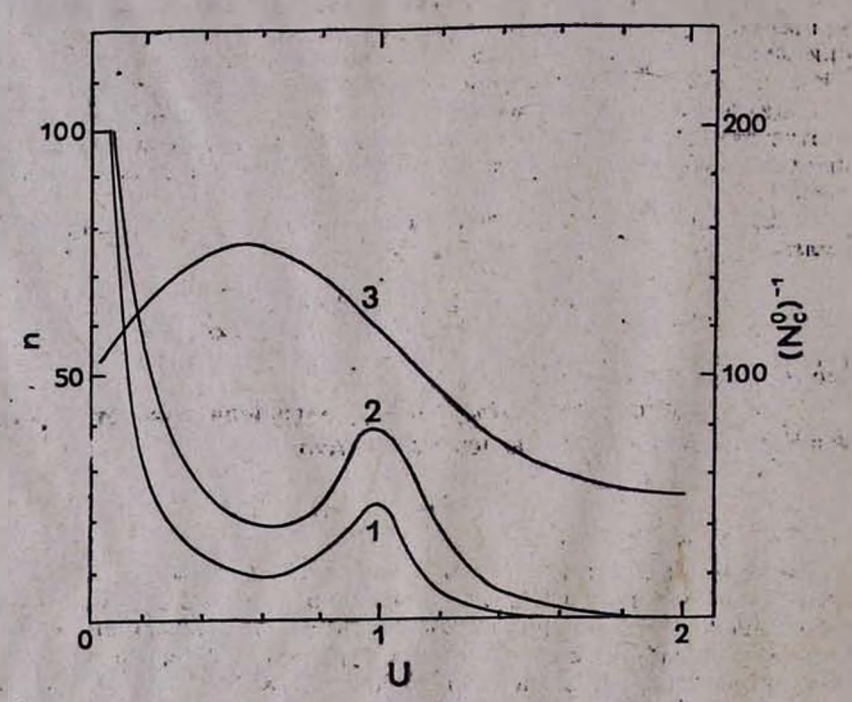
$$N_c^0 \sim \frac{\sqrt{n_\tau}}{n_c} \,. \tag{7}$$

Выполненные нами расчеты показали, что выбором порога дискриминации можно достигнуть улучшения пороговой чувствительности по сравнению с минимальным порогом дискриминации, примерно соответствующим режиму измерения фототока. Выигрыш в пороговой чувствительности различен для разных типов фотоумножителей. В частности, для фотоумножителей ФЭУ-79 его величина достигает 2 ÷ 3 раз, а для ЕМІ-9789 QВ—5 ÷ 6 раз. Эти выводы слеланы на основании приведенных в табл. 2 данных измерений для времени накопления 100 сек.

	4	100		Таблица 1
Тип ФЭУ	U <sub>раб</sub> кв	Число измерений	$n_{\scriptscriptstyle  extsf{T}}$	$D(n_{\tau})$
фЭУ—79 EM1—9789QB	1·70 1·25	40 50	885±140 1137±162	835±95 1255 <u>+</u> 125

Наилучшая пороговая чувствительность соответствует порогу дискриминации, расположенному вблизи минимума дифференциаль-

Тип ФЭУ	Минимальный порог дискриминации		Оптимальный порог дискриминации		(Ne°)' (Ne°)"		
	n <sub>c</sub>	n <sub>T</sub>	1/(Nc°)'	$n_c$	n <sub>T</sub>	1/(Nc )	3 3 37
ΦЭУ—79 ———————————————————————————————————	7781 22503 11403 13101 19986 5709 12054 11325 10929 8679 2630	26064 21799 12296 13127 24539 19013 34015 14£05 15930 17302 24025	48.5 153 102.7 119.1 128.1 41.6 65.3 94.4 89.6 65.9 16.96	6123 17525 11151 9084 18553 5546 11198 9460 9947 6963 2518	1431 4684 1899 1104 3220 3505 6183 2890 1606 1012 720	168.0 257.7 259.3 273.6 327.2 94 145.4 175.2 248.2 218.8 93.95	3,46 1,68 2,52 2,29 2,55 2,25 2,25 2,25 2,89 3,32 5,53



 распределение шумовых импульсов, 2) распределение импульсов при слабой подсветке, 3) зависимость пороговой чувствительности от порога дискриминации.

ного распределения темновых импульсов. Это видно из рисунка, где приводятся кривые, характерные и для ФЭУ-79, и для EMI-9789 QB.

Анализ полученных данных дает основание полагать, что примененная в [5] система счета фотонов имела усиление, недостаточное для выявления одноэлектронного пика, что и привело к занижению пороговой чувствительности. В работе [4], по-видимому, сравнение счета фотонов и регистрации фототока проводилось при неодинаковых постоянных времени, что и обусловило завышение отношения пороговых чувствительностей.

В заключение отметим, что все измерения проводились при тем-

пературе 17°C. Представляет несомненный интерес проведение подобных измерений и при низких температурах.

27 сентября 1978 г.

. 127750

վ. Պ. ԶԱԼԻՆՅԱՆ, ՅՈՒ. Կ. ՄԵԼԻՔ-ԱԼԱՎԵՐԴՅԱՆ

ԼՈՒՍԱԲԱԶՄԱՊԱՏԿԻՉՆԵՐԻ ՇԵՄԱՅԻՆ ԶԳԱՑՈՒՆՈՒԹՅԱՆ ԿԱԽՈՒՄԸ ԶԱՏՄԱՆ ՍԱՀՄԱՆԻՑ ՖՈՏՈՆՆԵՐԻ ՀԱՄՐՄԱՆ ԴԵՊՔՈՒՄ

#### Udhahaid.

Ցույց է տրված, որ ֆոտոնների համրման եղանակի դեպքում զատման դահմանի համապատասխան ընտրության միջոցով ФЭУ-79 լուսարազմապատկիչների շեմային զգայնությունը բարելավվում է 2+3 անգամ, իսկ EMI-9789 QB լուսարազմապատկիչի դեպքում՝ 5+6 անգամ՝ համեմատած հաստատուն հոսանքի չափման եղանակի հետ։

#### V. P. ZALINIAN, YU. K. MELIK-ALAVERDIAN

## THE DEPENDENCE OF THE NEP ON THE DISCRIMINATION LEVEL IN PHOTON COUNTING MODE

#### Summary

It is shown that the NEP of the photomultipliers  $\Phi \ni \mathcal{Y} - 79$  in the photon counting mode is decreased by about  $2\div 3$  times in comparison with the measurements of the photocurrent by choosing of the appropriate descrimination level. In the case of the EMI-9789 QB type photomultiplier the corresponding gane of the NEP is about  $5\div 6$  times.

#### ЛИТЕРАТУРА

- 1. Методы астрономин, под ред. В. А. Хилтнера, М., «Мир», 1967.
- 2. А. Н. Соболева, А. Е. Меламид, Фотоэлектронные приборы, М., «Высшая школа», 1974.
- 3. А. Н. Перцев, А. Н. Писаревский, Одноэлектронные характеристики ФЭУ и их применение, М., «Атомиздат», 1971.
- 4. Е. Д. Мищенко, Г. П. Старцев, Оптико-механическая промышленность, 3, 15, 1966.
- 5. А. Э. Гурьянов, АЖ, 53, 219, 1976.

## м. А. МАРТИРОСЯН, А. Я. БЕЙЛИН, Л: М. КАРАМЯН, В. П. ЛУКЬЯНОВ, Н. К. ДАЛИНЕНКО

## ФОТОЭЛЕКТРИЧЕСКАЯ ФОТОМЕТРИЯ С ИСПОЛЬЗОВАНИЕМ ДИССЕКТОРА

Как известно, электрофотометрический метод наблюдения небесных светил является наиболее точным. Обычно в качестве светопри-

емника используются фотоумножители (ФЭУ).

Широкому использованию ФЭУ в астрономической практике способствовала простота и доступность ФЭУ для широкого круга исследований, кроме того они обладают сравнительно высокой пороговой чувствительностью и высоким коэффициентом усиления фототока.

Однако ФЭУ обладают и рядом недостатков: диаметр фотокатода ФЭУ по конструктивным соображениям не может быть сделан меньше 3-5 мм, что приводит, как правило, к значительной доле термоэмиссии с фотокатода в темновом токе прибора; это же обстоятельство делает ФЭУ чувствительным к фоновым засветкам. Если последний недостаток может быть исправлен с помощью специальных диафрагм, то первый недостаток неустраним.

В последнее время за рубежом ФЭУ в астрономических измерениях вытесняются электронно-лучевыми трубками мгновенного дей-

ствия (диссекторами) [1, 2].

Для астрономических целей могут быть использованы диссекторы с вырезывающим отверстием  $0.3 \div 1.0$  мм. Использование таких маленьких вырезывающих отверстий значительно уменьшает долю термоэмиссии в темновом токе и значительно уменьшает влияние фоновых засветок на параметры прибора. Благодаря конструктивным особенностям в диссекторах практически отсутствуют оптические и ионные обратные связи, что делает ненужным специальный отбор приборов для применения в астрономии, как это имеет место в случае использования ФЭУ.

Для доказательства приведенных преимуществ диссекторов обратимся к формуле для расчета пороговой чувствительности ФЭУ и диссекторов, выведенную авторами по аналогии с [3] для режима счета отдельных фотоэлектронов, для случая отсутствия фона неба:

$$F_{\rm n} = \frac{e}{S_{\rm phk} \cdot Q} \cdot \frac{1 + \sqrt{1 + 8N_{\rm TEM} \cdot t}}{2 \cdot t},$$

где  $F_n$ —пороговая чувствительность (лм),  $S_{\rm phk}$ — интегральная чувствительность фотокатода (А/лм), Q—эффективность счета отдельных фотоэлектронов (%), e—заряд электрона (кул.), t—время регистрации (сек).

Сравним пороговую чувствительность ФЭУ и диссекторов для следующих условий:

тип фотокатода-многощелочной,  $S_{\rm phk}$ =160 мкА/лм;

плотность термоэмиссии фотокатода  $j=10^{3}$  электронов/см<sup>2</sup> сек;  $Q=0.7;\ t=1$  сек,  $S=10^{-5}\div10$  см<sup>2</sup>,

тде S—плошадь фотокатода ФЭУ или эффективная площадь фотокатода диссектора (см²).

Результаты расчета приведены на рис. 1.

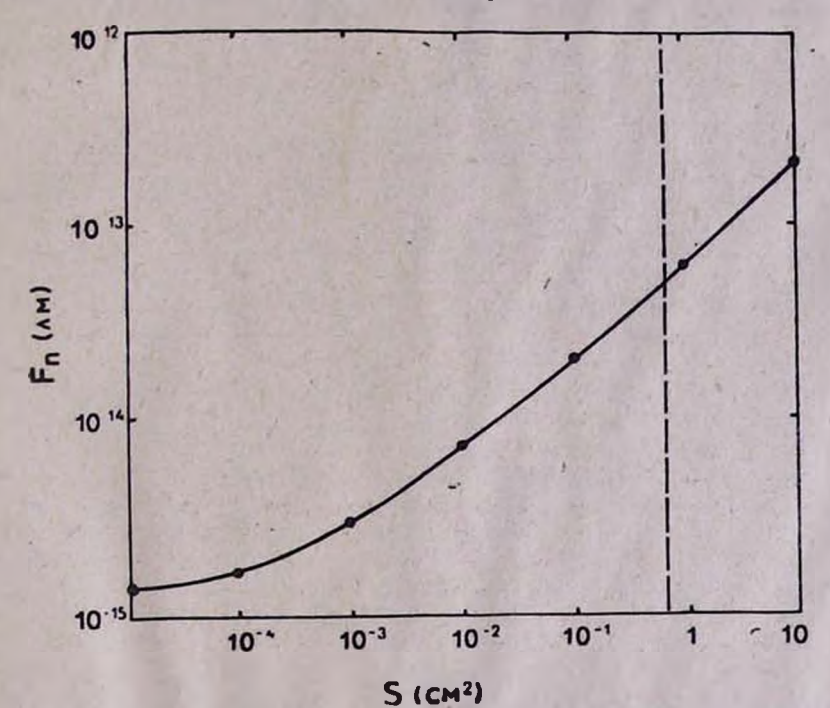


Рис. 1. Зависимость пороговой чувствительности от эффективной площади фотокатода: слева от пунктира—для диссекторов, справа—для ФЭУ.

Площадь фотокатода существующих ФЭУ превышает  $7 \cdot 10^{-2}$  см<sup>2</sup>, т. е. для ФЭУ характерна кривая справа от пунктирной линии, для диссекторов—слева. Таким образом, пороговая чувствительность ФЭУ ограничена величиной  $5 \cdot 10^{-14}$  лм, в то время как для диссекторов достижима величина  $1.5 \cdot 10^{-15}$  лм.

Помимо перечисленных выше достоинств диссекторов перед ФЭУ, следует отметить, что наличие у диссекторов отклоняющей системы позволяет производить сканирование звездного неба электрическим

путем, без изменения положения телескопа.

С целью определения возможности использования диссектора типа ЛИ 610 для электрофотометрии звезд в режиме счета фотонов была создана система, представленная на рис. 2. Оптическая головка 2 одноканального электрофотометра со сменными стандартными фильтрами цветовой системы «UBV» крепилась к телескопу АЗТ-14 с диаметром зеркала 500 мм и светосилой 1/16. С помощью специальных приопособлений диссектор ЛИ 610 вместе с фокусирующей и отклоняющими катушками устанавливался на торце оптической головки.

Сигнал с выхода диссектора проходил через измерительный блок, состоящий из усилителя БУИ2-2еМ, дискриминатора БСА2-2еМ, блоков питания и регистрировался частотомером ЧЗ-36. Блок 4 служил

для фокусировки диссектора и возможности сканирования звездного неба электрическим путем.

Испытания проводились по следующей методике:

1. Наблюдались стандартные звезды 7—12-звездной величины из скоплений NGC—6882/5.

2. Использовался стандартный фильтр (УФС-6+СЗС-21), вырезывающий из спектра звезды полосу шириной  $\sim$  100 нм.

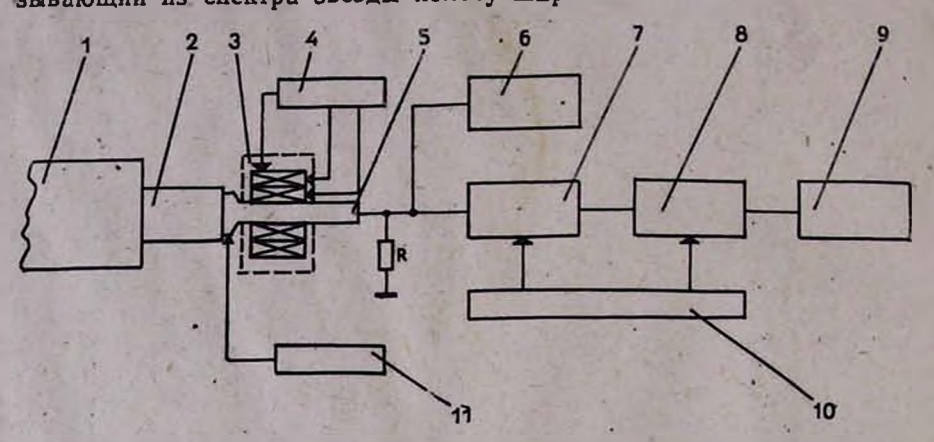


Рис. 2. Схематичное изображение системы для счета фотонов на базе диссектора. 1—телескоп АЗТ-14, 2—оптическая головка одноканального электрофотометра, 3—фожусирующая и отклоняющие катушки диссектора, 4—блок управления токов отклоняющей и фокусирующей систем, 5—диссектор ЛИ-610, 6—осциллограф С1-18, 7—усилитель БУИ2-2еМ, 8—дискриминатор БСА2-2еМ, 9—частотомер Ч3-36, 10, 11—блоки питания установки.

3. Настройка диссектора проводилась по яркой звезде  $(1^m-2^m)$ . При этом форма импульса регистрировалась осциллографом СІ-18 при синусоидальной развертке (см. рис. 2). Путем регулировки фокуса

телескопа добивались наименьших фронтов импульсов.

Следует отметить, что установка изображения звезды в вырезывающее отверстие звезды производилась как электрическим способом, так и механическим перемещением блока или телескопа в целом. При электрическом способе на строчные и кадровые катушки отклоняющей системы через соответствующие потенциометры подавалось постоянное напряжение, с тем, чтобы получить максимум показаний частотомера путем вращения потенциометров. Применение строчной и кадровой развертки позволяло измерять фон неба без перемещения телескопа.

Наблюдения проводились в Бюраканской астрофизической обсерватории АН Арм. ССР 24—28 октября 1977 г. в 21—24 часа по мест-

ному времени.

Применяя ту же измерительную аппаратуру, были проведены аналогичные измерения с помощью ФЭУ типа ЕМІ 9502А Соответствующие объекты и данные измерений приведены в табл. 1 и 2

Для подтверждения полученных измерений в режиме счета фотонов с помощью диссектора ЛИ 610 и ФЭУ ЕМІ были проведены аналогичные измерения в аналоговом режиме с помощью электрометрического усилителя VI-7 и самопишущего прибора КСП-4.

На основании проведенных испытаний можно констатировать: 1. Измерительный канал с диссектором не уступает по чувстви-

Таблица 1 Данные измерений с ФЭУ ЕМІ

Звездная величина	$N_{e} \rightarrow N_{\varphi} \rightarrow N_{\tau}$	$N_{\phi}+N_{\tau}$	N <sub>T</sub>	TK.
7m	11500	200	40	0.35
9115	1450	200	40	0.31
10 <sup>m</sup> ,6	670	210	35	0.40
12 <sup>m</sup>	350	220	30	0.38

Таблица 2 Панные измерений с диссектором ЛИ 610

Звездная величина	$N_c - N_{tp} + N_{\tau}$	$N_{\Phi}+N_{\tau}$	Nτ	TN
7 <sup>m</sup> 9 <sup>m</sup> 5 10 <sup>m</sup> 6 12 <sup>m</sup>	11200 1400 660 360	200 240 240 240 225	15 15 7 10	0·58 0·50 0·55 0·59

Обозначения: N --- скорость счета сигнальных импульсов (нып/сек), Мф-скорость счета импульсов от фона неба (имп/сек), N<sub>т</sub>-скорость счета темновых импульсов (имп/сек), эмт среднеквадратичное отклонение скорости счета темновых импульсов.

тельности (в данных условиях измерения) электрофотометру с отобранным ФЭУ фирмы ЕМІ.

2. Пороговая звездная величина не была достигнута обоими методами из-за плохих условий наблюдения (полнолуние). Однако, как видно из табл. 1 и 2, на данном телескопе можно будет наблюдать с помощью указанной аппаратуры звезды до 15-звездной величины.

3. Из-за малых размеров вырезывающего отверстия диссектора (0.4 × 0.4 мм) трудно удерживать звезду длительное время. Для использования диссектора в телескопах типа АЗТ-14 необходимо, повидимому, увеличить размер вырезывающего отверстия до 0,5÷0,6 мм.

Результаты полученных экспериментальных исследований фотометра на базе диссектора в режиме счета фотонов показали перспективность использования диссектора не только в звездной электрофотометрии, но и в ряде астрофизических задач.

Авторы выражают благодарность Г. В. Абрамяну за помощь при

проведении эксперимента.

5 сентября 1978 г.

Մ. Ա. ՄԱՐՏԻՐՈՍՅԱՆ, Ա. Ֆ. ԲԵՅԼԻՆ, Լ. Մ. ՔԱՐԱՄՅԱՆ, Վ. Պ. ԼՈՒԿՅԱՆՌՎ, Ն. Կ. ԴԱԼԻՆԵՆԿՈ

ԷԼԵԿՏՐԱԼՈՒՍԱՉԱՓՈՒԹՅԱՆ ԴԻՍԵԿՏՈՐՆԵՐԻ ԿԻՐԱՌՈՒԹՅԱՄԲ

Ամփոփում

Դիտարկվում է ֆոտոնների համրման ռեժիմով աստղերի էլեկտրալուսաշափության սիստեմ ЛИ 610 տիպի դիսեկտորի կիրառմամբ։ Նկարագրվում են սիստեմի կառուցվածքը, նրա աշխատանքի սկզբունքը փորձարկումների մեթոդը և դիտումներից ստացված արդյունքները։ Ցույց են տրված դիսեկտորների առավելությունները․ որպես լուսաընդունիչների՝ լուսաբազմապատկիչների նկատմամբ։

M. A. MARTIROSIAN, A. F. BEILIN, L. M. KARAMIAN, V. P. LUKIANOV, N. K. DALINENKO

## PHOTOELECTRIO PHOTOMETRY USING THE IMAGE DISSECTOR

#### Summary.

Star electrophotometer in photo count mode with the use of JII610 type image dissector is considered. The block diagram, principle of operation, test method and the results of observations are given. An advantage of an image dissector as a light sensor over photomultiplier is also discussed.

#### ЛИТЕРАТУРА

- 1. E. H. Eberhardt, The image dissector as an optical tracker. "Opt. track. syst. pros. SPIE Semin., El Paso, Texas 1971", 1971, pp. 145—151.
- 2. M. R. Zatzick, Applying digital techniques to photon counting. "Research/Development", 1970, v. 21, N 11, pp. 16, 20, 22.
- 3. Н. А. Соболева, А. Е. Меламид, Фотоэлектронные приборы. М., «Высшая школа», 1974, стр. 232—234.

#### Р. А. ВАРДАНЯН, М. О. ЗАКАРЯН, М. С. МИРЗОЯН

#### НОВЫЙ МЕТОД ЦИФРОВОЙ ФИЛЬТРАЦИИ И ЕГО ПРИМЕНЕНИЕ

В настоящей работе предлагается новый метод цифровой фильтрации и его применение для предварительной обработки (фильтра-

ции) результатов измерений.

Существующие методы обработки данных измерений основываются на использовании среднего значения измеренной величины. Известно, что такой способ обычно дает наилучшее приближение к истийному значению измеряемой величины в том случае, когда результаты измерений распределены по нормальному закону. А в случае, когда распределение измеренных значений отклоняется от нормального закона, оказывается необходимой предварительная обработка данных. В частности, обычно исключаются из дальнейшей обработки результаты измерений, отклоняющиеся более чем на 3 о от среднего. Практика обработки информации, полученной в процессе астрономических наблюдений, показывает, что в некоторых случаях целесообразно исключать из дальнейшей обработки не только те результаты измерений, которые отклоняются от среднего на Зэ, но также и те результаты измерений, которые имеют и меньшие отклонения от среднего. Более того, в ряде случаев целесообразно использовать при обработке результатов астрономических наблюдений не среднее значение, а медиану ряда результатов измерений. Обоснуем это на конкретных примерах.

Допустим имеются наблюдательные данные в виде цифрового ряда. Предлагаемый метод предварительной цифровой фильтрации (ПЦФ) заключается в том, что после фильтрации вновь полученные члены временного ряда равны тому из соседних трех членов ряда, который по своей величине занимает второе место, т. е. медиане. Первые и последние члены нового ряда после фильтрации остаются преж-

ними. Для наглядности приведем пример.

Имеется временной ряд.

$$t=1, 2, 3, 4, 5, 6, 7, 8, 9, 10,$$

$$X(t) = 4, 7, 5, 9, 4, 8, 2, 6, 7, 8.$$
(1)

При предварительной цифровой фильтрации первый член нового ряда остается прежним. Место второго члена ряда будет занимать число 5, поскольку из первых трех чисел (4, 7, 5) число 5 по величине занимает среднее место (второе): на месте третьего числа из последующих трех чисел 7, 5, 9 будет число 7 и т. д. Из последних трех чисел (6, 7, 8) ряда девятое место занимает число 7, а последнее число (десятое) остается прежним числом 8 (1) ряда.

Итак, после цифровой фильтрации (ПІДФ) мы получим следую-

щий ряд:

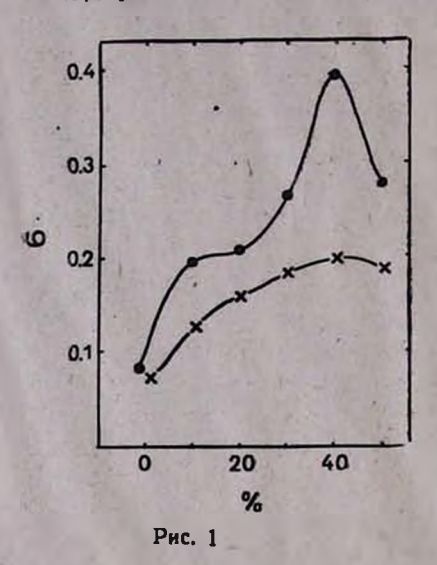
$$t=1, 2, 3, 4, 5, 6, 7, 8, 9, 10,$$
  
 $X'(t)=4, 5, 7, 5, 8, 4, 6, 6, 7, 8$  (2)

ПЦФ можно повторить несколько раз.

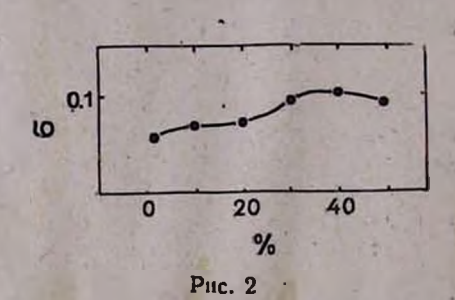
Пусть результаты измерений распределены не по нормальному закону, а имеются отклонения, связанные, например, с изменением прозрачности атмосферы, изменением чувствительности измерительной аппаратуры и т. д. Математически такой процесс измерения может выразиться нормально распределенными случайными числами, часть которых умножается на некоторый множитель. Для примера рассмотрим 100 нормально распределенных случайных чисел [1], из которых 10, 20, 30, 40, 50% чисел умножены на случайно выбранные числа 1, 2, 3, 4, 5, 6, 7, 8, 9. Применим ПЦФ к 10 таким рядам. На рис. 1 представлена дисперсия средних значений 10 рядов

случайных чисел в зависимости от процента их членов (10, 20, 30, 40,

50%), умноженных на случайно выбранные числа 1÷9.



Из рис. 1 явно видно (см. точвозрастание дисперсин средних значений. Крестиками обозначены те же самые зависимости после пятикратной ПЦФ. Отметим, что после двух-пятикратной фильтрации дисперсия средних значений более чем в 1,5 раза уменьшается.



Дальнейшее ее применение практически не уменьшает дисперсию средних значений.

Для получения средних значений, близких к истинному, целесообразно после первой фильтрации случайным образом переставить местами члены ряда (смешать их) и в каждом ряду заново провести ПЦФ.

Из рис. 2 следует, что для рядов чисел, 10% ÷50% которых отклонено от нормально распределенных случайных чисел, средние квадратические отклонения средних от истинного значения после указанной смешанной пятикратной фильтрации мало отличаются от результатов, полученных для нормально распределенных случайных чисел (см. рис. 1, 2). Надо отметить, что в подобных случаях, когда численные ряды содержат грубые отклонения, скользящие цифровые фильтрации (с усреднением трех членов) не уменьшают дисперсию средних значений, поскольку подобная фильтрация не влияет на среднее значение каждого ряда в отдельности. Итак, для получения наилучшей оценки истинного значения измеряемой величины необходимо к численным рядам, содержащим грубые ошибки, применить смешанную ПЦФ.

Очевидно, что в том случае, когда из наблюдений определяется некоторая времениая зависимость, как смешанная цифровая фильтрация, так и исключение резко отклоняющихся от среднего результатов измерений (более чем на 3 г) становятся неприменимыми. Здесь

целесообразно применять ПЦФ.

Покажем, что ПЦФ действительно имеет преимущество по сравнению со скользящей цифровой фильтрацией в случае, когда некоторая временная функция складывается с шумом. Для этой цели 30% членов нормально распределенных случайных чисел были умножены на числа  $1 \div 9$  (случайно) и к полученному цифровому ряду  $(n_1, n_2, \dots, n_n)$  $n_3, \ldots, n_{99}, n_{100}$ ) прибавлено дискретное значение синусоидальной. функции с амплитудой А=1. Таким образом был получен новый ряд  $N_1 = n_1 + \sin[10(1-1)], \quad N_2 = n_2 + \sin[10(2-1)], \quad N_3 = n_3 + \sin[10(3-1)], \dots$  $N_{100} = n_{100} - \sin[10(100 - 1)].$ 

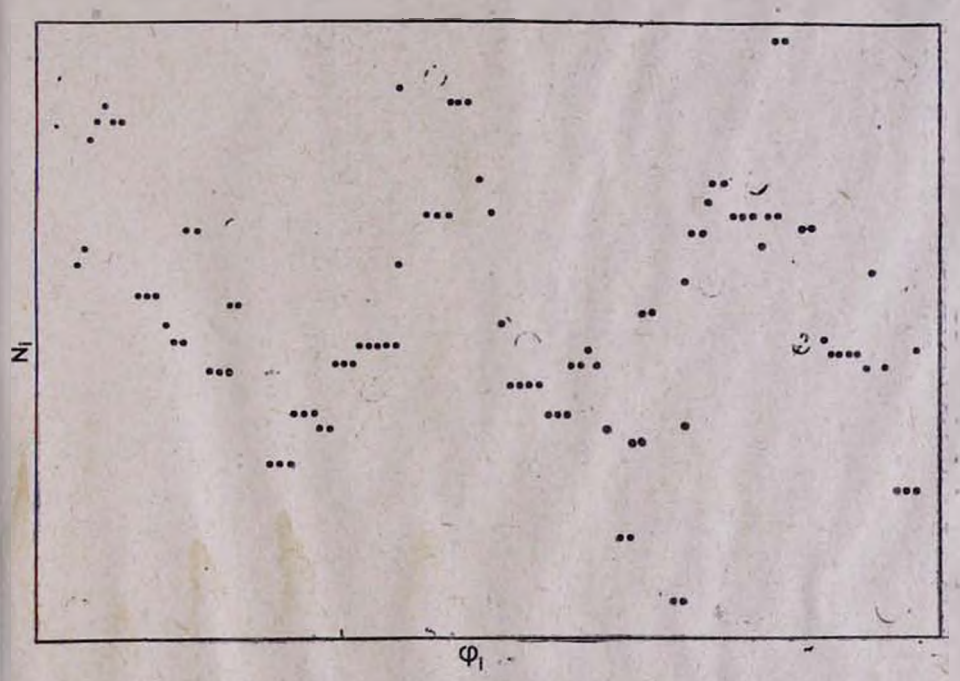


Рис. За

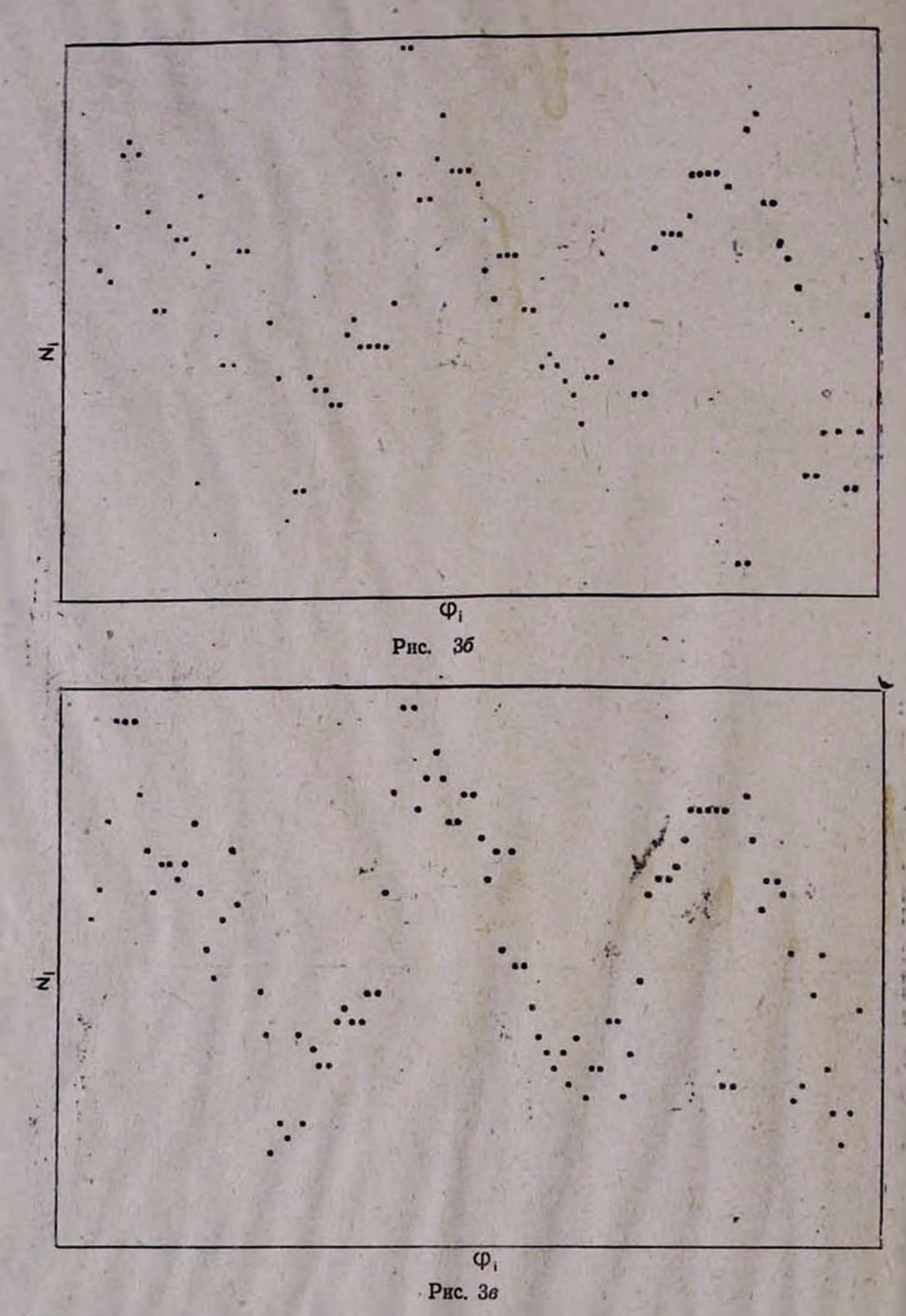
К трем группам такого ряда чисел была применена двукратная

ПЦФ и скользящая цифровая фильтрация с усреднением трех чисел. На рис. З приведены кривые синусоидальной функции для дискретных значений угла  $\varphi_i = \hat{1}0^{\circ}(i-1)$ , где i=1,2,3,..., 100, после двукратной ПЦФ, а на рис. 4 те же самые кривые после двукратной скользящей цифровой фильтрации. При этом на рис. 3 и 4: а представляет кривую первой группы цифрового ряда, б-среднее значение соответствующих членов первой и второй группы цифровых рядов, всреднее значение соответствующих членов первого, второго и третьего цифрового ряда.

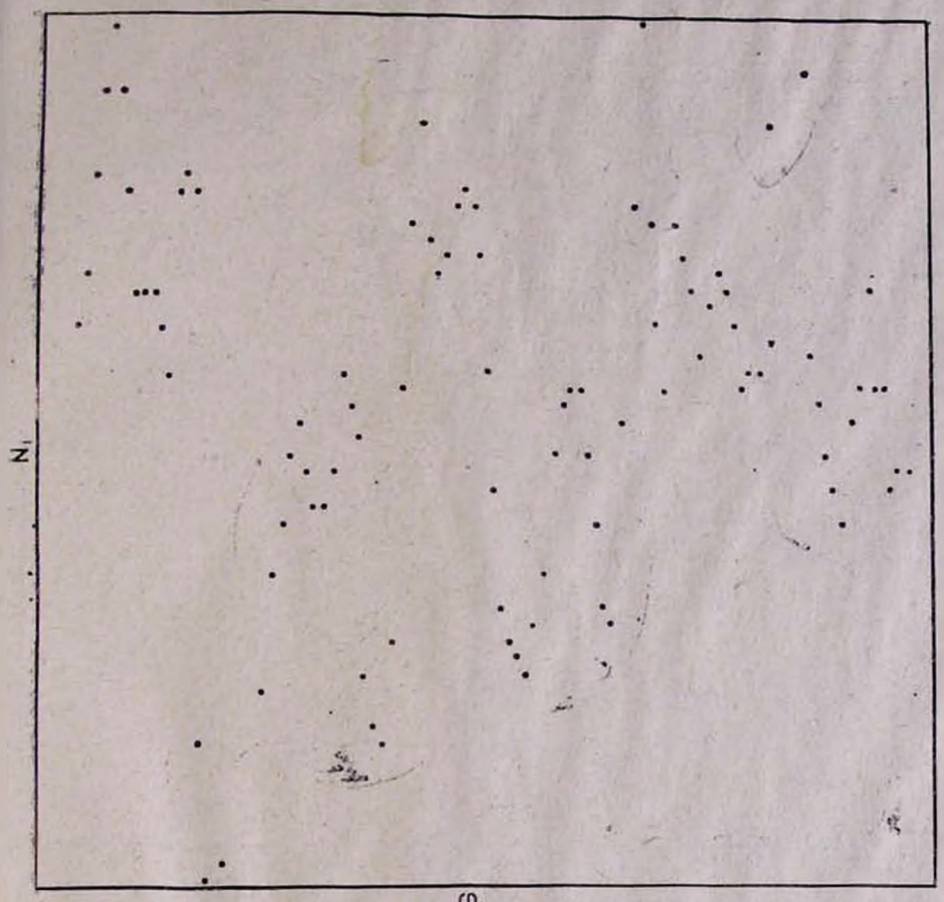
При сопоставлении рис. 3 с рис. 4 наблюдается очевидное преимущество ПЦФ относительно скользящей цифровой фильтрации, поскольку в первом случае мы получаем явно выраженную синусон-

дальную кривую.

Применим предложенный в настоящей работе метод ПЦФ для



обработки некоторых наблюдательных данных. Пусть измеряется средний фон ночного неба (в отдельных участках небесной сферы), на который накладывается излучение отдельных звезд, иногда попадающих в диафрагму фотометра.



Φ. Рис. 4а

Поскольку в данном случае шумы (излучение звезд) односторонне накладываются на излучение фона, увеличивая его среднее значение, то естественно было рассмотреть, с какой точностью ПЦФ исключает ложные односторонние сигналы (излучение звезд). Для этой цели из 250 фотометрических измерений стандартного светового потока 10%, 20%, 30% случайно выбранных членов суммировали со случайными величинами 1 о, 2 о, 3 о, ....., 9 о, где о —дисперсия измеренных световых потоков.

После усреднения этих данных по группам, в каждой из которых содержалось 25 численных значений, мы получили односторон-

нее отклонение средних от истинных значений.

Это отклонение в среднем составляло 1.6 с в случае, когда на 30% фотометрических данных были добавлены случайные по величине числа, находящиеся в пределах 1 о÷9 о. Однако после применения смешанной ПЦФ это расхождение составляло 0.4 г, а в 10% случаев-0.04 с. Это означает, что смешанная ПЦФ почти полностью убирает односторонние шумы.

Теперь применим ПЦФ к наблюдениям фона ночного неба, выполненным в отдельных участках неба, во время сканирования которых в диафрагму фотометра входят звезды, сигналы которых накла-

дываются на фон как односторонние шумы.

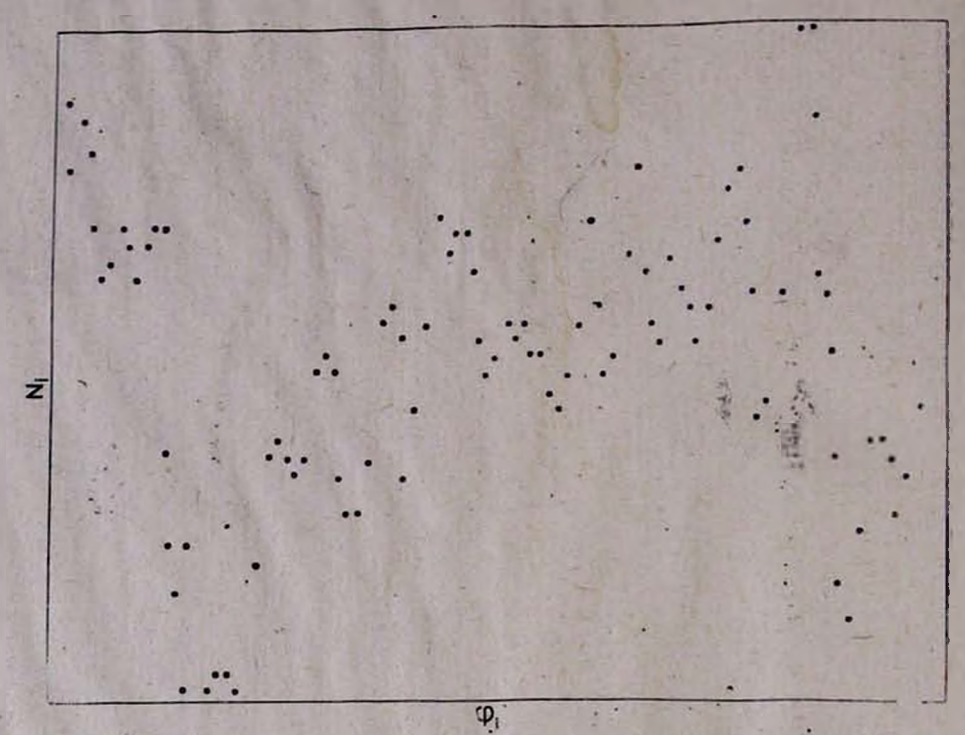
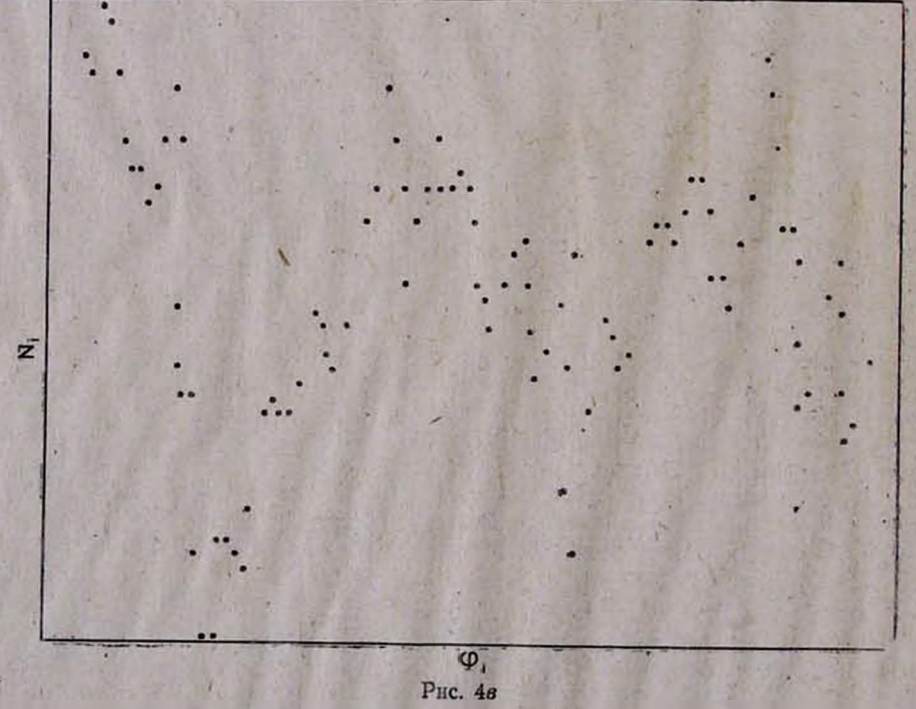
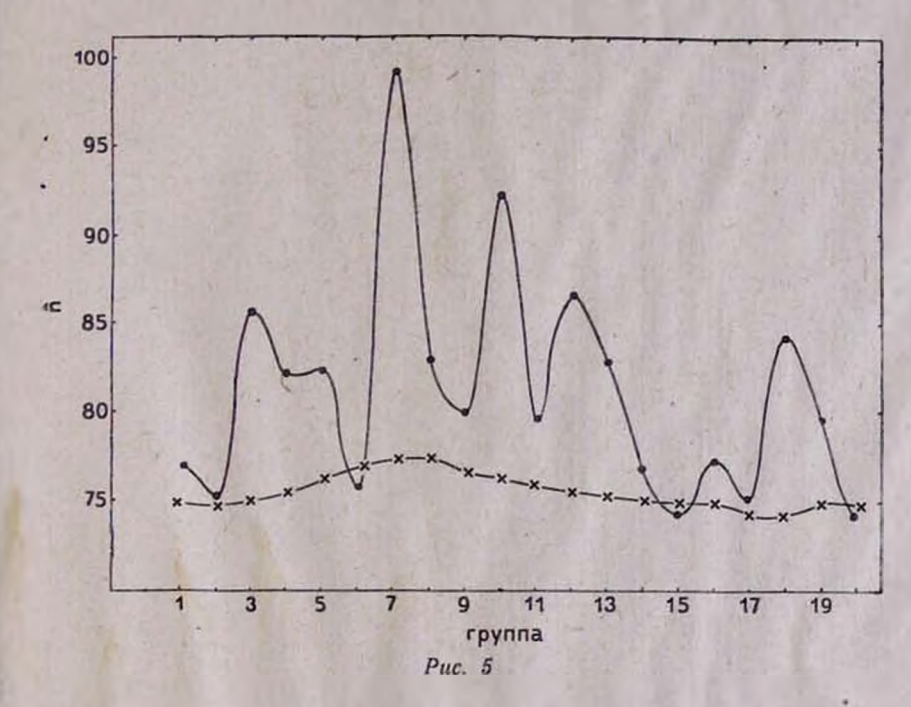


Рис. 46



Для получения фотометрической информации такого типа с помощью электрофотометра, установленного в фокусе 40 см телескопа системы Кассегрена, было просканировано ночное небо в области Млечного Пути. Сканирование проводилось по углу склонения при остановленном часовом механизме. При том же угле места 20 раз было выполнено по 25 фотометрических измерений. Каждый раз из-за вращения Земли вместе с фоном регистрировались попадающие в диафрагму фотометра новые звезды с различными яркостями. С применением ПЦФ к полученным 20 группам фотометрической информации в отдельности было вычислено среднее значение фона ночного неба. Отметим, что после каждой ПЦФ мы переставляли места членов в рядах случайным образом и заново проводили ПЦФ.



На рис. 5 приводятся средние значения измерения излучения фон + звезда (n) для двадцати групп—без фильтрации (точки) и после применения смешанной ПЦФ (крестики). Как видно из рис. 5, преимущество применения ПЦФ очевидно.

С целью применения ПЦФ для фотометрии по нашей просьбе в Институте физики АН Арм. ССР были получены цифровые данные детальной фотометрии в области стандартных звезд Полярного ряда,

сфотографированные на фотопластинке.

После детального фотометрирования с шагом  $8\mu$ , была получена цифровая матрица, состоящая из  $128\times128$  элементов. С помощью ЭВМ ЕС-1030 была проведена ПЦФ по каждой строке и столбцу матрицы в отдельности. Для определения среднего фона  $\overline{D_{\Phi}}$  и среднеквадратической ошибки фона (дисперсии  $\sigma_{\Phi}$ ) мы поступили следующим образом. Полученную после ПЦФ (без смещения местами членов) фотометрическую цифровую матрицу мы разбили на 256 квадратов, в каждом из которых содержалось  $8\times8$  элементов и было определено среднее значение почернения ( $D_{1}$ ) и среднеквадратическое

```
5
                                        6
                       44
       5745
       54 4
              4
               4
                                              447
                      4
       4556
445
                                     6
                      55554
                                       4
                                   6
                    4
                                     6
                                              4
                         44
                            445
                                          6
        45544
                                               4
  44455
                56555
                      6464
        445544
                      7666
                               76
                 54
                645 688976457455654 8
                                         4
       65 4
              4
                  7499AAAAA788887695
    45
              555798BBCCBBABAA8A86
                                              6
     45
               77BABDECFDDEDBAAB6
                                          5
              659BCBDFFFFGEFEEDEA858
    444
            484AACCEFFEFFFFEFEEDBB8
    45 4
            597BBEDEGGFFFFGGFFFEDBB
           67C8CDEEFGGFFFFGFGFGEBCB755 544
         5546A8CEFEFFFFGHGGGGGFFEBC8B5745
        55457C9DEGEFFFFGGFGGFHFFECD98975
5467
       5 4469BADEGFFFGFGGFGFGFGFFBEAA6B55 6
        45589DBEDFFGFGFGGGGGGGFGFDECB7787
4454
        46489CCDEFFFFFGFGGGFGFGFFCEC8455A
           57BACDFEGGGGGGGGGGGEFCE9A6947
            7A7CDFEFFGGGGFFGGFGFEECA9585
             A7CDFFFFGFGFGGHFGGFE9C9A4694
  44
             B6DEEEFFGGFFGFGGFFFCDB8845
         56
            5A7BCEEFEFFFHGGFFEFEDAB59 4
        546
            486ACDDEEFFFFFFFFFCD9B6A
             5 8ADCFEEFFFFGGEEFECC8B649
                                                  6
          4567689DCEDEEFFEFGECDC9594
  4
            45478CACCDEDFCECDBC7A 5
                                         5
             8456ABAADCCCBBBA99976574
                                          8
               45989AAAAA8A897B665555
               5675775887676565955
                                          6
                   477887 54 4 54 8
                                             8
                   666755
           44544
                                          5
                                    4
                                                   5
                   5567554
                 4
                                     5
                           4
                            45
                                 4
                                          5
                         54
                            44
                                  6
                   5546
                            4
                                     4
     4
                   475 4
                                      5
                    554
                                  4
                                          5
                      Рис. 6
```

```
554
      5554
      444
                     444
                       44
                           4
        45544
       445544
              45555 566665
                445688876555756554
              4454799AAAA888887654
              55789BBCCBBBAAAA8865
             5577ABDDDEDDDDDBAAA66
    44
   44
            469ABCDFFFFFFEEEEDB885
   44
           458ABCCEFFFFFFFFEEEDBB8
           579BBDEEGGFFFFFFFFEEBB
          468ACDEEFGGFFFFGGGFFEDBB7554444
        45578CCEEFFFFFGGGGGGGFFECC887554
        45579BDEEFFFFFGGGGGGGFFEDBA97655
       44569ACDEFFFFFGGGGGGGGFFFECAA77554
4455
       44589BCDEFFFFFGGGGGGGFGFFFECCA76754
4444
       44589BCDDFFFGGGGGGGGGGGFFECCA76754
          57ABCDEFFFGGGGGGGGGFFFECA98575
           77ACDEFFFGGGGGGGGGGFECCA98554
            7ACDEFFFGGGGGGGGGGFFEDC99655
            7ACDEEFFFFFFGGGFFFFDBA9854
        44446ABCEEEFFFFFGGFFFEEDBA964
        444468ACDDEFFFFFGGFFFEDCB9964
          44678ACDEEFFFFFFFEEECCB864
           44589CDDEEEFFFEEEDCCA954
           44778ACCCDDEDECDCCB99554
            45568AAACCCCBBBAA97755544
             456899AAAAAA89899965554
              4557777887766656555554
                   6678875444 4444
            444
                   566655
                   566655
                           44
                           44
                           44
                   4444
                   4554
                    55
                    Рис. 7
```

оі). Итак, было получено по отклонение от среднего (дисперсия 256 новых  $\overline{D}_i$ ,  $\sigma_i$  элементов ( $i=1, 2, \ldots, 256$ ).

Для определения среднего фона ( $\overline{D_{\Phi}}$ ) и дисперсии  $\overline{(\sigma_{\Phi})}$ 256 элементов было выделено 20% элементов с минимальными  $(\overline{D_i}, z_i)$  почернениями и дисперсиями, после чего из выбранных элементов были усреднены отдельно те  $\overline{D_i}$  и  $\mathfrak{s}_i$ , у которых i одинаковы, т. е. они (Д, д) принадлежат к одним и тем же квадратам. А это означает что вычисленные средний фон и дисперсия получены из тех квадратов, у которых фон однороден.

Для построения изофот изображения объектов (в цифровом виде) наблюдаемые почернения 128×128 элементов (с учетом среднего фона) были разделены на величину вычисленной средней дисперсии фона и результаты были выведены на АЦПУ вычислительной машины ЕС-1030 (см. рис. 6, 7). На рис. 6 представлены данные без фильтра-

ции, а на рис. 7-с применением ПЦФ.

На рисунках буквами А, В, С, D, Е, F, G, Н обозначены почернения, превосходящие среднее значение фона на 10 оф. 11 оф. .... 17 бр. Из рис. 6 и 7 следует, что после ПЦФ (рис. 7) мы имеем изображение гораздо контрастнее, чем без фильтрации (рис. 6).

Последнее обусловлено тем, что после ПЦФ дисперсия фона поч-

ти в два раза уменьшается. При ПЦФ количество ложных сигналов уменьшается в несколько раз по сравнению с обычной фильтрацией при том же самом алгоритме обработки.

Итак, предложенная в настоящей работе ПЦФ может быть по-

лезной для предварительной обработки данных наблюдений.

27 июня 1979 г.

ค. น. 4นคานเอนเ, บ. 2. gururaui, บ. บ. บากลูกลนเ

## ԹՎԱՅԻՆ ԶՏՄԱՆ ՆՈՐ ԵՂԱՆԱԿԸ ԵՎ ՆՐԱ ԿԻՐԱՌՈՒԹՅՈՒՆԸ

## Ամփոփում

Բերվում է թվային զաման նոր եղանակը, որը կիրառվում է թվային ինֆորմացիայի նախնական գտում կատարելու համար։

R. A. VARDANIAN, M. H. ZACHARIAN, M. S. MIRZOIAN

## A NEW NUMERICAL FILTERING METHOD AND ITS APPLICATION

## Summary

A new method of a data processing is described which is applicated for a preliminary filtration of a numerical information.

## ЛИТЕРАТУРА

1. Л. Н. Большев, Н. В. Смирнов, Таблицы математической статики, 433, М., 1965.

#### Г. А АРУТЮНЯН

# ПРОСТОЙ МЕТОД ВЫЧИСЛЕНИЯ ФУНКЦИИ ПЕРЕРАСПРЕДЕЛЕНИЯ $r_{111}(x', x, y)$

#### 1. Введение

Как известно, вычисление функции перераспределения  $r_{\rm HI}(x',x,\gamma)$ (здесь и далее мы будем следовать обозначениям, принятым Хаммером в [1]) представляет собой довольно трудоемкую задачу. Указанная функция описывает элементарный процесс перераспределения по частотам и направлениям, когда наряду с доплеровским уширением линии учитывается также затухание вследствие излучения и столкновений, причем предполагается, что столкновения происходят настолько часто, что в системе отсчета, связанной с атомом, имеет место полное перераспределение по частотам. В настоящее время мы располагаем рядом работ, касающихся методов облегченного вычисления закона перераспределения  $r_{111}(x', x, \gamma)$ , среди которых следует отметить работы Рейчела и Вардаваса [2], а также Маньяна [3].

Способ построения  $r_{\rm III}(x', x, \gamma)$ , предложенный в первой из них, основан на непосредственном вычислении двойного интеграла с помощью квадратурных формул. В работе [3] функция перераспределения разлагается в ряд по некоторой системе функций. Там же разра-

ботан метод построения этих функций.

Несколько иным способом подобное разложение получено А. Г. Никогосяном в работе [4]. Это разложение существенным образом облегчает дальнейшие вычислення и позволяет обобщить предложенный ранее в [5—7] метод решения задач об образовании спектральных линий на рассматриваемый нами случай перераспределения по частотам.

В настоящей работе мы укажем на относительно простой путь построения  $r_{\rm HI}(x',x,\gamma)$ , основанный на предложенном в [4] билинейном разложении функции перераспределення, а также получим некоторые асимптотические формулы, которые могут быть использованы для практических целей.

2. Функции перераспределения  $r_1(x', x, \gamma)$  и  $r_{111}(x', x, \gamma)$ 

Выражения функции перераспределения по частотам и направлениям для различных механизмов уширения спектральной линии были рассмотрены и подробно изучены в работе Хаммера [1]. Для чисто доплеровского рассеяния закон перераспределения дается выражением

$$r_1(x', x, \gamma) = \frac{1}{\sqrt{\pi \sin \gamma}} \exp\left(-\frac{x'^2 + x^2 - 2x' \cdot x \cos \gamma}{\sin^2 \gamma}\right). \tag{1}$$

где x' и x — безразмерные частоты соответственно поглощенного и переизлученного квантов и  $\gamma$  — угол рассеяния.

Если же помимо доплеровского механизма учитывается также пе-

рераспределение. обусловленное затуханием вследствие излучения и столкновений, то имеем

$$r_{\mathrm{HI}}(x', x, \gamma) = \frac{\sigma \operatorname{cosec} \gamma}{\pi^{3/2} U(0, \sigma)} \int_{-\infty}^{\infty} \frac{e^{-u^2} U(x \operatorname{cosec} \gamma - u \operatorname{ctg} \gamma, \sigma \operatorname{cosec} \gamma)}{(x'-u)^2 + \sigma^2} du. \tag{2}$$

Здесь  $\mathfrak{I}=(\Delta \nu_E + \Delta \nu_c)/\Delta \nu_D$ , где  $\Delta \nu_D$  и  $\Delta \nu_E$  суть доплеровская и естественная полуширины линии, а  $\Delta \nu_c$ — полуширина линии, обусловленная столкновениями:

$$U(x,\sigma) = \frac{\sigma}{\pi} \int_{-\pi}^{\infty} \frac{e^{-u^2} du}{(x-u)^2 + \sigma^2}$$
 (3)

—функция Фойгта.

Как показано в [4], функцию  $r_{\rm m}(x', x, \gamma)$  можно представить в следующем виде:

$$r_{\rm III}(x', x, \gamma) = \frac{1}{U(0, \sigma)} \sum_{k=0}^{\infty} \cos^k \gamma \, \alpha_k(x', \sigma) \alpha_k(x, \sigma), \tag{4}$$

где

$$\alpha_k(x, \sigma) = \frac{\sigma}{\pi} \int_{-\pi}^{\infty} \frac{\alpha_k(u)du}{(x-u)^2 + \sigma^2}, \qquad (5)$$

$$a_k(x) = (2^k \pi^{1/2} k!)^{-1/2} H_k(x) a(x) \qquad (6)$$

суть собственные функции ядра  $g_1(x', x, \gamma) = r_1(x', x, \gamma)/a(x)$ ;  $H_k(x)$  полиномы Эрмита и  $a(x) = \exp(-x^2)$  — контур доплеровского коэффициента поглощения.

В случае, когда важным является выявление лишь частотной зависимости, ограничиваются рассмотрением закона перераспределения, усредненного по углам

$$r(x', x) = \frac{1}{2} \int_{0}^{\pi} r(x', x, \gamma) \sin \gamma d\gamma.$$

Для усредненных по направлениям функций перераспределения, соответствующих (1) и (2), будем иметь

$$r_{l}(x', x) = \int_{|x|}^{x} e^{-u^{s}} du$$

H

$$r_{\rm III}(x', x) = \frac{1}{\pi^2 U(0, \sigma)} \int_{-\infty}^{\infty} e^{-u^2} f(x', u) f(x, u) du, \tag{7}$$

где 
$$|x| = \max(|x'|, |x|)$$
 и  $f(x, u) = \operatorname{arctg} \frac{x+u}{\sigma} - \operatorname{arctg} \frac{x-u}{\sigma}$ 

Нетрудно также убедиться, что  $r_{\rm HI}(x', x)$  может быть представлено в форме, аналогичной (4)

$$r_{\text{III}}(x', x) = \frac{1}{U(0, \sigma)} \sum_{k=0}^{\infty} A_k \alpha_{2k}(x', \sigma) \alpha_{2k}(x, \sigma),$$
 (8)

где  $A_k = 1/(2k+1)$ . Разложение (8) впервые было получено Хаммером (см. [1]) непосредственно из формулы (7).

Далее, из (3), (5) и (6) вытекает, что  $z_0(x, \sigma) = \pi^{1/4}U(x, \sigma)$ . Поэтому, если в суммах (4) и (8) ограничиться лишь первым членом, приходим к случаю полного перераспредсления по частотам

$$r_{\rm III}(x', x, \gamma) = r_{\rm III}(x'x) = \frac{U(x', \sigma)U(x, \sigma)}{\sqrt{\pi}U(0, \sigma)}$$
 (9)

Устремляя z к нулю, имеем  $\lim_{x\to 0} a_k(x, z) = a_k(x)$ . Тогда разложения (4) и (8) будут описывать случай чисто доплеровского перерас-

пределения.  $\Phi_{V}$ нкции  $2h(x, \sigma)$ , как известно, допускают следующее интеграль-

ное представление:

$$\alpha_{k}(x, \sigma) = (2^{k}\pi^{1}|^{2}k!)^{-1|^{2}} \frac{2}{\sqrt{\pi}} \operatorname{Re}(-2i)^{k} \int_{0}^{\infty} t^{k}e^{-t^{2}-2\pi t+2i\lambda t} dt.$$
 (10)

Маньяном в [3] были получены рекуррентные формулы для вычисления  $\alpha_k(x,z)$ . Однако при вычислениях по этим формулам предполагается знание вспомогательной системы функций

$$\beta_k(x, \sigma) = (2^k \pi^{1/2} k!)^{-1/2} \frac{2}{\sqrt{\pi}} \operatorname{Im}(-2t)^k \int_0^t t^k e^{-t^2 - 2\sigma t + 2ixt} dt.$$
 (11)

Надо отметить, что функции  $\beta_k(x, \sigma)$  также допускают представление, аналогичное (5):

$$\beta_k(x, \sigma) = \frac{\sigma}{\pi} \int_{-\pi}^{\pi} \frac{\beta_k(u)du}{(x-u)^2 + \sigma^2},$$

где  $\beta_k(x) = (2^k \pi^{1/2} k!)^{-1/2} N_k(x)$ , а  $N_k(x)$  известны как функции Эрмита второго рода (см., напр., [8]).

Не останавливаясь на деталях, заметим лишь, что при таком подходе необходимо заранее протабулировать функции  $\alpha_0(x, \sigma)$  и  $\beta_0(x, \sigma)$ ,

построение которых является предметом отдельной задачи.

Мы будем строить функции  $a_k(x,\sigma)$ , придерживаясь другого, более простого, по нашему мнению, метода, предложенного Хаммером в [1] для усредненного по углам закона  $r_{\rm HI}(x',x)$  и не требующего построения вспомогательных функций  $\beta_k(x,\sigma)$ . Указанный подход, к тому же, предоставляет возможность изучения асимптотического поведения функции перераспределения.

В формуле (10) разложим экспоненту  $e^{-2\pi t}$  в степенной ряд.

Тогда получим

$$a_k(x, \sigma) = (2^k \pi^{1/2} k!)^{-1/2} \sum_{m=0}^{\infty} \frac{(i\sigma)^{2m}}{(2m)!} \left[ M_{k+2m}(x) - (-1)^k \frac{\sigma}{2m+1} N_{k+2m+1}(x) \right], \tag{12}$$

где введены следующие обозначения:

$$M_k(x) = \frac{2}{\sqrt{\pi}} \operatorname{Re}(-2t)^k \int_0^x t^k e^{-t^2 + 2ixt} dt$$
 (13)

И

$$N_k(x) = \frac{2}{\sqrt{\pi}} \operatorname{Im}(-2t)^k \int_0^\infty t^k e^{-t^2+2ixt} dt.$$
 (14)

Из (13) и (14) можно получить следующие рекуррентные соотношения:

$$M_{k+1}(x) = 2xM_k(x) - 2kM_{k-1}(x), \tag{15}$$

$$N_{k+1}(x) = 2xN_k(x) - 2kN_{k-1}(x).$$
 (16)

Первые четыре функции  $M_{\kappa}(x)$  и  $N_{\kappa}(x)$  имеют вид

$$M_0(x) = \exp(-x^2), \quad M_1(x) = 2xM_0(x),$$

$$N_0(x) = \frac{2}{\sqrt{\pi}} F(x), \quad N_1(x) = 2x N_0(x) - \frac{2}{\sqrt{\pi}},$$

где

$$F(x) = \int_{0}^{\infty} e^{-t^{2}} \sin 2x t dt = e^{-x^{2}} \int_{0}^{x} e^{t^{2}} dt$$
 (17)

функция Дайсона, являющаяся решением следующей задачи Коши:

$$F'(x) = 1 - 2xF(x)$$
 (18)

с начальным условием F(0)=0. Вопрос о вычислении функции F(x) обсуждается, например, в работе Хаммера [9]. Ссылки по вопросу построения функции Дайсона можно найти также в [1].

## 3. Зависимость функции перераспределения от х

Учитывая асимптотическое поведение функции Дайсона

$$F(x) \approx \sum_{n=0}^{\infty} \frac{(2n)!}{2^{2n+1}n! \ x^{2n+1}}$$
 (19)

нетрудно получить, что

$$N_k(x) \approx \frac{(-1)^k}{\sqrt{\pi} x^{k+1}} \sum_{n=0}^{\infty} \frac{(2n+k)!}{2^{2n} n! x^{2n}}, \quad |x| \to \infty$$
 (20)

Что же касается функций  $M_k(x)$ , то они задаются простым выражением  $M_k(x) = H_k(x) \exp(-x^2)$  и для больших x ими можно пренебречь. Тогда получаем

$$a_{k}(x, \sigma) \approx \frac{\sigma}{\sqrt{\pi} x^{k+2}} (2^{k} \pi^{1/2} k!)^{-1/2} \sum_{n=0}^{\infty} \frac{(2n+k+1)!}{x^{2n}} \sum_{m=0}^{n} \frac{(-1)^{m} \sigma^{2m}}{2^{2(n-m)} (2m+1)! (n-m)!},$$
(21)

которое при k=0 переходит в известное (см. [10], [11]) асимптотическое выражение для функции Фойгта:

$$\pi^{+1|4}U(x,\sigma)=a_0(x,\sigma)\approx \frac{\sigma}{\pi^{3|4}x^2}\sum_{n=1}^{\infty}\frac{(2n+1)!}{x^{2n}}\sum_{m=0}^{n}\frac{(-1)^m\sigma^{2m}}{2^{2(n-m)}(2m-1)!(n-m)!}.$$
(22)

Для больших x (21) является довольно хорошим приближением. Следует заметить, что с ростом x функции  $\alpha_k(x,\sigma)(k\neq0)$  убывают быстрее, чем  $\alpha_0(x,\sigma)$ . и с большой точностью можно пренебречь остальными членами в суммах (4) и (8). Тогда, как уже было сказано выше, приходим к случаю полного перераспределения по частотам. Если же под знаком суммирования по n в (22) ограничиваться лишь первым членом, то есть, если принять, что при  $x \mapsto \infty$ ,  $\alpha_0(x,\sigma) \approx \pi^{-3/4} \sigma/x^2$ , то получим

$$r_{\rm III}(x', x, \gamma) = r_{\rm III}(x', x) \approx \frac{\pi^{-3|2}}{U(0, \sigma)} \frac{\sigma^2}{x'^2 \cdot x^2}.$$
 (23)

С другой стороны, легко видеть, что для малых  $\sigma$  и при значениях x, меньших некоторого  $x_h$ , в сумме (12) можно ограничиться первым слагаемым. Тогда  $\alpha_h(x, \sigma) \approx \alpha_h(x)$  и в интервале частот [-x, x] (х—  $\min\{|x_h|\}$ ) имеет место следующее приближенное равенство:

$$r_{\rm III}(x', x, \gamma) \approx r_{\rm I}(x', x, \gamma). \tag{24}$$

Таким образом, из (23) и (24) следует, что процесс рассеяния излучения, представляемый функцией  $r_{\rm III}(x',x,\gamma)$ , в зависимости от  $\sigma$  и  $\gamma$ , может быть достаточно хорошо описан в центральных частотах линии доплеровским перераспределением по частотам и направлениям, а в далеких крыльях — полным перераспределением при лоренцовском профиле.

### 4. Зависимость функции перераспределения от угла рассеяния ч и параметра о

В зависимости от значения угла рассеяния функция перераспределения  $r_{\text{III}}(x', x, \gamma)$  изменяется в очень больших пределах. С точки зрения вычислений, наиболее простым является тот случай, когда переизлученный квант рассеивается под прямым углом к первоначальному направлению. При этом, как известно, отсутствует корреляция между частотами поглощенного и излученного квантов, и мы приходим к формуле (9). Тогда функция перераспределения  $r_{\text{III}}(x',x,\gamma)$  (как и  $r_{\text{I}}(x',x,\gamma)$ ) независимо от частоты поглощенного кванта x' имеет единственный максимум на частоте x=0, что следует из выражения (9) и обусловлено поведением контура поглощения.

Если же  $\gamma \neq \pi/2$ , в разложении (4) суммируются все слагаемые и возникает частичная когерентность. Функция  $r_1(x',x,\gamma)$ , как это нетрудно видеть непосредственно из формулы (1), при фиксированном значении x' имеет максимум на частоте

$$x = x' \cos \gamma. \tag{25}$$

Но для частот  $x' \in [-x,x]$  выполняется равенство (24) и, следова-

тельно, в этом интервале  $r_{\rm III}(x',x,\tau)$  также имеет максимумы на частотах, которые определяются выражением (25). В случае же, когда  $x' \in [-x,x]$ , максимум функции перераспределения  $r_{\rm III}(x',x,\tau)$  с ростом |x'| перемещается в центр линии, поскольку в этом случае справедливы соотношения (9) и (23).

Для значений  $\gamma$ , близких к нулю, начинает сказываться то обстоятельство, что рассматриваемые нами функции перераспределения  $r_1(x',x,\gamma)$  и  $r_{111}(x',x,\gamma)$  описывают элементарные акты рассеяния, принципиально отличающиеся друг от друга уже в системе отсчета, свя-

занной с атомом. Из (1) легко видеть, что

$$\lim_{\gamma \to 0} r_1(x', x, \gamma) = a(x')\delta(x'-x). \tag{26}$$

Заметим, что (26) справедливо лишь потому, что в системе атома имеет место когерентное рассеяние.

Действительно, если  $v_0$  —центральная частота линии, v —скорость теплового движения атома в системе отсчета наблюдателя,  $\Delta v$  и  $\Delta \xi$  —смещения частоты кванта после переизлучения соответственно в системах отсчета наблюдателя и атома, то нетрудно видеть (ср., напр., с [1]), что

$$\Delta v = \Delta \xi + 2 \frac{v_0}{c} \vec{n} \vec{v} \sin \frac{\gamma}{2}, \qquad (27)$$

где п — некоторый единичный вектор, связанный с направлениями

поглощенного и переизлученного квантов.

Из (27) видно, что при  $\gamma=0$  когерентность в лабораторной системе может быть наблюдена только тогда, когда  $\Delta \xi=0$ , т. е., если в системе атома происходит когерентное рассеяние. Но если в системе атома имеет место полное перераспределение по частотам и, вообще говоря,  $\Delta \xi \neq 0$ , что характерно для закона перераспределения  $r_{\text{III}}(x', x, \gamma)$ , то когерентность не может быть наблюдена.

Чтобы получить значение функции перераспределения  $r_{\rm III}(x',x,\gamma)$ 

при 7=0, заметим, что она допускает следующее представление:

$$r_{\rm III}(x', x, \gamma) = \frac{\sigma^2}{\pi^2} \int \frac{du}{(x'-u)^2 + \sigma^2} \int \frac{r_1(u, t, \gamma)}{(x-t)^2 + \sigma^2} dt, \qquad (28)$$

которое получено в работе [4]. Устремляя в (28)  $\gamma$  к нулю и учитывая (26), получим

$$r_{\rm III}(x', x, 0) = \frac{\sigma^2}{\pi^2} \int_{-\pi}^{\pi} \frac{\alpha(u)du}{[(x-u)^2 + \sigma^2][(x'-u)^2 + \sigma^2]}.$$
 (29)

Как легко видеть, правая часть соотношения (29) лишь при с=0 вы-

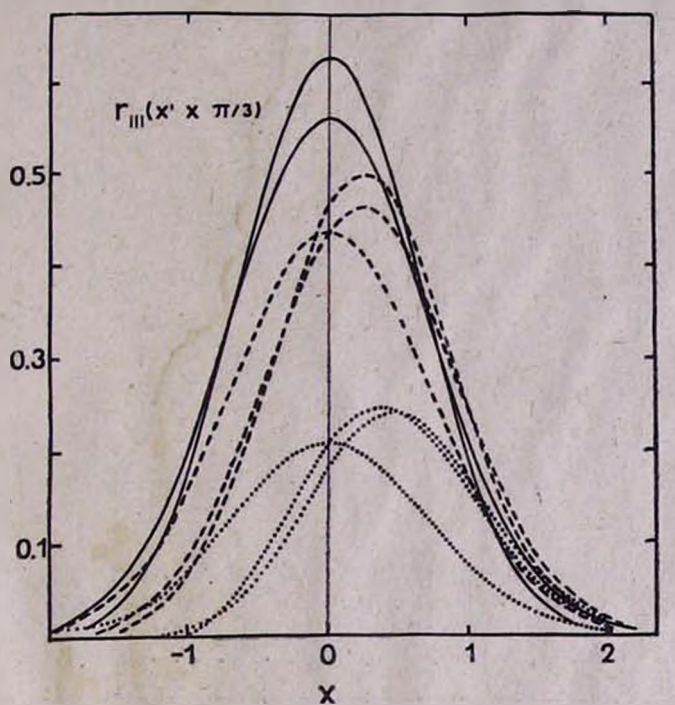
ражается через д-функцию.

Нетрудно также убсдиться, что с ростом параметра  $\sigma$  интервал [-x,x] уменьшается, и при  $\sigma \to \infty$  мы приходим к полному перераспределению при лоренцовском профиле поглощения.

## 5. Численные результаты

В качестве иллюстрации мы здесь приведем некоторые результа-

ты вычислений, выполненных с помощью формул (4) и (8). Для наглядности приведены графики функций перераспределения в различных приближениях, т. е., когда бесконечная сумма заменяется соответствующей конечной суммой.



На рис. 1 показаны графики функции  $r_{\rm III}$  (x', x,  $\pi$ /3) при малых значениях фиксированного аргумента x'. Учитывая, что первое приближение соответствует полному перераспределению по частотам, можно проследить за ходом изменения функции перераспределения, когда к сумме (4) добавляются новые слагаемые и возникает частичная когерентность. Как видно, при этом максимумы функции перераспределения перемещаются в сторону  $x=x'\cos\gamma$ , т. е. определяются соотношением (25), справедливым для доплеровского рассеяния.

Для сравнения на рис. 2 приведены графики функции перераспределения при доплеровском рассеянии. На рисунке показаны графики функции  $r_1(x',x,\pi/3)$  лишь при полном перераспределении и гра-

фики, построенные с помощью точной формулы (1).

Как можно заключить из рис. 3, на котором приведены графики функции  $r_{\text{III}}(x', x, \pi/3)$  для больших значений x', кваит с наибольшей вероятностью переизлучается вблизи центра линии независимо от частоты поглощенного кванта x'. Надо заметить, что максимум функции перераспределения с ростом x' все больше перемещается к центру линии, что вытекает из формул (9) и (23).

На рис. 4 приведены графики усредненных по углам функций перераспределения  $r_1(x',x)$  и  $r_{111}(x',x)$  при малых значениях фиксирован-

ного аргумента x'.

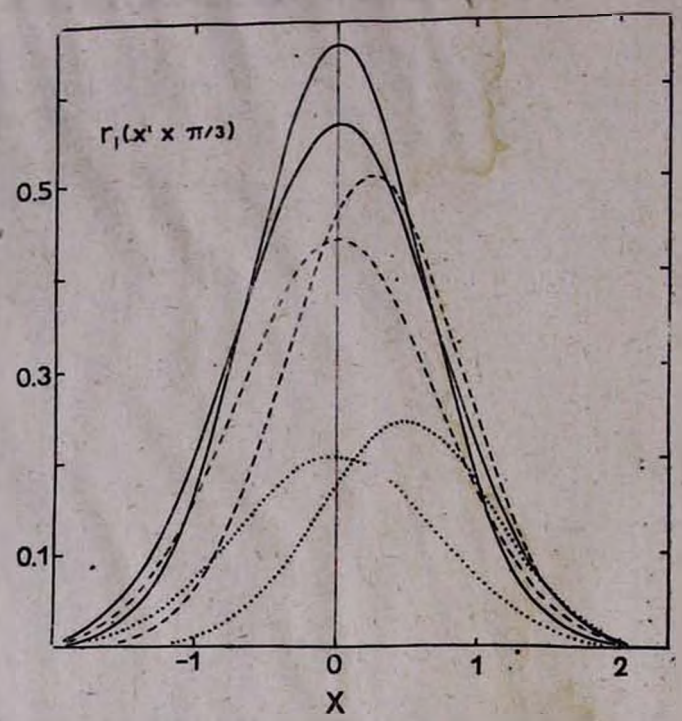
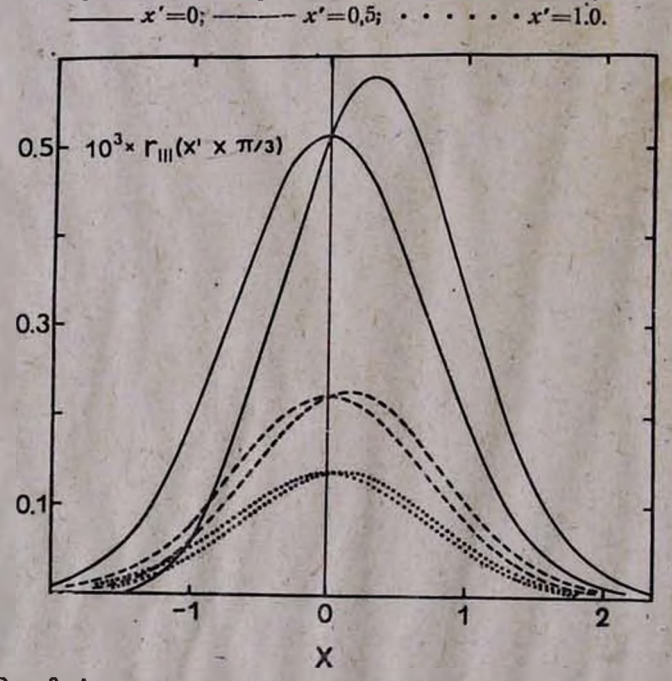


Рис. 2. Функции перераспределения  $r_1$  (x', x,  $\pi/3$ ). Приведены графики функции при истинном законе (формула (1)) и при полном перераспределении (1 приближение).



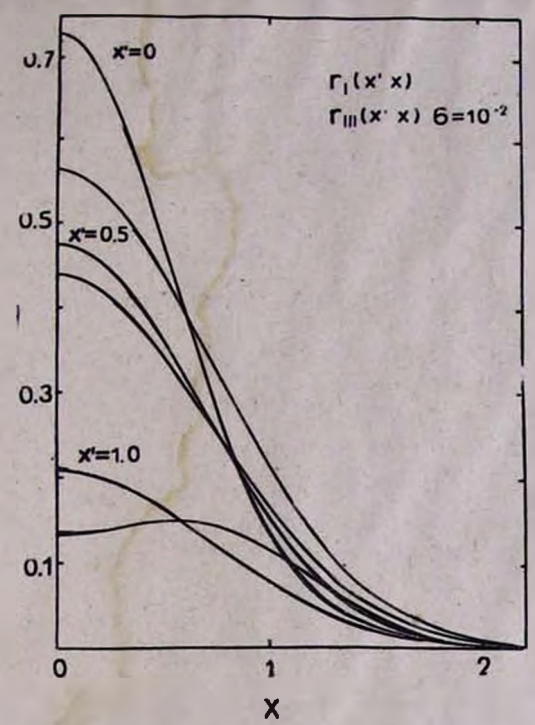


Рис. 4. Усредненная по углам функция перераспределения. Приведены графики функции в I и IV приближениях.

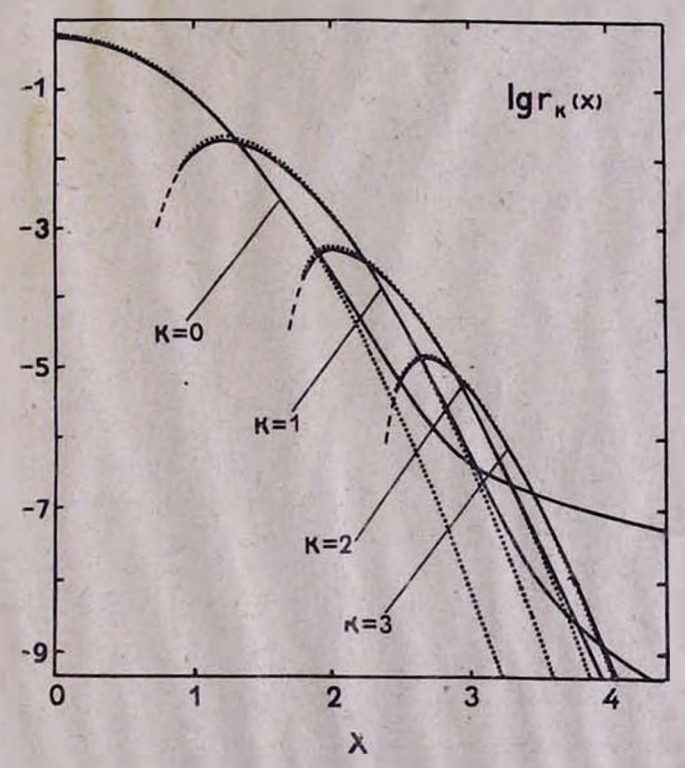


Рис. 5. Функция  $r_k(x)$ . ——  $\sigma = 10^{-2}$ ; • • • •  $\sigma = 0$ .

Доминирующую роль первого слагаемого в сумме (8) в далеких крыльях можно установить также с помощью графиков на рис. 5, где построены следующие функции:  $r_k(x) = A_k z_2^2 k(x, \sigma)$  для фойгтовского и доплеровского законов рассеяния. Как легко видеть, для любого k при доплеровском законе перераспределения всегда найдется некоторое  $x_k$  такое, что

 $r_{k+1}(x) > r_k(x)$ , при  $|x| > x_k$ . (30)

Неравенство (30) непосредственно следует из самого определения

функций  $a_k(x)$ .

Что же касается фойгтовского закона рассеяния, то здесь наблюдается противоположная, в некотором смысле, картина. Как видно из графиков и согласно формуле (27), ь этом случае для любого k можно найти такое  $x_k$ , что

$$r_{k+1}(x) < r_k(x) < \dots < r_0(x), \text{ при } |x| > x_k.$$
 (31)

Автор выражает свою искреннюю признательность А. Г. Никогосяну за обсуждение полученных результатов и ценные замечания.

9 октября 1978 г.

### 2. U. ZUPARPSARLSUL

 $r_{\mathrm{III}}(x',\,x,\,\gamma)$  ՎԵՐԱԲԱՇԽՄԱՆ ՖՈՒՆԿՑԻԱՅԻ ԿԱՌՈՒՑՄԱՆ ՊԱՐԶ ԵՂԱՆԱԿ

### Udhnhnid

Առաջարկվում է Րու(x',x,ղ)վերաբաշխման ֆունկցիայի Տաշվման Տամեմատաբար պարզ հղանակ։ Ֆունկցիայի ասիմպտոտային վարքը նկարագրհյու համար ստացված են բանաձևեր, որոնք կարող են օգտագործվել դործնակ<mark>ան</mark> նպատակների համար։ Առանձին քննարկված է տարբեր ֆիզիկական գործոններից վերաբաշխման ֆունկցիայի ունեցած կախման հարցը։ Բերված են Թվային հաշվարկների արդյունքներ։

#### H. A. HARUTHYUNIAN

## A SIMPLE METHOD FOR THE EVALUTION OF THE REDISTRIBUTION FUNCTION $r_{III}(x', x, \tau)$ .

### Summary

A relatively simple method for the evalution of the redistribution function  $r_{\rm III}(x',x,\gamma)$  is suggested. This function assumes completely non-coherent scattering in the atom's frame. Useful from the point of view of the practical applications asymptotical formulae are obtained. The dependence of the redistribution function on the various parameters is investigated. The results of the numerical calculations are also given.

### ЛИТЕРАТУРА

1. D. G. Hummer. MNRAS, 125, 21, 1962.

2. A. Reichel and I. M. Vardavas, JQSRT, 15, 929, 1975.

- 3. C. Magnan, JQSRT, 15, 979, 1975.
- 4. А. Г. Никогосян, ДАН СССР, 235, 786, 1977.
- 5. А. Г. Никогосян, Г. А. Арутюнян, ДАН СССР, 229, 583, 1976.
- 6. H. A. Haruthyunian and A. G. Nikoghossian, JQSRT, 19. 135, 1978.
- 7. А. Г. Никогосян, Г. А. Арутюнян, Астрофизика, 14, 393, 1978.
- 8. Н. Н. Лебедев, Специальные функции и их приложения, М., Гостехиздат, 1953.
- 9. D. G. Hummer, Mem. RAS, 70, 1, 1965.
- 10. G. N. Plass and D. I. Fivel, Ac. J., 117, 225, 1953.
- 11. Д. И. Нагирнер, Труды АО ЛГУ. 31, 1, 1975.

### о. в. пикичян

# СВЕЧЕНИЕ СРЕДЫ, ОСВЕЩЕННОЙ ПАРАЛЛЕЛЬНЫМИ ЛУЧАМИ, ПРИ ПРОИЗВОЛЬНОМ ЗАКОНЕ ПЕРЕРАСПРЕДЕЛЕНИЯ ИЗЛУЧЕНИЯ ПО ЧАСТОТАМ

### 1. Введение

Задача свечения среды при освещении параллельными лучами является одной из классических задач теоретической астрофизики. Решение этой задачи, полученное применением принципа инвариантности Амбарцумяна, в случае монохроматического изотропного рассеяния в полубесконечной плоско-параллельной среде имеет вид [1, 2]

$$\rho(\zeta, \eta) = \frac{\lambda}{2} \eta \frac{\varphi(\eta) \cdot \varphi(\zeta)}{\eta + \zeta}, \qquad (A)$$

где  $\rho(\zeta, \eta)$ —функция диффузного отражения в вероятностном представлении, агссоз и агссоз , соответственно, углы падения и отражения,  $\lambda$ —вероятность выживания кванта при элементарном акте рассеяния,  $\phi(\eta)$ —известная функция Амбарцумяна, удовлетворяющая функциональному уравнению

$$\varphi(\eta) = 1 + \frac{\lambda}{2} \eta \varphi(\eta) \int_0^1 \frac{\varphi(\mu)}{\eta + \mu} d\mu.$$
 (5)

Результат (A, Б) позволяет: а) определить отражательную опособность среды без вычисления величин, характеризующих световой режим внутри среды, б) выразить искомую функцию многих переменных через функцию, зависящую от меньшего количества аргументов.

В дальнейшем эта задача была обобщена Соболевым на случай полностью некогерентного рассеяния [3]. При расомотрении же общего случая некогерентного рассеяния с произвольным законом перераспределения излучения по частотам задача сильно усложняется. Поэтому при решении этой задачи было использовано представление функции перераспределения в виде билинейного разложения по не-

которой системе ортонормированных функций [4].

В настоящей заметке мы покажем, что физика задачи допускает обобщение (А, Б) на случай некогерентного рассеяния с произвольным законом перераспределения по частотам без какого-либо разложения или специфического представления функции перераспределения. При этом оба вышеуказанные преимущества а) и б) сохраняются. Ключом этого обобщения является введение понятия вероятности выхода излученного кванта и применение принципа обратимости оптических явлений.

Для большей наглядности будем исходить из вероятностной трактовки явлений переноса, предложенной Соболевым в [5].

### 2. Вероятность выхода излученного кванта

В астрофизике представляет особенный интерес интенсивность выходящего из среды излучения. При наличин в среде произвольных первичных источников энергии, мощность которых характеризуется величиной  $Q(\tau, x)$ , выходящую интенсивность можно находить, следуя Соболеву, из выражения (см. [6], гл. VIII, §4):

$$I(0, x, \eta) = \int_{-\infty}^{\infty} dx' \int_{0}^{\infty} L(\tau, x') P(\tau, x', x, \eta) \frac{d\tau}{\eta} + \int_{0}^{\infty} Q(\tau, x) e^{-\frac{\pi i x \eta}{\eta} - \frac{d\tau}{\eta}},$$
(1)

где.

$$L(\tau, x) = \alpha(x) \int_{0}^{\infty} E_{1}(|\tau - t| \cdot \alpha(x))Q(t, x)dt, \qquad (2)$$

 $P(\tau, x', x, \eta)dxd\eta$ —вероятность того, что квант безразмерной частоты x', поглощенный на глубине  $\tau$  полубесконечной плоскопараллельной среды в процессе диффузии выйдет из среды в частотном интервале [x, x+dx], в направлении  $\eta$ , в телесном угле  $2\pi d\eta$ . Из соотношения (2) видно, что при определении выходящего излучения посредством вероятности выхода поглощенного кванта, нужно определить функцию  $L(\tau, x)$ ,  $\tau$ . е. необходимо предварительно интегрировать мощность источников  $Q(\tau, x)$  по всем глубинам. Если же вместо P ввести аналогичную вероятность  $G_0(\tau, x', x, \eta)$  для кванта первоначально уже излученного (изотропио) на глубине  $\tau$ , то необходимость определения  $L(\tau, x)$  отпадает

$$I(0, x, \eta) = \int_{-\infty}^{\infty} dx' \int_{-\infty}^{\infty} Q(\tau, x', )G_0(\tau, x', x, \eta) \frac{d\tau}{\eta}$$
 (3)

(следует отметить, что введенная величина  $G_0(\tau, x', x, \eta)$  является нулевым моментом по углу поверхностной функции Грина [11, 12]  $G_0 = \int_0^1 G(0, \tau; x', \zeta, \tau, \eta) d\zeta$ ). Очевидно, что

$$P(\tau, x_1, x_2, \eta) = \frac{\lambda}{2} \int_{-\infty}^{\infty} g(x_1, x) G_0(\tau, x, x_2, \eta) dx, \tag{4}$$

где  $g(x_1, x)dx$ —представляет собой вероятность того, что поглощенный квант частоты  $x_1$  будет переизлучен в интервале частот [x, x+dx]. Подставляя формулу (2) в выражение (1) и сравнивая с (3), можно выразить также функцию  $G_0$  через P

$$G_0(\tau, x_1, x_2, \eta) = \delta(x_1 - x_2)e^{\frac{-a(x_1)}{\tau_1}\tau} + a(x_1) \int_0^{\pi} E_1(|\tau - t|a(x_1))P(t, x_1, x_2, \tau_1)dt.$$
(4a)

Это выражение следует также непооредственно из физических соображений, если исходить из вероятностного смысла функций  $G_0$ , P и ядра  $E_1$ . С учетом формулы (4) выражение (4а) превращается в интегральное уравнение для  $G_0$ , которое приведено ниже (смотри формулу (14)) из физических соображений. В случае когерентного рассеяния (при этом  $g(x, x') \Longrightarrow \delta(x-x')$ ) из (4) имеем:

$$P(\tau, x_1, x_2, \eta) = \frac{\lambda}{2} G_0(\tau, x_1, x_2, \eta).$$

Отсюда видно, что величины P и  $G_0$  совпадают с точностью до множителя  $\frac{\lambda}{2}$ , поэтому отпадает необходимость использования формулы

(2), т.е. интегрирования величины Q по оптической глубине и использование величин P или  $G_0$  в формуле (3) в равной мере оправдано. В общем же случае некогерентного рассеяния различие между величинами  $G_0$  и P существенно (смотри формулу (4)), поэтому целесообразно использовать именно вероятность выхода первоначально излученного кванта. Отметим также, что  $\binom{1}{\eta}G_0(\tau, x_1, x_2, \eta)$  представляет собой интенсивность выходящего излучения, если в среде на глубине  $\tau$  имеется плоский изотропный монохроматический источник единичной мощности. Для функции  $G_0$  с помощью принципа инвариантности можно получить дифференциальное уравнение

$$\frac{\partial G_0(\tau, x, x_2, \eta)}{\partial \tau} = -\frac{\alpha(x_1)}{\eta} G_0(\tau, x, x_2, \eta) + 
+ \frac{\lambda}{2} \int_{-\infty}^{\infty} \varphi(x'', x_2, \eta) dx'' \int_{-\infty}^{\infty} r(x', x'') \Phi(\tau, x, x') dx'.$$
(5)

В уравнении (5)  $\alpha(x)$ —профиль коэффициента поглощения,  $r(x', x'') = \alpha(x')g(x', x'')$ , а также обозначено:

$$\varphi(x', x, \eta) = G_0(0, x', x, \eta)$$
 (6)

$$\Phi(\tau, x, x') = \int_{0}^{1} G_{0}(\tau, x, x', \mu) \frac{d\mu}{\mu}. \tag{7}$$

Для определения  $\Phi(\tau, x, x')$  из (5) и (7) нетрудно получить уравнение

$$\Phi(\tau, x_1, x_2) = K(\tau, x_1, x_2) + \frac{\lambda}{2} \int_{-\infty}^{\infty} \int_{-\infty}^{\infty} r(x', x'') dx' dx'' \int_{0}^{\infty} K(\tau - t, x'', x_2) \Phi(t, x_1, x') dt,$$

где

$$K(\tau, x_1, x_2) = \int_0^1 \varphi(x_1, x_2, \mu) e^{\frac{-\pi(x_1)}{\mu} \tau} \frac{d\mu}{\mu}. \tag{9}$$

В случае же слоя конечной оптической толщины  $\tau_0$ , для соответствующей величины  $G_0(\tau, \tau_0, x_1, x_2, \eta)$  из принципа инвариантности вытекают уже два дифференциальных уравнения

$$\frac{\partial G_0}{\partial \tau} + \frac{\partial G_0}{\partial \tau_0} = -\frac{\alpha(x_2)}{\eta} G_0 + \frac{\lambda}{2} \int_0^\infty \int_0^\infty \varphi(x'', x_3 \eta; \tau_0) r(x', x'') dx' dx'' \int_0^1 G_0(\tau, \tau_0, x_1, x', \mu) \frac{d\mu}{\mu}, \qquad (10)$$

$$\frac{\partial G_0}{\partial \tau_0} = \frac{1}{2} \int_{-\infty}^{\infty} \int_{-\infty}^{\infty} \psi(x'', x_2, \eta; \tau_0) r(x', x'') dx' dx'' \int_{0}^{1} G_0(\tau_0 - \tau, \tau_0, x_1, x', \mu) \frac{d\mu}{\mu}, \quad (11)$$

где

$$\varphi(x_1, x_2, \eta; \tau_0) = G_0(0, \tau_0, x_1, x_2, \eta), \tag{12}$$

$$\psi(x_1, x_2, \eta; \tau_0) = G_0(\tau_0, \tau_0, x_1, x_2, \eta). \tag{13}$$

Для решения основной задачи нам помимо дифференциальных уравнений для  $G_0$  понадобятся также соотношения взаимности, к выводу которых мы и переходим.

### 3. Соотношения взаимности

Функция  $G_0$  удовлетворяет некоторому соотношению взаимности, которое выражает "принцип обратимости" для этой величины. Рассмотрим "оптически обратную" к  $G_0(\tau, x_1, x_2, \tau)dx_2d\tau$  функцию  $G_0(\tau, x_1, x_2, \tau)dx_1d\tau$ , представляющую собой вероятность того, что падающий на границу среды квант с частотой  $x_2$  под углом агссоз  $\tau$  к нормали, вообще говоря после рассеяний, будет поглощен на глубине между  $\tau$  и  $\tau+d\tau$  с частотой, заключенной между  $x_1$  и  $x_1+dx_1$ . Величины  $G_0$  и  $G_0$ , очевидно, удовлетворяют следующим интегральным уравнениям:

$$G_{0}(\tau, x_{1}, x_{2}, \eta) = e^{\frac{-\alpha(x_{1})}{\tau_{1}}} \hat{\delta}(x_{1} - x_{2}) + \frac{\lambda}{2} \alpha(x)_{1} \int_{0}^{\infty} E_{1}(|t - \tau| \cdot \alpha(x_{1})) dt \int_{-\pi}^{\infty} G_{0}(t, x', x_{2}, \eta) g(x_{1}, x') dx', \qquad (14)$$

$$\bar{G}_{0}(\tau, x_{1}, x_{2}, \eta) = \frac{\alpha(x_{2})}{\tau_{1}} e^{\frac{-\alpha(x_{1})}{\tau_{1}}} \hat{\delta}(x_{1} - x_{2}) + \frac{\alpha(x_{1})}{\tau_{1}} \hat{\delta}(x_{1} - x_{$$

$$+\frac{\lambda}{2}\alpha(x_1)\int\limits_0^\infty E_1(|t-\tau|\cdot\alpha(x_1))dt\int\limits_{-\infty}^\infty G_0(t,x',x_2,\eta)g(x',x_1)dx'. \tag{15}$$

Учитывая частотную симметрию элементарного акта рассеяния  $a(x_1) g(x_1, x_2) = a(x_2) g(x_2, x_1)$ , затем имея в виду, что интересующие нас решения уравнений (14 — 15) должны быть ограничены при  $\tau \to \infty$ , и сравнивая уравнения между собой, приходим к искомому соотношению взаимности

$$\tau_1 \tilde{G}_0(\tau, x_1, x_2, \eta) = \alpha(x_1) G_0(\tau, x_1, x_2, \eta).$$
(16)

Пусть на границу полубесконечной плоскопараллельной среды падает квант безразмерной частоты  $x_1$ , под углом агссов, к нормали. Вероятность того, что этот квант диффузно отразится от среды с частотой, заключенной между  $x_2$  и  $x_2+dx_2$  в направлении агссов внутри телесного угла  $2\pi d\eta$  можно выразить посредством величин  $G_0$  и  $G_0$  соотношениями:

$$\rho(x_1, \zeta, x_2, \eta) = \frac{\lambda}{2\zeta} \int_{-\infty}^{\infty} r(x_1, x) dx \int_{0}^{\infty} e^{\frac{-\alpha(x_1)}{\zeta}} \tau G_0(\tau, x, x_2, \eta) d\tau, \quad (17)$$

$$\rho(x_1, \zeta, x_2, \eta) = \frac{\lambda}{2} \int_{-\pi}^{\infty} g(x, x_2, ) dx \int_{0}^{\infty} e^{-\frac{\alpha(x_1)}{\eta}} \tilde{G}_0(\tau, x, x_1, \zeta) d\tau. \quad (18)$$

Сравнивая между собой (17—18) и учитывая (16), получаем соотношение "обратимости" для функции отражения в виде

$$\zeta_0(x_1, \tau, x_2, \eta) = \eta_0(x_2, \eta, x_1, \zeta).$$
 (19)

Аналогично доказывается "обратимость" и для функций диффузного отражения  $\rho(x_1, \varsigma, x_2, \eta; \tau_0)$  и пропускания  $\sigma(x_1, \varsigma, x_2, \eta; \tau_0)$  слоя конечной оптической толщины.

### 4. Диффузное отражение от полубесконечной среды

Перепишем уравнение (5) в виде

$$\frac{\partial G_0(\tau, x, x_2, \eta)}{\partial \tau} = -\frac{\alpha(x_2)}{\eta} G_0(\tau, x, x_2, \eta) + \frac{\lambda}{2} \int_{-\infty}^{\infty} \varphi(x'', x_2, \eta) dx'' \int_{-\infty}^{\infty} r(x', x'') dx' \int_{0}^{1} G_0(\tau, x, x', \mu) \frac{d\mu}{\mu}.$$
(20)

Из соотношений (20) и (17) легко можно получить

$$\left[\frac{\alpha(x_1)}{\zeta} + \frac{\alpha(x_2)}{\eta}\right] \rho(x_1, \zeta, x_2, \eta) = \frac{\lambda}{2^*} \int_{-\infty}^{\infty} r(x_1, x) \varphi(x, x_2, \eta) dx + \frac{\lambda}{2} \int_{-\infty}^{\infty} \varphi(x'', x_2, \eta) dx' \int_{-\infty}^{\infty} r(x', x'') dx' \int_{0}^{1} \rho(x_1, \zeta, x', \mu) \frac{d\mu}{\mu}.$$
(21)

Из физических соображений очевидно, что

$$\varphi(x', x_2, \zeta) = \delta(x' - x_1) + \int_0^1 \rho(x', \mu, x_1, \zeta) d\mu.$$
 (22)

Учитывая соотношение взаимности (19) приходим к выражению:

$$\varphi(x', x_1, \zeta) = \hat{\delta}(x' - x_1) + \zeta \int_0^1 \rho(x_1, \zeta, x', \mu) \frac{d\mu}{\mu}. \tag{23}$$

Далее, подставляя (23) в (21) окончательно получаем (см. также [9])

$$\rho(x_1, \cdot, x_2, \eta) = \frac{\lambda}{2^*} \frac{\int_{-\infty}^{\infty} \varphi(x', x_1, \cdot) r(x', x'') \varphi(x'', x_2, \eta) dx' dx''}{\frac{\alpha(x_1)}{\gamma} - \frac{\alpha(x_2)}{\eta}}.$$
 (24)

Из (24) и (22) находим для определения функциональное уравнение

$$\varphi(x_1, x_2, \tau_i) = \delta(x_1 - x_2) +$$

$$+\frac{\lambda}{2}\int_{-\infty}^{\infty}\varphi(x'',x_{2},\eta)dx''\int_{-\infty}^{\infty}r(x',x'')dx'\int_{0}^{1}\frac{\varphi(x',x_{1},\zeta)}{\frac{\alpha(x_{1})}{\zeta}+\frac{\alpha(x_{2})}{\eta}}\frac{d\zeta}{\zeta}.$$
 (25)

Формулы (24) и (25) являются искомыми, они обобщают результаты (A, Б) Амбарцумяна на случай произвольного закона перерас-

пределения излучения по частотам.

Следует отметить, что знание функции  $\varphi$  позволяет из (8) определить резольвентную функцию  $\Phi(\tau, x, x')$ , после чего находится  $G_0(\tau, x_1, x_2, \eta)$  из (5), которая позволяет определить выходящую интенсивность при произвольных первичных источниках энергии, зависящих от глубины и частоты. Нетрудно убедиться, что аналогично монохроматическому рассеянию, функция  $\varphi(x_1, x_2, \eta)$  может выражаться непосредственно через резольвентную функцию

$$\varphi(x_1, x_2, \eta) = \delta(x_1 - x_2) + \frac{\lambda}{2} \int_{-\infty}^{\infty} r(x_2, x) dx \int_{0}^{\infty} e^{-\frac{\alpha(x_2)}{\eta}t} \Phi(t, x, x_1) dt.$$

Интересно заметить, что из уравнения (25) вытекает соотношение для пулевого момента  $\varphi$ -функции:  $\varphi_0(x_1, x_2) = \int_0^1 \varphi(x_1, x_2, \eta) d\eta$ 

$$\frac{1}{2} \left[ \alpha(x_1) \varphi_0(x_1, x_2) + \alpha(x_2) \varphi_0(x_2, x_1) \right] = \alpha(x_1) \delta(x_1 - x_2) + \frac{\lambda}{4} \int_{-\infty}^{\infty} \int_{-\infty}^{\infty} \varphi_0(x', x_1) r(x', x'') \varphi_0(x'', x_2) dx' dx'',$$

которое является аналогом известного соотношения  $\varphi_0 = 1 + \frac{\lambda}{4} \varphi_0^2$ 

### 5. Диффузное отражение и диффузное пропускание излучения слоем конечной оптической толщины

Аналогично случаю полубесконечной среды, с использованием формул (10—13), можно решить и задачу диффузного отражения и диффузного пропускания для слоя конечной толщины. При этом получаются: задача Коши для  $\rho$ ,  $\sigma$ ,  $\psi$ 

$$\frac{\partial \rho}{\partial \tau_0} + \left[\frac{\alpha(x_1)}{\sigma} + \frac{\alpha(x_2)}{\eta}\right] \rho = \frac{\lambda}{2} \int_{-\infty}^{\infty} \int_{-\infty}^{\infty} \varphi(x', x_1, \tau; \tau_0) r(x', x'', ) \varphi(x'', x_2, \eta; \tau_0) dx' dx'',$$

$$\frac{\partial \rho}{\partial \tau_0} = \frac{\lambda}{2} \int_{-\infty}^{\infty} \int_{-\infty}^{\infty} \psi(x', x_1, \tau; \tau_0) r(x', x'') \psi(x'', x_2, \eta; \tau_0) dx' dx'',$$

$$\frac{\partial \sigma}{\partial \tau_0} + \frac{\alpha(x_2)}{\eta} \sigma = \frac{\lambda}{2} \int_{-\infty}^{\infty} \int_{-\infty}^{\infty} \psi(x', x_1, \tau; \tau_0) r(x', x'') \psi(x'', x_2, \eta; \tau_0) dx' dx'',$$

$$\frac{\partial \sigma}{\partial \tau_0} + \frac{\alpha(x_1)}{\tau} \sigma = \frac{\lambda}{2} \int_{-\infty}^{\infty} \int_{-\infty}^{\infty} \varphi(x', x_1, \tau; \tau_0) r(x', x'') \psi(x'', x_2, \eta; \tau_0) dx' dx'',$$

$$\frac{\partial \phi}{\partial \tau_0} = \frac{\lambda}{2} \int_{-\infty}^{\infty} \int_{-\infty}^{\infty} r(x', x'') \psi(x'', x_2, \eta; \tau_0) dx' dx'' \int_{0}^{1} \psi(x', x_1, \tau; \tau_0) \frac{d\tau}{\tau},$$

$$\frac{\partial \phi}{\partial \tau_0} = -\frac{\alpha(x_2)}{\eta} \psi + \frac{\lambda}{2} \int_{-\infty}^{\infty} \int_{-\infty}^{\infty} r(x', x'') \varphi(x'', x_2, \eta; \tau_0) dx' dx'' \int_{0}^{1} \psi(x', x_1, \tau; \tau_0) \frac{d\tau}{\tau},$$

$$\sigma(x_1, x_2, \eta; \tau_0) = \psi(x_1, x_2, \eta; \tau_0) = \sigma(x_1, \tau, x_2, \eta; \tau_0) = \frac{\lambda}{2} \int_{-\infty}^{\infty} \int_{-\infty}^{\infty} r(x', x'') [\varphi(x', x_1, \tau; \tau_0) \varphi(x'', x_2, \eta; \tau_0) - \psi(x', x_1, \tau; \tau_0) \psi(x'', x_2, \eta; \tau_0)] dx' dx''}{\alpha(x_1)/\tau + \alpha(x_2)/\eta}$$

$$\sigma(x_{1}, \tilde{x}_{1}, x_{2}, \eta; \tau_{0}) = \frac{\int_{-\infty}^{\infty} \int_{-\infty}^{\infty} r(x', x'') [\varphi(x', x_{1}, \tilde{x}_{1}; \tau_{0}) \psi(x'', x_{2}, \eta; \tau_{0}) - \psi(x', x_{1}, \tilde{x}_{1}; \tau_{0}) \varphi(x'', x_{2}, \eta; \tau_{0})] dx' dx''}{2(x_{1})/(-\alpha(x_{2})/\eta)}$$

$$\rho(x_1, \zeta, x_2, \eta; \tau_0) = \frac{\lambda}{2\zeta} \int_{-\infty}^{\infty} \int_{-\infty}^{\infty} r(x', x'') dx' dx'' \int_{0}^{\tau_0} \psi(x', x_1, \zeta; \tau) \psi(x'', x_2, \eta; \tau) d\tau,$$

$$\sigma(x_{1}, \zeta, x_{2}, \tau_{1}; \tau_{0}) = \frac{1}{2\zeta} \int_{-\infty}^{\infty} \int_{-\infty}^{\infty} r(x', x'') dx' dx'' \int_{0}^{\tau_{0}} e^{-\frac{\alpha(x_{1})}{\zeta}(\tau_{0} - \tau)} \varphi(x', x_{1}, \zeta, \tau) \psi(x'', x_{2}, \eta; \tau) d\tau;$$

$$\rho(x_{1}, \zeta, x_{2}, \eta; \tau_{0}) = \frac{1}{2\zeta} \int_{-\infty}^{\infty} \int_{-\infty}^{\infty} r(x'x'') dx' dx'' \int_{0}^{\tau_{0}} e^{-\left[\frac{\alpha(x_{1})}{\zeta} + \frac{\alpha(x_{2})}{\eta}\right](\tau_{0} - \tau)} \varphi(x', x_{1}, \zeta; \tau) \varphi(x'', x_{2}, \eta; \tau) d\tau,$$

$$\sigma(x_{1}, \zeta, x_{2}, \tau_{0}) = \frac{1}{2\zeta} \int_{-\infty}^{\infty} \int_{-\infty}^{\infty} r(x', x'') dx' dx'' \int_{0}^{\infty} e^{-\frac{\alpha(x_{1})}{\eta}(\tau_{0} - \tau)} \psi(x', x_{1}, \zeta; \tau) \varphi(x'', x_{2}, \eta; \tau) d\tau$$

$$(III)$$

и функциональные уравнения

$$\varphi(x_1, x_2, \eta; \tau_0) = \delta(x_1 - x_2) + \frac{\lambda}{2} \times$$

$$\int_{-\infty}^{\infty} \int_{-\infty}^{\infty} r(x',x'') [\varphi(x',x_1,\zeta;\tau_0)\varphi(x'',x_2,\eta;\tau_0) - \psi(x',x_1,\zeta;\tau_0)\psi(x'',x_2,\eta;\tau_0)] dx'dx'' \frac{d\zeta}{\zeta}$$

$$\psi(x_1, x_2, \eta, \tau_0) = \delta(x_1 - x_2)e^{-\frac{\alpha(x_2)}{\eta}\tau} + \frac{\lambda}{2} \times$$
 (Ia)

$$\varphi(x_{1}, x_{2}, \eta; \tau_{0}) = \delta(x_{1} - x_{2}) + \frac{1}{2} \int_{-\infty}^{\infty} \int_{-\infty}^{\infty} r(x', x'') dx' dx'' \int_{0}^{\tau} \psi(x'', x_{2}, \eta, \tau) d\tau \int_{0}^{\tau} \psi(x', x_{1}, \zeta; \tau) \frac{d\zeta}{\zeta},$$

$$\psi(x_{1}, x_{2}, \eta; \tau_{0}) = \delta(x_{1} - x_{2})e^{-\frac{\alpha(x_{2})}{\eta}\tau_{0}} + \qquad (IIa)$$

$$+\frac{\lambda}{2}\int_{-\infty}^{\infty}\int_{-\infty}^{\infty}r(x'x'')dx'dx''\int_{0}^{\tau_{0}}\psi(x'',x_{2},\eta;\tau)d\tau\int_{0}^{\tau}e^{-\frac{\pi(x_{1})}{\xi}(\tau_{0}-\tau)}\varphi(x',x_{1},\zeta;\tau)\frac{d\zeta}{\xi};$$

$$\varphi(x_{1},x_{2},\eta;\tau_{0})=\delta(x_{1}-x_{2})+$$
(IIIa)

$$+\frac{\lambda}{2}\int_{-\infty}^{\infty}\int_{-\infty}^{\infty}r(x',x'')dx'dx''\int_{0}^{\tau_{0}}\varphi(x'',x_{2},\eta_{1}\tau)d\tau\int_{0}^{\tau}e^{-\left[\frac{\alpha(x_{1})}{\zeta}+\frac{\alpha(x_{1})}{\eta}\right](\tau_{0}-\tau)}\varphi(x',x_{1},\zeta;\tau)\frac{d\zeta}{\zeta},$$

 $\psi(x_1, x_2, \tau_i; \tau_0) = \psi(x_1 - x_2)e^{-\frac{\alpha(x_1)}{\tau_i}\tau_0} +$ 

$$+ \frac{1}{2} \int_{-\infty}^{\infty} \int_{-\infty}^{\infty} r(x',x'') dx' dx'' \int_{0}^{\pi_{0}} e^{-\frac{\pi(x_{0})}{4}(\tau_{0}-\tau)} \varphi(x'',x_{2},\eta;\tau) d\tau \int_{0}^{1} \psi(x',x_{1},\zeta;\tau) \frac{d\zeta}{\zeta} ,$$
 а для нулевых моментов  $\varphi_{0}(x_{1},x_{2}) = \int_{0}^{1} \varphi(x_{1},x_{2},\eta;\tau_{0}) d\eta$  и  $\psi_{0}(x_{1},x_{2}) = \int_{0}^{1} \psi(x_{1},x_{2},\eta;\tau_{0}) d\eta$  уравнения 
$$\frac{1}{2} \left[ a(x_{1}) \varphi_{0}(x_{1},x_{2}) + a(x_{2}) \varphi_{0}(x_{2},x_{1}) \right] = a(x_{1}) \delta(x_{1}-x_{2}) +$$

$$+\frac{1}{4}\int_{-\infty}^{\infty}\int_{-\infty}^{\infty}r(x',x'')[\varphi_{0}(x',x_{1})\varphi_{0}(x'',x_{2})-\psi_{0}(x',x_{1})\psi_{0}(x'',x_{2})]dx'dx'',$$

$$=\frac{1}{4}\int_{-\infty}^{\infty}\int_{-\infty}^{\infty}r(x',x'')[\varphi_{0}(x',x_{1})\psi_{0}(x'',x_{2})-\psi_{0}(x',x_{1})\varphi_{0}(x'',x_{2})]dx'dx'',$$

$$=\frac{1}{4}\int_{-\infty}^{\infty}\int_{-\infty}^{\infty}r(x',x'')[\varphi_{0}(x',x_{1})\psi_{0}(x'',x_{2})-\psi_{0}(x',x_{1})\varphi_{0}(x'',x_{2})]dx'dx''.$$

причем первое из них ягляется аналогом известного соотношения  $\phi_0 = 1 + \frac{\lambda}{4} \left( \phi_0^2 - \psi_0^2 \right).$ 

Формулы (I,la) и (II,lla) в случае монохроматического рассеяния  $-r(x_1, x_2) = \alpha(x_1)\delta(x_1-x_2)$  впервые были получены В. А. Амбарцумяном [2], (см. также [6]), а соотношения (III и IIIа)—В. В. Соболевым [7]. Затем были обобщены В. В. Ивановым [8] на случай полного перераспределения по частотам  $-r(x_1, x_2) = A\alpha(x_1)\alpha(x_2)$  Очевидно, что из приведенных выше формул легко могут быть получены указанные частные случаи, а если перейти в них к разложе-

нию  $r(x_1, x_2) = \sum_{k=0}^{\infty} A_k a_k(x_1) a_k(x_1)$ , нетрудно получить соответственно результаты работы [4] (см. также [10]).

Автор искренне признателен В. А. Амбарцумяну за проявленный интерес к работе, Г. Т. Тер-Казаряну за ценные замечания, а также Э. Х. Даниеляну и А. Г. Никогосяну за обсуждение результатов.

14 апреля 1978 г., переработана 27 мая 1979 г.

#### Հ. Վ. ՊԻԿԻՉՑԱՆ

ԶՈՒԳԱՀԵՌ ՃԱՌԱԳԱՅՔՆԵՐՈՎ ԼՈՒՍԱՎՈՐՎԱԾ ՄԻՋԱՎԱՅՐԻ ԼՈՒՍԱՐՁԱԿՈՒՄԸ ԸՍՏ ՀԱՃԱԽԱԿԱՆՈՒԹՅՈՒՆՆԵՐԻ ՃԱՌԱԳԱՅՔՄԱՆ ՎԵՐԱԲԱՇԽՄԱՆ ԿԱՄԱՑԱԿԱՆ ՕՐԵՆՔԻ ԴԵՊՔՈՒՄ

### Ամփոփում

Հուգահեռ ճառագայթների ազդեցության տակ միջավայրի լուսարձակ-

կանությունից. Հաճախարերող է կախված լինել և՛ խորությունից, և՛ Տաճախականությունից.

### H. V. PIKIDJIAN

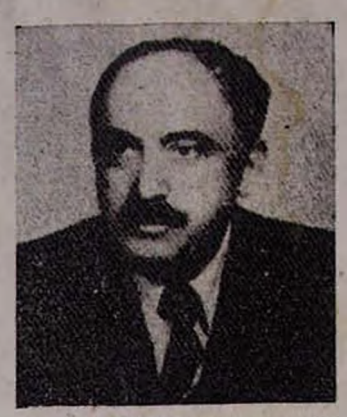
THE ILLUMINATION OF A MFDIUM UNDER THE ACTION OF PARALLEL RAYS AT THE ARBITRARY LAW OF FREQUENCY REDISTRIBUTION OF RADIATION

### Summary

The well-known results of Ambartzumyan, referring to the problem of diffuse reflection and transmission, are directly generalized for the case of non-coherent scattering with the arbitrary law  $r(x_1, x_2)$  of frequency redistribution of radiation. Neither decomposition nor special assumption of redistribution function is used in this generalization. It is achieved by means of introducing the concept of exit probability of ejected quantum as well as by using the principle of reversibility of the optical phenomena. In passing, relations, allowing to determine the external radiation field at arbitrary initial energy sources the radiation power of which depends upon the optical depth and frequency, have been also obtained.

### ЛИТЕРАТУРА

- 1. В. А. Амбарцумян, АЖ, 19, 30, 1942.
- 2. В. А. Амбарцумян, ДАН СССР, 38, 257, 1943.
- 3. В. В. Соболев, АЖ, 26. 129, 1949.
- 4. Н. Б. Енгибарян, А. Г. Никогосян, Астрофизика, 8, 213, 1972.
- 5. В. В. Соболев, АЖ, 28, 355, 1951.
- 6. В. В. Соболев, Перенос энергии в атмосферах звезд и планет, М., Гостехиздат, 1956.
- 7. В. В. Соболев, АЖ, 34, 336. 1957.
- 8. В. В. Иванов, АЖ, 40, 257, 1963.
- 9. О. В. Пикичян, ДАН Арм. ССР, 67, 151, 1978.
- 10. А. Г. Никогосян, Г. А. Арутюнян, ДАН СССР, 229, 583, 1976.
- 11. Э. Х. Даниелян, О. В. Пикичян, Астрофизика, 13, 275, 1977.
- 12. О. В. Пикичян, Астрофизика, 14, 169, 1978.



### памяти эмиля гайковича мирзабекяна

16 сентября 1980 г. на 58 году жизни после тяжелой непродолжительной болезни скончался академик Академии наук Армянской ССР, директор Института радиофизики и электроники Академии наук Армянской ССР, вице-президент Академии, депутат Верховного Совета Армянской ССР, один из старейших сотрудников Бюраканской астрофизической обсерватории Эмиль Гайкович Мирзабекян. В его лице ссветская наука потеряла видного ученого, имеющего большие заслуги в

развитии науки, пламенного патриота нашей Родины.

Э. Г. Мирзабекян родился 12 декабря 1922 года в Ереване в семье заслуженных врачей республики. Э. Г. Мирзабекян в 18-летнем возрасте призывается в ряды Советской Армии. С 1942 по 1945 гг. участвует в Великой Отечественной войне в составе Закавказского и II Украинского фронтов. Участвует в освобождении Румынии и Венгрии. В 1944 г. на фронте Э. Г. Мирзабекян вступает в ряды Коммунистической партии. За боевые заслуги он награждается орденами и медалями СССР. В 1945 г. после демобилизации Э. Г. Мирзабекян поступает на физикоматематический факультет Ереванского государственного университета, после завершения которого с 1951 г. начинает работать в Физическом институте АН АрмССР. В 1951 г. Э. Г. Мирзабекян поступает в аспирантуру Физического института им. П. Н. Лебедева АН СССР и под руководством известного советского ученого С. Э. Хайкина защищает кандидатскую диссертацию по радиофизике сверхвысоких частот (СВЧ).

Основные научные интересы Э. Г. Мирзабекяна связаны с исследованием свойств электромагнитного излучения и их применением в

радиофизике.

В организованном Э. Г. Мирзабекяном отделе раднофизических методов исследований Бюраканской астрофизической обсерватории под его руководством с 1956 г. велись работы по созданию высокочувствительных приемных устройств в сантиметровом диапазоне длин волн. Им был разработан и реализован новый метод поляризационной мо-

дуляции СВЧ сигнала, позволяющий выделить слабополяризованную компоненту сигнала при неполяризованном фоне. Созданный Э. Г. Мирзабекяном на основе этого метода поляризационный раднометр является первой установкой для измерения степени поляризации радиоизлучения Солнца на длине волны 3,2 см. При помощи этого радиометра были получены новые результаты относительно степени поляризации радиозлучения Солнца, а также установлен факт наличия слабой частичной поляризации радиоизлучения спокойного Солнца. Под непосредственным руководством Э. Г. Мирзабекяна был создан экспедиционный комплекс дециметрового диапазона длин волн, при помощи которого были проведены радиоастрономические наблюдения затмения Солнца в 1958 г. в КНР в составе экспедиции АН СССР.

Этими работами, выполненными Э. Г. Мирзабекяном в Бюраканской астрофизической обсерватории, был заложен фундамент для раз-

вития в Армении радиофизики СВЧ.

Учитывая все возрастающую роль радиофизики и электроники в развитии науки и промышленности в республике по инициативе президента Академии наук академика В. А. Амбарцумяна и Э. Г. Мирзабекяна в 1960 г. создается Институт радпофизики и электроники (ИРФЭ). Организатором этого института и его бессменным директором до конца своей жизни был Э. Г. Мирзабекян.

Большой цикл работ Э. Г. Мирзабекяна посвящен фундаментальным и прикладным исследованиям по созданию новых высокочувствительных поляризационных методов для измерений корреляционных, фазовых и амплитудных характеристик электромагнитных волн СВЧ диапазона. На их основе был разработан ряд устройств, широко при-

меняемых в различных областях СВЧ техники.

Под руководством Э. Г. Мирзабекяна был разработан и изготовлен целый ряд высокочувствительных радиометров, нашедших широкое

применение в дальней космической связи.

Предложенный Э. Г. Мирзабекяном метод «диаграммной модуляции» позволяет определить с высокой точностью координаты космических источников радиоизлучения без увеличения геометрических размеров антенн.

Имя Э. Г. Мирзабекяна как ученого широко известно как в нашей

стране, так и за рубежом.

В своей повседневной научно-организационной деятельности Э. Г. Мирзабекян постоянно уделял особое внимание вопросам внед-

рения результатов научных исследований в производство.

В 1971 г. Э. Г. Мирзабекян избирается членом-корреспоидентом, а в 1974 г.—академиком АН Армянской ССР. В 1974—1976 гг. Э. Г. Мирзабекян являлся академиком-секретарем Отделения физико-технических наук и механики, а с 1976 г. до своей кончины—вице-президентом АН Арм. ССР.

Э. Г. Мирзабекян уделял большое внимание делу воспитания научных кадров республики как в ИРФЭ, так и в стенах Ереванского государственного университета, где он вел педагогическую работу и где по его инициативе был образован радиофизический факультет.

Э. Г. Мирзабекяна отличало высокое чузство гражданского долга—касалось ли это воспитания научных кадров или развития новых научных направлений в республике — всегда Э. Г. Мирзабекян прежде всего руководствовался интересами народа, интересами всей страны. Его впутреннее обаяние, искрепняя предапность общему делу неизменно располагали к нему всех, кто с ним работал, кто его знал. Будучи человеком высоких моральных принципов, Э. Г. Мирза-

бекян был непримирим ко всем проявлениям недобросовестности и легкомыслия в науке и в такой же духе воспитывал своих сотрудников и учеников. Требовательный к себе и к другим, одновременно отзывчивый и принципиальный, временами вспыльчивый—таким был Э. Г. Мирзабекян в повседневной жизни. Внимательный друг и руководитель, к великому сожалению, был совершенно невнимателен к себе, к своему здоровью...

Память об Эмиле Гайковиче Мирзабекяне, славном сыне своего народа, ученом-коммунисте, талантливом организаторе науки, человеке большой душевной чистоты и обаяния, всегда будет жить в серд-

цах людей, знавших и любивших его.

### ХРОНИКА

### 1974 год

В течение 1974 г. ряд сотрудников обсерватории участвовал в следующих научных конференциях и совещаниях.

В июне доктор физ.-мат. наук Г. М. Товмасян участвовал в совещании, посвященном 100-летию Ташкентской обсерватории. Им был прочитан доклад на тему «О времени жизни радиогалактик». Здесь же был представлен доклад акад. В. А. Амбарцумяна «О роли нестационарных процессов в эволюции галактик».

В июле в Москве состоялся симпозиум МАС 67 (В. А. Амбарцумян, Э. С. Парсамян, В. С. Осканян, И. Янкович). На симпозиуме был представлен доклад В. А. Амбарцумяна и Л. В. Мирзояна «Вспыхивающие звезды в звездных скоплениях и ассоциациях».

В августе Г. М. Товмасян и канд. физ.-мат. наук Э. Е. Хачикян участвовали в международной конференции в Цахкадзоре по автоматике и управлению космическими аппаратами.

В октябре проф. Л. В. Мирзоян участвовал на астрофизическом коллоквнуме в Абастуманской астрофизической обсерватории, где им был прочитан доклад о своих наблюдениях компактных групп компактных галактик, выполненных в США.

В октябре С. М. Мкртчян участьовал в научном совещании по радиоастрометрии, организованном Советом по радиоастрономии АН СССР.

В октябре в Таллине канд. физ.-мат. наук Р. А. Барданян участвовал в совещании рабочей группы по «Эволюции звездных систем». Им был прочитан доклад на тему «Холодные звезды в рассеянных скопленнях». В ноябре Р. А. Варданян принял участие также в работах рабочей группы «Нестационарные звезды» в КрАО АН СССР, где представил сообщение о наблюдениях звезд типа Т Тельца, выполненных в Бюракане по всесоюзной программе кооперативных наблюдений.

В конце года в Бюракане был проведен первый совместный астрофизический коллоквнум Бюраканской и Абастуманской астрофизических обсерваторий, на котором были прочитаны 16 научных докладов.

В работах коллоквиума приняли участие 16 согрудников Абастуманской обсерватории.

В 1974 г. успешно защитил диссертацию и утвержден в ученой степени кандидата технических наук П. А. Кялян.

### 1975 год

В феврале месяце был организован совместный коллоквиум с Астрономическим советом АН СССР, где были заслушаны 20 докладов и научных сообщений, по 10 с каждой стороны. Все они были посвящены результатам исследований обонх учреждений. Участвовали сотрудники БАО и 7 сотрудников Астросовета: А. Г. Масевич, О. Б. Длужневская, Э. В. Эргма, А. В. Тутуков, А. Дудоров, В. С. Имшеник, А. Пискунов. От обсерватории с докладами выступили Л. В. Мирзоян, Г. М. Товмасяи, М. А. Мнацаканяи, А. С. Гюльбудагяи, Р. А. Варданян.

В мае был отмечен 10-летний юбилей журнала «Астрофизика», издаваемый АН Арм. ССР с участнем ведущих астрономических учреждений Советского Союза.

В связи с этим юбилеем в Бюракане был организован астрофизический симпо-11—703 .

зиум. С докладами выступили члены редколлегии журнала А. А. Боярчук, проф. зиум. С докладами зака. Каплан, проф. Л. В. Мирзоян, член-кор. СССР В. В. Соболев, д-р физ-мар наук Г. М. Товмасян, а также Г. С. Бисноватын-коган.

В мае состоялся совместный семиняр отдела радиоастрономии обсерватория с вомиссией по прикладной радиоастрономии и радиолитерференции со сверх длином базой Радиоастросовета АН СССР. На семинаре принимали участие представительно 17 учреждений Советского Союза. От обсерватории выступили академик В 17 учреждения Советского Союза. Амбарцумян, канд. физ.-мат. наук В. А. Санамян, мл. науч. сотр. С. М. Мартиян. по одному месяцу в Бюракане работали сотрудники Центрального института

астрофизики (ЦПА) АН ГДР, д-р X. Тирш (май) и д-р Ф. Байер (октябры). Совместно они провели обсуждения наблюдательного материала, обработанного в Гдр

и относящегося к компактным группам компактных галактик.

В мае месяце в Бюракан был командирован сотрудник Будапештской обсерватории И. Янкович. Здесь он успешно защитил кандидатскую диссертацию на тему «Вспышечная активность красных карликовых звезд в области открытого сколления Яслей».

В нюне с целью обсуждения плана дальнейших совместных работ Бюраканской обсерватории и ЦИА АН ГДР в Бюракан приезжал зав. отделом внегалактической

астрономии этого института д-р Г. Олеак.

В пюне проф. Л. В. Мирзоян в составе советской делегации участвовал в работах советско-финского встрономического совещания в Хельсинки, где он выступил с докладом «Вспыхивающие звезды и эволюция звезд» и небольшим научным сообщением о компактных группах компактных галактик.

С 1 по 5 июля в Тбилиси состоялась 111 Европейская астрономическая конференция, на которой принимали участие сотрудники обсерватории: В. А. Амбарцумян. М. А. Аракелян, А. Т. Гарибджанян, С. Г. Искударян, А. Т. Каллоглян, В. Г. Малумян, Л. В. Мирзоян, А. Г. Никогосян, М. Б. Петросян, В. А. Сацамян, Г. м Товмасян, Э. Е. Хачикян, О. С. Чавушян.

На конференции сотрудниками обсерватории были прочитаны следующие ввол-

ные доклады (по приглашению):

- 1) В. А. Амбарцумян-«Роль активности в общих эволюционных процессах галактиках»;
- 2) В. А. Амбарцумян, Л. В. Мирзоян, М. В. Петросян, Р. К. Шахбазян-ком. пактиме группы компактимх галактик»;
- 3) Л. В. Мирзоян-«Наблюдательные аспекты изучения ранних стадий эволюции звезд».

Научные сообщения были сделаны М. А. Аракеляном, А. Т. Каллогляном. В. А. Санамяном, Г. М. Товмасяном, Э. Е. Хачикяном.

В обсерватории гостил приглашенный из САО АН СССР научный соттудник А. Ф. Фоменко, который на общеобсерваторском семинаре сделал доклад о применении астрономического телевидения в САО.

В июле две недели в Бюракане находилась вентерский астроном Э. Рупп. Она ознакомилась с методикой электрофотометрических наблюдений, проводимых в Бюракане и вела обсуждения о возможности организации совместных работ по автоматизации обработки астрономической информации.

В августе, в течение трех недель, в рамках сотрудничества между АН Арм. ССР и АН Венгрии в Бюракане находилась сотрудница Будапештской обсерваторин К. Ола для завершения совместной работы по исследованию звезды ВУ Дракона.

В сентябре канд. физ-мат. наук Э. С. Парсамян в Будапеште приняла участие в работах совещания по многостороннему сотрудничеству астрономов социалистических стран и коллоквиуме МАС «Многопериодные переменные звезды».

Осенью сроком на два месяца в ГДР был командирован канд. физ.-мат. наук

А. Т. Каллоглян. Вместе с немецким ученым д-р Ф. Беренгеном (ЦПА АН ГДР) он проводил наблюдения ряда галактик Маркаряна для их детальной фотометрии.

В октябре Г. М. Товмасян выезжал на 10 дней в ГДР для чтения популярных

лекций о достижениях СССР в освоении космоса.

В октябре в Киеве Р. А. Варданян участвовал на совещании, поснященном «Эволюции звезд».

В этом же месяце Э. Е. Хачикян и Г. М. Товмасян участвовали в работах Совета по подготовке астрономических кадров (СПАК) Астросовета АН СССР в

В октябре в Потсдаме (ГДР) в конференции астрономов социалистических стран, посвященной проблемам внегалактической астрономии, принимали участие сотрудники обсерватории Г. М. Товмасян, А. Т. Каллоглян и Э. Е. Хачикян. Есе они выступили с докладами.

В октябре в течение 10 дьей, Бюраканскую обсерваторию посетил известный голландский астроном иностранный член АН СССР, директор Лейденской обсерватории проф. Ян Оорт. На научном семинаре обсерватории проф. Я. Оорт выступил с докладами о результатах исследований, ведущихся на Вестерборкском радиотелескопе (Голландия).

В ноябре, в течение трех недель, в командировке в Бюраканской обсерватории находился д-р Кюн (Пенский университет, ГДР). Он ознакомился с работами об-

серватории относительно активных процессов в ядрах галактик.

В поябре-декабре в Бюракане работал немецкий астроном X. Лоренц (ЦНА АН ГДР). В течение месяца он ознакомился с методикой наблюдений и обнаружения галактик с ультрафиолетовым избытком излучения для проведения подобных работ на телескопе Таутенбургской обсерватории.

С кратковременным визитом с целью общего ознакомления с обсерваторией и ее научными работами в Бюракане находились мексиканские астрономы супруги д-р Ш. Асьян и д-р Д. Асьян-Дульцин и кубинский астроном И. Рамос.

В конце года в научные командировки выехали канд. физ.-мат. наук Е. С. Осканян (США, сроком на 6 мес.) и О. С. Чавушян (ВНР, сроком на 3 мес.).

В ноябре Э. Е. Хачикян защитил докторскую диссертацию на тему «Спектральные исследования галактик Маркаряна и пррегулярных галактик типа M82».

### 1976 год

С 19 по 30 марта в Ереване находился американский радиоастроном д-р Г. Коджоян. Целью его приезда была обработка результатов наблюдений ряда галактик с активными ядрами, выполненных совместно с Г. М. Товмасяном в США в 1972 г.

На научном семинаре обсерватории д-р Г. Коджояи сделал доклад о методике исследований радиоспектров внегалактических объектов.

В марте—мас в течение шести недель в ЦИА АН ГДР работала канд. физ.-мат. наук Р. К. Шахбазян.

В апреле в течение 10 дней в Бюракане находился немецкий ученый из ФРГ д-р Г. Шульи. Целью его визита являлось выяснение возможностей совместных наблюдений небесных объектов в ИК-дизназоне с использованием телескопа днаметром 2.6 м.

В апреле в течение нескольких дней в Бюракане находились американские ученые, профессоры Корнельского университета Е. Терзян и Дж. Хоук. Целью их кратковременного пребывания являлось ознакомление с новым телескопом диаметром зеркала 2.6 м.

В мае в Абастумане состоялся второй коллоквнум с Абастуманской астрофизической обсерваторией АН Груз. ССР. В работах коллоквнума принимали участие 13 бюраканских астрономов во главе с акад. В. А. Амбарцумяном. С докладами на коллоквнуме выступили В. А. Амбарцумян, Г. М. Товмасян, Э. Е. Хачикян, Э. С. Парсамян, К. А. Саакян, В. Г. Панаджян. В. А. Санамян, Ю. К. Мелик-Алавердян.

В мае сотрудники теоретической астрофизики канд, физ.-мат. наук М. А. Миздаканян и канд, физ.-мат. ваук А. Т. Никогосян участвовали в работах Всесоюзной школы молодых специалистов-физиков в Ростове-Великом.

В июне проф. Л. В. Мирзови выезжал в Чехослованию для участия в заседании проблемной комиссии по физике и эволюции звезд в рамках миогосторовнего на-

учного сотрудничества академий наук социалистических стран.

В июле-августе по приглашению АН Арм. ССР в Бюраканской обсерватории в течение 22 дней находился руководитель радиоастрономического центра ТАТА Института фундаментальных исследований Бомбея, проф. Г. Сваруп. Он выступил на семинарах обсерватории с двумя докладами на тему «УТН-радиотелескоп и научные результаты, полученные на нем с высоким разрешением» и «Угловые размеры космнческих радиоисточников и космологии».

Академик АН Арм. ССР Б. Е. Маркарян в августе участвовал в работах состоящегося в Гренобле XVI съезда МАС, на котором он был избран президентом

комиссии № 28 «Галактики» МАС.

Сотрудники отдела радноастрономии С. М. Мкртчян п Р. А. Кандаля:: в августе принимали участие в Европейской конференции молодых радиоастрономов в Торуне (Польша).

В сентябре зав. лабораторией спектроскопии д-р физ.-мат. наук Э. Е. Хачикян

выезжал во Францию для участия в коллоквиуме № 37 МАС.

В течение трех месяцев (сентябрь—декабрь) Р. Г. Мнацаканян находилась в

научной командировке в Таутенбургской обсерватории.

4 октября состоялось официальное открытие телескопа ЗТА-2.6 м. С 5 по 8 октября в Бюракане был организован симпознум «Вспыхивающие звезды», приуроченный к официальному открытию телескопа ЗТА-2.6м. Симпознум был посвящен обсуждению итогов наблюдений вспыхивающих звезд в звездиых агрегатах, вопросам физики и эволюции вспыхивающих звезд и родственных с ними объектов. В работах симпозиума принимали участие 28 советских и 18 иностранных ученых.

Из Советского Союза в частности присутствовали Э. Р. Мустель, А. А юярчук, С. К. Всехсвятский, Р. Е. Гершберг, В. Г. Горбацкий, З. А. Исмаилов, Н. А. Козырев, В. А. Крат, О. А. Мельников, Т. Б. Омаров, А. Ф. Пугач, В. В. Соболев.

В. Ю. Теребиж, Н. И. Шаховская, Б. Қ. Иоанисианп.

Из социалистических стран присутствовали В. Венцель, В. Шёнсйх, Ф. Байер, Г. Цпнер (ГДР), В. Ваннсек, С. Кржиж (Чехословакия), И. Япкович, Б. Сейдл (Венгрия), М. Цветков, М. Попова (Болгария), В. Ивановска (Польша), Из капиталистических стран: Ч. Папаз, Д. Эванс (США), Л. Диван (Франция), Г. Гам (Швеция), В. Туоминен (Финляндия), Р. и К. Систеро (Аргентина).

На симпознуме было заслушано более тридцати научных докладов. Из сотрудников Бюраканской обсерватории с докладами выступили В. А. Амбарцумян, Л. В. Мирзоян, Э. Е. Хачикян, М. А. Казарян, В. С. Осканян, Г. М. Товмасян, Э. С. Парсамян, А. Л. Гюльбудагян, А. С. Ампрханян, О. С. Чавушян, Т. Ю. Магакян.

В октябре в течение двух недель в Бюраканской обсерватории находилась ученый секретарь сектора астрономии Болгарской АН д-р М. Попова, которая имела беседы с директором и сотрудниками обсерватории по вопросам, касающимся научного сотрудничества между болгарскими п армянскими астрономами.

В октябре для ознакомления с Бюраканской обсерваторией в течение 10 дней

гостил сотрудник Таутенбургской обсерватории д-р Г. Цинер.

Сотрудник Потсдамской обсерватории д-р Ф. Байер в период своего кратковременного визита (10 дней) представил для обсуждения обнаруженные немецкими астрономами новые группы компактных галактик.

С однодневным впзитом 18 октября Бюраканскую обсерваторию посетил директор радноастрономической обсерватории Джолгелл Бэнк (Англяя) проф. Б. Ловелл. Оп ознакомплся с исследованиями, ведущимися в обсерватории, с новым большим телескопом и имел беседу с директором обсерватории акад. В. А. Амбарцумяном.

В октябре-ноябре более полутора месяцев в Бюракане работал директор об-

серватории в Кордобе (Аргентина) д-р К. Систеро. Д-р Систеро прочел на семинарах теоретического отдела обсерватории два доклада на темы «О происхождении метагалактики из сверхмассивного адрона» и «Функции распределения масс в скоплениях галактик».

Сотрудники отдела радиоастрономии канд. физ.-мат. наук В. П. Панаджян и Э. А. Арутюнян принимали участие в работах конференции по радиоастрономии,

состоящейся в Харькове.

В течение месяца в Бюраканской обсерватории работал немецкий астроном д-р

Ф. Бёриген.

В 1976 г. успешно защитили кандилатские диссертации сотрудник отдела теоретической астрофизики Р. А. Саркисян и болгарский аспирант при Бюраканской обсерватории М. Цветков.

### 1977 год

Канд. физ.-мат. наук Э. С. Парсамян в течение шести месяцев (дскабрь—май) работала в Институте астрономии, оптики и электроники в Тонанциитла (Мексика). За это время ею выполнена большея работа по изучению вспыхивающих звезд в звездных агрегатах.

. В мае месяце состоялся третий совместный коллоквнум с Абастуманской астрофизической обсерваторией АН Грузинской ССР. С этой целью в Бюракан приехали 10 сотрудников Абастуманской обсерватории во главе с директором обсерватории

академиком АН ГССР Е. К. Харадзе.

На коллоквиуме были прослушаны и обсуждены 14 докладов и 6 кратких сообщений. От Бюраканской обсерватории на коллоквиуме выступили Л. В. Мирзоян, А. Т. Қаллоглян, Р. А. Варданян, В. Г. Малумян, А. Г. Никогосян, С. М. Мкртчян, А. В. Осканян, Г. М. Товмасян, Э. Ц. Шахбазян, Э. Е. Хачикян, М. А. Қазарян, А. Л. Гюльбудагян, Т. Ю. Магакян, Г. С. Саакян и Л. Ш. Григорян (Ереванский университет), В. А. Санамян, О. С. Чавушян.

В мае в Уфе в астрономическом совещании по проблеме «Эволюция звезд», организованиюм Астрономическим советом АН СССР, участвовали сотрудники обсер-

ватории Э. Е. Хачикян, К. А. Саакян и Г. Б. Оганян.

В нюне месяце в Бюракане работали сотрудники ЦИЛ АН ГДР д-р Э. Фрёлих (15 дней) и Х. Тирш (25 дней). Д-р Фрёлих имел беседы с акад. В. А. Амбарцумяном и другими сотрудниками обсерватории по вопросам, представляющим вза-имный интерес, а д-р. Х. Тирш вместе с Р. К. Шахбазян просматривал новые комнактные группы компактных галактик.

В июле для обмена опытом по автоматизации астрономических наблюдений и полученной информации в Бюракане работали сотрудники Будапештской обсерватории д-р Э. Рупп и д-р В. Геза.

В июне—июле месяце с целью выполнения совместных инфракрасных наблюдений около двух месяцев в Бюраканс работали ученые из ФРГ Г. Шульц, В. Шервуд и Э. Крайзе.

В августе в Бюракане работали болгарские астрономы М. Цветкова, которые провели наблюдения на метровом телескопе системы Шмидта с целью продолжения поисков  $\mathbf{H}_{\mathbf{g}}$ -эмиссионных объектов в созвездии Лебедя.

В августе Р. А. Кандалян участвовал в работе Европейской школы молодых радноастрономов в Голландии, где сделал сообщение о предварительных результатах наблюдений галактик с ульграфиолетовым излучением на радиотелескопе РАТАН-600.

В сентябре в Бамберге (ФРГ) проф. Л. В. Мирзоян участвовал в коллоквиуме № 42 МАС и прочел вводный доклад на тему «Вспыхнвающие звезды в агрегатах».

В сентябре в Будапеште Э. С. Парсамян на совещании по многостороннему сотрудничеству академий наук социалистических стран по проблеме «Физика и эволю-

ция звезд» прочла доклад на тему «Опенка возраста агрегатов с помощью наблюдения вспыхивающих звезд».

В сентябре Р. А. Варданян участвовал в работах советско-фикского совещания в Абастумани, где прочел доклад «О собственной поляризации звезд Т Тельца и Миры Кита».

В сентябре большая группа сотрудников обсерватории участвовала в работах симпозиума № 79 MAC в Таллине, где ими были представлены следующие доклады

и ссобщения:

В. А. Амбарцумян—«О крупномасштабном распределении галактик»;

М. А. Аракелян-«Крупномасштабное распределение галактик Маркаряна»;

Г. М. Товмасян-«Активиме галактики в группах галактик»;

А. Р. Петросян, К. А. Саакян, Э. Е. Хачикян—«Двойные и кратные ядра га-

лактик с ультрафиолетовым избытком».

Е сентябре в Бюракане в течение нескольках дней гостили проф Ж. де Вокулер с супрутой (Макдональдская обсерватория, США) и проф. В. Петросян (Стенфордский университет, США). Они сделали несколько докладов о выполненных ими работах по внегалактической астрономии.

В сентябре с кратковременным ознакомительным визитом обсерваторию посетили директор Англо-австралийской обсерватории д-р Д. Мортон. астроном этой обсерватории В. Петросян, д-р А. Филип (Дадлейская обсерватория, США), д-р Дж. Сили (Калифорнийский университет, Беркли, США) и д-р А. Зеба с супругой (Кра-

ковская обсерватория, Польша).

В октябре в Бюракане находился болгарский астроном А. Н. Томов, который

консультировался по работе, посвященной фотометрии двойных галактик.

В октябре—ноябре французский астроном д.р А. Терзан из Лионской обсерватории выполнил совместно с лабораторней астроспектроскопии БАО прямые фотометрические наблюдения в различных участках спектра, галактик с ультрафиолетовым избытком и некоторых звездообразных объектов для их морфологического исследования.

В ноябре с кратковременным визитом в Бюракане находились сотрудники ЦНА АН ГДР X. Лоренц, Г. Рихтер и Г. Местель.

В ноябре канд. физ.-мат. наук В. С. Осканян участвовал в торжествах по поводу 90-летия Белградской обсерватории, где прочел доклад на тему «Феномено-логическая картина явления вспышек в звездах».

### 1978 год

С января по нюль в Бюракане работал американский ученый д-р Г. Коджоян. Он совместно с Г. М. Товмасяном занимался обработкой радионаблюдений галактик с ультрафиолетовым избытком излучения из списков Маркаряна. Были измерены точные координаты большого числа галактик из VIII и IX списков Маркаряна, необхолимые для их радионаблюдений. На научном семинаре обсерватории д-р Г. Коджоян сделал доклад о результатах своих исследований.

В мае в Абастумани состоялся IV традиционный коллоквиум Бюраканской и Абастуманской астрофизических обсерваторий. На нем от Бюраканской обсерватории участвовало 12 сотрудников. На коллоквиуме были заслушаны и обсуждены сколо 20 докладов об основных результатах обенх обсерваторий за текущий год.

На коллоквиуме выступпли акад. В. А. Амбарцумян, Л. В. Мпрэоян, Р. А. Варданян, Э. С. Парсамян, В. С. Осканян, Ю. К. Мелик-Алавердян, Р. Г. Мнаца-канян, С. В. Зарацян и А. А. Егиазарян.

В мае в Крыму состоялся второй совместный симпознум Астросовета АН СССР и Бюраканской обсерватории, посвященный нестационарным звездным объектам. От Бюраканской обсерватории на симпознуме приняли участие семь сотрудников, из них Л. В. Мпрзоян, Э. С. Парсамян, Т. Ю. Магакян и А. Л. Гюльбудагян выступили с докладами. Был представлен также доклад акад. В. А. Амбарцумяна.

хроника 167

В нюне в Будапеште, на заседании Комиссии по многостороннему сотрудничеству академий наук социалистических стран по проблеме «Физика и эволюция звезд» проф. Л. В. Мирзоян и д-р физ.-мат. наук Э. Е. Хачикяи выступили с научными докладами.

В жоле в Бюракане побывала делегация Национального Центра научных исследований Франции, в составе Ж. Делея (заместитель президента центра по науке, руководитель делегации), П. Шарвина и Ж. К. Рибеса с целью ознакомления с работами Бюраканской обсерватории для подготовки договора о научном сотрудничестве между АН СССР и Францией. В проекте этого договора, подготовленного НЦНИ Франции была включена тема по исследованию нестационарных звезд. Основой включения в проект этой темы для французской стороны явилось продолжающееся более десяти лет неофициальное сотрудиичество в этой области между Парижской и Бюраканской обсерваториями, результатом которого явился ряд напечатанных работ. Делегация высказала пожелание расширить это сотрудиичество в рамках будущего договора между АН СССР и НЦНИ Франции.

С ЦПА АН ГДР продолжалось исследование внегалактических объектов на снимка», полученных с помощью двухметрового телескопа Таутенбергской обсерватории АН ГДР (А. Т. Каллоглян и Ф. Бернген). С этой целью в июне—июле месяце в Бюракане работал д-р Ф. Бернген. Из заподозренных в принадлежности к клиссу помпактных галактик нескольких сот объектоз выделено 170 компактных галактик вокруг скопления Эйбелл-2255. Аналогичная работа начата и в другой области небя

Для обсуждения вопросов, связанных с совместными исследованиями, с кратковременным визитом в Бюракане побывали сотрудники ЦИА АН ГДР Х. Лоренц, Г. Рихтер, Д. Либшерх и Ш., Готлебер.

В нюне—пюле в Бюракане работал болгарский астроном д-р М. Цветков. Им совместно с О. С. Чавушяном в Н. Д. Меликяном проведена обработка колориметрических раблюдений звездных вспышек в области скопления Плеяды. М. Цветков выполнил наблюдения на метровом телескопе системы Шмидта с целью обнаружения новых эмисскопных объектов в области NGC 7000.

В пюле проходили испытания фотометра, созданного Будапештской обсерваторией, на 2,6 м телескопе Бюраканской обсерватории. С этой целью в Бюракане работали сотрудники Будапештской обсерватории Э. Рупп и В. Геза, а в начале года для освоения этого фотометра на астрономической станции Матра Будапештской обсерватории работали сотрудники Бюраканской обсерватории Г. Б. Оганян и Л. М. Карамян.

С 16 по 20 июля Р. А. Кандалян участвогал на XI Европейском совещании молодых радноастрономов в Джодрелл Бэнке (Англия), где сделал научное сообщение о наблюдениях на раднотелескопе PATAH-600.

В августе Э. Е. Хачикян, Ю. К. Мелик-Алавердян, А. Л. Гюльбудагян п Р. А. Саркисян участвовали в работах IV Европейской астрономической конференции в г. Упсала (Швеция), где выступили с научными докладами.

В октябре была организована научная конференция, посвященная семидесятилетию академика В. А. Амбарцумяна, на которой приняли участие 20 молодых астрономов из разных астрофизических учреждений СССР. От Бюраканской обсерватории с научными сообщениями выступили 12 молодых сотрудников.

В октябре в Бюракане состоялось расширенное заседание бюро Совета АН СССР по проблеме «Радноастрономия», где был заслушан отчет о работе отдела радноастрономии Бюраканской обсерватории за последние годы. На заседании с научными сообщениями выступили В. А. Санамян, В. Г. Малумян, В. Г. Панаджян и Р. К. Кандалян.

В том же месяце в Бюракане состоялось научное совещание, организованное программной комиссией 6-м телескопа и посвященное результатам исследований, выполненных на основе наблюдений на нем. От обсерватории на совещании выступили М. А. Аракелян, М. А. Қазарян, А. Т. Қаллоглян, А. Р. Петросян, К. А.

Саакви и Дж. А. Степанян.

С 1 по 3 ноября в Бюракане состоялся пленум Астросовета АН СССР, на котором участвовали около 60 иногородних ученых. Пленум заслушал и обсудил отчетный доклад Астросовета АН СССР, сообщение о работе крупнейшего в мире 6-м телескопа, о деятельности редакций советских астрономических журналов. Плевум заслушал также доклад акад. В. А. Амбарцумяна о результатах научных неследований Бюраканской обсерватории. В принятой пленумом резолюции отмечаются большие успехи обсерватории, благодаря которым созданы новые направления в современной астрофизике.

В октябре—ноябре месяцах сотрудник института ТАТА фундаментальных исследований АН Индии д-р В. Р. Венугопал подробно ознакомился с состоянием работ по проблеме радионитерферометрии космических радионсточников на сверхдливной базе (РСДБ). Им совместно с В. А. Санзмяном и другими сотрудниками отдела радиовстрономии было проведено испытание всего комплекса РСДБ-аппаратуры, была обсуждена также математическая программа обработки результатов совместных наблюдений на ЭВМ ЕС-1030, а также сроки дальнейших работ в этом направлении. Д-р Венугопал учествовал также в обсуждении результатов совместных радно- и оптических наблюдений. На общеобсерваторском семинаре он сделал доклад о работах радноастрономического центра института ТАТА.

В октябре-ноябре в Бюракане работал сотрудник Института астрофизики в Париже д-р Р. Крикорян. Он подробно ознакомился с работами отдела теоретической астрофизики и отдела физики звезд и туманностей. Им совместно с сотрудниками обсерватории А. Г. Никогосяном и Г. А. Арутюняном была выполнена работа о рассеянии излучения релятивистскими электронами и о законах перераспре-

деления излучения по частотам и направлениям.

Д-ром Крикоряном было высказано пожелание сотрудничать с бюраканскими астрономами по вопросам физики звевд и использованием для этой цель больших французских телескопов. На семинаре отдела теоретической астрофизики он рассказал о своих последних работах.

В 1978 г. кратковременные визиты имели д-р Г. Папаз с супругой, д-р Д. Видман (США), д-р Д. Галлетто (Италия), д-р Д. Уолш и д-р И. Браун (Англия).

д-р О. Сли с супругой (Австралия).

Визиты д-ра Д. Видмана и д-ра Д. Галлетто имели целью ознакомление с послединии работами Бюраканской обсерватории по изучению нестационарных явле-

Поездки д-ров Д. Уолша, И. Брауна и О. Сли носили ознакомительный харак-

Д-р Г. Папаз на семинаре обсерватории сделал доклад на тему «Электрическая симметризация»,

В 1978 г. был опубликован сборник «Вопросы физики и эволюции космоса», посвященный 70-летию академика В. А. Амбарцумяна (составитель и редактор проф. Л. В. Мярзоян). Авторами статей, включенных в сборник, являются 14 иностранных и 6 советских ученых.

### 1979 год

В япваре 1979 г. в Звенигороде В. А. Санамян участвовал на заседанив совета по радноастрономия АН СССР.

В феврале д-р физ.-мат. наук Г. М. Товмасян принял участие в Международном симпознуме в Швейцарии, посвященном Большому космическому телескопу, а в октябре-на пленуме Совета по подготовке астрономических кадров в Телави.

В марте акад. В. А. Амбарцумян выезжал в ГДР на симпозиум, посвященный столетнему юбилею А. Эйнштейна, где выступпл с докладом об эйнштейновских коэффициентах поглощения и излучения.

В марте 1979 г. во время своей командировки Л. М. Карамян ознакомился с системами наведения телескопов и автоматизации наблюдений, применяемых в обсерватории им. Конколи.

В апреле акад. В. А. Амбарцумян по приглашению Французской академии наук находился в Париже, где ему был вручен диплом иностранного члена АН Франции.

В рамках многостороннего сотрудничества академий наук социалистических стран по проблеме «Физика и эволюция звезд» в Болгарии состоялись два заседания подкомиссий (май и ноябрь). На них приняли участие М. А. Мнацаканян (по звездным скоплениям и ассоциациям) и Э. Е. Хачикян (по большим телескопам).

С 22 по 24 мая в Бюраканской обсерватории состоялся международный симпозиум «Вспыхивающие звезды, фуоры и объекты Хербига—Аро» в рамках многостороннего сотрудничества академий наук социалистических страи по проблеме «Физика и эволюция звезд». В работе симпозиума приняли участие многие бюраканские астрономы.

Значительная работа была проведена по подготовке совместных советско-индийских радиопитерференционных наблюдений на сверхдлинной базе СССР-Индия.

Для осуществления этой программы канд. физ.-мат. наук В. Г. Панаджян в мае—июне сроком на шесть недель находился в Индии, в Утакамунде. Основная цель командировки состояла в подготовке синхронной работы индийского раднотелескопа с советскими в период совместных интерференционных наблюдений на сверхдлинной базе СССР—Индия.

По этой же программе в августе в течение месяца в Бюракане работал индийский ученый д-р М. Джоши (Радиоастрономический центр ТАТА института фундаментальных исследований, Индия). Во время своего пребывания он участвовал в подготовке комплекса аппаратуры, предназначенного для проведения радионитерференционных наблюдений на сверхдлинной базе СССР—Индия, планируемых совместно с советскими (БАО, Горьковский РФИ) и индийскими радиоастрономами.

В июне канд. физ.-мат. наук Ю. К. Мелик-Алавердян и д-р физ.-мат. наук Э. F. Хачикян приняли участие на 111 Советско-Финском симпозиуме в Хельсинки и выступили с докладами.

В рамках сотрудничества с ЦИА АН ГДР в течение трех месяцев (июнь—август) в ГДР работали сотрудники Бюраканскей обсерватории канд. физ.-мат. наук А. Т. Каллоглян и А. Р. Петросян. А. Т. Каллоглян совместно с д-р Ф. Бергеном продолжали работу по изучению компактных галактик. В обсерватории Иенского университета ГДР и в Таутенбургской обсерватории А. Т. Каллоглян прочел доклады об основных работах Бюраканской обсерватории и о скоплениях галактик.

Во время работ в ГДР А. Р. Петросян совместно с Ф. Бергеном на астронегативах, полученных Таутенбургским 2-м телескопом, обнаружили 18 галактик, показывающих двойную и кратную структуру.

По приглашению обсерватории в июле—августе в Бюракане работал член-кор. АН СССР О. А. Мельников (ГАО АН СССР).

В августе состоялся Международный симпознум по теоретической и математической физике в г. Дубие, посвященный 70-летию акад. Н. Н. Боголюбова, где акад. В. А. Амбарцумян выступил с доклядом «Обратные задачи астрофизики».

С 14 по 23 августа Г. М. Товмасян и Р. А. Саркисян были участниками Генеральной Ассамблен Международного астрономического союза (МАС) в Монреале (Канада).

В конце августа Э. С. Парсамян участвовала в симпозиуме МАС в Виктории (Канада) по звездным скоплениям, где представила доклад «Вспыхивающие звезды в эволюционировавших скоплениях».

В августе Г. А. Оганян принял участие в XII Европейской конференции молодых радиоастрономов в Пущино и сделал доклад о результатах радионаблюдений компактных групп компактных галактик.

В сентябре В. Г. Малумян, В. А. Санамян и В. Г. Панаджян участвовали на

XII Всесоюзной конференции по радиоастрономии в Звенигороде и выступили с докладами о результатах наблюдений, выполненных на радиотелескопе РАТАН-600.

В октябре месяце в Бюракане состоялся пятый совместный коллоквиум Бюраканской и Абастуманской астрофизических обсерваторий. На коллоквиуме были заслушаны и обсуждены 18 докладов. От Бюраканской обсерватории с докладами выступили Л. В. Мирзоян, Г. А. Брутян, Р. А. Варданян, Г. А. Абрамян, А. Т. Каллоглян, А. Р. Петросян, Г. А. Геворкян, А. Г. Никогосян, Р. О. Мурадян и А. Н. Фрадкин.

В октябре—ноябре В. С. Осканян участвовал в IV Национальной конференции в Югославии. В Белградской обсерватории и в университете он прочел доклады о вспыхивающих звездах.

В ноябре Г. В. Абрамян, С. В. Зарацян и Р. А. Саркисян приняли участие в работах совещания в Крыму, посвященного применению новых светоприеминкоз в астрономии.

В конце года кратковременно в Бюракане побывал д-р П. Конн (Национальный

центр научных исследований Франции) с супругой.

В рамках сотрудничества между АН СССР и Национальной АН США, в Бюракан прибыл американский физик А. Майкельсон (Калифорнийский технологический институт), который будет работать над теорней явления звездных вспышек. Он участвует в занятиях специального семинара, посвященного различным аспектам взучения звездных вспышек.

В Бюракане в разное время на стажировке были проф. ЛГУ В. Г. Горбацкий, доценты Кневского ГУ Д. А. Андриенко и Ленинградского горного института В. Я. Бриль.

Три сотрудника обсерваторин А. Л. Гюльбудагян (в апреле), Т. Ю. Магакян и О. С. Чавушян (в ноябре) успешно защитили кандидатские диссертации.

### АКАДЕМИЯ НАУК АРМЯНСКОЙ ССР

# **РЕПЬРИЧИЛЬ ИЛЗДИЛЬЅИГИЛЬ ДИДПРАПЬГЛЬР** СООБЩЕНИЯ БЮРАКАНСКОЙ ОБСЕРВАТОРИИ

### мецч III выпуск

НАБЛЮДЕНИЯ ДВОЙНЫХ ГАЛАКТИК ТИПА Е	
	3
НОВЫЕ ПЕРЕМЕННЫЕ СВЕРХГИГАНТЫ СПЕКТРАЛЬНОГО КЛАССА М	
	13
ПОЛЯРИМЕТРИЧЕСКОЕ ИССЛЕДОВАНИЕ КРАСНЫХ СВЕРХГИГАНТОВ	
г. В. Абрамян	24
СПЕКТРОФОТОМЕТРИЧЕСКОЕ ИССЛЕДОВАНИЕ ДЗЕТА ТЕЛЬЦА	
	44
ФОТОМЕТРИЧЕСКИЕ И СПЕКТРАЛЬНЫЕ НАБЛЮДЕНИЯ СІ ЛЕБЕЛЯ	•••
	52
УТОЧНЕННЫЕ КООРДИНАТЫ ГАЛАКТИК МАРКАРЯНА № 701—1095	
	58
ПРОСТРАНСТВЕННОЕ РАСПРЕДЕЛЕНИЕ ОБЪЕКТОВ ТИПА Ітпі	
С. Г. Искударян	65
О ВЫЧИСЛЕНИИ СРЕДНЕП ЧАСТОТЫ ВСПЫШЕК СВЕРХНОВЫХ	
	68
ДВУХЦВЕТНЫЕ НАБЛЮДЕНИЯ ВСПЫХИВАЮЩИХ ЗВЕЗД В АГРЕГАТЕ	00
ПЛЕЯДЫ О. С. Чавушян, Л. К. Ерастова, Н. Д. Меликян,	
М. К. Циетков, И. Янкович	78
ИССЛЕДОВАНИЕ ФОТОМЕТРИЧЕСКОЙ СИСТЕМЫ 2.6-МЕТРОВОГО ТЕ-	
ЛЕСКОПА БЮРАКАНСКОЙ АСТРОФИЗИЧЕСКОЙ ОБСЕРВАТОРИИ .	
А. С. Амирхинян, И. И. Попов	89 .
О ПОЛЯРИМЕТРИЧЕСКИХ И ФОТОМЕТРИЧЕСКИХ НАБЛЮДЕНИЯХ В	
ФОКУСЕ НЕСМИТА 2.6-МЕТРОВОГО ТЕЛЕСКОПА БЮРАКАНСКОЙ АСТ-	
РОФИЗИЧЕСКОЙ ОБСЕРВАТОРИИ Г. В. Абрамян, Л. Г. Ахвердян,	
	91
СПЕЦИФИКА ПОЛЯРИМЕТРИЧЕСКИХ НАБЛЮДЕНИЯ ВСПЫХИВАЮЩИХ	
ЗВЕЗД ВО ВРЕМЯ ВСПЫШЕК	95
МЕТОД ОБНАРУЖЕНИЯ КОРОТКИХ ИЗМЕНЕНИЙ БЛЕСКА ЗВЕЗД	
В. П. Залинян	105
ПРИМЕНЕНИЕ ОПТИЧЕСКИХ МЕТОДОВ ОБРАБОТКИ АСТРОНОМИЧЕ-	
СКИХ СНИМКОВ В КОГЕРЕНТНОМ СВЕТЕ Р. А. Саркисян	109
ЗАВИСИМОСТЬ ПОРОГОВОЙ ЧУВСТВИТЕЛЬНОСТИ ФОТОУМНОЖИТЕ-	
ЛЕЙ ОТ ПОРОГА ДИСКРИМИНАЦИИ ПРИ СЧЕТЕ ФОТОНОВ	
В. П. Залинян, Ю. К. Мелик-Алавердян	118
ФОТОЭЛЕКТРИЧЕСКАЯ ФОТОМЕТРИЯ С ИСПОЛЬЗОВАНИЕМ ДИС-	
СЕКТОРА М. А. Мартиросян, А. Я. Бейлин, Л. М. Карамян,	
В. П. Лукьянов, Н. К. Далиненко	122
новый метод цифровой фильтрации и его применение	
r <sub>111</sub> (x'. x, \gamma) Р. А. Варбанян, М. О. Закарян, М. С. Мирзоян	127
ПРОСТОП МЕТОД ВЫЧИСЛЕНИЯ ФУНКЦИИ ПЕРЕРАСПРЕДЕЛЕНИЯ	
	137
СВЕЧЕНИЕ СРЕДЫ. ОСВЕЩЕННОП ПАРАЛЛЕЛЬНЫМИ ЛУЧАМИ, ПРИ	
произвольном законе перераспределения излучения по	
<b>ЧАСТОТАМ</b>	148
хроника	158
A STORY OF THE STO	

THE BOARD

### የበፈԱՆԴԱԿበኮԹՅՈՒՆ

Ռ. Ա. Վաշդանյան, Ա. Ն. Տոմով—E տիպի կրկնակի դալակտիկաների դիտումներ	3
Հ. Վ. Արբանամյան — M սպեկտրալ դասի նոր փոփբխական դերքսկաներ	13
Հ. Վ. Արբանամյան _ Կարմիր գերճսկաների բևեռաչափական ուսումնասիրությունը .	24
b. Լ. Իվանովա <i>Ցուլի սպեկտրալուսալափական ուսումնասիրությունը</i>	44
Ն. Լ. Իվանովա, Տ. Ն. Խուդյակովա—CI Կարապի լուսալափական և սպեկտրալ դիտումներ	52
Հ. Մ. Թովմասյան, է. Ծ. Շանրազյան, Ռ. Ա. Կանդալյան—Մարգարյանի 701—1095 դա-	
լակտիկաների ճշգրիա կոորդինատները	58
U. Գ. Իսկուդարյան—բլ II տիպի օրյեկտների տարածական թաշխումը	65
Ռ. Գ. Մնացականյան, Ա. Վ. Օսկանյան, Մ. Լովաշ—Գերնորեթի բռնկման՝ միջին հաճա-	
իսականությունների մասին	68
Հ. Ս. Չավության, Լ. Կ. Եռաստովա, Ն. Դ. Մելիքյան, Մ. Կ. Ցվեակով, Ի. Ցանկովիչ <i>—Բա</i> -	
ղումը ագրեզատում <del>ըռնկվող աստղերի հրկգույն դիտումներ</del>	78
Ա: Ս. Ամիբխանյան, Ի. Ի. Պոպով— <i>Բյուրականի աստղադիտարանի 2,6 մ դիտակի լո</i> ւ-	
սալափական սիստեմ <mark>ի ուս</mark> ումնասիրությունը	89
Հ. Վ. Արբանամյան, Լ. Գ. Հախվերդյան, Ռ. Ա. Վարդանյան, Հ. Ս., Պողոսյան <i>—Բյուրականի</i>	
աստղադիտա <b>րանի 2,6 մե</b> տրանոց աստղադիտակի Նեսմիտի ֆոկուսում կատարվող	
րևեռաչափա <mark>կան և լուսաչափական դիտում</mark> ների մասին .	91
Մ. Հ. Աբիգյան — Բոնկվող աստղերի թակվան ժամանակ բևեռաչափական դիտումների	
առանձնա <b>՝ ատ</b> կությունները	95
Վ. Պ. Չալինյան – Աստղի պայծառության արագ փոփոխությունների հայտնարերման հղա-	
hw4	105
Ռ. Հ. Սարգսյան - Կոներենտ լուլսում աստղագիտական պատկերների մշակման օպտիկա-	
կան մեթոդների կիրառությունը	109
Վ. Պ. Զալինյան, Յու. Կ. Մելիք-Ալավերդյան—Հուսարաղմապատկիչների շեմային դդայու-	
նության կախումը դատման սահմանից ֆոտոնների համրման դեպքում .	118
Մ. Ա. Մաստիսոսյան, Ա. Ֆ. Թիյլին, Լ. Մ. Քասամյան, Վ. Պ. Լուկյանով, Ն. Կ. Դալինեն-	
կս – էլիկտրալուսաչափություն՝ դիսեկտորների կիրառությամբ	122
Ռ. Ա. Վարդանյան, Մ. Հ. Ջաքարյան, Մ. Ս. Միրզոյան— <i>Թվային դաման նոր հղանակը և</i>	
նրա կիրառությունը	127
Հ. Ա. Հաrությունյան r ((x, x, y) վերաբաշխման ֆունկցիայի կառուցման պարզ	
եղանակ ,	137
Հ. Վ. Պիկիչյան	-
կամալական վերարաշխման օրենքի դեպքում	148
արունիկա	158
ar wall day	140

### CONTENTS

R. A. Vardanian, A. N. Tomov-The Observations of E Type Double Galaxies	
H. V. Abrahamian—New Variable M Supergiant Stars	18
H. V. Abrahamlan-The Polarimetric Investigation of Red Supergiants	2.
N. L. Ivanona—Spectrophotometric Investigation of c Tau · · · · ·	44
N. L. Ivanova, T. N. Khudyakova-Fhotometric and Spectral Observations of	
CI Cyont · · · · · · · · · · · · · · · · · · ·	5
H. M. Toumassian, E. Ts. Shahbastan, R. A. Kandalian-Accurate Optical Po-	
sitions for Markarian Galaxies 7011095 · · · · · · · · · · · · · · · · · · ·	58
S. G. Iskudarian—The Space Distribution of the Irr II Type Objects · · ·	65
R. G. Mnatsakanian, A. V. Oskanian, M. Lowas - On the Calculation of the	
Mean Frequency of Supernovae · · · · · · · · · · · · · · · · · · ·	- 68
H. S. Chavushian, L. K. Erastova, N. D. Melikian, M. K. Tsvetkov, I. Janko-	
vics-The Two-Colour Observations of Flare Stars in the Pleiades Agre-	*
gate	78
A. S. Amirkhantan, I. I. Popov-The Investigation of the Byurakan Observatory	
2.6-m Telescope Photometric System · · · · · · · · · · · · · · · · · · ·	89
H. V. Abrahamian, L. G. Hakhverdian, R. A. Vardanian, H. A. Pogoslan-On	
the Polarimetric and Photometric Observations at the Nesmith Focus of	
the 2.6-m Telescope of the Byurakan Observatory · · · ·	91
M. H. Yeritzian—The Specifity of Polarimetric Observations of Flares of Flare	
Stars · · · · · · · · · · · · · · · · · · ·	95
V. P. Zalinlan-A Method of Detection of Fast Variations of star brightness.	105
R. A. Sarkissian-The application of the optical methods in Astronomical Ima-	
ges Processing on the Basis of Coherent Light	109
V. P. Zallnian, Yu. K. Melik-Alaverdian-The Dependence of the Nep on the	
Discrimination Level in Photon Counting Mode · · · · ·	118
M. A. Martirosian, A. F. Beilin, L. M. Karamian, V. P. Lukinov, N. K. Dall-	
nenko-Photoelectric Photometry Using the Image Dissector	122
R. A. Vardanian, M. H. Zacharian, M. S. Mirzoyan-A New Numerical Filtring	
Method and Its Application	127
H. A. Haruthyunian—A Simple Method for the Evolution of the Redistribution	
Function $r_{\rm HI}(x', x, \gamma)$ .	137
H. V. Fikidjian—The Illumination of a Medium Under the Action of Parallel	
Rays at the Arbitrary Law of Frequency Redistribution of Radiation -	148
Chronicle	158

#### УДК 524.7

Наблюдения двойных галактик типа Е. Варданян Р. А., Томов А. Н. «Сообщення Бюраканской обсерватории», 1980 г., вып LII, стр. 3—12.

В статье приводятся результаты фотометрических наблюдений в системе U, B, V двойных галактик (типа EE)

Таблиц 2. рисунков 6, библиографий 9.

#### УДК 524.33+524.352

Новые переменные сверхгиганты спектрального класса М. Абрамян Г. В. «Сообщения Бюраканской обсерватории», 1980 г., вып. LII, стр. 13—23.

В работе сообщается об открытии переменности блеска 13 сверхгигантов спектрального класса М. Приведены результаты электрофотометрических UBV наблюдений этих звезд за 1974—1977 гг.

Таблиц 5, рисунков 2, библиографии 5.

#### УДК 524.33+254.352

Поляриметрическое исследование красных сверхгигантов. Абрамян Г. В. «Сообщения Бюраканской обсерватории», 1980 г., вып. LII, стр. 24—43.

Приведены результаты поляриметрических наблюдений 78 красных сверхгигантов за 1973—1977 гг.

Сообщается об открытии переменности линейной поляризации света 21 К и М сверхгигантов. Показано, что относительное количество звезд с собственной поляризацией света почти в три раза больше для М сверхгигантов класса светимости I а по сравнению со звездами класса светимости I b.Явление собственной поляризации света более часто встречается у красных сверхгигантов поздних классов по сравнению с ранними классами. В ассоциации Рег ОВІ у М сверхгигантов наблюдается пониженное относительное содержание звезд с собственной поляризацией света по сравнению с другими вссоциациями.

Таблиц 11, рисунков 3, библиографий 25.

#### УДК 523.841.

Спектрофотометрическое исследование дзета Тельца. Иванова Н. Л. «Сообщення Бюраканской обсерваторин», 1980, вып. LII, стр. 44—51.

Даны эквивалентные шприны, остаточные интенсивности, полуширины водородных линий, лучевые скорости звезды и оболочки, размеры оболочки, электронная плотность и число атомов на втором уровне водорода над 1 см<sup>2</sup> поверхности звезды. Сравнение

полученных результатов с данными наблюдений 1964 года показало, что масса оболочки дзета Тельца увеличилась в 1973 году, о чем свидетельствуют возрастание интенсивности эмиссии в  $H_2$  и  $H_2$  и усиление линий поглощения оболочки.

Таблиц 3. рисунков 5, библиографий 7.

#### УДК 523.841.

Фотометрические и спектральные наблюдения СІ Лебедя. Иванова Н. Л., Худлялва Т. Н. «Сообщения Бюраканской обсерватории», 1980 г., вып. LII, стр. 52—57.

Приводятся оценки блеска в спектральных полосах UBVRI, распределение энергии в непрерывном спектре в области 3700—5000А, значения Бальмеровского декремента и электронной плотности туманности, характеристики компонентов системы. Таблиц 3, рисунков 3, библиографий 15.

#### УДК 523.855

Уточненные координаты галактик Маркаряна № 701—1095. Товмасян Г. М., Шахбазян Э. Ц., Кандалян Р. А. «Сообщения Бюраканской обсерватории», 1980 г., вып. LII, стр. 58—64.

Приводятся уточненные координаты 395 галактик Маркаряна из списков 8—1! [6,7], измеренные с точностью нескольких угловых секунд, и описывается процедура измерений.

Таблица 1, рисунков 2, библиографий 9.

### УДК 533.852.35

Пространственное распределение объектов типа І чч ІІ. Искударян С. Г. «Сообщення Бюраканской обсерватории», 1980 г., вып., LII, стр. 65—67.

Из рис. 1 видно, что объекты типа Irr II показывают супергалактическое распределение, неидентичное с распределением галактик других морфологических типов [6]. Подобное поведение объектов, находящихся в определенном физическом состоянии, по-видимому, говорит в пользу реальности сущестования Супергалактики как цельной физической системы.

Рисунок 1, библиографий 8.

### УДК 523.841

О вычислении средней частоты вспышек сверхновых. Мнацаканян Р. Г., Осканян А. В., Ловаш М. «Сообщения Бюраканской обсерватории», 1980 г., вып. L11. стр. 68—77.

Методом, предложенным авторами [1], вычислены частоты вспышек сверхновых 1 и II типов.

Показано, что эта частота в галактиках типа Sc пропорциональна средней светимости галактики-родительницы.

Таблиц 10, библиографий 14.

#### УДК 523.84

Двухцветные наблюдения вспыхивающих звезд в агрегате Плеяды. Чавушян О. С. Ерастова Л. К., Меликян Н. Д., Цветков М. К., Янкович И. «Сообщения Бюраканской обсерватории», 1980 г., вып. LII, стр. 78—88.

Приводятся результаты двухцветных наблюдений вспышек в ультрафиолетовых (U) и фотографических (P<sub>2</sub>) лучах в Плеядах. Наблюдения сделаны на 40 и 21 телескопах системы Шмидта Бюраканской обсерватории. Общее эффективное время наблюдений 103 часа. В течение этого времени обнаружены 33 вспышки, из которых 19 в ультрафиолетовых и фотографических лучах зарегистрированы синхронно, а 14 паравлельно.

Для каждой вспышки определены собственные цвета  $(U-P_g)$ . Сравнение собственных цветов этпх вспышек  $(U-P_g)$  с собственными цветами (U-B) вспышек звезды UV Кита говорит в пользу идентичности природы вспышек вспыхивающих звезд в агрегатах и вспыхивающих звезд типа UV Кита в окрестности Солица.

Таблиц 6. рисунков 3, библиографий 12.

### **УДК** 522.61

Исследование фотометрической системы 2.6-метрового телескопа Бюраканской астрофизической обсерватории. Амирханян А. С., Попов И. И. «Сообщения Бюраканской обсерватории», 1980 г. вып. LII, стр. 89—90.

Приводятся результаты исследования зависимости между фотометрической системой 2.6 м телескопа Бюраканской обсерватории и системой UBV.

Рисунок I, библиография 1.

### УДК 520.82/.87+520.3/.6

О поляриметрических и фотометрических наблюдениях в фокусе Несмита 2.6-метрового телескопа Бюраканской астрофизической обсерватории. Абрамян Г. В., Ахвердян Л. Г., Варданян Р. А., Погосян Г. А., «Сообщения Бюраканской обсерватории», 1980 г., вып. LII, стр. 91—94.

В работе приведены фотометрические характеристики электрофотометра, смонтированного в фокусе Несмита 2.6-метрового телескопа Бюраканской астрофизической обсерватории. Измерена инструментальная лоляризация в фокусе Несмита. Показано, что инструментальная цветовая система электрофотометра довольно близка к международной системе UBV.

Таблиц 5, библиографий 7.

### УДК 523.84

Специфика поляриметрических наблюдений вспыхивающих звезд во время вспышек. Ерицян М. А. «Сообщения Бюраканской обсерватории», 1980 г., вып. LII, стр. 95—104.

В настоящей работе приводится детальное исследование метода измерения параметров поляризации вспыхивающих эвезд во время вспышки. Теоретически и практически определены величины ошибок измерений, зависящие от скорости изменения блеска звезды. Получено, что величина этих ошибок при Т > 10 сек во много разменьше ошибок, обусловленных шумами аппаратуры.

Частота модуляции света ( $\omega_0 = 21$  гц) подобрана в зависимости от параметров усилителя постоянного тока и атмосферных шумов. Время интегрирования одного поляризационного наблюдения во время вспышки (t = 30 сек) выбрано исходя из статистических результатов, а также длительности вспышки.

Таблица 1, рисунков 3, библиографий 28.

Метод обнаружения коротких изменений блеска звезд. Залинян В. П. «Сообщення Бюраканской обсерваторин», 1980 г., вып. L11, стр. 105—108.

Предложен метод обнаружения быстрых изменений блеска звезд длительностью  $10^{-2}-10^{-3}$  сек. Описана схема устройства.

Рисунков 3, библиографий 3.

#### УДК 522.62

Применение оптических методов обработки астрономических снимков в когерентном свете. Саркисян Р. А. «Сообщения Бюраканской обсерватории», 1980 г., вып. LII, стр. 109—117.

Рассмотрены нексторые вопросы применения оптических методов обработки астрономическах снимков, в частности применения супернознани и фильтрации пространственных частот изображений. Определены требования к параметрам фильтров, с помощью которых экспериментально получены эффективные результаты при обработке. Применение разработанных фильтров дало возможность выявить пределыю слабый точечный объект (а), а также выявить перемычки между компонентами М 51 (С) и спиральными ветвими галактики NGC 5194 (A, B, D, E) рис. 4).

Таблица 1, рисунков 4, библиографий 10.

#### УДК 621.383.2

Зависимость пороговой чувствительности фотоумножителей от порога дискриминации при счете фотонов. Залинян В. П., Мелик-Алавердян Ю. К. «Сообщения Бюраканской обсерватории», 1980 г., вып. LII, стр. 118—121.

В работе показано, что соответствующим выбором порога дискриминации можно улучшить пороговую чувствительность ФЭУ-79 в 2--3 раза, а ЕМІ-9789 ОВ—в 5--6 раз по сравнению с режимом измерения фототока.

Таблиц 2, рисунок 1, библиографий 5.

#### УДК 522.617

Фотоэлектрическая фотометрия с использованием диссектора. Маргиросян М. А., Бейлин Л. Я., Каранян Л. М., Лукьянов В. П., Далиненко Н. К. «Сообщения Бюраканской обсерватории», 1980 г., вып. LII, стр. 122—126.

Рассматривается система электрофотометрии звезд в режиме счета фотонов с применением диссектора ЛИ 610. Приводится описание, принцип работы, конструкция и результаты наблюдений.

Таблиц 2, рисунков 2, библиографий 3.

### УДК 520.82/87+520.3/6

Новый мстод цифровой фильтрации и его применение. Варданян Р. А., Закарян М. О., Мирзолн М. С. «Сообщения Бюраканской обсерватории», 1950 г., вып. LII, стр. 127—136.

В работе приводится новый метод предварительной фильтрации цифровой информации.

Рисунков 7, библиография 1.

Простой метод вычисления функции перераспределения  $r_{\rm III}$  (с. х., ү). Арутюнян Г. А. «Сообщения Бюраканской обсерваторин», 1980 г., вып. LII, стр. 137—147.

Предлагается относительно простой метод построения функции перераспределения  $r_{(1)}(x',x,z)$ . Получены асимптотические формулы, которые могут быть использованы для практических целей Отдельно рассмотрен вопрос зависимости функции перераспределения  $r_{(1)}(x',x,\gamma)$  от различных параметров Приведены результаты численных расчетов.

Рисунков 5, библиографий 11.

### УДК 523.035

Свечение среды, освещенной параллельными лучами, при произвольном законе перераспределения излучения по частотам. Пикичян О. В. «Сообщения Бюраканской обсерватории», 1980 г., вып. LII, стр. 148—157.

Известные результаты Амбарцумяна, относящиеся к задаче свечения среды при освещении параллельными лучами в случае когерентного рассеяния, непосредствению обобщаются на случай некогерентного рассеяния с произвольным законом перераспределения излучения по частотам  $r(x_1, x_3)$  без какого-либо разложения или специальных допущений о функции перераспределения. Это досгигается путем введения понятия вероятности выхода излученного кванта, а также использованием принципа обратимости оптических явлений. Попутно получены соотношения, позволяющие определить интенсивность излучения, выходящего из среды, при произвольных первичных источниках энергии, мощность излучения которых зависит от глубины и частоты.

Библиографий 12.

